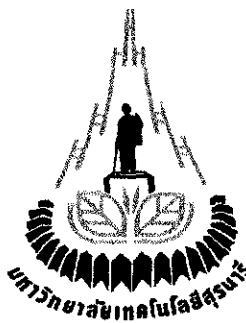


CONTRIBUTION



เครื่องส่งวิทยุแบบออฟເວັນສາເຕອຣີໂອມັດຕິພັດກ່ຽວມື້ 432 MHz

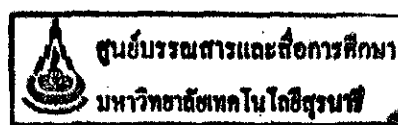
(432 MHz FM Stereo Multiplex Transmitter)

โดย

| | | | |
|--------------|-----------------|--------------|----------|
| นายมังคลา | ม่วงรัตน์ | รหัสประจำตัว | B4504160 |
| นายคราฤษ | ชูยิ่งสกุลพิพิธ | รหัสประจำตัว | B4505570 |
| นางสาววราสนา | มหาใจดี | รหัสประจำตัว | B4511250 |

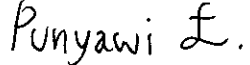
รายงานนี้เป็นส่วนหนึ่งของการศึกษาวิชา 427494 โครงการศึกษาวิศวกรรมโทรคมนาคม
และ 427499 โครงการวิศวกรรมโทรคมนาคม
ประจำภาคปีการศึกษาที่ 1 และ 2 ปีการศึกษา 2548

หลักสูตรวิศวกรรมศาสตร์บัณฑิต สาขาวิศวกรรมโทรคมนาคม หลักสูตรปรับปรุง พ.ศ.2541
สำนักวิชาวิศวกรรมศาสตร์ มหาวิทยาลัยเทคโนโลยีสุรนารี



Special Project in Telecommunication Report Certification
School of Telecommunication Engineering
Suranaree University of Technology

Project Title 432 MHz FM Stereo Multiplex Transmitter
Student Mr.Mungkala Maungrat No.B4504160
Mr.Sarawut Chuyingsakultip No.B4505570
Miss.Wasana Maharjaidee No.B4511250
Degree Bachelor of Engineering
Program Telecommunication Engineering
Project Advisor Asst.Prof.Dr.Rangsan Wongsan

| Examiners | Signatures |
|---------------------------------|--|
| Asst. Prof.Dr.Rangsan Wongsan |  |
| Asst. Prof. Punyawi Jaijareekul |  |
| Ms. Piyapon Krachodnok |  |

Date 29 March 2006 **Time** 09.00-10.00 a.m.

Place Telecommunication Laboratory

| | | | |
|--------------------------|---|-----------------|----------|
| ชื่อโครงการ(ภาษาไทย) | เครื่องส่งวิทยุแบบอิฟเอนสเตอริโโนมัลติเพลกซ์ความถี่ 432 MHz | | |
| ชื่อโครงการ (ภาษาอังกฤษ) | 432 MHz FM Stereo Multiplex Transmitter | | |
| อาจารย์ที่ปรึกษาโครงการ | ผศ.ดร.รังสรรค์ วงศ์สรรค์ | | |
| ผู้รับผิดชอบโครงการ | นายมังคลา | ม่วงรัตน์ | B4504160 |
| | นายคราฤษ | ชูยิ่งสกุลพิพิธ | B4505570 |
| | นางสาววาราสนา | มหาใจดี | B4511250 |
| ปริญญา | วิศวกรรมศาสตร์บัณฑิต | | |
| ปีการศึกษา | 1/2548 - 2/2548 และ 3/2548 | | |

บทคัดย่อ

โครงการฉบับนี้ เป็นการนำเสนอการวิเคราะห์ ออกแบบ ทดสอบและประเมินคุณสมบัติ ของเครื่องส่งวิทยุอิฟเอนสเตอริโโนที่ทำการส่งสัญญาณที่ความถี่ 432 MHz สำหรับระบบวิทยุอิฟเอนสเตอริโโนมัลติเพลกซ์ สามารถใช้ได้โดยไม่ต้องขออนุญาต เนื่องจากเป็นย่านความถี่ประชาชน (Citizen Band) แต่จะมีกำลังส่งไม่เกิน 30 วัตต์ ดังนั้น โครงการนี้จึงได้จัดทำขึ้นเพื่อศึกษาการ ออกแบบองค์ประกอบอย่างต่างๆ ภายในเครื่องส่ง โดยจะแบ่งการศึกษาออกเป็นสามส่วน ได้แก่ ส่วนของการสร้างสัญญาณด้านแบบ ซึ่งส่วนนี้ประกอบด้วยวงจรกำเนิดความถี่ วงจรmodulator และวงจรขยายบวกเฟอร์ ส่วนของการทวีคุณความถี่ และ ส่วนของวงจรขยายกำลังสูง

กิตติกรรมประกาศ

คุณความดีอันใดที่เกิดจากโครงการฉบับนี้ ขอขอบคุณแด่บิดา มารดา พี่ๆ และน้องๆ ของข้าพเจ้า ผู้ที่เคยห่วงใย ให้โอกาส ให้กำลังใจ และให้การสนับสนุนทางการศึกษามาโดยตลอด

โครงการเล่มนี้สามารถดำเนินรุ่งเรืองได้ด้วยดี เนื่องจากได้รับความกรุณาจากอาจารย์ที่ปรึกษา พศ.ดร.รังสรรค์ วงศ์สรรค์ ผู้ที่เป็นเจ้าของแนวคิดเริ่มแรกของการสร้างเครื่องส่งสัญญาณ เอฟเอ็มสเตอริโอที่ความถี่ 432 MHz ซึ่งเป็นความถี่ที่ไม่ต้องทำการขออนุญาตในการใช้งานสำหรับสถานีวิทยุระบบเอฟเอ็ม ที่ให้ความช่วยเหลือในการให้แนวคิด การคุ้ดเอาใจใส่ติดตามงาน ชี้แนะ ข้อบกพร่องที่ข้าพเจ้ามองข้าม ตลอดจนฝึกฝนและสนับสนุนข้าพเจ้าให้มีความสามารถในการทำโครงการจนสามารถนำเสนอผลงานให้เป็นที่รู้จักและยอมรับได้

ขอขอบคุณผู้ที่เกี่ยวข้องอื่นๆดังนี้

ขอขอบคุณ อ.ดร.ชาญชัย ทองโสภา ที่ช่วยฝึกทักษะการทำงานจริงๆ ของเครื่องส่งพิมพ์รัตน์ ทุมพงษ์ เลขานุการการประจำสาขาวิศวกรรมโทรคมนาคม ที่ให้ความสำคัญในการคิดตอกับอาจารย์ พี่ประพล หัวหน้าอาคารเครื่องมือ 3 ที่ช่วยเป็นฐานศึกษาเบิกจ่ายงานประจำ และสั่งซื้อวัสดุอุปกรณ์ที่จะนำมาสร้างเครื่องส่งสัญญาณเอฟเอ็มสเตอริโอที่ความถี่ 432 MHz ที่หนุ่ยและพื้นก เจ้าน้ำที่คุ้ดเอาใจใส่ในการทดสอบ พี่ๆ นักศึกษาปริญญาโท วิศวกรรมโทรคมนาคมทุกคนที่ให้การสนับสนุน และทা�ียที่สุดเพื่อนนักศึกษาสาขาวิศวกรรมโทรคมนาคมทุกคนที่เคยกดดัน และเป็นกำลังใจให้ตลอดมา

| | |
|---------------|-----------------|
| นายมังคลา | นรัตน์ |
| นายศราวุช | ชูยิ่งสกุลพิพิธ |
| นางสาววาราสนา | มหาใจดี |

สารบัญ

หน้า

| | |
|---|-------|
| บทคัดย่อ..... | ก |
| กิตติกรรมประกาศ..... | ข |
| สารบัญ..... | ค-ฉ |
| สารบัญภาพ..... | ช-ญ |
| บทที่ 1 บทนำ..... | 1 |
| 1.1 กล่าวนำ..... | 1 |
| 1.2 วัตถุประสงค์ของโครงการ..... | 1 |
| 1.3 ขอบเขตของโครงการ..... | 2 |
| 1.4 ขั้นตอนการดำเนินงาน | 2 |
| บทที่ 2 ระบบเครื่องส่งเสียงอิเล็กทรอนิกส์ความถี่ 432 MHz | 3 |
| 2.1 กล่าวนำ..... | 3 |
| 2.2 คุณสมบัติและโครงสร้างของเครื่องส่งเสียง..... | 3 |
| 2.3 วงจรรักระดับและวงจรอมตคูเลเตอร์สัญญาณ (Exciter/Modulator) | 4 |
| 2.3.1 แหล่งกำเนิดเสียง (Audio Source)..... | 4 |
| 2.3.2 ตัวควบคุมกำลังเสียงของสัญญาณ (Audio Limiter)..... | 4 |
| 2.3.3 แหล่งกำเนิดสัญญาณ (Oscillator)..... | 5 |
| 2.3.4 મોટકુલેટોર (Modulator)..... | 5 |
| 2.3.4.1 ลักษณะของคลื่นเสียง..... | 6 |
| 2.3.4.2 ผลกระทบของการเปลี่ยนแปลงขนาดของสัญญาณ..... | 7 |
| 2.3.4.3 ผลกระทบของการเปลี่ยนแปลงความถี่ของสัญญาณ..... | 8 |
| 2.3.4.4 คุณสมบัติของคลื่นเสียง..... | 8 |
| 2.3.4.5 ความกว้างของแคนทรัมที่ทำเป็นสำหรับคลื่นเสียง..... | 11 |
| 2.3.4.6 กำลังงานในคลื่นเสียง..... | 13 |
| 2.3.4.7 ผลกระทบของการเปลี่ยนความถี่ในคลื่นเสียง..... | 14 |
| 2.3.5 วงจรขยายบีฟเฟอร์ (Buffer Amplifier)..... | 16 |

สารบัญ (ต่อ)

| | หน้า |
|--|------|
| 2.4 การทวีคูณความถี่ (Frequency Multiplier)..... | 19 |
| 2.4.1 ตัวคูณความถี่ที่ทำงาน (Active Frequency Multiplier)..... | 20 |
| 2.4.2 ตัวคูณความถี่ที่ไม่ทำงาน (Passive Frequency Multiplier)..... | 21 |
| 2.5 ภาคเอาต์พุตกำลัง (Power Output Section, (POS))..... | 26 |
| 2.5.1 วงจรแหล่งจ่ายไฟ (Powers Supply Unit)..... | 27 |
| 2.6 เครื่องส่งสัญญาณสเตอโรไโอล่าเบนเอฟเอ็ม (FM Stereo Transmitters)..... | 27 |
| 2.6.1 การส่งสัญญาณสเตอโรไโอล่า..... | 27 |
| 2.6.2 รูปคลื่นของสัญญาณสเตอโรไโอนัลติเพลกซ์..... | 31 |
| 2.6.3 เครื่องผลิตสัญญาณสเตอโรไโนนัลติเพลกซ์..... | 32 |
| 2.6.4 สัญญาณรบกวน (Noise) และลักษณะการรบกวน..... | 35 |
| 2.6.5 การเข้ารหัสของสเตอโรไโอล่า (Stereo Encoder)..... | 39 |
| 2.6.6 การแยกสัญญาณ (Separator)..... | 40 |
| 2.7 วงกรกรอง (Filter)..... | 40 |
| 2.7.1 วงกรกรองความถี่ต่ำผ่าน (Low-Pass Filter)..... | 40 |
| 2.7.2 วงกรกรองความถี่สูงผ่าน (High-Pass Filter)..... | 41 |
| 2.7.3 วงกรกรองยั่นความถี่ผ่าน (Band-Pass Filter)..... | 42 |
| 2.8 สรุป..... | 42 |
| บทที่ 3 การแมตช์อิมพีเดนซ์ (Impedance Matching)..... | 43 |
| 3.1 กล่าวนำ..... | 43 |
| 3.2 การแมตช์อิมพีเดนซ์ (Impedance Matching) | 43 |
| 3.3 โครงข่ายแบบ L (L Network)..... | 45 |
| 3.4 โหลดเชิงซ้อน (Complex Loads)..... | 49 |
| 3.5 การแมตช์ด้วย 3 องค์ประกอบ (Three-Element Matching) | 52 |
| 3.5.1 โครงข่ายแบบ π (The Pi Network)..... | 53 |
| 3.5.2 โครงข่ายแบบ T (The T network)..... | 57 |
| 3.6 สมิทชาร์ต (The Smith Chart)..... | 58 |
| 3.6.1 โครงสร้างสมิทชาร์ต..... | 58 |

สารบัญ (ต่อ)

หน้า

| | |
|---|----|
| 3.6.2 การเปลี่ยนค่าบันสมิทธาร์ต..... | 62 |
| 3.6.3 การเปลี่ยนค่าอิมพีเดนซ์บันสมิทธาร์ต..... | 67 |
| 3.6.4 การเปลี่ยนอิมడเคนซ์เป็นแอคอมิดแตนซ์..... | 67 |
| 3.6.5 การเปลี่ยนค่าแอคอมิดแตนซ์บันสมิทธาร์ต..... | 68 |
| 3.6.6 การทำอิมพีเดนซ์แมตช์บันสมิทธาร์ต..... | 69 |
| 3.6.7 การทำแมตช์ชิ่งของ 2 องค์ประกอบ (Two-Element) | 69 |
| 3.6.8 การทำแมตช์ชิ่งของ 3 องค์ประกอบ (Three-Element)..... | 75 |
| 3.7 สรุป..... | 83 |

บทที่ 4 การออกแบบ การสร้างและทดสอบวงจรต่าง ๆ ของเครื่องส่ง..... 84

| | |
|--|-----|
| 4.1 กล่าวนำ..... | 84 |
| 4.2 วงจรเข้ารหัสสเตอโรโนมัลติเพลกซ์ (Stereo Multiplex Encoder) | 84 |
| 4.3 วงจรกำเนิดสัญญาณ (Oscillator)..... | 87 |
| 4.4 วงจรขยายกำลังงาน (Amplifier)..... | 89 |
| 4.5 วงจรกรอง (Filter)..... | 106 |
| 4.6 สรุป..... | 110 |

บทที่ 5 บทสรุปและข้อเสนอแนะ..... 111

| | |
|---------------------------------------|-----|
| 5.1 บทสรุป..... | 111 |
| 5.2 สิ่งที่ได้จากการจัดทำโครงการ..... | 111 |
| 5.3 ปัญหาและอุปสรรค..... | 111 |
| 5.4 ข้อจำกัดของโครงการ..... | 112 |
| 5.5 ข้อเสนอแนะ..... | 112 |

สารบัญ (ต่อ)

หน้า

บรรณานุกรม 113

ภาคพนวก 114

ประวัติผู้เขียน 145

สารบัญภาพ

หน้า

บทที่ 2

| | | |
|-------------|---|----|
| รูปที่ 2.1 | โครงสร้างการทำงานในแต่ละส่วนของเครื่องส่ง..... | 3 |
| รูปที่ 2.2 | วงจรที่ใช้แสดงการกำเนิดสัญญาณ..... | 4 |
| รูปที่ 2.3 | การแปรผันของความถี่ของคลื่นพาห์โดยสัญญาณ..... | 6 |
| รูปที่ 2.4 | รูปคลื่นอิเล็กทรอนิกส์ที่เกิดจากสัญญาณมีขนาดต่าง ๆ กัน..... | 7 |
| รูปที่ 2.5 | การเปลี่ยนแปลงความถี่เป็นเบน โดยขนาดของสัญญาณ..... | 8 |
| รูปที่ 2.6 | รูปคลื่นอิเล็กทรอนิกส์ที่เกิดจากสัญญาณมีความถี่ต่าง ๆ กัน..... | 8 |
| รูปที่ 2.7 | แสดงแบบความถี่ของ ไซค์แบนค์ด้านต่ำและด้านสูงของคลื่นอิเล็กทรอนิกส์..... | 11 |
| รูปที่ 2.8 | แสดงความถี่ที่ได้จากเครื่องวิเคราะห์ไซค์แบนค์..... | 11 |
| รูปที่ 2.9 | รูปคลื่นอิเล็กทรอนิกส์จากการรวมทางเรือคเตอร์ (mf มีค่าน้อย ๆ)..... | 11 |
| รูปที่ 2.10 | รูปแสดงจุดการทำงานของวงจรขยายคลาส A..... | 17 |
| รูปที่ 2.11 | รูปแสดงจุดการทำงานของวงจรขยายคลาส B..... | 18 |
| รูปที่ 2.12 | รูปแสดงการทำงานของวงจรขยายคลาส C..... | 19 |
| รูปที่ 2.13 | ลักษณะของคลื่นรูปต่าง ๆ กับแบบความถี่..... | 22 |
| รูปที่ 2.14 | ลักษณะของคลื่น (ก) คลื่นรูปฟินเลือย (ข) แบบความถี่..... | 23 |
| รูปที่ 2.15 | วงจรทวีคูณความถี่แบบกรองย่านความถี่..... | 25 |
| รูปที่ 2.16 | วงจรแสดงการส่งสัญญาณโดยใช้ภาคเอาต์พุตกำลังงาน..... | 26 |
| รูปที่ 2.17 | วงจรที่แสดงการจ่ายแรงดันไฟฟ้าให้กับเครื่องส่ง..... | 27 |
| รูปที่ 2.18 | ย่านความถี่ที่ใช้สำหรับสัญญาณอิเล็กทรอนิกส์..... | 30 |
| รูปที่ 2.19 | สัญญาณสเตอโรโนมัลติเพล็ก..... | 31 |
| รูปที่ 2.20 | เครื่องผลิตสัญญาณสเตอโรโนมัลติเพล็กซ์..... | 32 |
| รูปที่ 2.21 | วิธีป้อนสัญญาณสเตอโรโนมัลติเพล็กซ์ให้กับเครื่องส่งระบบเฟสแมตช์..... | 34 |
| รูปที่ 2.22 | สัญญาณรบกวนเข้าไปผสมกับสัญญาณที่ต้องการ..... | 36 |
| รูปที่ 2.23 | แผนภาพการเข้ารหัสสัญญาณของส่วนสเตอโรโนม..... | 39 |
| รูปที่ 2.24 | กราฟแสดงผลการตอบสนองของ Low Pass Filter..... | 41 |
| รูปที่ 2.25 | กราฟแสดงผลการตอบสนองของ High Pass Filter..... | 41 |
| รูปที่ 2.26 | กราฟแสดงผลการตอบสนองของ Band Pass Filter..... | 42 |

สารบัญภาพ(ต่อ)

หน้า

บทที่ 3

| | |
|--|----|
| รูปที่ 3.1 รูป A แสดงวงจรไฟฟ้า รูป B แสดงกำลังงานทางทฤษฎีของวงจร..... | 44 |
| รูปที่ 3.2 แหล่งจ่ายทำการขับเคลื่อนคอมเพล็กค่อนญาเจไปยังวงจรสมมูล..... | 45 |
| รูปที่ 3.3 การเปลี่ยนพารามิเตอร์ในวงจรแมตซิ่ง..... | 45 |
| รูปที่ 3.4 โครงสร้างของวงจรแบบ L..... | 46 |
| รูปที่ 3.5 วงจรที่ทำการแมตซ์อินพีเดนซ์ที่เหล่งจ่ายมีความต้านทาน 100 โอมและความต้านทานทางผ่านโหลด 1000 โอม..... | 46 |
| รูปที่ 3.6 อินพีเดนซ์ที่ต่อขานกันระหว่าง R_L และ X_C | 46 |
| รูปที่ 3.7 วงจรสมมูลที่ได้จากรูปที่ 3.6..... | 47 |
| รูปที่ 3.8 วงจรที่ได้ทำการแมตซิ่ง..... | 47 |
| รูปที่ 3.9 วงจรที่ได้จากการออกเบนจากโครงสร้างแบบ L..... | 49 |
| รูปที่ 3.10 วงรัศสุดท้ายจากการทำการแมตซ์ของตัวอย่างที่ 3.1..... | 50 |
| รูปที่ 3.11 วงจรของเหล่งจ่ายและโหลดสำหรับตัวอย่างที่ 3.2..... | 51 |
| รูปที่ 3.12 วงรัศสุดท้ายจากการทำการแมตซ์ของตัวอย่างที่ 3.2..... | 52 |
| รูปที่ 3.13 วงจรของเหล่งจ่ายและโหลดสำหรับตัวอย่างที่ 3.3..... | 54 |
| รูปที่ 3.14 การเรโซนแนซของโหลดค่าปานิชณ์..... | 54 |
| รูปที่ 3.15 วงจรที่ได้หลังจากการแมตซ์แล้ว..... | 55 |
| รูปที่ 3.16 วงรัศสุดท้ายจากการทำการแมตซ์ของตัวอย่างที่ 3.3..... | 56 |
| รูปที่ 3.17 ส่วนประกอบที่มี 3 อิลิเมนต์เป็นโครงข่ายแบบ π | 56 |
| รูปที่ 3.18 ส่วนประกอบที่มี 3 อิลิเมนต์เป็นโครงข่ายแบบ T..... | 56 |
| รูปที่ 3.19 โครงข่ายแบบ π ที่แสดงเป็นแบบ Back-to-Back..... | 57 |
| รูปที่ 3.20 รูปแสดงของสมิทธาร์ต..... | 60 |
| รูปที่ 3.21 โครงสร้างของสมิทธาร์ต..... | 61 |
| รูปที่ 3.22 รูปแสดงของสมิทธาร์ตแบบพื้นฐาน..... | 63 |
| รูปที่ 3.23 แสดงการพล็อตๆตามวงกลมของค่าอินพีเดนซ์..... | 64 |
| รูปที่ 3.24 การพล็อตที่เป็นค่าของอุนกกรรมของตัวค่าปานิชณ์..... | 65 |
| รูปที่ 3.25 การพล็อตที่เป็นค่าของอุนกกรรมของตัวอินดักเตอร์..... | 66 |
| รูปที่ 3.26 วงการการตอบสนองของแอดอมิคแทนซ์..... | 68 |

สารบัญภาพ(ต่อ)

หน้า

| | |
|---|----|
| รูปที่ 3.27 การแปลงจากอินพีดเคนซ์เป็นแอดมิคແคนซ์บนสมิทธาร์ต..... | 70 |
| รูปที่ 3.28 แสดงการพลีอตจุดของแอดมิคແтенซ์ที่มีการซ้อนทับกัน..... | 71 |
| รูปที่ 3.29 การพลีอตที่เป็นค่าการขนาดของตัวค่าปาชิเตอร์..... | 72 |
| รูปที่ 3.30 การพลีอตที่เป็นค่าการขนาดของตัวอินดักเตอร์..... | 73 |
| รูปที่ 3.31 การรวมส่วนประกอบต่าง ๆ ลงบนสมิทธาร์ต..... | 74 |
| รูปที่ 3.32 วงจรสำหรับตัวอย่างที่ 3.4..... | 76 |
| รูปที่ 3.33 รูปวงจรที่ทำการออกแบบแล้ว..... | 76 |
| รูปที่ 3.34 สมิทธาร์ตที่ใช้สำหรับตัวอย่างที่ 3.4..... | 77 |
| รูปที่ 3.35 วงจรสุดท้ายของตัวอย่างที่ 3.5..... | 79 |
| รูปที่ 3.36 แสดงวิธีการทำสำหรับตัวอย่างที่ 3.5..... | 80 |
| รูปที่ 3.37 สมิทธาร์ตที่ใช้สำหรับตัวอย่างที่ 3.6..... | 81 |
| รูปที่ 3.38 วงจรสุดท้ายของตัวอย่างที่ 3.6..... | 83 |

บทที่ 4

| | |
|---|----|
| รูปที่ 4.1 รูปแสดงวงจรการเข้ารหัสของสเตอโริโอมัลติเพลกซ์ที่ได้จากการออกแบบ..... | 84 |
| รูปที่ 4.2 วงจรเข้ารหัสสเตอโริโอมัลติเพลกซ์..... | 85 |
| รูปที่ 4.3 แสดงผลการทดสอบของวงจรสเตอโริโอมัลติเพลกซ์..... | 86 |
| รูปที่ 4.4 แสดงผลการทดสอบของวงจรสเตอโริโอมัลติเพลกซ์เมื่อป้อนสัญญาณเสียง..... | 86 |
| รูปที่ 4.5 แสดงวงจรแหล่งกำเนิดสัญญาณที่ได้จากการออกแบบ..... | 87 |
| รูปที่ 4.6 วงจรกำเนิดสัญญาณที่ใช้งานจริง..... | 88 |
| รูปที่ 4.7 รูปแสดงผลการทดสอบของวงจรแหล่งกำเนิดสัญญาณ..... | 89 |
| รูปที่ 4.8 แสดงวงจรขยายสัญญาณที่ได้จากการออกแบบ..... | 90 |
| รูปที่ 4.9 วงจรขยายสัญญาณที่ใช้งานจริง..... | 91 |
| รูปที่ 4.10 เครื่องกำเนิดสัญญาณ..... | 91 |
| รูปที่ 4.11 สัญญาณที่วัดได้โดยการปรับเทียบจากแหล่งกำเนิดสัญญาณ..... | 92 |
| รูปที่ 4.12 สัญญาณที่วัดได้จากการขยายสัญญาณ..... | 93 |
| รูปที่ 4.13 ผลการทดสอบของวงจรขยายสัญญาณที่ความถี่ 432 MHz..... | 94 |

สารบัญภาพ(ต่อ)

หน้า

| | |
|---|-----|
| รูปที่ 4.14 การพลีอตค่าของอินพีเดนซ์บันสนิทชาร์ตของทรานซิสเตอร์เบอร์ 2SC3020..... | 96 |
| รูปที่ 4.15 วงจรขยายสัญญาณที่ได้จากการออกแบบของทรานซิสเตอร์เบอร์ 2SC3020..... | 97 |
| รูปที่ 4.16 วงจรขยายกำลังงานที่ใช้งานจริง มีอัตราขยาย 10 dB..... | 97 |
| รูปที่ 4.17 แสดงการเปลี่ยนเที่ยบสัญญาณก่อนการวัดวงจรขยายกำลังงาน..... | 98 |
| รูปที่ 4.18 แสดงการวัดวงจรขยายกำลังงานของทรานซิสเตอร์เบอร์ 2SC3020..... | 98 |
| รูปที่ 4.19 การพลีอตค่าของอินพีเดนซ์บันสนิทชาร์ตของทรานซิสเตอร์เบอร์ 2SC3021..... | 100 |
| รูปที่ 4.20 วงจรขยายสัญญาณที่ได้จากการออกแบบของทรานซิสเตอร์เบอร์ 2SC3021..... | 101 |
| รูปที่ 4.21 วงจรขยายกำลังงานที่ใช้งานจริง มีอัตราขยาย 9.7 dB..... | 101 |
| รูปที่ 4.22 แสดงการวัดวงจรขยายกำลังงานของทรานซิสเตอร์เบอร์ 2SC3021..... | 102 |
| รูปที่ 4.23 การพลีอตค่าของอินพีเดนซ์บันสนิทชาร์ตของทรานซิสเตอร์เบอร์ 2SC2783..... | 104 |
| รูปที่ 4.24 วงจรขยายสัญญาณที่ได้จากการออกแบบของทรานซิสเตอร์เบอร์ 2SC2783..... | 105 |
| รูปที่ 4.25 วงจรขยายกำลังงานที่ใช้งานจริง มีอัตราขยาย 8.5 dB..... | 105 |
| รูปที่ 4.26 แสดงการวัดวงจรขยายกำลังงานของทรานซิสเตอร์เบอร์ 2SC2783..... | 106 |
| รูปที่ 4.27 วงจร Low Pass Filter ที่ได้จากการออกแบบ..... | 107 |
| รูปที่ 4.28 วงจร Band Pass Filter ที่ได้จากการออกแบบ..... | 109 |
| รูปที่ 4.29 วงจร Band Pass Filter ที่ใช้งานจริง..... | 109 |
| รูปที่ 4.30 ผลการทดสอบการทำงานของวงจรกรองสัญญาณ..... | 110 |

บทที่ 1

บทนำ

1.1 ก่อตัวนำ

ในปัจจุบันนี้การสื่อสารและระบบข้อมูลข่าวสารนับเป็นสิ่งที่สำคัญยิ่ง การสื่อสารที่รู้จักกันดีแบบหนึ่ง ก็คือ การสื่อสารระบบวิทยุอิเล็กทรอนิกส์ช่องอยู่ในช่วงความถี่ 88-108 MHz (FM Broadcast Band) ถึงแม้ว่าการสื่อสารด้วยระบบวิทยุอิเล็กทรอนิกส์จะเกิดขึ้นในประเทศไทยมานาน แต่ก็ยังมีความสำคัญและเป็นที่นิยมอยู่มาก อีกทั้งในปัจจุบันมีการสนับสนุนโครงการวิทยุชุมชนขึ้น ทำให้เกิดสถานีส่งวิทยุระบบอิเล็กทรอนิกส์ขึ้นมาอย่างต่อเนื่อง สำหรับสถานีส่งที่ดีแล้ว ย่อมต้องการที่จะส่งกระจายคลื่นออกไปให้ได้ไกลที่สุดเท่าที่จะทำได้ และสามารถให้ผู้รับรับฟังได้อย่างมีประสิทธิภาพ

สำหรับระบบเครื่องส่งอิเล็กทรอนิกส์ที่ได้ศึกษาออกแบบในโครงการนี้จะเป็นระบบเครื่องส่งแบบไร้สายด้วยระบบอิเล็กทรอนิกส์ความถี่ 432 MHz ซึ่งสามารถใช้งานได้โดยไม่ต้องขออนุญาตเนื่องจากเป็นช่วงความถี่ประชาชน (Citizen Band) ซึ่งมีความถี่ที่ใช้งานคือ 27 MHz 78 MHz 245 MHz และ 422 MHz) แต่จะมีกำลังสูงไม่เกิน 30 วัตต์ ดังนั้น โครงการนี้จึงได้จัดทำขึ้นเพื่อศึกษาการออกแบบองค์ประกอบย่อยต่างๆภายในเครื่องส่ง โดยจะแบ่งการศึกษาออกแบบเป็นสามส่วน ได้แก่ ส่วนของการสร้างสัญญาณต้นแบบ ซึ่งส่วนนี้จะประกอบด้วยวงจรกำเนิดความถี่ วงจร oscillator และวงจรขยายบวกเฟอร์ โดยที่วงจรกำเนิดความถี่จะทำหน้าที่สร้างสัญญาณคลื่นพาห์ ในที่นี้จะทำการสร้างสัญญาณคลื่นพาห์ให้ออกมาตามความถี่ตามที่ต้องการ แล้วทำการมอดูลেตสัญญาณคลื่นพาห์กับสัญญาณข่าวสาร คือการนำสัญญาณข้อมูลแทรกไปกับสัญญาณคลื่นพาห์และวงจรขยายบวกเฟอร์จะทำให้แหล่งกำเนิดสัญญาณมีการลดค่าของ harmonic โนนิกของสัญญาณที่ออกจากภาคกำเนิดสัญญาณ เป็นเทคนิคที่ทำให้อุปกรณ์ทั้ง 2 ส่วนแมตช์กัน ส่วนที่สองคือ การทวีคูณความถี่ (Frequency Multiplier) ซึ่งจะทำหน้าที่เปลี่ยนความถี่ของสัญญาณที่สร้างมาจากแหล่งกำเนิดสัญญาณที่มีความถี่ต่ำให้มีความถี่สูงขึ้นตามที่ต้องการ โดยทำการคูณสัญญาณด้วยการปรับแต่งค่าของตัวเก็บประจุและค่าของตัวเหนี่ยวนำ และในส่วนสุดท้ายคือวงจรภาคเอาต์พุตกำลังหรือ (POS) ซึ่งจะทำการขยายสัญญาณระหว่างวงจรขยายบวกเฟอร์กับสายอากาศซึ่งจะทำหน้าที่ขยายสัญญาณเอาต์พุตให้มีกำลังสูงตามที่ต้องการ

1.2 วัตถุประสงค์ของโครงการ

1.2.1 เพื่อศึกษาการออกแบบของเครื่องส่งสัญญาณระบบอิเล็กทรอนิกส์ความถี่ 432 MHz

1.2.2 เพื่อศึกษาการสร้างสัญญาณคลื่นพาห์จากการแพร่กำเนิดสัญญาณเพื่อเป็นความถี่ในการส่งสัญญาณอวกาศ

1.2.3 เพื่อศึกษาการมอคุเลตสัญญาณในระบบอิเล็กทรอนิกส์

1.2.4 เพื่อศึกษาการทำงานและออกแบบส่วนของการทวีคูณความถี่ เพื่อให้ได้ความถี่ใช้งานที่ความถี่ 432 MHz

1.2.5 เพื่อสร้างเครื่องส่งวิทยุระบบอิเล็กทรอนิกส์แบบสำหรับใช้งานของหอกระจายข่าวในชุมชน

1.3 ขอบเขตของโครงการ

โครงการฉบับนี้เป็นการนำเสนอการสร้างเครื่องส่งสัญญาณระบบอิเล็กทรอนิกส์ที่ความถี่ 432 MHz ใช้กำลังในการส่ง 30 วัตต์ เพื่อนำไปประยุกต์ใช้สำหรับหอกระจายข่าวในชุมชน โดยมีขอบเขตดังต่อไปนี้

1.3.1 ศึกษาโครงสร้างและคุณสมบัติของส่วนต่างๆ ของเครื่องส่งระบบอิเล็กทรอนิกส์โดยใช้คริสตอลที่ความถี่ 48 MHz เป็นความถี่ฐานในการสร้างแหล่งกำเนิดสัญญาณสำหรับส่งสัญญาณออกอากาศ

1.3.2 ศึกษาและออกแบบวงจรต่างๆ ของเครื่องส่ง ซึ่งประกอบด้วย ส่วนของวงจรสร้างสัญญาณความถี่ฐาน ส่วนของการทวีคูณความถี่ และส่วนของวงจรขยายกำลังเอาต์พุต

1.3.3 ประกอบวงจรส่วนต่างๆ ของระบบตามที่ได้ศึกษาและออกแบบ

1.3.4 ปรับแต่งการทำงานของเครื่องส่งเพื่อให้สามารถทำงานได้ตามคุณสมบัติที่ออกแบบ เพื่อเปรียบเทียบสัญญาณจาก การศึกษาออกแบบ โดยการวัดทดสอบ

1.4 ขั้นตอนการดำเนินงาน

1.4.1 ศึกษาการทำงานของอุปกรณ์อิเล็กทรอนิกส์

1.4.2 ศึกษาและออกแบบระบบเครื่องส่งสัญญาณอิเล็กทรอนิกส์

1.4.3 ศึกษาการทำงานส่วนของวงจรระดับและวงจร modulation สัญญาณ (Exciter/Modulator) และประกอบชิ้นส่วนของวงจร

1.4.4 ศึกษาการทำงานส่วนของการทวีคูณความถี่และประกอบชิ้นส่วนของวงจร

1.4.5 ศึกษาการทำงานส่วนของวงจรขยายกำลังเอาต์พุตและประกอบชิ้นส่วนของวงจร

วงจร

1.4.6 ประกอบชิ้นส่วนแต่ละภาคเข้าด้วยกัน

1.4.7 ปรับแต่งให้ได้ตรงตามคุณสมบัติแล้วทำการตรวจสอบเช็คความถูกต้องโดยเปรียบเทียบ กับการวัดสัญญาณสัญญาณจริง (จากเครื่องมือวัด)

1.4.8 สรุปผลการทำงาน

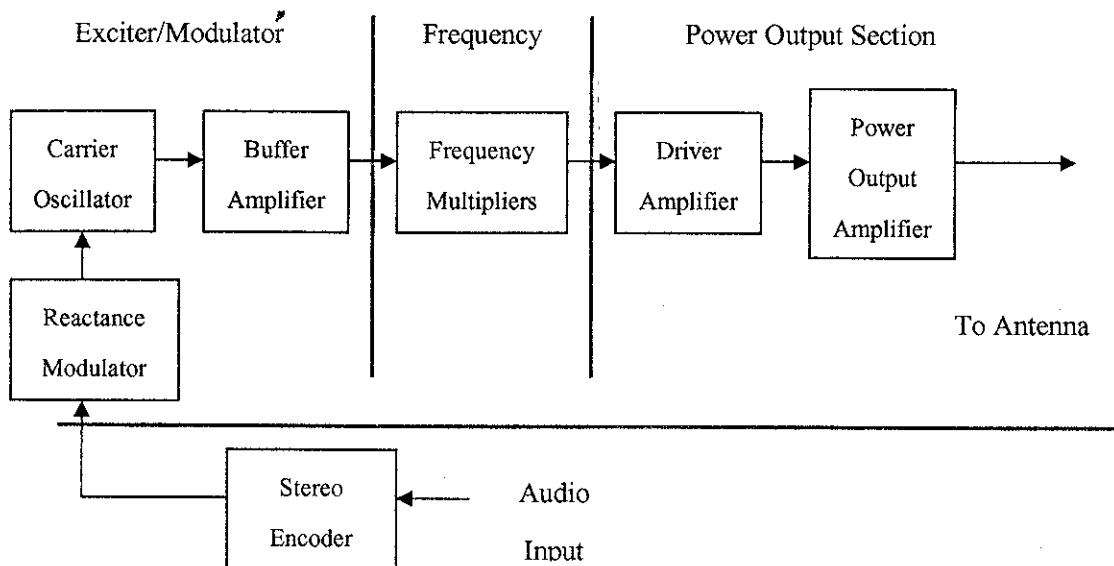
บทที่ 2

ระบบเครื่องส่งເອົ່າມສເຕອຣີໂຄວາມຄື 432 MHz

2.1 ກລຳວຸນໍາ

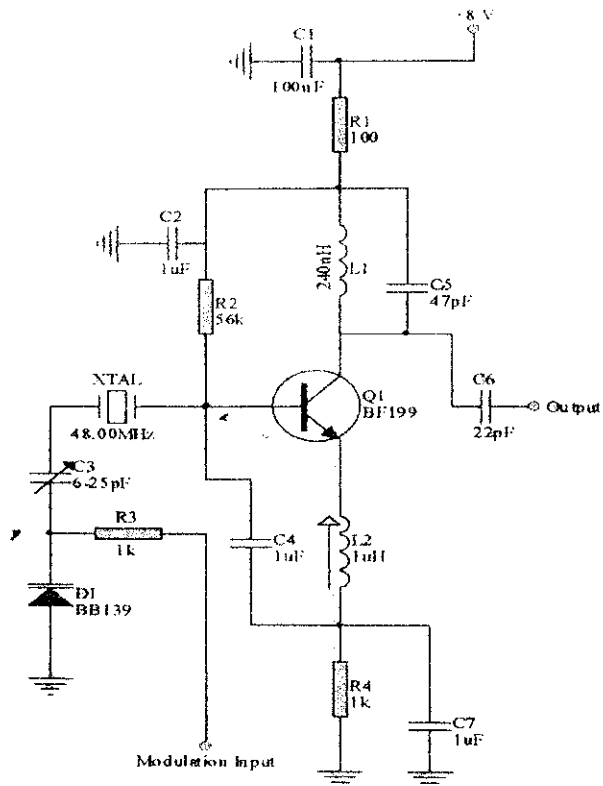
ໃນບັນຫຼິນຈະກຳລ່າວຖື່ງຄູນສົມບັດີແລະ ໂຄງສ້າງຂອງເຄື່ອງສ່າງເອົ່າມເອີ້ນ ໂດຍ ໂຄງສ້າງຂອງ
ເຄື່ອງສ່າງເອົ່າມຈະມີສ່ວນປະກອບຂອງເຄື່ອງສ່າງຄື້ອງ ວິຊາກະຕຸ້ນແລະ ວິຊາຮົມອຕຸລະດັບສັງລູານ ວິຊາ
ທີ່ຄູນຄວາມຄື່ແລະ ວິຊາຍຳກຳລັງເຂົ້າທິພູກ ນອກຈາກນີ້ຍັງມີການທຳເຄື່ອງສ່າງໃຫ້ເປັນແບນສເຕອຣີໂຄ
ມັດຕິເພີດີເຊ່ອຮີ ເພື່ອທຳການສ່າງສັງລູານ ໂດຍໃຊ້ຄວາມຄື່ໃນການສ່າງທີ່ 432 MHz

2.2 ຄູນສົມບັດີແລະ ໂຄງສ້າງຂອງເຄື່ອງສ່າງເອົ່າມເອີ້ນ



ຮູບທີ 2.1 ໂຄງສ້າງການທຳການໃນແຕ່ລະສ່ວນຂອງເຄື່ອງສ່າງ

2.3 วงจรกระตุ้นและวงจรอมอคูเดตสัญญาณ (Exciter/Modulator)



รูปที่ 2.2 วงจรที่ใช้แสดงการกำเนิดสัญญาณ

2.3.1 แหล่งกำเนิดเสียง (Audio Source)

โดยปกติแล้วความถี่เสียง (Audio Frequency) จะอยู่ที่ประมาณ 20 Hz - 20 KHz ซึ่งเป็นเสียงที่มาจากการเด่นแฝ้นซึ่ดี คอมพิวเตอร์ เทป ไมโครโฟน หรืออุปกรณ์อื่น ๆ ที่เกี่ยวกับเสียง สัญญาณเสียงนั้นจะต้องมีคุณสมบัติเสียงที่ดีและสามารถพัฒนาเสียงให้ดีได้กว่าเดิม โดยการ เชื่อมต่อจากแหล่งกำเนิดเสียงไปยังตัวควบคุมกำลังเสียงของสัญญาณ (Audio Limiter) เพื่อควบคุม คุณภาพของสัญญาณให้ดีกว่าเดิม โดยที่เครื่องส่งนั้นจะต้องไม่มีสัญญาณรบกวน (Noise) เข้ามา รบกวนในการส่งสัญญาณ

2.3.2 ตัวควบคุมกำลังเสียงของสัญญาณ (Audio Limiter)

เป็นที่รู้กันว่าระบบอัตโนมัติที่มาจากระบบควบคุมนั้นโดยปกติแล้วการสร้างจะใช้หลักการ ทำงานของเครื่องขยายเสียง (Amplifier) ร่วมกับการใช้งานในระบบควบคุมอื่น ๆ ซึ่งถ้าต้องการ สร้างเครื่องส่งวิทยุที่สามารถส่งสัญญาณคลื่นเสียงไปรอบ ๆ ทิศทาง โดยไม่มีระบบอัตโนมัติที่มา

จากระบบความคุณนั้นจะต้องทำการกำหนดสัญญาณเสียงจากแหล่งกำเนิดให้มีความดังของเสียงให้มีระดับของสัญญาณน้อยที่สุดให้แม่เหล็กกับเครื่องส่งที่ต้องการสร้าง

2.3.3 แหล่งกำเนิดสัญญาณ (Oscillator)

แหล่งกำเนิดสัญญาณจะทำหน้าที่สร้างสัญญาณคลื่นพาห์ (Carrier) โดยการใช้ค่า L1 และค่า C ต่างๆ ข้างบนนี้ในการคำนวนหาค่าความถี่สัญญาณได้จาก

$$\text{ความถี่สัญญาณ} = \frac{1}{(2\pi\sqrt{LC})} \text{ Hz} \quad (2.1)$$

แหล่งกำเนิดสัญญาณเป็นอุปกรณ์อิเล็กทรอนิกส์ที่จะต้องใช้ในการส่งและการรับของสัญญาณ ซึ่งกำลังงานเอาต์พุตของทรานซิสเตอร์นั้น ๆ นั้นจะสามารถส่งได้น้อยมากคือส่งได้เพียง 50 mW หรือน้อยกว่านั้นก็ได้ ถ้าครื่องส่งไม่มีการแยกช่องสัญญาณหรือขยายสัญญาณจะทำให้แหล่งกำเนิดสัญญาณให้กำเนิดสัญญาณความถี่ไปแบบไร้ทิศทางและ เมื่อทำการส่งออกอากาศจะทำให้สัญญาณของความถี่เปลี่ยนแปลงได้ ซึ่งแหล่งกำเนิดสัญญาณสามารถแบ่งออกเป็น 4 ชนิดดังนี้

1. VFO (Variable Frequency Oscillator) ตัวแปรความถี่ของแหล่งกำเนิดสัญญาณซึ่งแหล่งกำเนิดสัญญาณสามารถเปลี่ยนแปลงความถี่ของเอาต์พุตได้โดยการปรับตัวแปรของตัวหนี่ยวนำ (Conductor) และตัวเก็บประจุ (Capacitor)

2. VCO (Voltage Controlled Oscillator) ควบคุมแรงดันของแหล่งกำเนิดสัญญาณ โดยความถี่ของเอาต์พุตที่ถูกควบคุมหรือเปลี่ยนแปลงโดยแรงดันจากภายนอก ซึ่ง VCO จะใช้วาริแคป (Vary-cap) ของไดโอดเปลี่ยนแปลงค่าตัวเก็บประจุเพื่อให้ระดับของแรงดันมีความแตกต่างกันสำหรับนำไปใช้งาน

3. PLL (Phase Locked Loop) ระยะของการวนซ้ำ โดย PLL จะใช้การซิงโคลain ซึ่งความถี่ของ VCO กับความถี่ของแหล่งกำเนิดสัญญาณ โดยใช้การเปรียบเทียบเฟสของห้องส่องสัญญาณ ซึ่ง PLL ใช้ความถี่ของ VCO ที่มีความถี่ต่ำกว่าความถี่ของแหล่งกำเนิดสัญญาณ โดยที่ใช้เครื่องขยายส่งแรงดันกลับไปยัง VCO เพื่อเก็บความถี่ที่ต้องการส่ง

4. Crystal Oscillator จะใช้คริสตัลเป็นแหล่งกำเนิดสัญญาณความถี่

2.3.4 月中ุเลเตอร์ (Modulator)

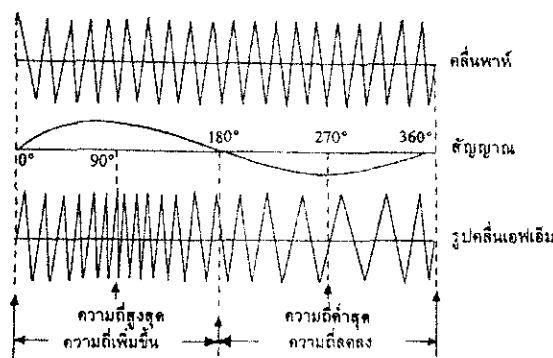
คือการนำสัญญาณข้อมูลแทรกไปกับสัญญาณคลื่นพาห์ ในการทำการส่งสัญญาณแบบเอฟเอ็มเมื่อทำการ modulation ด้วยปัลสูจุของสัญญาณ月中ุเลเตอร์มีค่าสูงขึ้น ความถี่ของสัญญาณคลื่นพาห์ก็จะสูงขึ้นเช่นเดียวกัน ในทางอุตสาหกรรมเอฟเอ็มจะใช้อุปกรณ์ที่เรียกว่าวาริแคป

ได้โดย ซึ่งมีการเปลี่ยนแปลงค่าของตัวเก็บประจุเพียงเล็กน้อยก็จะทำให้ค่าของแรงดันเกิดการเปลี่ยนแปลงตามค่าของตัวเก็บประจุ การเปลี่ยนแปลงของแรงดันอยู่ในช่วงประมาณ 1/10 ต่อ 1 โวลต์ จะทำให้แอนปลิจูดของสัญญาณที่มอคูเลตแล้วเกิดการเปลี่ยนแปลง เช่น ออดิโอ วิดีโอ และคิจ托ล หลังจากการใช้าริแคนเพื่อต่อ กับวงจรทำให้ค่าปัจจุบันนี้เกิดการแกว่ง ทำให้มีผลต่อความถี่ของสัญญาณคลื่นพาห์หรือที่เรียกว่าการเปลี่ยนความถี่ของคลื่น (Frequency Modulation) การเปลี่ยนแปลงสัญญาณที่สมบูรณ์จะมีการเปลี่ยนแปลงของความถี่อยู่ระหว่าง $-/+ 75 \text{ KHz}$

2.3.4.1 ลักษณะของคลื่นออฟเอิม

การมอคูเลชันเชิงความถี่ เป็นกรรมวิธีรวมหรือฝากรสัญญาณเข้ากับคลื่นพาห์อิกวิชันนิ่ง ในลักษณะที่ความถี่ของคลื่นพาห์จะเปลี่ยนไปตามขนาดของสัญญาณ ทั้งนี้ขนาดของคลื่นพาห์ยังคงที่ตลอดเวลา

รูปที่ 2.3 แสดงลักษณะของคลื่นพาห์ และหลังจากมอคูเลตด้วยสัญญาณที่เป็นคลื่นรูปไซน์ รูปที่แสดงนี้เป็นเพียงตัวอย่างให้เข้าใจง่าย ในทางปฏิบัติความถี่ของคลื่นพาห์กับสัญญาณจะต่างกันมากกว่าที่แสดงไว้ รวมทั้งสัญญาณปกติจะเป็นคลื่นเชิงช้อน แต่ผลที่ได้ก็เหมือนกับสัญญาณรูปไซน์



รูปที่ 2.3 การแปรผันสัญญาณความถี่ของคลื่นพาห์

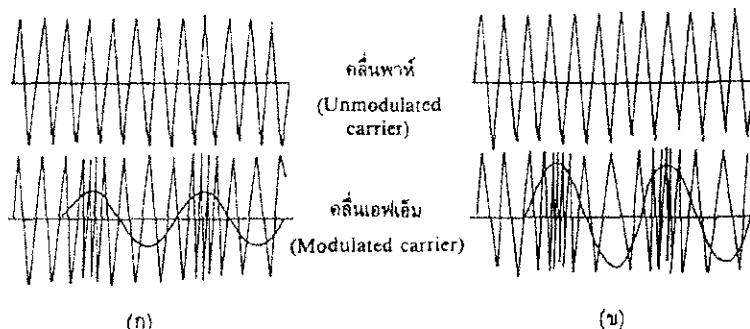
ในช่วงมอคูเลชัน เวลาใด ๆ ก็ตาม ความถี่ของคลื่นพาห์จะขึ้น โดยตรงกับขนาดของสัญญาณในช่วงเริ่มต้นวัฏจักรของสัญญาณขนาดหรือโวลต์เจ็จต่ำเป็นผลให้พาห์มีความถี่เปลี่ยนแปลงเพียงเล็กน้อย ขณะสัญญาณมีขนาดเข้าใกล้ช่วงสุดทางบวก (Positive Peak) ความถี่ของคลื่นจะเปลี่ยนแปลงอย่างมากและจะมากที่สุด ณ จุด 90 ในวัฏจักรของสัญญาณช่วงระหว่าง 90 และ 180 ขนาดของสัญญาณกลับคืนสู่ศูนย์โวลต์ ช่วงความถี่ของคลื่นพาห์ก็จะเลื่อนกลับเข้าสู่ค่าความถี่เดิม เมื่อมีสัญญาณเข้ามามอคูเลต ถ้ามาสัญญาณเข้าสู่ช่วง 270 ขนาดจะ

เริ่มสูงขึ้นอีกครั้ง แต่จะไปในทิศทางลง จึงทำให้ความถี่ของคลื่นพาห์เริ่มเปลี่ยนแปลงไปในทางลง ซึ่งหมายถึงความถี่ต่ำลงและต่ำที่สุด ณ จุด 270

ในทางปฏิบัติจะไม่คำนึงว่า ในครึ่งวัฏจักรแรกของคลื่นรูปไข่นี้ของสัญญาณจะเป็นผลทำให้ความถี่ของคลื่นพาห์เพิ่มขึ้นหรือลดลง จุดสำคัญอยู่ที่ว่า ความถี่ของคลื่นพาห์จะเปลี่ยนเป็นสัดส่วนกับการเปลี่ยนแปลงทางขนาดของสัญญาณ

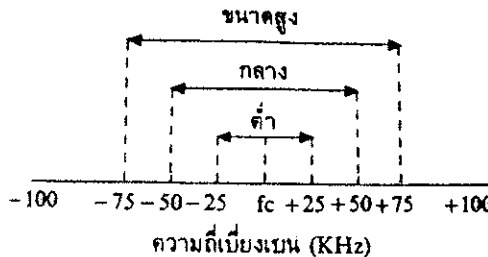
2.3.4.2 ผลกระทบของการเปลี่ยนแปลงขนาดของสัญญาณ

ในคลื่นเอฟเอ็มนั้น ความถี่คลื่นพาห์ที่เปลี่ยนแปลงไปจากความถี่เดิม หรือความถี่ศูนย์กลางไปมากน้อยเท่าไร เรียกว่าความถี่เบี่ยงเบน (Frequency Deviation) โดยถูกกำหนดด้วยขนาดสูงสุดของสัญญาณ ถ้าขนาดสูงสุดถูกเปลี่ยนแปลงค่าความถี่เบี่ยงเบนก็จะเปลี่ยนตามไปด้วยรูปที่ 2.4 แสดงถึงผลที่เกิดในคลื่นเอฟเอ็มเมื่อขนาดของสัญญาณสูงขึ้นแต่ความถี่ยังคงที่อยู่ เพื่อเป็นการเปรียบเทียบจึงใช้รูปคลื่นของสัญญาณซ้อนอยู่บนรูปคลื่นเอฟเอ็ม ให้สังเกตความถี่เบี่ยงเบนเพิ่มขึ้นเมื่อสัญญาณมีขนาดเพิ่มขึ้นในรูปที่ 2.4 (ช) (เกิดขึ้นที่ขนาดสูงสุดของสัญญาณ)



รูปที่ 2.4 รูปคลื่นเอฟเอ็มที่เกิดจากสัญญาณมีขนาดต่าง ๆ กัน

ตัวอย่างเช่น เมื่อคลื่นพาห์ถูก modulation ด้วยสัญญาณความถี่ 3,000 Hz ที่มีขนาดต่ำ ๆ ความถี่เบี่ยงเบนของคลื่นเอฟเอ็มเป็น $\pm 25 \text{ kHz}$ เมื่อขนาดของสัญญาณสูงขึ้นสองเท่าความถี่เบี่ยงเบนก็เพิ่มขึ้นสองเท่าด้วยเป็น $\pm 50 \text{ kHz}$ และเมื่อขนาดสูงมากขึ้นอีกความถี่เบี่ยงเบนพิมอีกเป็น $\pm 75 \text{ kHz}$ ทั้งหมดนี้ความถี่จะแกว่ง (Frequency Swing) ไป 50 kHz , 100 kHz และ 150 kHz ดังรูปที่ 2.5

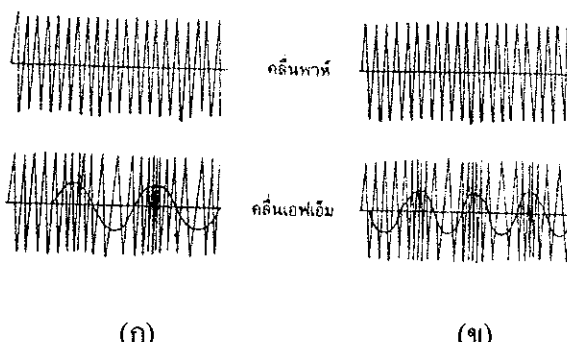


รูปที่ 2.5 การเปลี่ยนแปลงความถี่เบี่ยงเบนโดยขนาดของสัญญาณ

2.3.4.3 ผลจากการเปลี่ยนแปลงความถี่ของสัญญาณ

ความถี่ของสัญญาณเป็นตัวกำหนดอัตราที่ความถี่พาห์เปลี่ยนแปลงไป ถ้าความถี่ของสัญญาณเพิ่มขึ้น อัตราการเปลี่ยนแปลงความถี่ของคลื่นพาห์ก็สูงตามไปด้วย รูปที่ 2.6 นี้ แสดงผลที่มิต่อคลื่นอฟเอ็นเมื่อความถี่ของสัญญาณเพิ่มขึ้นแต่ขนาดสูงสุดยังคงที่อยู่ และเพื่อเป็นการเปรียบเทียบจึงแสดงรูปคลื่นของสัญญาณให้ชัดกับรูปคลื่นอฟเอ็นในรูปที่ 2.6 (ข) อัตราการเปลี่ยนแปลงทางความถี่ของคลื่นอฟเอ็นจะเร็วกว่าที่เกิดขึ้นในรูป (ก)

ตัวอย่างเช่น เมื่อคลื่นพาห์ถูกมอคุเลตด้วยสัญญาณความถี่ 1,000 Hz มีขนาดทำให้เกิดความถี่เบี่ยงเบนขนาดหนึ่ง สมมติ ± 25 kHz ด้วยอัตรา 1,000 ครั้งต่อวินาที เมื่อความถี่ของสัญญาณเพิ่มขึ้นเป็น 2,000 Hz แต่ขนาดยังคงเดิม ความถี่ของคลื่นพาห์จะเบี่ยงเบนเท่าเดิมคือ ± 25 kHz แต่คราวนี้อัตราการเปลี่ยนแปลงความถี่เพิ่มเป็น 2,000 ครั้งต่อวินาที



รูปที่ 2.6 รูปคลื่นอฟเอ็นที่เกิดจากสัญญาณมีความถี่ต่าง ๆ กัน

2.3.4.4 คุณสมบัติของคลื่นอฟเอ็น

ในการมอคุเลตชั้นเชิงขนาด เรายทราบแล้วว่าหากความถี่คลื่นพาห์แล้วยังมีความถี่ไซด์แบนด์เกิดขึ้นมาอีกหนึ่งคู่ เช่น ทั้งนี้ก็โดยการศึกษาจากรูปสมการของคลื่นสมการของคลื่นอฟเอ็น ทำนองเดียวกัน เพื่อศึกษาคุณสมบัติของคลื่นที่เกิดจากการมอคุเลตชั้นเชิงความถี่บ้าง และแสดงถึงคุณสมบัติของคลื่นอฟเอ็นให้ชัดเจนยิ่งขึ้น

กองพิจารณาสมการของคลื่น

$$E = E \sin(wt + \theta) \quad (2.2)$$

เมื่อ E เป็นขนาด โวลต์ของสัญญาณไฟฟ้า

$wt + \theta$ เป็นค่ามุขชั่วขณะและเฟสของพังก์ชัน

ซึ่งถ้าจะกล่าวถึงคลื่นพาห์ที่สามารถเขียนเป็นสมการของคลื่นพาห์ได้ว่า

$$ec = Ec \sin \phi(t) \quad (2.3)$$

โดยที่ ϕ เป็นมุนทางไฟฟ้าของคลื่น ซึ่งเปลี่ยนแปลงไปตามเวลา (t) และจะสัมพัทธ์กับความเร็วเชิงมุม (Angular Velocity) และความถี่ของคลื่นดังนี้

$$W = 2\pi f = d\phi(t) / dt \quad (2.4)$$

สมมติว่า สัญญาณที่จะเข้าไปฝากหรือผสมกับคลื่นพาห์แบบเอฟเอ็มนี้ มีสมการเป็น

$$\begin{aligned} em &= Em \cos Wmt \\ \text{หรือ } &= Em \cos 2\pi fmt \end{aligned} \quad (2.5)$$

ค่าชั่วขณะของสัญญาณนี้ ไปทำให้ความถี่ของคลื่นพาห์เปลี่ยนแปลงไปมาเป็น

$$f = fc + fd \cos 2\pi fmt \quad (2.6)$$

โดย fc = ความถี่ของคลื่นพาห์ขณะยังไม่มีสัญญาณเข้ามา

fd = ความถี่เบี่ยงเบนซึ่งมากน้อยเท่าไรขึ้นอยู่กับขนาดของสัญญาณ

fm = ความถี่ของสัญญาณที่เข้ามา

จากสมการ (2.4) และ (2.6) จะได้ว่า

$$d\phi(t) / dt = 2\pi(fc + fd \cos 2\pi fmt) \quad (2.7)$$

$$\begin{aligned} \text{ดังนั้น } \phi(t) &= \int 2\pi(fc + fd \cos 2\pi fmt) dt \\ &= 2\pi fct + (fd / fm) \sin 2\pi fmt + \phi_0 \end{aligned} \quad (2.8)$$

เมื่อ $mf = fd / fm$ ซึ่งเรียกว่า Modulation Index หรือค่านิการ modulation เข้ามานะ

ϕ_0 เป็นค่าคงที่จากการอินทิเกรทซึ่งมีมูลของเฟสเริ่มต้นเมื่อ $t = 0$ ดังนั้น จึง

สามารถพิจารณาว่า $\phi_0 = 0$ ได้โดยไม่มีผลต่อการ modulation เข้ามานะ

เมื่อแทนค่า $\phi(t)$ จากสมการ (2.8) ลงในสมการ (2.3) จะได้

$$\begin{aligned} ec &= Ec \sin(Wct + mf \sin Wmt) \\ &= e \text{ (เมื่อเป็นสมการซึ่งถูก modulationแล้ว)} \end{aligned} \quad (2.9)$$

ในคลื่นเอฟเอ็มสัญญาณรูปคลื่นใช้นิยามถี่เดียวจะทำให้เกิดไซด์แบนด์ขึ้นมาหนึ่งคู่เสนอส่วนในรูปคลื่นเอฟเอ็มจำนวนของไซด์แบนด์จะเป็นอย่างไรนั้น ให้กระจายสมการที่ (2.9) ดู นั่นคือ

$$e = Ec[\sin Wct * \sin(mf \sin Wmt)] \quad (2.10)$$

และ โดยอาศัย Bessel function สมการ (2.10) ในแต่ละส่วนกระจายออกเป็น

$$\cos(mf \sin Wmt) = J_0(mf) + \sum_{n=1}^{\infty} J_{2n}(mf) \sin(2n+1)Wmt \quad (2.11)$$

$$\text{และ } \sin(mf \sin Wmt) = \sum_{n=1}^{\infty} J_{2n+1}(mf) \sin(2n+1)Wmt \quad (2.12)$$

แทนค่า สมการ (2.11) และ (2.12) ลงในสมการ (2.10) พร้อมทั้งจัดรูปให้ดูง่าย

จะได้ว่า

$$\begin{aligned} e = & Ec \sin Wct [J_0(mf) + 2J_2(mf) \cos 2Wmt + 2J_4(mf) \cos 4Wmt + \dots] \\ & + Ec \cos Wct [2J_1(mf) \sin Wmt + 2J_3(mf) \sin 3Wmt + 2J_5(mf) \sin 5Wmt + \dots] \end{aligned} \quad (2.13)$$

$$\text{จาก } \sin A \cos B = \frac{1}{2} [\sin(A+B) + \sin(A-B)]$$

$$\cos A \sin B = \frac{1}{2} [\sin(A+B) - \sin(A-B)]$$

แทนค่าลงในสมการ (2.13) จะกลายเป็น

$$\begin{aligned} e = & J_0(mf) Ec \sin Wct + J_1(mf) Ec [\sin(Wc + Wm)t - \sin(Wc - Wm)t] \\ & + J_2(mf) Ec [\sin(Wc + 2Wm)t + \sin(Wc - 2Wm)t] \\ & + J_3(mf) Ec [\sin(Wc + 3Wm)t - \sin(Wc - 3Wm)t] \\ & + J_4 \dots \end{aligned} \quad (2.14)$$

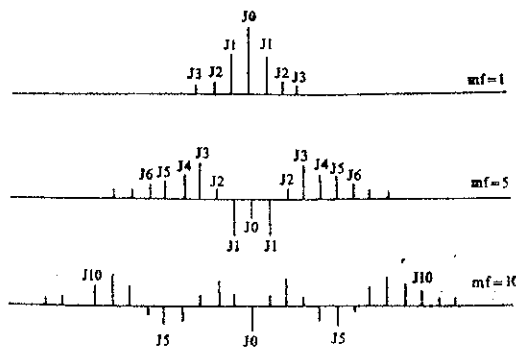
โดยที่ $J_n(mf)$ เป็น Bessel function (ของ mf) แบบแรกที่ลำดับ n และมีค่าที่หาได้จาก สมการต่อเนื่องดังนี้

$$J_n(mf) = \frac{m^n f}{2^n n!} \left[1 - \frac{m^2 f}{2(2n+2)} + \frac{m^4 f}{2(4)(2n+2)(2n+4)} - \frac{m^6 f}{2(4)(6)(2n+2)(2n+4)(2n+6)} + \dots \right] \quad (2.15)$$

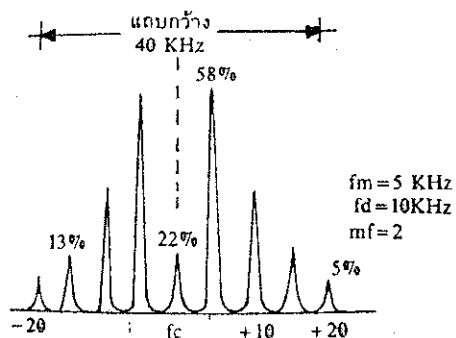
การหาค่า $J_n(mf)$ คือกำหนด Modulation Index (mf) เสียก่อน เนื่องจาก mf นี้สัมพันธ์ กับความถี่ของสัญญาณกับความถี่เบี่ยงเบนมั่นซึ่งมีค่าต่าง ๆ มากมาย ถ้ากำหนดคงไปทีละค่าก็จะได้ ค่าของ J_n ($n = 0, 1, 2, \dots$) ออกตามขนาดของ mf

จากรูปที่ 2.7 ลักษณะของแผลความถี่ (Frequency spectrum) นี้สามารถมองเห็นได้จากการ ใช้เครื่อง FM Sideband Analyzer มาวัดคุณภาพรูปที่ 2.7 นั้นค่าของคลื่นพาห์และไซด์เบนด์มีค่าทั้ง บวกและลบซึ่งหมายถึงว่าเฟสจะกลับกัน 180° แต่ในเครื่องスペกตรัมออนไลเซอร์นั้นแสดงเฉพาะ ความสูงของขนาดเท่านั้น จึงแสดงขนาดที่อยู่บนค้านเดียวกันเสมอ ดังในรูปที่ 2.8 ซึ่งแสดงແຕບ ความถี่ค้านต่ำและค้านสูงอยู่ห่างจากความถี่ของคลื่นพาห์ หรือโดยการใช้เครื่องวัดดังกล่าวนี้ก็ตาม จะเห็นว่าเมื่อค่าดัชนีการมอคูลาชัน (mf) ยิ่งสูงขึ้นเท่าใด ขนาดของไซด์เบนด์ที่สูง ๆ ก็จะมี ขนาดเฉลี่ยมากขึ้น ซึ่งหมายถึงว่า ແຜນความถี่แผ่กว้างออกไปยิ่งขึ้น ในกรณีที่ mf น้อยกว่า 0.5

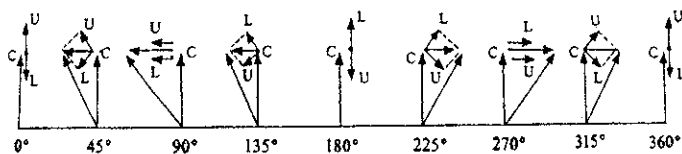
ใช้ค์เบนค์เกิดขึ้นเพียงหนึ่งครั้นนี้ เราจะใช้ผลอันนี้ประกอบกับการรวมขนาดของความถี่ต่าง ๆ ด้วยวิธีทางเวคเตอร์ แสดงเป็นรูปคลื่นเอฟเอ็มได้ง่ายขึ้นดังแสดงในรูปที่ 2.9



รูปที่ 2.7 แสดงແນບຄວາມถີ່ຂອງໃຊ້ດັບຕໍ່ານຕໍ່ານສູງຂອງຄລິ່ນເອັບເອັນ



รูปที่ 2.8 แสดงຄວາມถີ່ທີ່ໄດ້ຈາກເຄື່ອງວິເຄຣະທີ່ໃຊ້ດັບຕໍ່



รูปที่ 2.9 ຮູບຄລິ່ນເອັບເອັນຈາກກາຮຽນທາງເວັບເຕອຣ໌ (mf ມີຄ່ານ້ອຍ ๆ)

2.3.4.5 ຄວາມກ້ວາງຂອງແນບຄວາມถີ່ທີ່ຈຳປັນສໍາຫຼັບຄລິ່ນເອັບເອັນ

ໃຊ້ດັບຕໍ່ານໃນຄລິ່ນເອັບເອັນນີ້ມີຈຳນວນນາງນາຍ ແຕ່ໃນຄວາມຈົງນີ້ພລັງຈານສ່ວນໃຫຍ່ຈະຮວມອູ້ໃນໃຊ້ດັບຕໍ່ານແກ່ ທ່ານີ້ ດັ່ງນີ້ຈີ່ໄປໆຈຳເປັນຕ້ອງຫ່ວງວ່າຄວາມກ້ວາງຂອງແນບຄວາມ

(Bandwidth) จะกว้างมากจนถึงค่าอนันต์ ในทางปฏิบัติจะพิจารณาเฉพาะไซด์แบนด์ที่มีขนาดสูง หรือมีพลังงานมาก ซึ่งเมื่อร่วมกันส่งออกไปแล้ว ทางค้านเครื่องรับทำการแปลงสัญญาณ (Detect) ออกมาแล้ว ได้สัญญาณที่มีความเพียงน้อยที่สุดก็พบว่าเป็นอันใช้ได้ การจะพิจารณาเลือกไซด์แบนด์ว่าควรจะใช้ถึงค่าดับที่เท่าไรนั้นมีวิธีการดังนี้

สมมติให้ สัญญาณรูปไซน์ความถี่เดียว มอคุเลตกับคลื่นพาห์แบบเอฟเฟิน ได้ไซด์แบนด์จำนวนหนึ่งที่มีพลังงานสูงถึงค่าดับที่ n ซึ่งเมื่อนำพลังงานรวมส่วนนี้ไปเปรียบเทียบกับพลังงานรวมทั้งหมดเป็นอัตราส่วน A ได้

$$A = \sum_{-n}^n J_n(mf) / \sum_{-\infty}^{\infty} J_n(mf) \quad (2.16)$$

แต่สมการของ Bessel function ได้ว่า

$$\sum_{-\infty}^{\infty} J_n(mf) = 1 \quad (2.17)$$

ซึ่งหมายถึงว่า ให้พลังงานรวมทั้งหมด เป็น 100 % หรือ 1 หน่วย ดังนั้น

$$A = \sum_{-n}^n J_n(mf) \quad (2.18)$$

จากสมการ (2.18) ถ้าสมมติว่า n มีค่าเท่ากับ mf แทนค่าลงไปจะได้ $A = 0.95$ หรือก็คือภายในແນບความถี่ซึ่งกว้างเป็น $2fd$ นี้ 95 % ของพลังงานทั้งหมดจะถูกส่งออกไป ทั้งนี้เป็นกรณีที่สัญญาณเป็นคลื่นรูปไซน์ แต่ถ้าสัญญาณเป็นคลื่นรูปสี่เหลี่ยม และยังคงใช้ແນບความถี่กว้างกว่าเดิม พลังงานที่ถูกส่งออกไปจะลดลงเหลือเพียง 80 % เท่านั้น แต่ถ้าพิจารณาเพิ่มไซด์แบนด์เข้าไปอีกหนึ่งคู่เสมอ ให้ส่งออกไปถึงคู่ที่ $mf + 1$ พลังงานจะเพิ่มขึ้นเป็น 93 % ฉะนั้นในการหาความกว้างของແນບความถี่จะนับว่าเป็นความกว้างที่เหมาะสมคือเท่าที่จำเป็นสำหรับการส่งและรับซึ่งเรียกว่า “Necessary Bandwidth” ซึ่งมีค่าเป็น

$$BW = 2(mf + 1)fm \\ \text{หรือ} \quad = 2(fd + fm) \quad (2.19)$$

เมื่อ BW = ความกว้างของແນບความถี่เท่าที่จำเป็น

mf = ตัวนิยามมอคุเลชัน

fm = ความถี่ของสัญญาณ

fd = ความถี่เบี่ยงเบนของคลื่นพาห์

ตัวอย่างเช่น ในการมอคุเลชันเชิงความถี่ ความถี่เบี่ยงเบนสูงสุด $fd = 75 \text{ kHz}$ และความถี่สูงสุดของสัญญาณ $fm = 15 \text{ kHz}$ ความกว้างของແນບความถี่เท่าที่จำเป็น $BW = 2(75 + 15) \text{ kHz}$ หรือเท่ากับ 180 kHz

ลองข้อนกับไปคุณความสัมพันธ์ระหว่างความถี่ของสัญญาณ (fm) ความถี่เบี่ยงเบนของคลื่นพาห์ (fd) และดัชนีการอคูเลชัน (mf) ซึ่งมีสมการเป็น

$$mf = fd / fm$$

จากสมการนี้ จะเห็นว่า ถ้าให้ระดับการอคูเลชันมีขนาดต่ำคือขนาดของสัญญาณต่ำ ๆ ความถี่เบี่ยงเบนก็ต่ำ mf จึงมีค่าน้อย ซึ่งขณะนี้จำนวนใช้แบบนี้จำนวนจะมีเพียงหนึ่งคู่ตลอดเวลาความกว้างของแอนความถี่จะต่ำสุดเป็น $2fm$ แต่จะต้องมีการทวีคูณความถี่ (Frequency Multiplication) เพื่อให้ความถี่เบี่ยงเบนสูงขึ้นซึ่งนับว่าเป็นเรื่องใหญ่พอสมควรในการมีการอคูเลชันเชิงความถี่นี้ ดัชนีการมีการอคูเลชันจะผูกพันกับความถี่ของสัญญาณนั้นคือถ้า fm สูง mf ก็จะต่ำ จำนวนคู่ใช้แบบนี้น้อย และถ้า fm ต่ำ mf จะสูง จำนวนคู่ของใช้แบบนี้จะสูง ดังนั้นถ้าให้ความถี่เบี่ยงเบนสูงสุดของคลื่นพาห์คงที่ไว้ค่านั้น ความกว้างของแอนความถี่ก็จะมีค่าใกล้เคียงกันหรือเกือบคงที่

มีข้อควรระวังอย่างหนึ่งว่า ในทางปฏิบัติขนาดของสัญญาณความถี่สูงของระบบกระจายเสียงมักมีค่าต่ำกว่าสัญญาณทางด้านความถี่ต่ำ ดังนั้น ความถี่ของสัญญาณเสียงทางสูง จึงไม่มีผลทำให้ความกว้างของแอนความถี่มีความกว้างแตกต่างกันมากนัก เมื่อเทียบกับสัญญาณความถี่ต่ำ

2.3.4.6 กำลังงานในคลื่นอินฟราเรด

ขณะคลื่นพาห์ถูกสัญญาณเข้ามามีการอคูเลทันน์ ความถี่ของคลื่นพาห์เท่านั้นที่เปลี่ยนแปลงไปมาแต่ขนาดของมันยังคงเดิมตลอดเวลา ซึ่งหมายความว่า ระหว่างการมีการอคูเลชันกำลังงานทั้งหมดในคลื่นอินฟราเรดยังคงเท่าเดิมอยู่ และเท่ากับกำลังของคลื่นพาห์เพียงอย่างเดียวคือ ขณะไม่มีการมีการอคูเลชัน

ขณะอาศัยค่าขนาดสัมพัทธ์ของใช้แบบดีสามารถแสดงให้เห็นความจริงดังกล่าวไว้ได้ โดยคำนวณกำลังงานทั้งหมด สำหรับค่าหนึ่ง ๆ ของดัชนีการมีการอคูเลชันจะได้ว่ากำลังงานทั้งหมดเป็นผลบวกของกำลังงานในองค์ประกอบ ซึ่งมีของคลื่นพาห์ และใช้แบบนี้คู่ต่าง ๆ และเนื่องจากขนาดสัมพัทธ์อาจเป็นค่าโอลเต็จหรือกระแสในขนาดความถี่ต่าง ๆ กัน การรวมกำลังงานของมันจึงทำได้โดยการถอดรากสอง (Square Root) ของผลบวกของกำลังสองของค่าต่าง ๆ ดังกล่าว เมื่อร่วมค่าเหล่านี้แล้วจะได้กำลังงานทั้งหมดเท่ากับ 1 หรือคิดเป็นเปอร์เซ็นต์ได้ 100 % ซึ่งเท่ากับกำลังงานของคลื่นพาห์ขณะไม่มีการมีการอคูเลชัน

ตัวอย่างเช่น ณ ค่าดัชนีการมีการอคูเลชัน (mf) = 2

$$\begin{aligned} \text{กำลังงานทั้งหมด} &= \sqrt{(22)^2 + 2(58)^2 + 2(35)^2 + 2(13)^2 + 2(3)^2} \\ &= \sqrt{10,018} \\ &= 100\% \end{aligned}$$

จากผลที่ระหว่างมีการอคูเลชัน กำลังงานทั้งหมดยังคงที่อยู่ จึงสามารถออกแบบให้ภาคขยายความถี่วิทยุ (RF Amplifiers) ในเครื่องส่งเออเมรับกำลังงานค่าสูงสุด (Peak Power) ได้ต่ำกว่าของ

เครื่องส่งเอฟเอ็มเมื่อกำลังงานทางออกมีค่าเท่ากัน นอกจากนั้นในการจ่ายไฟก็ไม่มีปัญหาเกี่ยวกับเรื่องแรงไฟคงที่ (Regulation) มากนัก

2.3.4.7 ผลของการเปลี่ยนความถี่ในคลื่นเอฟเอ็ม

บางครั้งในเครื่องส่ง หรือเครื่องรับเอฟเอ็มจำเป็นต้องมีการทวีคูณความถี่ (Frequency Multiplication) แบ่งหรือลดความถี่ (Frequency Division) และแปลงความถี่ให้สูงขึ้นหรือต่ำกว่าเดิม (Frequency Conversion) ผลจากการกระทำการดังกล่าวนี้จะมีอثرพิเศษต่อคุณสมบัติบางประการของคลื่นเอฟเอ็ม โดยเฉพาะความถี่เบี่ยงเบน (Frequency Deviation) ของคลื่น파ห์

(1) ผลของการทวีคูณความถี่

เมื่อผ่านคลื่นเอฟเอ็มเข้าไปในวงจรทวีคูณความถี่ (Frequency Multiplier) ซึ่งเป็นวงจรแทงค์ประกอบด้วย L-C มีค่าตอบสนองต่อความถี่ชาร์โนนิกส์ที่มีความถี่สูงกว่าคลื่นพาห์เป็นจำนวนทวีคูณเช่น สอง สาม หรือสี่เท่า ความถี่ที่ออกมาก็ย่อมเป็นสอง สาม หรือสี่เท่าตามไปด้วย เช่น จากสมการ (2.6) ซึ่งแสดงถึงความถี่ของคลื่นเอฟเอ็ม

$$f = fc + fd \cos 2\pi f_{mt}$$

เมื่อเลือกเอาเฉพาะชาร์โนนิกที่ n ออกมาจะได้

$$f = n(fc + fd \cos 2\pi f_{mt})$$

$$= nfc + nfd \cos 2\pi f_{mt}$$

จะเห็นว่า นอกจากรูปแบบคลื่นพาห์จะมีความถี่เพิ่มขึ้นเป็น n เท่าเดียว ความถี่เบี่ยงเบนยังคงอยู่เพิ่มขึ้นเป็น n เท่าอีกด้วย เมื่อการป้อนคลื่นเอฟเอ็มที่คลื่นพาห์มีความถี่ 20 MHz และความถี่เบี่ยงเบน ± 10 kHz ผ่านวงจรทวีคูณความถี่สองเท่า (Frequency Doubler) ได้คลื่นพาห์ที่มีความถี่ 40 MHz พร้อมด้วย ความถี่เบี่ยงเบน ± 20 kHz ออกมานะ

(2) ผลของการลดหรือแบ่งความถี่

ในการออกแบบเดียวกันกับการทวีคูณความถี่เมื่อผ่านคลื่นเอฟเอ็มเข้าไปในวงจรแบ่งความถี่ (Frequency Divider) ความถี่ของคลื่นพาห์พร้อมกับความถี่เบี่ยงเบน จะถูกแบ่งหรือลดลงด้วยจำนวนเท่า ๆ กัน เมื่อคลื่นเอฟเอ็มที่มีความถี่ของคลื่นพาห์เป็น 90 MHz และความถี่เบี่ยงเบน ± 60 kHz ผ่านวงจรแบ่งความถี่ที่มีอัตรา 3: 1 หรือหารด้วย 3 คลื่นพาห์ที่ออกมายังเหลือความถี่ 30 MHz และความถี่เบี่ยงเบนกลายเป็น ± 20 kHz

(3) ผลของการแปลงความถี่

วงจรแปลงความถี่ (Frequency Converter) ในเครื่องรับสื่อสารจะมีจัดการให้ต่ำลงในขณะที่เครื่องส่ง UHF จะใช้ Up-converter แปลงความถี่ให้สูงขึ้นและเนื่องจากการทำงานของตัวแปลงความถี่ (Converter) นั้น อาศัยความถี่พื้นฐานของแหล่งกำเนิดเป็นตัวกำหนดความถี่ที่ต้องการ เพราะที่ทางออกของวงจรแปลงความถี่ จะเป็นความถี่ผิดบวกหรือความถี่ผิดต่างของความถี่ที่เข้ามา กับความถี่พื้นฐานของแหล่งกำเนิด ถ้าเลือกเอาเฉพาะความถี่ผิดต่างอย่างเดียวความถี่ออกไป ก็จะต่ำกว่าที่เข้ามา ถ้าใช้ความถี่ผิดบวกอย่างเดียวความถี่ที่ได้จะสูงกว่าที่เข้ามา ด้วยเหตุนี้เมื่อผ่านคลื่นอินฟรารูปเข้าไปในวงจรแปลงความถี่คลื่น파ห์จะถูกแปลงไปเป็นความถี่อื่น โดยกำหนดด้วยความถี่พื้นฐานของแหล่งกำเนิด ส่วนความถี่เบี่ยงเบนยังคงมีค่าเท่าเดิม จากที่ได้กล่าวมาข้างต้น สามารถจับใจความสำคัญได้ดังนี้

- ในระบบการมอคูลาชั่นเชิงความถี่ ความถี่ของคลื่น파ห์จะเปลี่ยนแปลง หรือเบี่ยงเบนไปจากความถี่เดิมหรือความถี่กึ่งกลาง (Center Frequency) มากน้อยเท่าไรขึ้นอยู่กับขนาดของสัญญาณที่เข้าไปทดสอบ ส่วนความถี่ของสัญญาณ เป็นตัวกำหนดอัตราการเปลี่ยนแปลงความถี่ของคลื่น파ห์

- ความถี่เบี่ยงเบนสูงสุด (Maximum Frequency Deviation) หรือ 100% มอคูลาชั่นจะสูงเท่าไรขึ้นอยู่กับระบบของการส่ง เช่น

เครื่องส่งสื่อสารกระจายเสียงสูงสุด $\pm 75 \text{ KHz}$

เครื่องส่งโทรศัพท์ (เสียง) สูงสุด $\pm 50 \text{ KHz}$

เครื่องส่งวิทยุโทรศัพท์ สูงสุด $\pm 15 \text{ KHz}$

ดังนั้น เมอร์เซ็นมอคูลาชั่นจึงกำหนดได้จาก

$$\% \text{ มอคูลาชั่น} = \text{ความถี่เบี่ยงเบน} * 100 / \text{ความถี่เบี่ยงเบนสูงสุด}$$

$$= fd * 100 / \Delta F_c$$

- คัชนีการมอคูลาชั่น (Modulation Index) กำหนดได้ด้วยอัตราส่วนของความถี่เบี่ยงเบนต่อความถี่ของสัญญาณที่จะเข้าไปทำการทดสอบกับคลื่น파ห์ ค่าที่ออกแบบจึงเป็นตัวเลขทศนิยมหรือจำนวนเต็ม (ไม่ได้ออกมาเป็นเบอร์เช่นต.) เมื่อใช้ร่วมกับ Bessel function จะทำให้ทราบขนาดและจำนวนของไซด์แบนด์ที่เกิดจากการมอคูลาชั่น ซึ่งจะนำไปพากล่าวว่างของแอบความถี่ (Bandwidth) ของคลื่นอินฟรารูปได้

$$\text{คัชนีการมอคูลาชั่น} = \text{ความถี่เบี่ยงเบน} / \text{ความถี่ของสัญญาณ}$$

$$mf = fd / fm$$

- อัตราส่วนการเบี่ยงเบน (Deviation Ratio) เป็นอัตราส่วนของความถี่เบี่ยงเบนสูงสุด (ที่ทำให้เกิด 100 % มอคูลาชั่น) ต่อความถี่สูงสุดของสัญญาณที่ไปทดสอบมีประโยชน์ใช้สำหรับหาความกว้างสูงสุดของแอบความถี่ของระบบอินฟรารูป

$$\text{อัตราส่วนการเบี่ยงเบน} = \text{ความถี่เบี่ยงเบนสูงสุด} / \text{ความถี่สูงสุดของสัญญาณ}$$

$$= \Delta Fc / Fm$$

- ความกว้างของแอบความถี่ (Bandwidth) ในทางปฏิบัติความกว้างของแอบความถี่ จะพิจารณาจำนวนของไชด์แบนด์ ถึงคู่ที่มีขนาดต่ำกว่า 10% ของขนาดของคลื่นพาห์ เรียกว่าความกว้างของแอบความถี่ที่จำเป็น (Necessary Bandwidth) สำหรับอ่อฟเอ็ม [1]

2.3.5 วงจรขยายบีฟอร์ (Buffer Amplifier)

วงจรขยายบีฟอร์มีวิธีการทำงานอยู่ 2 พิ้งก์ชันคือ

1. สัญญาณอาร์เอฟรับค่ามาจากแหล่งกำเนิดสัญญาณ
2. ทำงานเป็นชิลเดอร์ระหว่างแหล่งกำเนิดสัญญาณกับสเตจของการส่งสัญญาณ

ทั้ง 2 พิ้งก์ชันนี้จะทำให้แหล่งกำเนิดสัญญาณลดค่าของ harmonic โนนิกของสัญญาณที่ออกจากแหล่งกำเนิดสัญญาณจะถูกนำมาเก็บชั่วคราวผ่านตัวเก็บประจุหรือตัวด้านหนานในวงจรเป็นเทคนิคที่ทำให้อุปกรณ์ทั้ง 2 ส่วนแมตซ์กัน ซึ่งวงจรขยายกำลังงานที่มีใช้ในปัจจุบันนี้มีหลายชนิดมากแต่ที่ได้ทำการศึกษามานี้ 3 ชนิด ดังนี้

1. วงจรขยายกำลังงานคลาส A วงจรขยายกำลังงานคลาส A หรือเรียกอีกชื่อหนึ่งว่า Low Noise Amplifier (LNA) จะส่งสัญญาณแบบดิจิตอลเพราเวชวงจรขยายกำลังงานคลาส A เป็นแบบไม่เป็นเชิงเส้น (Non-Linear) ซึ่งจะใช้สำหรับรับสัญญาณจากสายอากาศและออดิโอ โดยการออกแบบนี้จะทำการออกแบบทาง DC เมื่อทำการกำหนดให้ใช้ทรานซิสเตอร์เป็นวงจรขยายกำลังงานคลาส A จะใช้กระแสในการควบคุมการทำงาน โดยที่การออกแบบจะใช้วิธีแมตซ์ชิ่งกับทรานซิสเตอร์ ซึ่งวงจรแมตซ์ชิ่งนี้จะมีประสิทธิภาพในการวิเคราะห์และอ้างอิงข้อมูลในการออกแบบวงจรแมตซ์ชิ่งมาก ถ้าทรานซิสเตอร์เกิดการใบอัตโนมัติทำให้ได้กระแสจากการไฟต่อผ่านขาคอลเลกเตอร์คือ

$$i_c(t) = I_{CQ} - I_{max} \sin(\omega t) \quad (2.20)$$

เมื่อ I_{CQ} คือการกระแสการใบอัตโนมัติแหล่งกำเนิดและ I_{max} คือแอมป์ลิจูดสูงสุดของสัญญาณเมื่อ $I_{DC} = I_{CQ}$ ในทำนองเดียวกันกระแสเอาต์พุตที่ผ่านตัวเก็บประจุเป็น

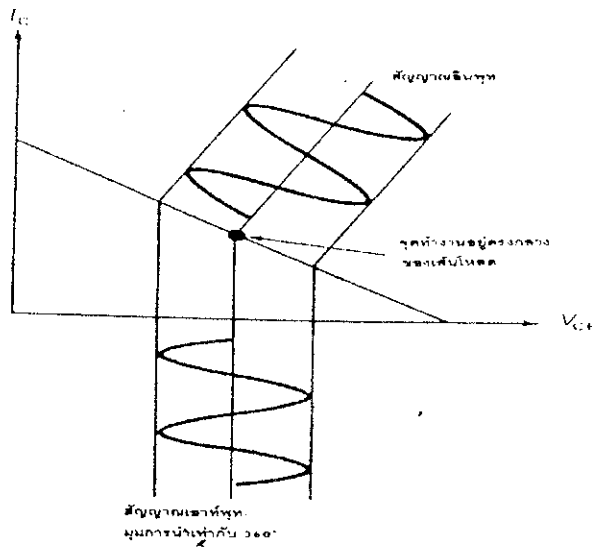
$$i_o(t) = I_{max} \sin(\omega t) \quad (2.21)$$

โดยที่แรงดันเอาต์พุตเป็น $v_o(t) = I_{max} R_L \sin(\omega t) = V_{max} \sin(\omega t)$ (2.22)

และเมื่อพิจารณาทาง DC และ AC จะให้แรงดันเอาต์พุตเป็น

$$v_c(t) = V_{cc} + V_{max} \sin(\omega t) \quad (2.23)$$

ในวงจรขยายกำลังงานคลาส A นั้นสัญญาณเอาต์พุตที่สูงที่สุดคือ V_{cc} แต่จะนำไปใช้งานจริงเพียง $V_{cc}/2$ โดยที่กำลังงานเอาต์พุตจากแหล่งกำเนิดสัญญาจะมีประสิทธิภาพเพียง 50% ของความแรงของสัญญาณทั้งหมด [2]



รูปที่ 2.10 รูปแสดงจุดการทำงานของวงจรขยายคลาส A

จากรูปที่ 2.10 จุดการทำงานของวงจรขยายคลาส A จะเป็นจุดที่ให้การแก่งของเอาต์พุตได้ดีที่สุด โดยปราศจากการตัดและสัญญาณเอาต์พุตจะมีลักษณะคล้ายกับสัญญาณอินพุตแสดงว่า สัญญาณเกิดการผิดเพี้ยนต่ำ แต่คลาส A มีการสูญเสียกำลังและประภากลั่นเงินที่ระดับสัญญาณต่ำๆ จุดการทำงานของคลาส A อยู่ตรงกลางของเส้นโหลดหมายความว่าแรงดันที่จ่ายให้นั่นตกลงทุกครั้งที่ปรานซิสเตอร์เพียงครึ่งหนึ่งเท่านั้น ดังนั้นปรานซิสเตอร์นำไฟฟ้าด้วยกระแสอิมตัวเพียงครึ่งเดียว แรงดันและกระแสนี้ทำให้เกิดการสูญเสียกำลังในปรานซิสเตอร์ แต่การสูญเสียกำลังจะมีการสูญเสียกำลังมีค่าคงที่ ดังนั้นจึงทำให้มีกำลังออกมากจากเพาเวอร์ซัพพลายโดยที่ไม่มีสัญญาณถูกขยาย

2. วงจรขยายกำลังงานคลาส B เป็นวงจรที่ให้กำลังงานน้อยมากแต่จะมีประสิทธิภาพในการทำงานได้ดีกว่าคลาส A ใช้ในการขยายกำลังงานแบบเชิงสันน์แต่โดยส่วนมากวงจรขยายคลาสนี้จะใช้สำหรับขยายวงจรที่มีความถี่สูงคือย่านความถี่ HF bands โดยที่วงจรขยายคลาส B นี้สามารถทำงานได้ 50% ของสัญญาณอินพุต ตัวเอาต์พุตนี้จะให้ค่าของสัญญาณเพียงครึ่งเดียวโดยมีกระแสสูงสุดเป็น I_{max} และให้กระแสเอาต์พุตจากการเชื่อมต่อ กับ หม้อแปลงเป็น

$$i_o(t) = \frac{n_1}{n_2} I_{max} \sin(\omega t) \quad (2.24)$$

และแรงดันจากโหลด RL เป็น

$$v_o(t) = i_o(t)R_L = \frac{n_1}{n_2} I_{max} R_L \sin(\omega t) = V_{max} \sin(\omega t) \quad (2.25)$$

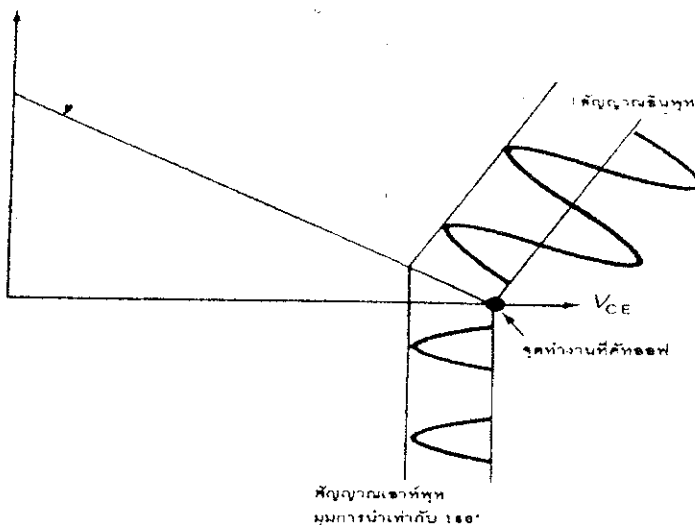
เมื่อผ่านหม้อแปลงไปแล้วแรงดันที่โหลดจะเกิดขึ้นที่ขาออลล์เตอร์ของปรานซิสเตอร์ออกมากถึง

$$v_{C1}(t) = i_o(t)R_L = V_{cc} + \frac{n_1}{n_2}V_{max} \sin(\omega t) = V_{cc} + \frac{n_1^2}{n_2^2}I_{max}R_L \sin(\omega t) \quad (2.26)$$

จะเห็นว่าแรงดันจากขาคดเดือดเดอร์ของทรานซิสเตอร์นั้นมีแรงดันสูงสุดที่ได้มาจากการซิสเตอร์คือ

$$v_{C,max} = \frac{n_1}{n_2}V_{max} = \frac{n_1^2}{n_2^2}I_{max}R_L \quad (2.27)$$

ซึ่งวงจรขยายกำลังงานชนิดนี้จะให้ประสิทธิภาพในการขยายกำลังงานเป็น 78.5% แต่จะเกิดการผิดเพี้ยนสูงกว่างจรรยาบคลาส A โดยที่กำลังงานที่ได้มาจากทรานซิสเตอร์เป็น $P_S - P_L$ โดยที่เป็นครึ่งหนึ่งของกำลังที่ได้กล่าวข้างต้น [2]

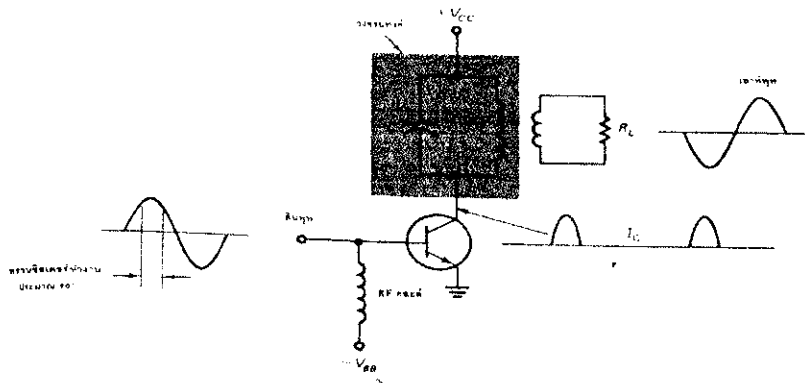


รูปที่ 2.11 รูปแสดงจุดการทำงานของวงจรขยายคลาส B

จากรูปที่ 2.11 จุดการทำงานของคลาส B โดยที่จุดการทำงานอยู่ที่จุดอิ่มฟบนเส้นโหลดซึ่งทำได้โดยการไม่ไบอสที่รอต่อของเบส-อีมิตเตอร์ในทรานซิสเตอร์ การไม่ไบอสหมายความว่าสัญญาณอินพุตเพียงครึ่งหนึ่งจะถูกขยาย สัญญาณเพียงครึ่งหนึ่งเท่านั้นที่ทำให้สัญญาณที่เบส-อีมิตเตอร์ทำงานซึ่งสร้างสัญญาณเอาต์พุต และกระแสในทรานซิสเตอร์เป็นศูนย์ซึ่งหมายความว่ากำลังเท่ากับ 0 วัตต์ สัญญาณจะถูกขยายถ้าแอมป์ลิจูดของสัญญาณใหญ่ขึ้น จึงทำให้การทำงานของคลาส B มีประสิทธิภาพมากกว่า คลาส A

3. วงจรขยายกำลังงานคลาส C เป็นวงจรที่มีคุณสมบัติที่ใช้สำหรับการปฏิบัติการวัดค่าของกระแสเอาต์พุตและแรงดันเอาต์พุตให้เป็นศูนย์ที่ที่ทำการวัดคือครึ่งหนึ่งของสัญญาณอินพุต โดยที่วงจรขยายกำลังงานคลาส C จะมีการทำงานเป็นแบบเชิงเส้นซึ่งจะใช้ในการส่งสัญญาณแบบ

จะนาได้ก็โดยจะใช้ทรานซิสเตอร์ควบคุมการทำงานของวงจรขยายกำลังงานคือวงจรจะทำงานเมื่อแรงดันต่ำกว่ามาระหว่างขาเบสและอีมิตเตอร์มีค่ามากกว่า 0.7 Volt



รูปที่ 2.12 รูปแสดงการทำงานของวงจรขยายคลาส C

จากรูปที่ 2.12 แสดงแอนปลิฟายเออร์แบบคลาส C กับซัพเพลย์โวลท์เตจที่เป็นลบที่ต่อเข้ากับวงจรเบส ซึ่งวงจรแอนปลิฟายเออร์แบบคลาส C นี้มีความผิดเพี้ยนสูงมากทำให้แอนปลิฟายเออร์แบบคลาส C ไม่สามารถนำไปใช้ในงานออดิโอได้แต่แอนปลิฟายเออร์นี้นำไปใช้ที่ความถี่วิทยุได้และให้ประสิทธิภาพสูงสุดทางทฤษฎีเป็น 100 % แต่ในทางปฏิบัติให้ประสิทธิภาพเพียง 85 % [6]

2.4 การทวีคูณความถี่ (Frequency Multiplier)

ในการสื่อสารทางวิทยุได้ก่อทรัพนิกส์จำเป็นจะต้องมีแอนปลิฟายของสัญญาณที่มีคุณสมบัติทางความถี่หรือสัญญาณที่มีคุณสมบัติของย่านความถี่ที่มากกว่าสัญญาณอื่น ๆ ซึ่งบางครั้งจำเป็นต้องให้กำเนิดสัญญาณของความถี่ชาร์โนนิก เช่น การใช้ความถี่พื้นฐานหลาย ๆ ความถี่ โดยสัญญาณของแอนปลิฟายเออร์จะมีผลตอบสนองทางความถี่เช่นเดียวกันกับการใช้วงจรกรองสัญญาณแบบผ่านแคบ (Band Pass Filter) นอกจากจะใช้กับอัตราการขยาย (Gain) ในเครื่องรับวิทยุสื่อสาร สำหรับสัญญาณของแอนปลิฟายเออร์จะใช้วิธีการแยกความถี่ที่ต้องการหรือย่านความถี่จากองค์ประกอบของสัญญาณ ตัวอย่างเช่น สัญญาณเดียงของความถี่วิทยุที่มีขนาดกว้าง สามารถทำการบล็อกความถี่ที่ไม่ต้องการ ได้โดยการใช้แอนปลิฟายเออร์ เช่นเดียวกันกับความถี่จินตนาภาพ จากสัญญาณของเครื่องรับวิทยุจะมีความถี่กลางของแอนปลิฟายเออร์ที่ถูกแยกมาจากการขยายสัญญาณอย่างแคบ ๆ เพื่อใช้สำหรับการตรวจสอบของย่านความถี่พื้นฐาน (Base Band)

ตัวคูณความถี่สามารถใช้ประโยชน์ได้กับวงจรที่มีคุณลักษณะแบบไม่เป็นเชิงเส้น เมื่อสัญญาณคลื่นรูปไข่เกิดการผิดเพี้ยน เกิดการซ้อนทับของสัญญาณจะทำให้เห็นว่าสัญญาณເຂົ້າພຸກທີ່ໄດ້ຈະມีความถี่ชาร์โนนิกของสัญญาณນູ້ລູ້ານເຖິງກັບສัญญาณความถี่ອືນພຸກ ແລະເມື່ອทำการປັບ

วงจรของตัวคูณความถี่ที่ประกอบด้วยแหล่งกำเนิดของความถี่เช่นแหล่งกำเนิดสัญญาณปรับแอมป์ลิฟายแบบไม่เป็นเชิงเส้น และการเลือกปรับความถี่จะให้ผลเช่นเดียวกับการปรับวงจร LC ซึ่งความถี่พื้นฐานคือแอมป์ลิฟายแบบไม่เป็นเชิงเส้นที่ทำการปรับวงจรความถี่สารโนนิกที่แยกออกมาจากความชันซึ่งของสัญญาณ

ในการตอบสนองทางความถี่ของแอมป์ลิฟายออร์แบบคลาส A และคลาส C จะมีผลมาจากการปรับ Transistor Amplifier เมื่อทำการปรับแอมป์ลิฟายออร์แบบคลาส A เพื่อป้อนสัญญาณเอาต์พุตที่มีความชันซึ่งของสัญญาณผ่านไปยังวงจรที่มีการปรับแอมป์ลิฟายเพื่อผลิตสัญญาณเอาต์พุตกับความถี่ของการนำเข้าความถี่อินพุตหลาย ๆ ความถี่รวมกัน

ในส่วนของการคำนวณการปรับวงจรสัมภูตความถี่สามารถทำได้โดยการทดสอบ ซึ่งตัวคูณความถี่ที่ทำการปรับด้วยแอมป์ลิฟายออร์แบบคลาส A จะให้ความถี่เสียงสะท้อน (Resonant) จากการปรับให้มีค่าเท่ากับความถี่อินพุตที่มีหลาຍ ๆ ความถี่ เพราะว่าการดำเนินการแปลงความถี่และอัตราการขยายของแรงดันของสัญญาณ เรียกว่าการเปลี่ยนแปลงอัตราการขยายของสัญญาณ สำหรับการเปลี่ยนแปลงอัตราการขยายของสัญญาณนี้คือแรงดันเอาต์พุตต่อด้วยแรงดันอินพุต โดยที่ค่าของอินพุตและเอาต์พุตจะต้องมีค่าความถี่ต่างกัน ซึ่งค่าที่ได้มาจากการคำนวณของการปรับวงจรสัมภูตความถี่

เครื่องมืออิเล็กทรอนิกส์หรือวงจรการเปลี่ยนแปลงของสัญญาณที่เข้ามามีความถี่สูงกว่าสามารถทำได้โดยการเพิ่มจำนวนถูกคลื่น (Pulse) ของสัญญาณให้สัญญาณมีหลาຍ ๆ ถูกคลื่นซึ่งตัวคูณความถี่สามารถแยกประเภทของการทำงานได้เป็น 2 ประเภทคือ

2.4.1 ตัวคูณความถี่ที่ทำงาน (Active Frequency Multiplier)

ตัวคูณความถี่ที่ทำงาน (Active) จะให้กำลังงานเอาต์พุตมากกว่าตัวคูณความถี่ที่ไม่ทำงาน (Passive) เอาต์พุตที่ได้รับคือ +17 dBm จะให้ค่าความถี่สูงถึง 48 GHz และ +7 dBm จะให้ค่าความถี่เอาต์พุตอยู่ในช่วง 50 – 110 GHz ซึ่งย่านความถี่ดังกล่าวให้ย่านความถี่ที่มากกว่าย่านความถี่แบบแคบ (Narrow band)

สำหรับตัวคูณความถี่มาตรฐานที่มีความสมดุลหรือการกำหนดค่าความสมดุลเพิ่มขึ้นสองเท่าโดยกำหนดค่าความถี่สารโนนิกที่ไม่ต้องการให้มีค่าอย่างน้อยที่สุด 15 dB ซึ่งทำการหยุดใช้งานโดยใช้ตัวกรอง (Filter) เป็นตัวกรองสัญญาณเอาต์พุต นี้คือความสำคัญของตัวคูณสัญญาณสีียง คู่แปด (Octave) ที่ย่านความถี่ตัวกรอง (Filter) ไม่สามารถใช้ได้ เพราะว่าความถี่ที่ต้องการและความถี่ที่ไม่ต้องการเกิดการซ้อนทับ (Overlap) กัน อย่างไรก็ตามตัวกรองสัญญาณที่ใช้สำหรับตัวคูณย่านความถี่แบบแคบ (Narrow band) จะให้กำลังงานอย่างน้อยที่สุดที่ 50 dB นอกจากนี้แล้วตัวคูณมาตรฐานยังสามารถออกแบบโดยการกำหนดค่าเอง โดยสามารถเลือกกำหนดมาก ๆ จากอินพุต/เอาต์พุต ความถี่ และอัตราส่วนการคูณ

คุณสมบัติของตัวคูณความถี่ที่ทำงาน

- ให้ความถี่เอาท์พุตได้กว่า 18 – 110 GHz
- การทำงานจะขยายได้โดยใช้กับตัวรองสัญญาณหลาย ๆ ตัว
- ใช้กำลังงานต่ำ

2.4.2 ตัวคูณความถี่ที่ไม่ทำงาน (Passive Frequency Multiplier)

ตัวคูณมาตรฐานสามารถใช้เป็นตัวแปรของตัวดำเนินงานของ Schottky ที่มีตัวเกิดขวางการไฟฟ้าผ่านไปยังไคโอดของส่วนประกอบที่ไม่เป็นเชิงเส้น โดยที่ค่าความสมดุลทั้งหมดสามารถกำหนดได้โดยการหยุดส่งความถี่harmonicที่ไม่ต้องการ ซึ่งอัตราส่วนคลื่นนี้ของสัญญาณอินพุต/เอาท์พุตจะเกิดการเดลิริโอโดยไม่มีเงื่อนไขและสามารถครอบคลุมท่อส่งคลื่นได้ทุกย่านความถี่ (ยกเว้นย่าน W-band)

คุณสมบัติของตัวคูณความถี่ที่ไม่ทำงาน

- ไม่ต้องการอิทธิพลที่มีผลกระทบต่อสัญญาณจากภายนอก
- ส่งสัญญาณคลื่นบนท่อส่งคลื่นได้ทุกย่าน
- มีผลกระทบต่อการเปลี่ยนแปลงได้น้อยมาก

การทวีคูณความถี่โดยอาศัยการเดือกด้วยความถี่หาร์โนนิกจากคลื่นพาห์ความถี่ต่ำนี้ จำเป็นจะต้องทราบหรือจัดการสร้างคลื่นพาห์ให้รูปคลื่นมีลักษณะเฉพาะตัว เพื่อที่จะเกิดหาร์โนนิกที่เหมาะสมสำหรับการนำไปใช้งาน ดังนั้นจึงควรศึกษาเกี่ยวกับคุณสมบัติของรูปคลื่นรูปต่าง ๆ ซึ่งเป็นพื้นฐานสำคัญของเรื่องการทวีคูณความถี่ ในที่นี้จะกล่าวเฉพาะรูปคลื่นที่ใช้อยู่ประจำ

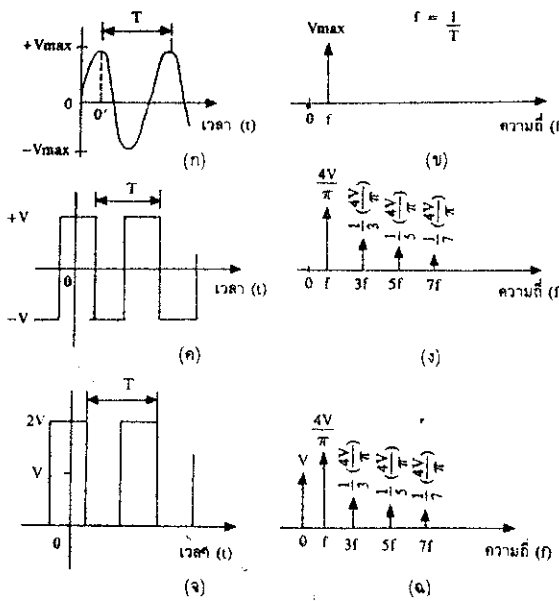
(1) คลื่นรูปไซน์บริสุทธิ์ (Pure Sine Wave) พารากราฟคลื่นรูปไซน์นั้นถือว่าคลื่นแบบบูรณาการ เพราะการตอบสนองในวงจรที่ผ่านไปสามารถหาได้ด้วยการคำนวณ และการวัดอย่างง่าย ๆ และตัวมันเองจะเป็นความถี่เดียวไม่มีความถี่หาร์โนนิกใด ๆ อญ্তเลย ต่างกับคลื่นรูปอื่น ๆ ที่ประกอบด้วยอนุกรมของคลื่นรูปไซน์ หรือโคไซน์ (Cosine) จำนวนหนึ่งซึ่งก็คือหาร์โนนิกความถี่ต่าง ๆ นั่นเอง คลื่นรูปไซน์สามารถเขียนสมการได้ดังนี้

$$v = V_{\max} \sin 2\pi ft \quad (2.28)$$

จากสมการ (2.10) ยังสามารถเขียนอยู่ในรูปโคไซน์ได้เป็น

$$v = V_{\max} \cos(2\pi ft - \pi / 2) \quad (2.29)$$

เมื่อนำไปเขียนเป็นแกนความถี่ (Frequency Spectrum) จะได้ดังรูปที่ 2.13(ข)



รูปที่ 2.13 ลักษณะของคลื่นรูปต่าง ๆ กับแบบความถี่

(2) คลื่นรูปสี่เหลี่ยม (Rectangular Wave) หารากฟรคลื่นรูปสี่เหลี่ยมดังในรูปที่ 2.13(ค) เป็นแบบที่มีขนาดสมมาตรกัน (Symmetry) ทางขนาดหั้งด้านบนและลับเทียบแกนศูนย์คลื่นนี้ ประกอบด้วยอนุกรมของคลื่นไซน์หรือชาร์โนนิกคี่ ซึ่งสามารถคำนวณหาได้โดยใช้วิธีวิเคราะห์แบบฟูร์เยร์มีรูปร่างดังนี้

$$v = \frac{4v}{\pi} \left(\cos wt - \frac{\cos 3wt}{3} + \frac{\cos 5wt}{5} - \frac{\cos 7wt}{7} + \dots \right) \quad (2.30)$$

จากสมการจะพบว่าอนุกรมของคลื่น โโคไซน์มีมากจนนับไม่หมด แต่ขนาดของลำดับหลัง ๆ จะลดลงเป็น $1/n$ เท่า และจะมีเฉพาะชาร์โนนิกคี่เท่านั้น (นั่นคือ ประกอบด้วยความถี่ $f, 3f, 5f, \dots$) เพียงเป็นแบบความถี่ได้ดังรูปที่ 2.13(ง)

ถ้ายกกระดับของคลื่นรูปสี่เหลี่ยมขึ้นไปอยู่บนแกน沃ลเต็จ ดังรูป 2.13(จ) จะเป็นการเพิ่มส่วนที่เรียกว่าความถี่ศูนย์ (Zero frequency) เข้าไปในแบบความถี่ ดังรูป 2.13(ฉ) ส่วนความถี่ศูนย์นี้ ที่จริงเป็นค่าเฉลี่ยหรือค่าระดับคงที่ของรูปคลื่น ซึ่งสามารถอ่านได้จากการใช้沃ลท์มิเตอร์แบบวัดค่าเฉลี่ย (รูปคลื่นใดที่พื้นที่ไม่สมดุลกันทางแกนเวลาจะมีส่วนความถี่ศูนย์เสมอ) รูปคลื่นนี้เรียกเป็นอนุกรมฟูร์เยร์ได้เป็น

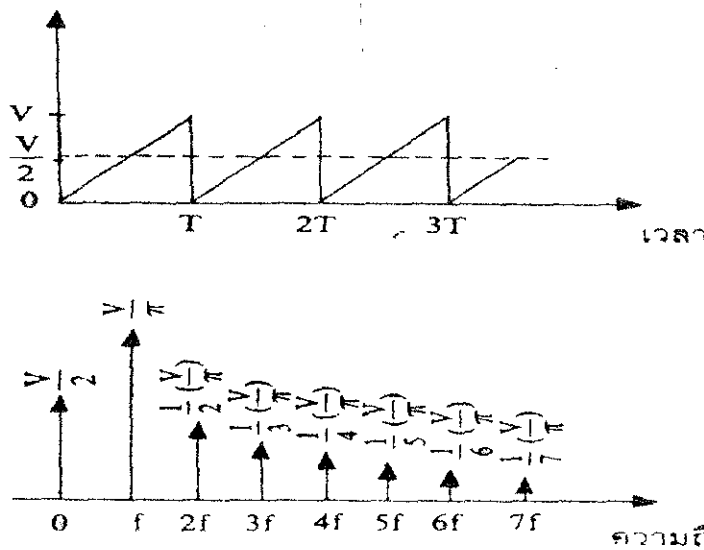
$$v = V + \frac{4v}{\pi} \left(\cos wt - \frac{\cos 3wt}{3} + \frac{\cos 5wt}{5} - \dots \right) \quad (2.31)$$

ในวงจรทวีคูณความถี่ ถ้ามีคลื่นรูปสี่เหลี่ยมนี้เข้าไป จะเลือกความถี่ออกไปได้ เนื่องจากที่เป็น ชาร์โนนิกคี่เท่านั้น ถ้าวงจรเลือกปรับไปที่ชาร์โนนิกคู่ก็จะไม่มีสัญญาณออกไปเลย

(3) คลื่นรูปฟันเลื่อย (Saw tooth wave) พารากราฟคลื่นรูปฟันเลื่อย ถึงแม้ว่าจะมีขนาด สมมาตรกันเมื่อเทียบกับแกนศูนย์ แต่ภาพกลับซ้ายขวา (Mirror-image Symmetry) คลื่นรูปนี้จึง ประกอบด้วยความถี่รูปไข่นมทั้งชาร์โนนิกคู่และคี่ คูณปั้ท 2.14 แต่เนื่องจากถูกยกระดับให้มีส่วน ความถี่ศูนย์หรือคี่ไว้แล้ว เดียว อนุกรมฟูริเยร์จึงเขียนได้เป็น

$$v = \frac{V}{2} - \frac{V}{\pi} \left(\sin wt + \frac{\sin 2wt}{2} + \frac{\sin 3wt}{3} + \dots \right) \quad (2.32)$$

ในรูปที่ 2.14 (ข) แสดงให้เห็นถึงแบบความถี่ต่าง ๆ



รูปที่ 2.14 ลักษณะของคลื่น (ก) คลื่นรูปฟันเลื่อย (ข) แบบความถี่

(4) รูปคลื่นที่ขนาดไม่สมมาตร รูปคลื่นที่ได้จากการเรคติฟายร์คลื่นไข่นม เช่น คลื่นจาก การเรคติฟายร์แบบครึ่งคลื่น (Half wave rectifier) ขนาดของนั้นจะไม่สมมาตรกันเมื่อเทียบกับแกน ศูนย์ ประกอบด้วยความถี่ไข่นมมีเฉพาะชาร์โนนิกคู่เท่านั้น มีสมการเป็น

$$v = \frac{V}{\pi} + \frac{V}{2} \sin wt - \frac{2V}{\pi} \left(\frac{\cos 2wt}{1 \times 3} + \frac{\cos 4wt}{3 \times 5} + \dots \right) \quad (2.33)$$

ส่วนรูปคลื่นที่ได้จากการเรคติฟายร์แบบเต็มคลื่น (Full wave) จะมีสมการเป็น

$$v = \frac{2V}{\pi} - \frac{4V}{2} \left(\frac{\cos 2wt}{1 \times 3} + \frac{\cos 4wt}{3 \times 5} + \frac{\cos 6wt}{5 \times 7} + \dots \right) \quad (2.34)$$

(5) คลื่นลักษณะเป็นพัลซ์สีเหลี่ยม 例外ของพัลซ์สีเหลี่ยมแคบ ๆ มีส่วนประกอบของความถี่ศูนย์หรือระดับคี่ซึ่งจะประกอบด้วยชาร์โนนิกทั้งคู่และคี่ แต่ให้สังเกตด้วยว่าคราวนี้ชาร์โนนิกคำดับที่สูงกว่าบางครั้งจะมีขนาดใหญ่กว่าคำดับต้น ๆ ที่ได้ขนาดของชาร์โนนิกต่าง ๆ ขึ้นอยู่กับความกร้างของพัลซ์สีเหลี่ยม อนุกรมของชาร์โนนิกเขียนได้เป็น

$$v = \frac{V}{T} + \frac{2V\pi}{T} \left(\frac{\sin x}{x} \cos wt + \frac{\sin 2x}{2x} \cos 2wt + \frac{\sin 3x}{3x} \cos 3wt + \dots \right) \quad (2.35)$$

ในที่นี่ $x = \pi / T$ ขนาดของชาร์โนนิกคำดับที่ n หาได้จาก

$$V_n = \frac{2V\pi}{T} * \frac{\sin(nx)}{nx} \quad (2.36)$$

โดยให้ T เข้าใกล้ค่าอนันต์ (Infinity) และหรือขบวนของพัลซ์สีเหลี่ยมก็จะเป็นพัลซ์เดียว (Single Pulse) ดังนั้น จะ $T \rightarrow \infty$, $f \rightarrow 0$ และช่วงระหว่างชาร์โนนิกจะซิดกันจนเป็นศูนย์ และความถี่ที่ต่อเนื่องกัน (Continuous) ซึ่งหมายถึงว่า ไม่มีความถี่ชาร์โนนิกแยกกันเลยจะมองเห็นเป็นແນບปลีน (Envelope) และกำหนดให้ว่า

$$V(f) = V_5 * \sin(fT) \quad (2.37)$$

ในกรณี $V(f)$ แสดงถึง ความหนาแน่นของແນບความถี่มีหน่วยเป็น โวลท์ต่อความถี่หรือ V/Hz [1]

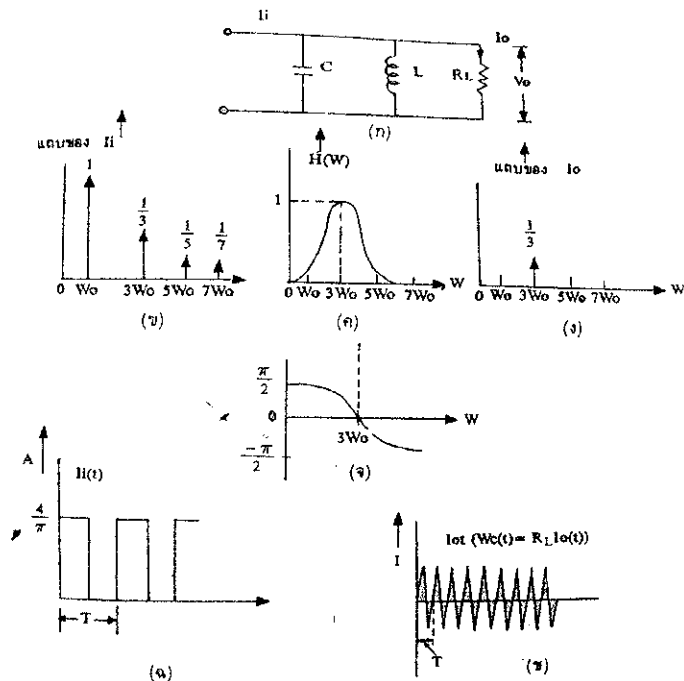
ตัวอย่างวงจรทวีคุณความถี่

วงจรทวีคุณความถี่จะใช้งานรีโซนแนนซ์แบบบานาน ซึ่งมีคุณสมบัติกรองความถี่เป็นย่าน (Band-pass Filter) ดังแสดงในรูปที่ 2.15 (g) ณ ที่นี่การตอบสนองต่อความถี่หรือ Transfer Function จะแสดงในรูปของกระแส เนื่องจากโวลเต็จต่อกันร่วมกันทั้งสองข้าง ฉะนั้น

$$H(w) = I_o / I_i \quad (2.38)$$

ขนาด (Modulus) และเฟสที่เดือนไปจะสัมพันธ์กับความถี่ที่ดังแสดงในรูปที่ 2.15(c) และ (g) และณ ที่นี่ส่วนที่เป็นเดซีจะถูกขัดออกไป เนื่องจากอินดักเต้นซ์ L (สมมติว่าความต้านทานเป็นศูนย์) จะถูกดูดซึมโดยกระแส เนื่องจากโวลเต็จที่โอลด์ RL ที่ความถี่รีโซนแนนซ์ (ชาร์โนนิกที่สาม)

เฟสที่เดือนจะเป็นศูนย์ กระแสและโวลต์เต็จที่เอาต์พุตจะเป็นคลื่นรูปไชน์ที่ความถี่ $3f_0$ โดย $f_0 = 1/T$ ในวงจรนี้ทวีคุณความถี่สามเท่า (Frequency Triple)



รูปที่ 2.15 วงจรทวีคุณความถี่แบบกรองย่านความถี่

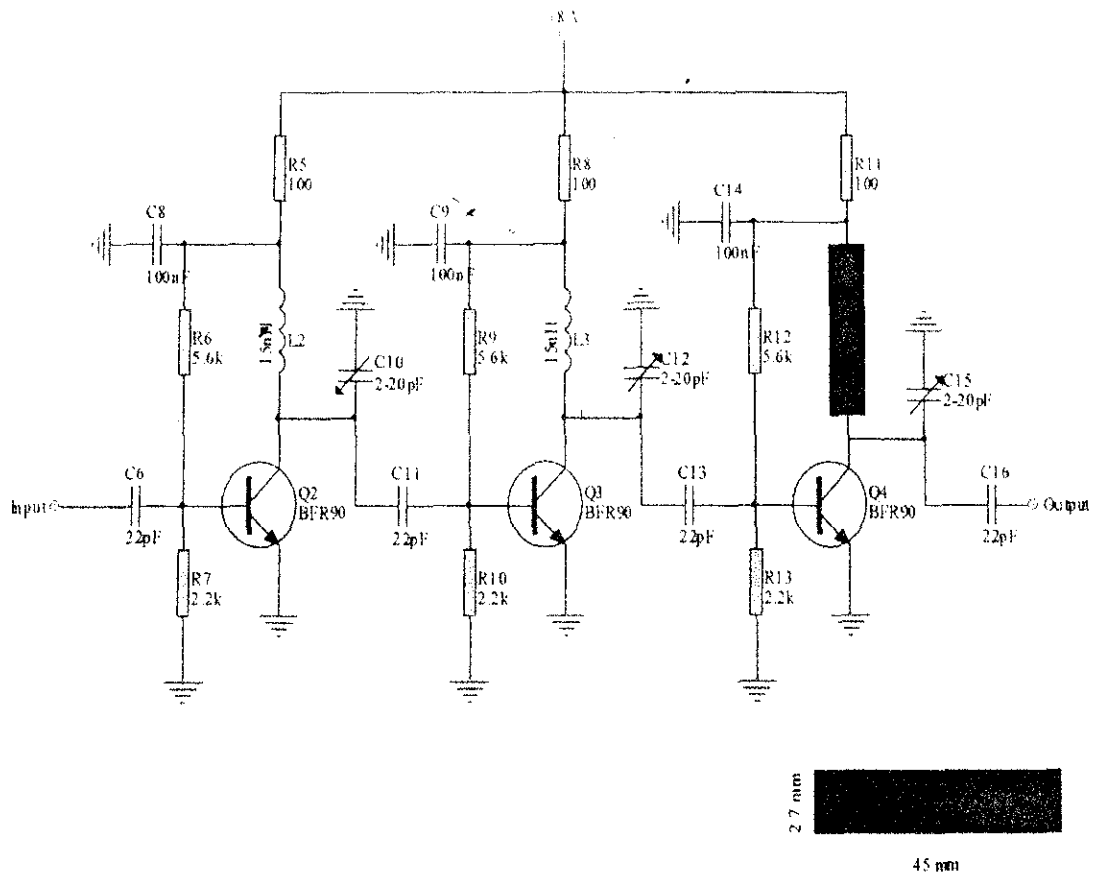
- | | |
|-------------------------|--------------------------------|
| (ก) แสดงวงจร | (ข) ແນບຄວາມถີ່ຂອງສ້າງຜາລອິນພູດ |
| (ค) ກາຣຕອບສນອງທາງຄວາມຄື | (ຈ) ກາຣຕອບສນອງທາງເຟ |
| (ຂ) ຮູບປັດໍ່ທາງອິນພູດ | (ຫ) ຮູບປັດໍ່ທີ່ເອົາຕົ້ມ |

วงจรทวีคุณความถี่ອີກແນບනີ້ທີ່ໃຊ້ວາຣແຄປນໍາຫວຍປະສົງກາພຂອງຈະຮູງເໜານສໍາຮັບກາຣທວີ່ມາຄວາມຄື ຢະດັບກຳລັງຈານ (Power) ຊຸງ ລວມທີ່ນີ້ປະມານ 20 W ທີ່ອິນພູດມີຄວາມຄື່ຂອງຄຸນພາຫີ່ເຂົ້າມາແລະ ຂະໜາດຂອງສ້າງຜາລອິນພູດທີ່ເຂົ້າມາສູງຂຶ້ນແລະ ຕໍ່າລັງຕາມຄ່າໜ້າຂະໜາດ (Instantaneous Voltage) ຄ່າຄວາມຖື່ກ່ອຍຕ່ອງຂອງວາຣແຄປປະລົດລົງຫວີ່ອເພີ່ມຂຶ້ນ ທຳໄກ້ຄວາມຄື່ເຣ໌ໂອ - ແນວທີ່ຂອງຈະຮັກວ່າໄປມາຮູບປັດໍ່ຈຶ່ງເພີ່ມຂຶ້ນໄປຈາກເຄີມຜົກທີ່ເອົາຕົ້ມຄວາມຄື່ທີ່ສ້າງໄວ້ນິກອອກນາມ ທັກນັ້ນກີ່ສາມາດເດືອກເອົາຄວາມຄື່ທີ່ຕ້ອງການອອກນາມໄດ້ໂດຍການປັບຄ່າ L ຢ່ວມ C ໃຫ້ໂອແນນທີ່ກັບຄວາມຄື່ທີ່ຕ້ອງການ

ໃນวงຈາຣທວີ່ມາຄວາມຄື່ສາມເທົ່າຈະມີວາຈະຕັດຫຼາຍໄນກທີ່ສອງທີ່ໄປ (Idler circuit) ແລະ ທຳໜ້າທີ່ເປັນຕົວຈຸດຮູບປັດໍ່ (Wave Shaper) ດ້ວຍ ຈຶ່ງທຳໄຫ້ເດືອກໄນກທີ່ສາມມີຂະໜາດສູງນາກຈຶ້ນເພື່ອຈ່າຍອອກໄປທີ່ໄຫລຄວງຈານນີ້ປະສົງກາພໄດ້ປະມານ 75 % ແລະ ດ້າເອງຈານນີ້ສອງຫຼຸມມາຕ່ອນຸກຮົມກັນ

ประสิทธิภาพรวมจะเป็น ผลคูณของประสิทธิภาพแต่ละชุด เช่น เป็น 56 % ถ้าแต่ละชุด ประสิทธิภาพเท่ากัน 75 % [1]

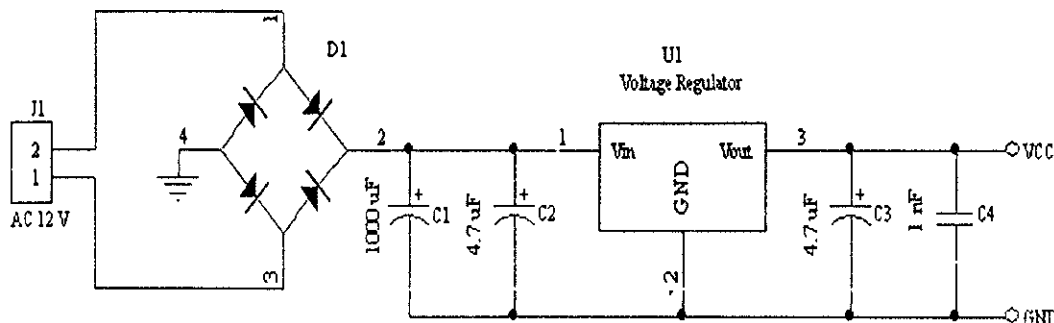
2.5 ภาคเอาท์พุตกำลังงาน (Power Output Section (POS))



รูปที่ 2.16 วงจรแสดงการส่งสัญญาณโดยใช้ภาคเอาท์พุตกำลังงาน

สำหรับการส่งสัญญาณระยะไกลจะต้องทำการเพิ่มกำลังงานก่อนทำการส่ง ส่วนแรกทำการขยายกำลังงานที่ส่งมาจากแหล่งกำเนิดเรียกว่า วงจรขยายบีฟเฟอร์เพื่อป้องกันสัญญาณไฟล์ ข้อนอกับไปทางด้านอินพุตและส่วนที่ 2 จะทำการขยายระหว่างวงจรขยายบีฟเฟอร์กับสายอากาศ ซึ่งจะใช้กำลังขยายคลาส C จะทำให้ได้กำลังของสัญญาณเอาต์พุตประมาณ 15-20 วัตต์ ซึ่งทำให้เกิดความร้อนสามารถแก้ได้โดยใช้ฮีตซิ้งค์ต่อเข้ากับทรานซิสเตอร์

2.5.1 วงจรแหล่งจ่ายไฟ (Power Supply Unit)



รูปที่ 2.17 วงจรที่แสดงการจ่ายกระแสไฟฟ้าให้กับเครื่องส่ง

วงจรแหล่งจ่ายไฟจะทำหน้าที่คงค่าแรงดันไฟฟ้าเพราต้องการแรงดันที่ 8 และ 12 V 1-2 A โดยใช้มอเบลจไฟทำให้แรงดันต่ำลง ที่คงค่าแรงดันไฟฟ้า AC 12 V เพื่อความปลอดภัย และจะใช้ไดโอด 4 ตัวทำการเรียงไฟฟ้ากระแสลับให้เป็นไฟฟ้ากระแสตรงและใช้ไอซี (7815 และ 7808) คงค่าแรงดันไฟฟ้าให้คงที่

2.6 ระบบเครื่องส่งสัญญาณวิทยุอัฟเอนสเตอโริ (FM Stereo Transmitters)

ในการผลิตสัญญาณเสียงเพื่อให้เกิดความรู้สึกทางสเตอโริสถานการณ์ใช้ดำเนินไปเพียงสองตัวคือช้ายและด้านขวา โดยอาศัยความแตกต่างของความดังเสียง ความแตกต่างทางเวลาร่วมทั้งความแตกต่างทางเฟสของสัญญาณ ทั้งนี้ความแตกต่างทางความดังของเสียงทำให้รู้สึกถึงทิศทางและตำแหน่งของแหล่งกำเนิดเสียง ในขณะที่ความแตกต่างของเวลาบ่งถึงระยะห่าง

2.6.1 การส่งสัญญาณสเตอโริ

สัญญาณเสียงค้างๆ ไม่ว่าอยู่ตำแหน่งไหนๆ ในนี้จะถูกจัดออกเป็นสองกลุ่ม โดยการใช้ไมโครโฟนอย่างน้อยสองตัวรับสัญญาณทั้งสองนี้ เรียกว่าสัญญาณซ้าย (Left signal) หรือสัญญาณ L กับสัญญาณขวา (Right signal) หรือสัญญาณ R สัญญาณทั้งสองแยกออกจากกัน ถ้าจะทำการขยายสัญญาณก็ต้องใช้ภาคขยายสองชุดแยกจากกัน ถ้ารวมกันเมื่อจะกล่าวเป็นสัญญาณเสียงแบบทิศทางเดียว (Monaural signal) ในสมัยแรกของการส่งสัญญาณสเตอโริใช้ช้ายขวา ใช้เครื่องส่งวิทยุอัฟเอนส์ จำนวนสองเครื่องมีความถี่คลื่นพาร์ทต่างกัน เครื่องหนึ่งใช้ส่งสัญญาณซ้าย ขณะที่อีกเครื่องหนึ่งทำการส่งสัญญาณขวา ทางด้านเครื่องรับก็ใช้จำนวนสองเครื่องรับสัญญาณจากเครื่องส่งซ้ายกับขวาอย่างละเครื่อง ผู้ฟังนั้นจะรับทราบถึงความต่างของเครื่องรับทั้งสอง แต่การส่งระบบนี้

นับว่าสิ่นเปลี่ยนมากทั้งค่าใช้จ่ายและความถี่ของคลื่นพาห์ และข้อเสียที่สำคัญของระบบการส่งแบบนี้อยู่ที่ว่า ถ้ามีเครื่องรับวิทยุเครื่องเดียวจะรับสัญญาณได้เพียงสัญญาณช้ายหรือขวาเท่านั้น ข้อความที่สัมพันธ์กันระหว่างสัญญาณทั้งสองจะสูญหายไป ในบางครั้งฟังแล้วอาจไม่รู้เรื่องก็ได้

ความต้องการของผู้ฟังในระบบการฟังแบบสเตอโรโนน์ ต้องการระบบการส่งสัญญาณสเตอโรโนที่มีคุณสมบัติ ดังนี้

- 1) ขณะรับฟังการส่งแบบสเตอโรโนถ้ามีเครื่องรับธรรมชาติสามารถรับฟังสัญญาณสเตอโรโนนี้ได้โดยการรับได้ทั้งสัญญาณช้ายและขวารวมกันคือได้ขึ้นแบบโนโนโฟนิก
- 2) จากเครื่องรับธรรมชาติ ถ้าต้องการรับสัญญาณสเตอโรโนแล้วให้ได้ขึ้นแบบสเตอโรโนก็จะสามารถรับได้โดยเปลี่ยนแปลงเพิ่มเติมที่เครื่องรับเพียงเล็กน้อยและทำได้ง่ายโดยไม่ต้องใช้ช่างเป็นพิเศษ
- 3) เครื่องรับสุดารับรับสัญญาณสเตอโรโนนี้ สามารถรับสัญญาณที่ส่งจากเครื่องส่งในแบบโนโนโฟนิกได้ โดยได้ขึ้นแบบโนโนโฟนิคธรรมชาติ

ส่วนทางด้านผู้ส่งมีข้อควรพิจารณาคือ สัญญาณสเตอโรโนที่ใช้สามารถส่งออกไปโดยเครื่องส่งเพียงเดียวและเป็นเครื่องธรรมชาติที่มิใช้อุปกรณ์แล้ว อีกทั้งสัญญาณสเตอโรโนนี้จะไม่ไปทำให้คุณสมบัติของการส่งเปลี่ยนแปลงไปจากกฎระเบียบที่บังคับไว้แต่เดิม และนอกจากนี้ยังสามารถหันกลับมาส่งแบบโนโนโฟนิกได้ ในทันทีที่ต้องการโดยไม่ยุ่งยาก

สัญญาณสเตอโรโนที่เหมาะสมกับความต้องการดังกล่าวข้างต้น ประกอบด้วยสัญญาณต่างๆ ดังต่อไปนี้

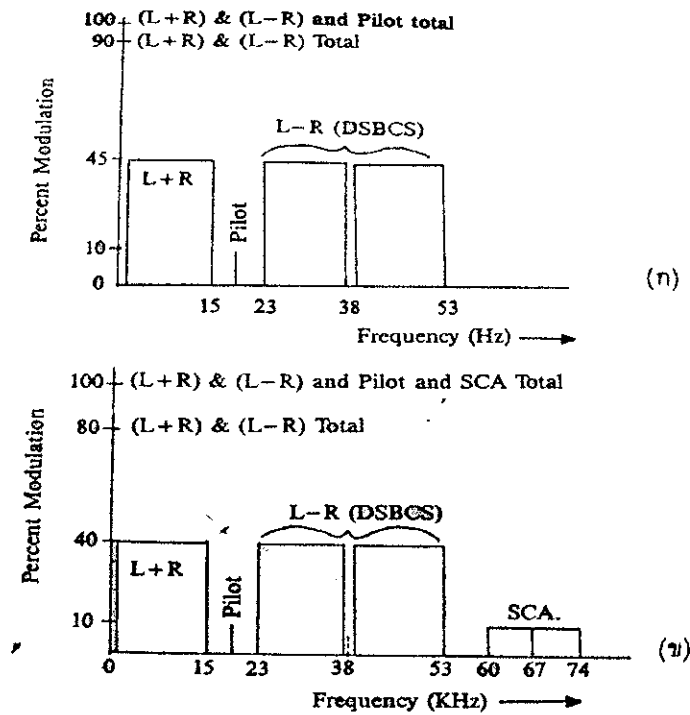
- 1) สัญญาณช้าย หรือสัญญาณ L
เป็นสัญญาณเสียงที่มีย่านความถี่เสียง 50 Hz ถึง 15 kHz ซึ่งเป็นย่านความถี่เสียงที่ใช้กับการส่งในระบบเอฟเอ็มธรรมชาติ
- 2) สัญญาณขวา หรือสัญญาณ R
เป็นสัญญาณเสียงเช่นเดียวกับสัญญาณ L
- 3) สัญญาณรวมช้ายขวา หรือสัญญาณ L+R
เกิดจากการนำสัญญาณช้ายและสัญญาณขวารวมกันโดยตรง จึงมีย่านความถี่ตั้งแต่ 50 Hz ถึง 15 kHz เมื่อันเดิน จุดประสงค์ของการรวมสัญญาณช้ายขวา呢 เพื่อให้เครื่องรับเอฟเอ็มธรรมชาติอาสามารถส่งออกไปรับฟังแบบโนโนโฟนิก
- 4) สัญญาณผลต่างระหว่างช้ายกับขวา หรือสัญญาณ L-R
เกิดขึ้นจากการนำสัญญาณช้ายกับสัญญาณขวารวมกัน แต่จะมีสัญญาณขวาจะถูกเลื่อนเฟสไป 180° ก่อนนำมารวมกันผลจะเป็นว่าสัญญาณด้านช้ายมีขนาดถูกหักล้างด้วยสัญญาณด้านขวา ส่วนย่านความถี่ยังคงอยู่ในย่าน 50 Hz ถึง 15 kHz

สัญญาณ L-R นี้ถูกนำไปผ่านทางขนาดกับคลื่นพาร์ติชัน (Sub carrier) ความถี่ 38 kHz แบบตัดความถี่พาร์ติชันที่สูงไปเหลือเหลือแต่ไซด์แบนด์ด้านบนและด้านล่าง (สัญญาณ L-R) Double Sidebands Carrier Suppressed) หลังจากการมอคูลาชั่นเชิงขนาดนี้ยังคงความถี่จะเป็น 23 - 53 kHz ยกเว้นส่วนที่เป็น 38 kHz จะหมดไป วิธีนี้ทำให้สัญญาณ L-R ซึ่งมีอยู่ในความถี่เดียวกับ L+R หลังจากการมอคูลาชั่นสัญญาณทั้งสองจึงมีความถี่แยกกันอย่างเด็ดขาด (Frequency Multiplexing)

5) สัญญาณไพล็อต (Pilot Signal)

เป็นรูปคลื่นไอน์ที่มีความถี่ 19 kHz ใช้สำหรับส่งไปให้ วงจรดิจิตอลเครื่องรับทำการดิจิตอล หรือแปลงสัญญาณ ได้อย่างสอดคล้องกับเครื่องส่ง (Synchronize) คือทำการแยกสัญญาณชั้ยๆ เดอะจากสัญญาณสเตอริโอ ได้อย่างถูกต้องให้สังเกตด้วยว่าคลื่นพาร์ติชัน 38 kHz มาจากแหล่งกำเนิดเดียวกันกับสัญญาณไพล็อต 19 kHz นี้

สัญญาณทั้งหมดเป็นสัญญาณรวม (Composite Signal) และโดยที่สัญญาณ L-R ถูกมัลติเพลกซ์ หรือถูกแยกทางความถี่จากสัญญาณ L+R เมื่อนำสัญญาณรวมนี้ไปทำการมอคูลาชั่นเชิงความถี่ จึงเรียกระบบทีวีแบบนี้ว่าเอฟเอ็มสเตอริโอมัลติเพลกซ์ (FM Stereo Multiplex) และเพื่อให้มองเห็นสัญญาณรวมสำหรับเอฟเอ็มสเตอริโอยได้เด่นชัดยิ่งขึ้นจึงเปลี่ยนเป็นสัญญาณนี้ออกมากในรูปของย่านความถี่ที่สัญญาณจะครอบคลุมไปถึงดังในรูปที่ 2.18 ในรูป 2.18(ก) ขนาดของสัญญาณ L+R และ L-R ไซด์แบนด์ จะทำให้เกิดการมอคูลาชั่น 45 % (ความถี่เบี่ยงเบน 75 kHz = 100% มอคูลาชั่น) ในขณะที่สัญญาณไพล็อตมีขนาด 10 %



รูปที่ 2.18 ย่านความถี่ที่ใช้สำหรับสัญญาณเอฟเอ็มสเตอริโอ

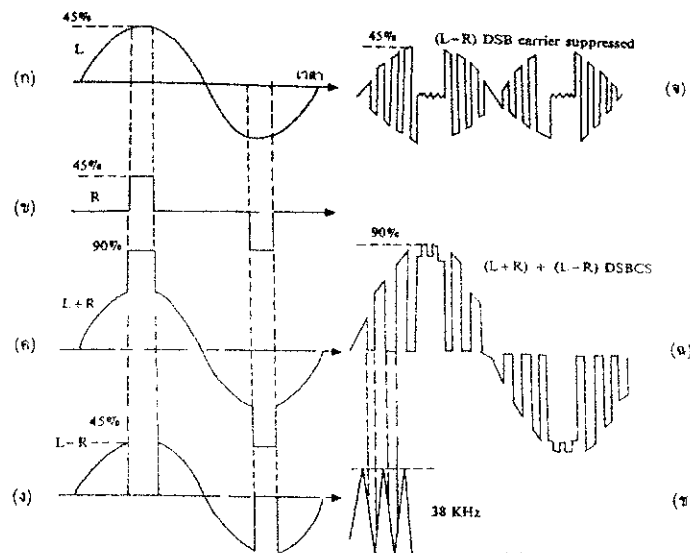
ในรูปที่ 2.18 (ข) มีสัญญาณพิเศษอีกอย่างเพิ่มเข้ามาคือสัญญาณ SCA (Subsidiary Communications Authorization หรือ Subsidiary Carrier Assignment) เนื่องจากย่านความถี่ของสัญญาณสเตอริโอซึ่งเป็นรายการหลักใช้ความถี่สูงสุดเพียง 53 kHz ในขณะที่คลื่นพาห์หลัก (Main Carrier) ยอมให้เกิดความถี่เบี่ยงเบนได้ถึง ± 75 kHz จึงยังมีช่องว่างสำหรับความถี่พาห์รองໄส์เข้าไปอีก ช่วง 53 ~ 75 kHz ดังนั้นเราจึงสามารถใช้สัญญาณเดียงซึ่งเป็นรายการย่อยผสมทางความถี่กับคลื่นพาห์รอง (ปกติ 67 kHz) กิดความถี่เบี่ยงเบน ± 7 kHz ซึ่งเป็นผลให้สัญญาณ SCA นี้มีย่านความถี่จาก 60 – 74 kHz วิธีการ เช่นนี้ก็เป็นวิธีของ การมัลติเพลกซ์คล้ายกันกับที่เกิดขึ้นในสัญญาณ L – R สรุปแล้วในรูป (ข) นอกจากสัญญาณสเตอริโอที่ใช้สำหรับรายการหลักแล้วยังมีสัญญาณ SCA สำหรับรายการย่อยส่งไปพร้อมกัน รายการหลักนี้นิยมใช้กับรายการที่เป็นคนตีส่งออกไปสำหรับผู้รับที่มีอุปกรณ์พิเศษสำหรับเลือกເອົາເພີ້ມສัญญาณ SCA เท่านັ້ນ ในเครื่องรับสัญญาณสเตอริโอมัลติเพลกซ์จะມີງຈົດຕັດສัญญาณ SCA ທີ່ໄປເພື່ອໄມ່ໃຫ້ຮັບກວນກັບສัญญาณສเตอริโอທີ່ຕ້ອງການ

ในกรณีที่เครื่องส่งวิทยุเอฟเอ็มส่งรายการเป็นแบบโมโนโฟนิก สัญญาณเสียงจะຄลຸນຢ່ານความถี่เพียง 50 Hz ถึง 15 kHz สามารถส่งสัญญาณ SCA เพิ่มขึ้นໄດ້ອີກເປັນรายการย่อย สำหรับ SCA ที่ 1 กับ SCA ที่ 2 (คลื่นพาห์รอง 41 kHz กับ 67 kHz) ในกรณีนี้ขนาดของสัญญาณโมโนโฟนิกจะเป็น 70 % ส่วน SCA ทີ່ສອງจะເປັນຍ່າງລະ 15 % ทางด้านຜູ້ຮັບຈຶ່ງສາມາດເລືອກຮັບรายการ

จากเครื่องส่งนี้ได้สารรายงานในเวลาเดียวกัน จากข้างต้นนี้ให้สังเกตด้วยว่า ขณะที่สัญญาณเสียงส่งแบบโนนิโน โนนิคนี้จะมีขนาดสูงกว่าที่ส่งแบบสเตอริโอ ดังนั้น ในการรับฟังแบบสเตอริโอ คุณสมบัติที่เกี่ยวกับสัญญาณต่อเสียงรบกวน (Signal to Noise Ratio) จะดีอยกว่าแบบสัญญาณที่เป็นโนนิโน โนนิค

2.6.2 รูปคลื่นของสัญญาณสเตอริโอมัลติเพลกซ์

เพื่อให้เข้าใจในระบบสเตอริโอมัลติเพลกซ์มากยิ่งขึ้น โดยเฉพาะทางด้านรับถ้าได้ทราบว่า รูปคลื่นที่รับได้มีลักษณะเป็นอย่างไร จะทำให้สามารถแก้ไขหาต่างๆ ที่เกิดขึ้นได้ง่ายกว่า และเพื่อความสะดวก สมมติว่าสัญญาณว่าสัญญาณเสียงทางด้านซ้ายหรือสัญญาณ L มีรูปคลื่นเป็นรูปไซน์ ความถี่ไดความถี่หนึ่งในย่านความถี่สูงครึ่งชั้วโมงที่ 2.19 ประกอบ ตัวสัญญาณ L หรือสัญญาณขวาเป็นรูปคลื่นสี่เหลี่ยมรูป (x) เมื่อนำสัญญาณ L และ R มารวมกันจะได้ดังรูป (c) ซึ่งในรูป (c) เป็นการรวมสัญญาณ L กับสัญญาณ R ที่ถูกกลับเฟสไป 180° กลายเป็นสัญญาณ $L - R$ และเมื่อนำไปทำการมอคูลีเซ็นเซอร์ขนาดกับคลื่นพาห์ย่อย 38 KHz ในรูป (z) โดยใช้บานานซ์มอคูลีเตอร์ก็จะได้สัญญาณ $L - R$ ใช้ด้วยแบบคู่ แต่คลื่นพาห์ย่อยถูกตัดออกไปมีคลื่นดังรูป (g)



รูปที่ 2.19 สัญญาณสเตอริโอมัลติเพลกซ์

เมื่อนำสัญญาณในรูป (c) และ (d) มารวมกัน จะเกิดเป็นสัญญาณรวม หรือสัญญาณสเตอริโอมัลติเพลกซ์ดังในรูป (h) แต่ในความเป็นจริงแล้วจะต้องรวมเอาความถี่ 19 KHz หรือ

สัญญาณไฟลีอตเข้าไปด้วยที่ไม่นำไปรวมด้วยกันเนื่องจาก เมื่อถึงทางค่านรับแล้วสัญญาณไฟลีอตจะถูกแยกออกไปอีกส่วนหนึ่งต่างหาก เพื่อสร้างเป็นความถี่พาห์ย่อย 38 kHz ขึ้นมาใหม่ เพื่อความสะดวกในการอธิบายในตอนต่อไปจึงแสดงเพียงการรวมของสัญญาณ L + R กับสัญญาณ L - R ที่ถูกทำการมอคูเลชันกับ 38 kHz ดังกล่าว

2.6.3 เครื่องผลิตสัญญาณสเตอริโอมัลติเพลกซ์

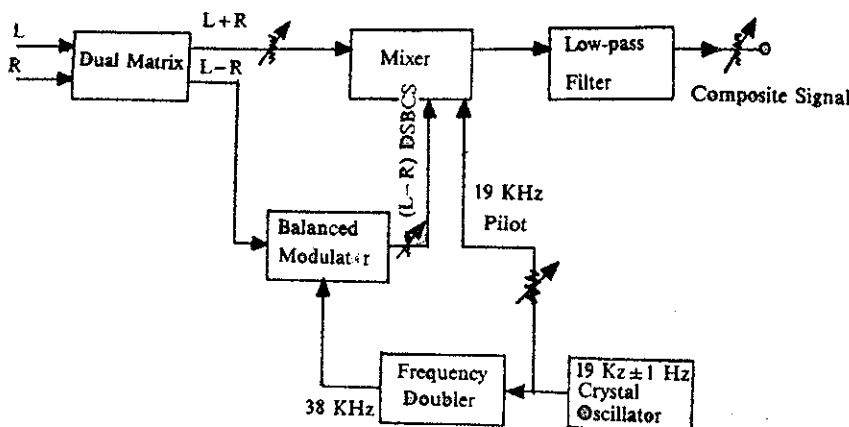
สัญญาณซ้ายและขวา่อนส่งไปเข้าพอร์ตอินมอคูเลเตอร์ จะผ่านกรรรมวิธีให้เป็นสัญญาณสเตอริโอมัลติเพลกซ์เดียก่อน ในรูปที่ 2.20 เป็นเครื่องผลิตสัญญาณสเตอริโอมัลติเพลกซ์แบบหนึ่งในจำนวนหลาย ๆ แบบ ทุก ๆ แบบจะมีหลักการเหมือนกัน แต่ละภาคในเครื่องผลิตสัญญาณมีหน้าที่ดังต่อไปนี้

- ภาคผลิตสัญญาณผลบวกและผลต่าง

วงจรแมทริกซ์ (Matrix) ทำหน้าที่รวมสัญญาณ L และ R ให้อาทีพูกออกมานำส่องทาง (Dual Matrix) เป็น L+R และ L - R

- มอคูเลเตอร์แบบบาลานซ์คลีนพาห์ (Balanced Modulator)

ที่นี่สัญญาณ L - R จะมาทำการมอคูเลชันแบบเอื่มกับคลีนพาห์รอง 38 kHz แต่เนื่องจากการบาลานซ์ของวงจรทำให้คลีนพาห์รองหายไปมีแต่ไซค์แบบดั้งเดิมทั้งสองข้างออกไป



รูปที่ 2.20 เครื่องผลิตสัญญาณสเตอริโอมัลติเพลกซ์

- 3) ออสซิลเตอร์ผลิตความถี่ 19 kHz

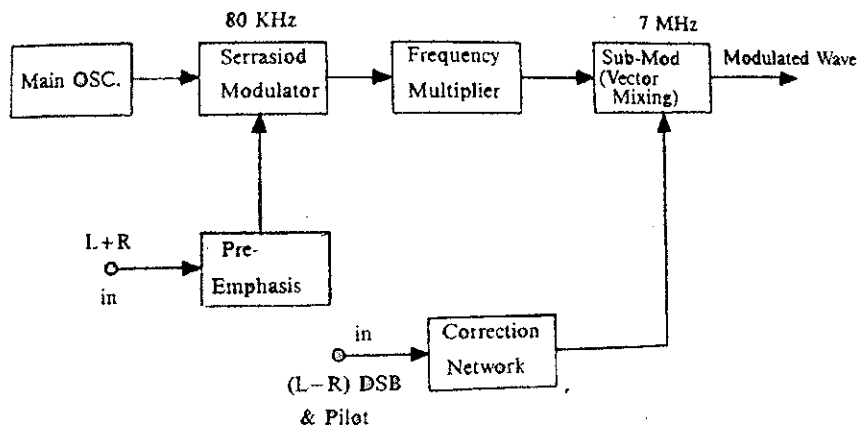
เป็นออสซิลเตอร์ที่ความถี่ถูกควบคุมด้วยผลึกแร่ความถี่ 19 kHz สำหรับเป็นสัญญาณไฟลีอต จากความถี่นี้จะมีส่วนหนึ่งแยกเข้าไปในยังวงจรที่คุณความถี่สองเท่า ได้ความถี่ 38 kHz อากมาสำหรับความเป็นคลีนพาห์รองให้กับบาลานซ์

อุสซิลเดเตอร์ ในเครื่องผลิตสัญญาณสเตอโรโนมัลติเพลกซ์บ้างแบบจะสร้างความถี่ 38 kHz โดยตรง จากนั้นจึงผ่านวงจรหารความถี่ 19 kHz สัญญาณไฟลือตออกมา จะเป็นวิชีไหนกีตามสำคัญอยู่ที่ว่าความถี่ 19 kHz และ 38 kHz จะต้องมาจากจุดกำเนิดเดียวกัน ทั้งนี้ก็เนื่องด้วยเฟสของสัญญาณทั้งสองจะต้องเหมือนกันตลอดเวลา เพื่อให้การแยกสัญญาณซ้ายและขวาเป็นไปอย่างสมบูรณ์ที่สุด

4) ภาครวมและกรองสัญญาณ

ทำหน้าที่รวมสัญญาณ $L + R$, $(L - R)$ ไซค์เบนด์และ 19 kHz ให้ออกมาเป็นสัญญาณรวม (Composite Signal) แต่เนื่องจากสัญญาณ $(L - R)$ ไซค์เบนด์จากบาลานซ์มอคุเลเตอร์รูปคลื่นมีลักษณะคล้ายพลัง นอกจากประกอบด้วยไซค์เบนด์ล่างและบนแล้วยังเกิดอาร์โนนิกาอีกด้วย ย่านความถี่จะเกินจาก 23 – 53 kHz หน่วยกรองความถี่ต่ำ (Low-Pass Filter) จะยอมให้เฉพาะความถี่ต่ำกว่า 53 kHz เท่านั้นผ่านออกไปได้ แต่การที่มีหน่วยกรองความถี่ต่ำนี้ จะทำให้เฟสของความถี่ต่าง ๆ ที่ผ่านตัวหน่วยกรองนี้มีเฟสเด่น ไปมีค่าไม่เท่ากัน โดยเฉพาะ 19 kHz กับคลื่นพาห์รอง 38 kHz ฉะนั้นนอกจากจะมีตัวปรับขนาดของสัญญาณต่าง ๆ แล้ว ยังมีการปรับเฟสของไฟลือตก่อนเข้าตัวรวมสัญญาณ (Mixer) เพื่อชดเชยกับเฟสที่เสื่อมไปในหน่วยกรองความถี่ต่ำ ผลก็คือในสัญญาณรวมสุดท้ายเฟสของไฟลือต 19 kHz กับ 38 kHz ก็มีโอกาสตรงกันอีก

เครื่องผลิตสัญญาณสเตอโรโนมัลติเพลกซ์แบบนี้ สัญญาณรวมที่ออกสามารถนำไปทำการมอคุเลชันกับรีแอคแทนซ์มอคุเลเตอร์ในระบบเอฟเอ็ม วิชีตรงได้โดยแต่กับระบบมอคุเลชันเชิงเฟสหรือเอฟเอ็มทางอ้อมดังกล่าวในบทที่แล้วว่าความถี่ของคลื่นพาห์ในตอนเริ่มแรกหรือที่มอคุเลเตอร์มีค่าต่ำมากเมื่อเทียบกับความถี่สูงสุด 53 kHz ของสัญญาณรวม เครื่องผลิตสัญญาณรวมหรือสเตอโรโนมัลติเพลกซ์ที่จะใช้กับเครื่องส่งแบบเอฟเอ็มทางอ้อม จะต้องแยกสัญญาณ $L + R$ ออกไปค้างหากจากสัญญาณไฟลือตและสัญญาณ $(L - R)$ ไซค์เบนด์ จากนั้นสัญญาณ $L + R$ จะไปทำการมอคุเลชันกับเฟสของมอคุเลเตอร์แบบใดแบบหนึ่ง เช่นเชอร์ราชอยด์มอคุเลเตอร์ ขณะนี้ความถี่ของคลื่นพาห์จะต่ำมาก เช่น 80 kHz ดังในรูปที่ 2.21 ส่วนสัญญาณไฟลือต 19 kHz กับ $L - R$ ไซค์เบนด์จะถูกส่งเข้าไปยังมอคุเลเตอร์ (Sub modulator) ในที่นี้เป็นแบบ Vector Mixing ส่วนคลื่นพาห์ที่มาเข้ามอคุเลเตอร์องนี้ ก็คือ คลื่นพาห์แรก (80 kHz) ที่ถูกผสมมาแล้วครึ่งหนึ่ง แต่ก่อนจะมาถึงได้ผ่านวงจรที่คุณความถี่จะน้อยลง เช่น 7 MHz หลังมอคุเลเตอร์รองก็จะได้คลื่นเอฟเอ็มที่มีสัญญาณสเตอโรโนมัลติเพลกซ์ผสมอยู่



รูปที่ 2.21 วิธีป้อนสัญญาณเดอริโอดิมัลติเพลกซ์ให้กับเครื่องส่งระบบเฟสแมตคูเลชัน

วิธีการแยกสัญญาณอิคแบบหนึ่งคือ แบบวิธีการแบ่งเวลาหรือสวิทชิ่งเป็นวิธีการที่อาศัยลักษณะของสัญญาณรวมที่เหมือนกับการแบ่งเวลาส่าง คือสัญญาณซ้ายจะส่งออกมานางช่วงเวลาหนึ่งแล้วหายไป จากนั้นสัญญาณขวาจะถูกส่งไปบ้างกลับกันไปมา หลักการทำงานดังนี้ ตัว oscillator ที่ใช้ก็คือมัลติเพลกซ์แบบนี้ สัญญาณรวมหลังจากถูกขยายแล้ว จะถูกส่งผ่านไปยังวงจรกรองความถี่เดียวกัน สำหรับสัญญาณ $L + R$ และ $(L - R)$ ใช้ค์แบบเดียวกันไป ส่วนสัญญาณไฟลีด 19 kHz และความถี่อื่นๆ นอกจากนี้จะไม่ผ่านออกไป สัญญาณรวมนี้ถูกส่งต่อไปยังอิเล็กทรอนิกส์สวิทช์ ในที่นี่ใช้ไดโอด เป็นสวิทช์ซึ่งมีการเปิดปิดของสวิทช์ถูกควบคุมด้วยโวลต์จีแวลเดียวความถี่ 38 kHz ที่ได้จาก 19 kHz เช่นเดียวกับที่กล่าวมาแล้วในแบบแรก

ในปัจจุบันตัว oscillator ที่ใช้เป็นตัวไอซี (Integrated Circuit) เพียงตัวเดียว ภายในเป็นภาคต่าง ๆ ต่อร่วมกับอุปกรณ์จำพวก R และ C เพียงไม่กี่ตัว ตัว oscillator ที่ใช้เป็นแบบเฟส ลีคคูปช่องระบบเอฟเอ็ม stereodemodulator (FM Stereo Demodulator) หลักการทำงานต่าง ๆ ยังคงคล้ายกับแบบแรก ๆ คือต้องมีการสร้าง 38 kHz ขึ้นมาใหม่ และให้ถูกควบคุมด้วยสัญญาณ 19 kHz จากเครื่องส่ง จากนั้นจึงส่งไปยังตัว oscillator (Decoder) เพื่อทำการตัดต่อให้สัญญาณรวมแยกออกไปเป็นสัญญาณซ้ายขวาที่เหมาะสมต่อไป ตัว oscillator แบบนี้การปรับแต่งจะง่ายกว่าแบบแรก ๆ เพียงแต่ปรับความถี่ของ oscillator ไปมาถ้าเข้าใกล้ความถี่ของคลื่นพาร์รองที่รับเข้ามาเมื่อไร มันจะถือคตัวเอง โดยอัตโนมัติซึ่งก็จะสังเกตเห็นได้อย่างง่ายดาย โดยคุณที่หล่อคแสดงสัญญาณไฟลีด ถ้าสร้างก็หมายความว่าความถี่ 38 kHz ภายในตรงกับ 38 kHz ที่รับเข้ามา (ความจริง 19 kHz) ทั้งนี้กระทำได้โดยไม่ต้องใช้เครื่องมือพากมิเตอร์หรืออสซิลโลสโคปเข้ามาช่วย เพื่อแสดงให้เห็นถึงสัญญาณซ้ายขวาที่ถูกแยกออกมา เพราะถ้าความถี่ 38 kHz ลีดคันแล้วการแยกสัญญาณซ้ายขวา ก็จะสมบูรณ์มากที่สุด ไม่มีส่วนอื่นใดจะต้องปรับแต่งอีก นี่จึงควรจะถือว่าเป็นวิธีการที่ดีที่สุด

สำหรับตัวถอดครหัสมัลติเพลกซ์ทุกแบบจะทำงานได้ดี ต่อเมื่อเครื่องรับเอฟเอ็มรับสัญญาณได้แรงพอสมควรขนาดหนึ่ง และตัวเครื่องรับได้รับการปรับแต่งถูกต้องอย่างสมบูรณ์อยู่แล้ว

2.6.4 สัญญาณรบกวน (Noise) และลักษณะการรับกวน

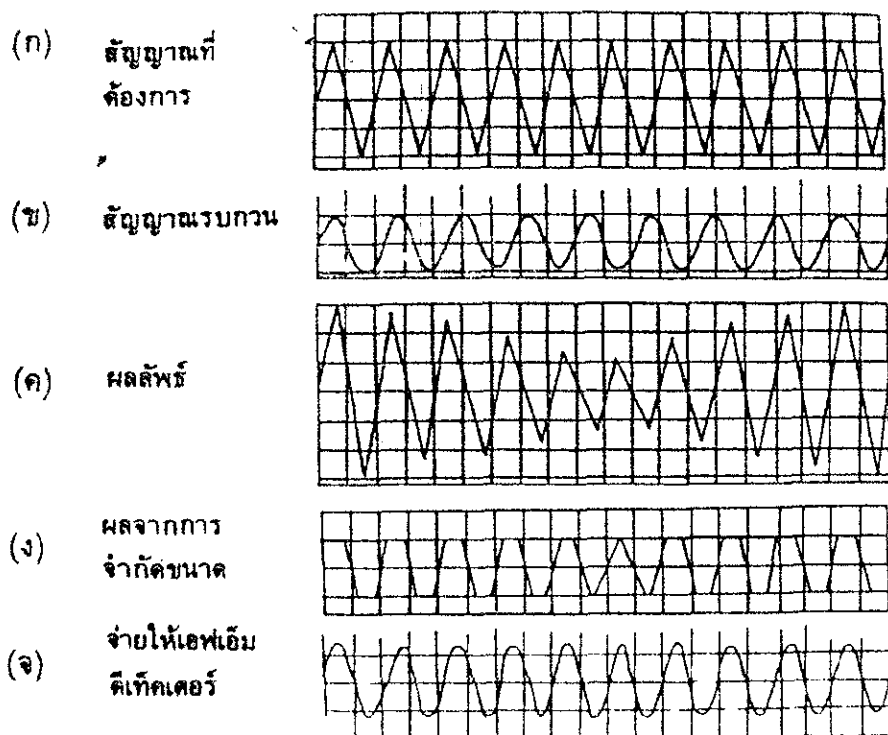
ขณะคลื่นวิทยุจากเครื่องส่งวิทยุผ่านไปในอากาศ สู้เครื่องรับที่ห่างไกลออกไป ชี้งระหว่างทางนั้นจะมีสัญญาณรบกวนต่าง ๆ ประปนเข้าไปผสมด้วย (เนื่องจากสัญญาณรบกวนนี้ มีขนาดกระจายอย่างสม่ำเสมอตลอดยานความถี่ของคลื่นวิทยุ) ลักษณะที่คิดเด่น และสำคัญของระบบเอฟเอ็ม และ Ph.M (เบรีบเทียบกับระบบเอ็ม) ก็คือมันสามารถแยกสัญญาณรบกวนและสัญญาณอื่นที่ประปนเข้ามาให้หมดได้ หรืออย่างน้อยก็ลดผลกระทบการรับกวนลงอย่างมาก

ผลจากการรับกวนนี้ จะทำให้เกิดการมอคูลেชั่นเกินจากที่ควรเป็น คือ ทำให้เฟสและขนาดของสัญญาณที่ต้องการเปลี่ยนแปลงได้เพื่อให้เข้าใจได้ง่ายยิ่งขึ้นในที่นี้จะสมมติว่าสัญญาณที่ต้องการและสัญญาณรบกวน เป็นคลื่นรูปไซน์ทั้งคู่ ในทางปฏิบัติสัญญาณที่ต้องการอาจอยู่ในรูปเอฟเอ็ม หรือ Ph.M ก็ได้ ในขณะที่สัญญาณรบกวนอาจเป็นคลื่นพาห์จากสถานีอื่นหรือเป็นคลื่นผสม (Complex Wave) ที่เกิดจากแหล่งกำเนิดสัญญาณรบกวนตามธรรมชาติ หรือเกิดจากมนุษย์ทำขึ้นมา ลักษณะและผลกระทบการรับกวนนี้แบ่งออกเป็นข้อ ๆ ได้ดังนี้

(ก) ทำให้เกิดการเปลี่ยนแปลงทางขนาด (Amplitude Variations)

ในรูปที่ 2.22 แสดงถึงคลื่นพาห์ที่ต้องการ รูป (ก) ลูกคลื่นพาห์อื่นในรูป (ข) เข้ามารบกวนโดยความถี่หลังต่ำกว่าความถี่ของสัญญาณที่ต้องการ และสมมติว่ามีขนาดต่ำกว่ากันครึ่งหนึ่ง ทำให้คลื่นพาห์ที่ต้องการมีขนาดเปลี่ยนไปด้วยอัตราเท่ากัน ผลต่างทางความถี่ระหว่างสัญญาณที่ต้องการกับสัญญาณรบกวน แสดงดังรูปที่ 2.22 (ค) (การเปลี่ยนแปลงทางขนาดนี้จะเกิดขึ้นคล้าย ๆ กันด้วยเมื่อความถี่ของสัญญาณที่ต้องการต่ำกว่าสัญญาณรบกวน) การเปลี่ยนแปลงทางขนาดที่เกิดขึ้นนี้ ถ้าเกิดกับคลื่นเอฟเอ็ม หรือ Ph.M อาจขัดออกไปได้โดยภารจักดขนาด (Limiting Stages) ก่อนป้อนไปให้ดีแทคเตอร์ โดยมันจะทำการตัดเอาขนาดที่สูงกว่าระดับที่กำหนดไว้ออกไป ได้รูปคลื่นออกมาดังรูป 2.22 (ง) ในวงจรดีแทคเตอร์ของเอฟเอ็มบางแบบสามารถจัดการเปลี่ยนแปลงทางขนาดด้วยตัวของมันเองไม่จำเป็นต้องมีภาคจำกขนาดเข้ามาช่วย วงจรจูน (Tuned Circuits) ที่อยู่ในตัวจำกขนาด (Limiter) และดีแทคเตอร์จะทำหน้าที่ตัดเอาความถี่สารโนนิกที่เกิดจากการตัดทางขนาด (Clipping) ของสัญญาณในรูป 2.22 (ง) ทึ่งไป ฉะนั้น สัญญาณก่อนที่จะป้อนให้ดีแทคเตอร์จะคงคลึงกับสัญญาณที่ต้องการก่อนเกิดการรบกวน ดังรูปที่ 2.22 (จ) การจำกหรือตัดขนาดส่วนที่มีการเปลี่ยนแปลงทางขนาดออกไปนี้จะไม่มีผลกระทบต่อการเปลี่ยนแปลงทางความถี่ของคลื่นเอฟเอ็มที่ต้องการเลย ฉะนั้น ในทางปฏิบัติแล้วสัญญาณรบกวนที่ทำให้เกิดคลื่นเอฟเอ็ม บนคลื่นเอฟเอ็ม หรือ Ph.M. สามารถจัดออกไปได้ ถึงแม้ว่าขนาดของสัญญาณรบกวนนั้นเกือบจะเท่ากับขนาดของสัญญาณที่ต้องการ

เมื่อเปรียบเทียบกับคลื่นเสียง ถึงแม้ว่าสัญญาณรบกวนจะมีขนาดต่ำ ๆ ถ้าเข้าไปรบกวน การเปลี่ยนแปลงทางขนาดแล้วลักษณะไม่สามารถที่จะจดออกໄไปได้เลย เช่น สัญญาณรบกวนที่มี โวตเดิจ์ต่ำกว่าสัญญาณที่ต้องการเป็นพันเท่า ก็ยังทำให้ได้ยินเป็นเตียงหัวใจ (Beat Note) ได้ อัตราส่วนของโวตเดิจ์ $1:100$ (40 dB) ยังเกิดการรบกวนอย่างหนัก ฉะนั้น ในคลื่นเสียงที่มี แก้ไขได้คือใช้ตัวจำกัดสัญญาณรบกวน (Noise Limiter) ซึ่งก็เป็นเพียงลดความรุนแรงในส่วนที่มี ขนาดสูงสุดที่จะมีเป็นครั้งคราว (Random Peak) หรือก็ใช้วิธีลดความกว้างແบนความถี่ (Band width) เพื่อให้สัญญาณรบกวนที่เข้ามาย่านจำกัดลง (พลังงานจากสัญญาณรบกวน จะมีลดลงทุก ๆ ความถี่ ทำให้การรบกวนเป็นปฏิภาคกับความกว้างແบนความถี่)



รูปที่ 2.22 สัญญาณรบกวนเข้าไปผสมกับสัญญาณที่ต้องการ

(ข) ทำให้เกิดการเปลี่ยนแปลงทางเฟส (Phase variations)

ในรูปที่ 2.22 (ค) นอกจากขนาดของสัญญาณที่ต้องการจะเปลี่ยนแปลงไปตามสัญญาณ รบกวนแล้วเฟสของมันยังพลอยเปลี่ยนแปลงตามไปด้วยโดยมีอัตราทักษะลดลงตามความถี่ระหว่าง สัญญาณที่ต้องการกับสัญญาณรบกวน

สมนติว่า ความถี่ของสัญญาณรบกวนห่างกับความถี่ของสัญญาณที่ต้องการอยู่ 1000 Hz และขนาดเป็นครึ่งหนึ่งของสัญญาณที่ต้องการ ฉะนั้นสัญญาณผลรวมจะมีขนาดเปลี่ยนแปลงขึ้นลง ด้วยอัตรา 1000 Hz และมีเฟสเบี่ยงเบน ± 50 เรเดียน นั่นคือ ดัชนีการอนุญาตชั้น (Modulation Index)

ของการมอคุเลชั่นเชิงเฟส ที่เกิดจากสัญญาณรบกวนจะมีค่าเท่ากับ 0.5 และเคยได้กล่าวมาแล้วว่า ความถี่เบี่ยงเบนที่เกิดจากการมอคุเลชั่นเชิงเฟสขึ้นอยู่กับเฟสความถี่ และความถี่ของสัญญาณที่เข้าไปผสม

$$\text{ เพราะฉะนั้น } \text{ ความถี่เบี่ยงเบน} = \pm 0.5 * 1000 = \pm 500 \text{ Hz}$$

ทำงานเดียวกัน ถ้าสัญญาณทั้งสองมีความถี่ต่างกัน 15 kHz จะได้

$$\text{ ความถี่เบี่ยงเบน} = \pm 0.5 * 15000 = \pm 7500 \text{ Hz}$$

สัญญาณรบกวนทำให้สัญญาณที่ต้องการเกิดการมอคุเลชั่นเชิงเฟสขึ้นได้และเป็นผลให้เกิดความเบี่ยงเบนที่เป็นสัดส่วนกับความถี่ผลต่างของสัญญาณทั้งสอง ในส่วนของเส้น $m/f = 0.5$

แต่ตามปกตินั้นขนาดของสัญญาณรบกวนจะต่ำกว่าขนาดของสัญญาณที่ต้องการอยู่มาก ดังนั้นเฟสเบี่ยงเบนที่เกิดขึ้นจึงน้อยกว่าที่ยกตัวอย่างข้างต้น ถ้าสามารถลดระดับของสัญญาณรบกวนลง ความถี่เบี่ยงเบนในสัญญาณรวมก็ต่ำลงด้วย แต่ความถี่เบี่ยงเบนนี้ยังคงเป็นสัดส่วนกับความถี่ผลต่างของสัญญาณทั้งสองอยู่ดี

(ก) ผลของสัญญาณรบกวนที่มีต่อทางออกของเครื่องรับเอฟเอ็ม

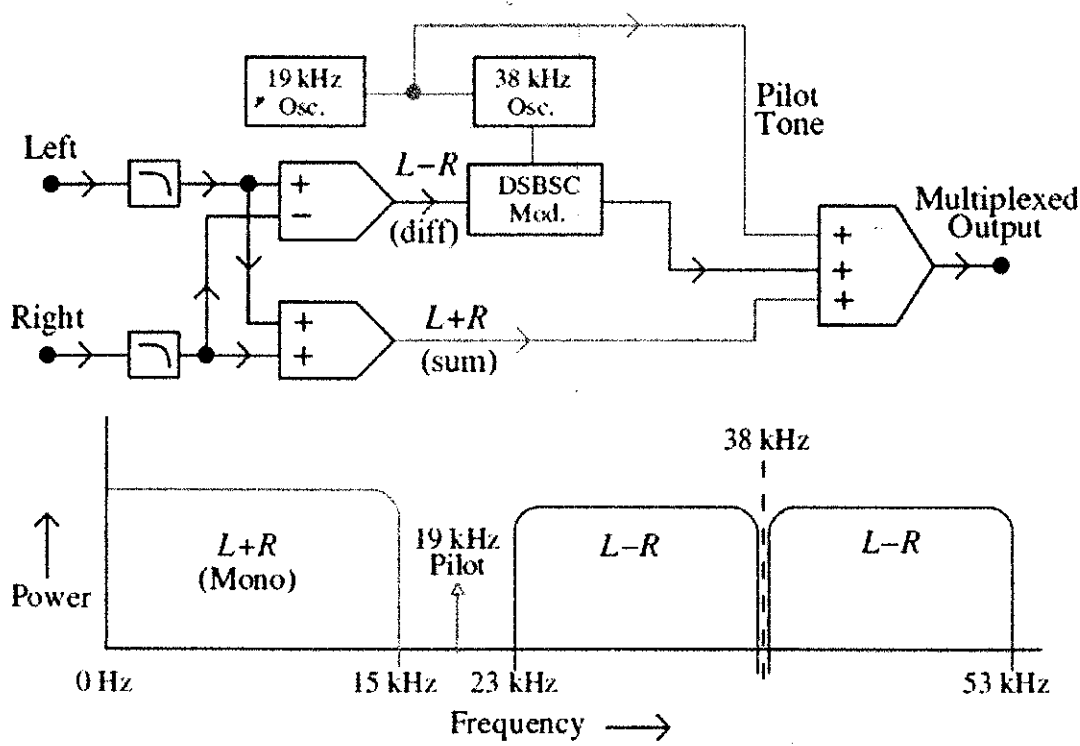
สิ่งที่จะชี้บ่งถึงผลของสัญญาณรบกวนที่มีต่อทางออกของเครื่องรับเอฟเอ็ม ก็คือ การเปรียบเทียบความถี่เบี่ยงเบนที่เกิดจากสัญญาณรบกวนกับความถี่เบี่ยงเบนสูงสุดที่เกิดจากสัญญาณปกติ ตัวอย่างเช่น สมมติว่าในระบบเอฟเอ็มที่มีความถี่เบี่ยงเบนสูงสุด $\pm 50 \text{ kHz}$ สัญญาณรบกวนขนาดเป็นครึ่งหนึ่งของคลื่นพาก ความถี่ห่างกัน 1 kHz จะทำให้เกิดความถี่เบี่ยงเบน $\pm 0.5 \text{ kHz}$ ดังนั้น ณ ทางออกของเครื่องรับเอฟเอ็มจะได้ขึ้นเสียงความถี่ 1 kHz ของสัญญาณรบกวนโดยมีขนาดเป็น $0.5/50 = 0.01$ หรือ 1% ของขนาดของสัญญาณปกติที่ต้องการ อย่างไรก็ตาม เมื่อสัญญาณรบกวนกับคลื่นพากมีความถี่ต่างกัน 15 kHz จะทำให้เกิดความถี่เบี่ยงเบน $\pm 7.5 \text{ kHz}$ (จากตัวอย่างที่แล้ว เช่นกัน) ดังนั้น ณ ทางออกของเครื่องรับเอฟเอ็มรา凡ิ์ความถี่รบกวนที่ปรากฏมีความถี่ 15 kHz ส่วนขนาดจะเป็น $7.5/50 = 0.15$ หรือ 15% ของขนาดของสัญญาณปกติ จากที่กล่าวมานี้ จะเห็นว่าอัตราส่วนของสัญญาณต่อสัญญาณรบกวน ณ ความถี่สูงจะมากกว่าที่ความถี่ต่ำ แต่ก็ยังต่ำกว่าเมื่อเปรียบเทียบกับอัตราส่วนกับสัญญาณต่อสัญญาณรบกวน (Signal to Noise ratio) ณ ทางเข้าของเครื่องรับ ซึ่งสูงมากกว่า

ผลของสัญญาณรบกวนนี้ยังสามารถหาได้โดยตรงจากค่าดัชนีการมอคุเลชั่น (Modulation Index) ของสัญญาณปกติ ณ ความถี่กำหนด กับดัชนีการมอคุเลชั่นของสัญญาณรบกวน เช่น สัญญาณความถี่ 15 kHz ทำให้เกิดความถี่เบี่ยงเบน $\pm 50 \text{ kHz}$ ซึ่งมีดัชนีการมอคุเลชั่น 3.33 ส่วนสัญญาณรบกวนทำให้เกิดเฟสเบี่ยงเบน ± 0.5 เเรเดียน ดัชนีการมอคุเลชั่นเป็น 0.5 สัญญาณรบกวน ณ ทางออกของเครื่องรับซึ่งมีค่าเท่ากับ $0.5/3.33 = 0.15$ หรือ 15% ของสัญญาณที่ต้องการ

- 2) ในกิจการวิทยุโทรศัพท์ติดรถยกความถี่เมืองบนสูงสุด $\pm 15 \text{ kHz}$ ในขณะที่ความถี่เสียงสูงสุดได้เพียง 3 kHz อัตราส่วนการเมืองบนจึงเป็น 5 อัตราส่วนของสัญญาณต่อการรับกวนจะดีขึ้นอีก 8.66 หรือ 18.75 dB

การใช้ค่าอัตราส่วนการเมืองบนให้สูงขึ้น เพื่อทำให้อัตราส่วนของสัญญาณต่อการรับกวนสูงขึ้นนี้จะมีผลต่อกลางความกว้างของแอนด์แคบความถี่ ซึ่งใช้สำหรับการส่งสัญญาณเอฟเอ็ม ดังนั้นในทางปฏิบัติจึงใช้ค่าที่ประนีประนอมสำหรับงานแต่ละแบบคือ ได้อัตราส่วนของสัญญาณต่อการรับกวนดีขึ้น ในขณะที่ไม่ใช้ความกว้างของแอนด์แคบความถี่มากนัก [1]

2.6.5 การเข้ารหัสของสเตอโรโอ (Stereo Encoder)



รูปที่ 2.23 แผนภาพการเข้ารหัสสัญญาณของส่วนสเตอโรโอ

การเข้ารหัสของสเตอโรโอคือการใช้วงจรเพื่อให้เสียงใช้ช่องสัญญาณสองช่องสัญญาณ (L และ R) และรวมสัญญาณเสียงเป็นเสียงเดียวเรียกว่า ช่องสัญญาณการมัลติเพลกซ์การเข้ารหัสของสเตอโรโอจะประมวลผลโดยการมัลติเพลกซ์ซึ่งเพื่อยอนให้เครื่องส่งสัญญาณได้มากกว่าหนึ่งสัญญาณเสียงและมีเส้นทางหรือช่องสัญญาณมากกว่าหนึ่งช่องสัญญาณ ซึ่งจะต้องใช้แหล่งกำเนิดเพื่อเป็นสวิตซ์ระหว่างช่องสัญญาณเสียงสองช่องสัญญาณที่มีความถี่เสียง 38 kHz ต่อวินาทีแล้วรวมกันเป็นหนึ่งช่องสัญญาณ ซึ่งความถี่ที่ 38 kHz นี้จะทำการประมวลผลเพียงครึ่งหนึ่งคือ 19 kHz เพื่อ

นำไปสร้างเป็นสัญญาณไฟลือที่เครื่องรับจะต้องทำการถอดรหัสสัญญาณมัลติเพลกซ์ เพื่อแยกช่องสัญญาณเดี่ยอกเป็นสองช่องสัญญาณ ในการทดสอบเดี่ยงของช่องสัญญาณในหนึ่งครั้งนั้นจะใช้ความถี่ 19 kHz สำหรับกำเนิดสัญญาณเดี่ยงซึ่งสัญญาณเดี่ยงจะต้องรวมมัลติเพลกซ์เพื่อให้เครื่องส่งทำการส่งออกอากาศ

2.6.6 การแยกสัญญาณ (Separator)

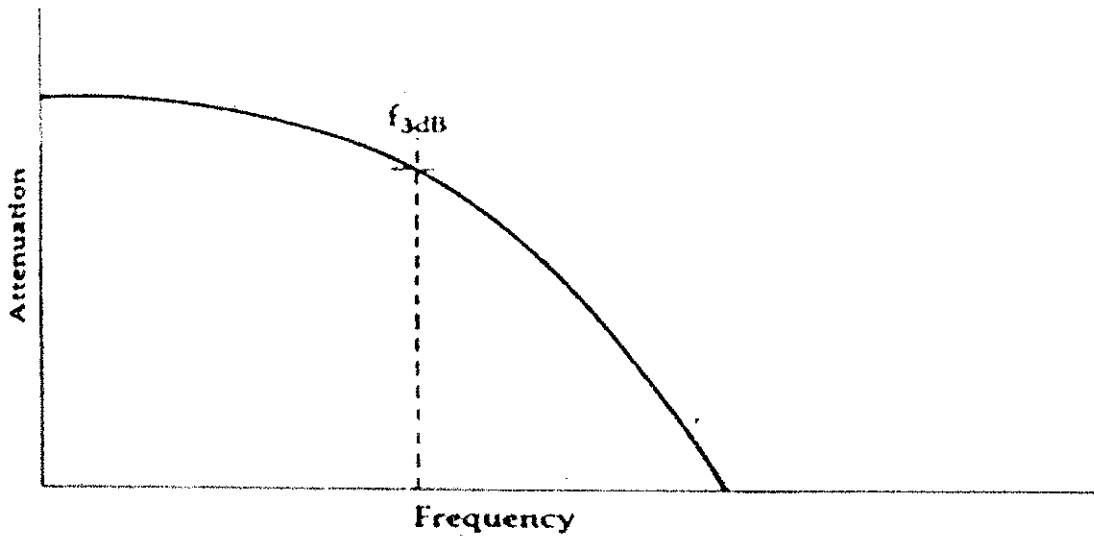
โดยปกติแล้วท่านซิสเตอร์หนึ่งตัวสามารถทำการแยกสัญญาณที่มีความถี่ต่างจากสายอากาศหรือจากน้ำที่ทำการเก็บสัญญาณ เมื่อทำการแยกสัญญาณแล้ว โดยปกติแหล่งกำเนิดสัญญาณจะให้กำเนิดสัญญาณที่มีกำลังงานในการส่งต่ำมาก เมื่อสัญญาณยังไม่ได้ทำการขยาย และเมื่อใช้เครื่องขยายส่วนนี้ก็จะมีกำลังงานเพิ่มขึ้น เพราะเครื่องขยายก็มีหน้าที่ เช่นเดียวกับการแยกสัญญาณ (Separator)

2.7 วงจรกรอง (Filter)

ฟิลเตอร์พบได้มากในด้านเครื่องมือและอุตสาหกรรมการสื่อสาร ซึ่งไม่มีหนังสือที่สามารถที่จะครอบคลุมทางด้านการออกแบบวงจราร์เอฟได้อย่างสมบูรณ์ในความเป็นจริงแล้วการออกแบบฟิลเตอร์ไม่สามารถที่จะครอบคลุมทุกหัวข้อทั้งหมดของฟิลเตอร์ทุกประเภทได้ แต่ก็จะทำให้ผู้อ่านได้รู้จักกับลักษณะของฟิลเตอร์ที่นิยมใช้ 3 ชนิด และสามารถที่จะออกแบบฟิลเตอร์ได้อย่างรวดเร็วและง่ายดาย ประเภทของฟิลเตอร์หลัก ๆ ซึ่งได้แก่ Butterworth, Chebyshev และ Bessel Filter ในโครงสร้างทั่วไป คือ Low Pass, High Pass และ Band Pass

2.7.1 วงจรกรองความถี่ต่ำผ่าน (Low-Pass Filter)

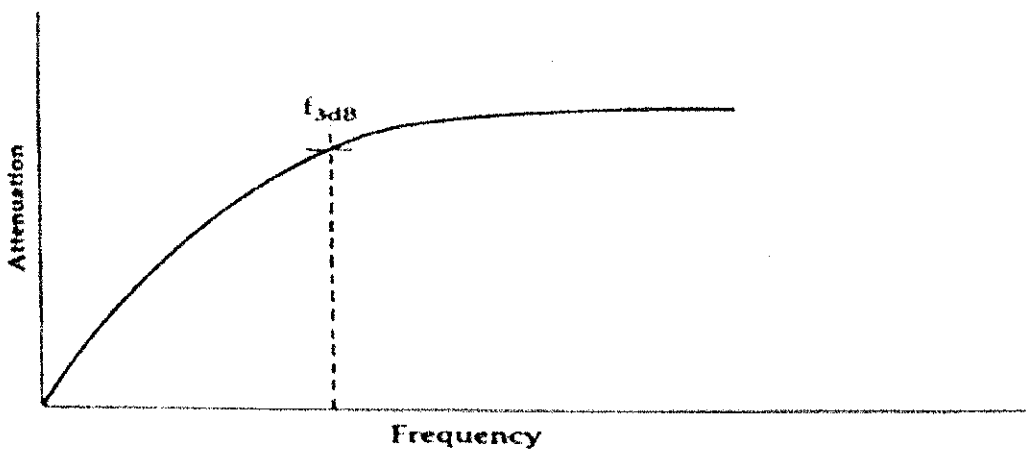
Low Pass Filter จะยอมให้สัญญาณทั้งหมดที่ความถี่ต่ำกว่าความถี่คัตออฟผ่านไปได้ และจะลดทอนสัญญาณความถี่อื่นไปหมด



รูปที่ 2.24 กราฟแสดงผลการตอบสนองของ Low Pass Filter

2.7.2 วงจรกรองความถี่สูงผ่าน (High-Pass Filter)

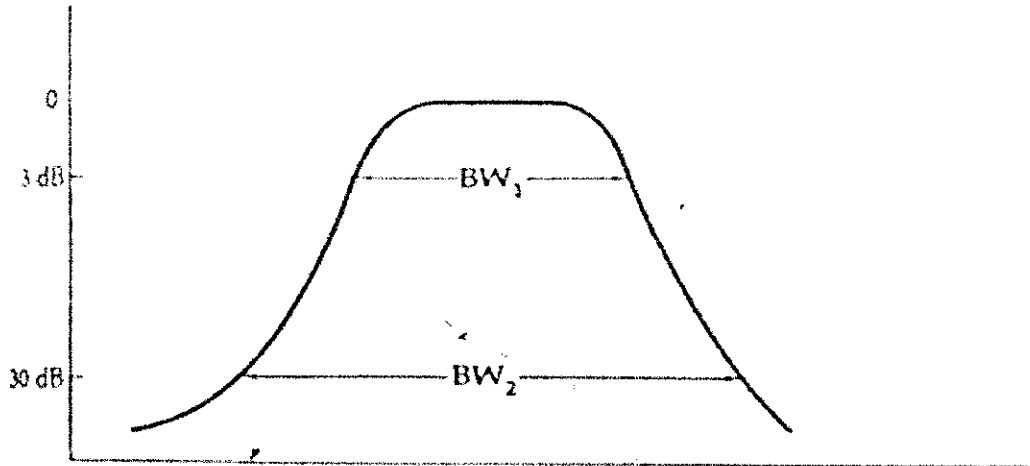
High Pass Filter มีการตอบสนองที่ตรงกันข้าม (Mirror-image) กับการตอบสนองแบบ Low Pass และจะดัดตอนสัญญาณที่ต่ำกว่าความถี่คักท่อฟหะที่ทำให้ความถี่ที่มากกว่าคักท่อฟผ่านไปได้



รูปที่ 2.25 กราฟแสดงผลการตอบสนองของ High Pass Filter

2.7.3 วงจรกรองผ่านความถี่ (Band-Pass Filter)

Band Pass Filter จะทำการตัดความถี่ที่สูงและความถี่ที่ต่ำกว่าความถี่คักหอฟ ทิ้งไว้



รูปที่ 2.26 กราฟแสดงผลการตอบสนองของ Band Pass Filter

2.8 สรุป

เครื่องส่งสัญญาณวิทยุที่ดีนั้นจะต้องสามารถส่งได้ในระยะไกลได้และต้องมีความแรงของสัญญาณอย่างสม่ำเสมอ กันในการส่งสัญญาณ ในบทนี้ได้กล่าวถึงส่วนประกอบที่สำคัญที่ต้องใช้ในการสร้างเครื่องส่ง ซึ่งในแต่ละส่วนนั้นได้อธิบายถึงคุณสมบัติและประเภทของอุปกรณ์ที่ใช้งาน เมื่อได้ถักยละเอ โครงสร้างพื้นฐานของเครื่องส่งแล้วจะต้องนำไป amalgam โครงสร้างของวงจรที่ใช้งานจริงและนำไปทดสอบด้วยอุปกรณ์ต่าง ๆ โดยการส่งวิทยุกระจายเสียงระบบสเตอริโอ มักติดเพลกซ์จะใช้เครื่องส่งเพียงเครื่องเดียว สัญญาณประกอบด้วย สัญญาณ $L + R$ สัญญาณไฟลีอต 19 kHz สัญญาณ $L - R$ ไซค์แบบคู่แบบคลื่นพาห์รองถูกตัดทิ้งไป สัญญาณ $L + R$ ส่งไปเพื่อให้เครื่องรับเอฟเอ็มหรรษาการรับสัญญาณได้เป็นปกติ ส่วนสัญญาณไฟลีอต 19 kHz ส่งไปเพื่อให้เครื่องลดคราฟทางด้านรับ ทำการแยกสัญญาณซ้ายและขวาออกไปได้อย่างถูกต้อง ส่วนสัญญาณ $L - R$ ไซค์แบบคู่นี้ เป็นสัญญาณประกอบ เพื่อให้สัญญาณซ้ายและขวาถูกแยกออกจากกันได้ สัญญาณรบกวน (Noise) สามารถทำให้คลื่นพาห์มีขนาดและเฟสเปลี่ยนแปลงได้ ในระบบเอฟเอ็ม การรบกวนทางขนาดสามารถขัดออกไปได้ สัญญาณรบกวนที่ออกจากเครื่องรับเอฟเอ็มนั้นมีขนาดเท่า ๆ กัน ในทุก ๆ ความถี่ ขณะที่จากเครื่องรับเอฟเอ็มขนาดจะสูงขึ้นเมื่อความถี่สูงขึ้น

บทที่ 3

การแมตช์อิมพีเดนซ์ (Impedance Matching)

3.1 ก่อว่าง

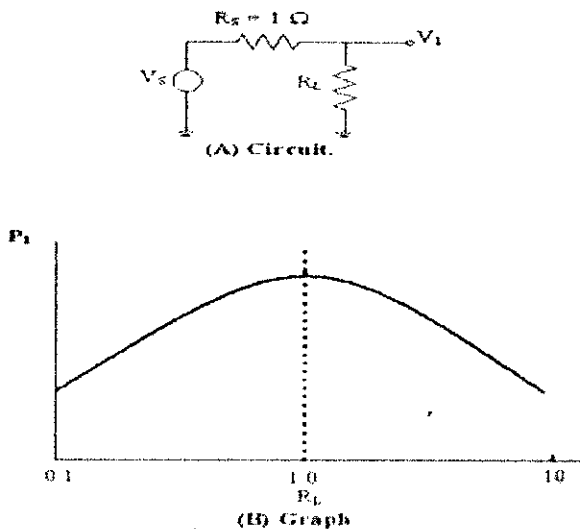
ในการออกแบบวงจรอาร์โอลฟ์เพื่อหาความเป็นไปได้ที่จะส่งกำลังงานระหว่างแหล่งจ่ายกับโหลด โดยยกตัวอย่างที่ชัดเจนของความต้องการ เช่น การส่งของกำลังงานที่เกิดขึ้น การรับที่มีการตอบสนองไว การสัญญาณที่ไม่จำเป็นในวงจร เพราะฉะนั้นในการออกแบบจะต้องทำให้แน่ใจว่า อุปกรณ์แต่ละส่วนมีการเชื่อมต่อที่แมตช์กันของแหล่งจ่ายกับโหลด ในบทนี้จะกล่าวถึงทฤษฎีของ การแมตช์ห้องๆ ๆ ครั้ง โดยให้แหล่งจ่ายจ่ายไฟไปให้โหลด โดยจะทำคู่กันกับ AID ของสมิทธาร์ต และจะทำการพิจารณาแบบขั้นต่อขั้นโดยจะเสนอการคำนวณอย่างง่าย

3.2 การแมตช์อิมพีเดนซ์ (Impedance Matching)

สำหรับวงจร DC กำลังสูงสุดจะถูกส่งจากแหล่งจ่ายไปยังโหลด ถ้าความต้านทานของโหลดเท่ากับความต้านทานของแหล่งจ่ายจะเกิดการแมตช์กัน การพิสูจน์ง่ายๆ ของบทพิสูจน์นี้โดยใช้การคำนวณและการวิเคราะห์ในรูปที่ 3.1 ในการคำนวณเพื่อความสะดวกแหล่งจ่ายถูกน้อมอคลาทิคสำหรับความต้านทาน 1 โอม และแรงดันแหล่งจ่ายไฟ 1 โวลต์

สำหรับวงจร AC หรือรูปแบบคลื่นที่เปลี่ยนแปลงตามเวลาจะมีสเทศคล้ายกัน ซึ่งการส่งค่าสูงสุดของกำลังจากแหล่งจ่ายไปยังโหลดเกิดขึ้นเมื่ออิมพีเดนซ์ของโหลด (Z_L) เท่ากับคอมเพล็กค่อนjugexของอิมพีเดนซ์ และแหล่งจ่ายคอมเพล็กค่อนjugexจะสามารถทำการส่งค่าอิมพีเดนซ์เชิงซ้อนจะมีส่วนจริงซึ่งตรงข้ามกับค่าความต้านทานของดัลวิตดังนั้นถ้าค่าของอิมพีเดนซ์แหล่งจ่ายคือ $Z_s = R + jX$ เมื่อคอมเพล็กค่อนjugexคือ $Z_L = R - jX$

ถ้าผู้คนทราบหลักคณิตศาสตร์จะมีความสัมพันธ์ดังรูปที่ 3.1 แสดงถึงการส่งกำลังสูงสุดของกำลังที่เกิดขึ้นได้ เมื่ออิมพีเดนซ์ของโหลดคือคอมเพล็กค่อนjugexของแหล่งจ่าย ดังแสดงในรูปที่ 3.2 แหล่งจ่าย (Z_s) ซึ่งอนุกรมกับส่วนประกอบความต้านทานของขนาดของ $+jX$ (ตัวหนึ่งยัน) การขับดันของตัวคอมเพล็กค่อนjugexของโหลดประกอบด้วยอิมพีเดนซ์ของความต้านทานของดัลวิต $-jX$ ความต้านทานของดัลวิต (ตัวเก็บประจุ) ในการอนุกรมกับ R_L ส่วนประกอบ $+jX$ ของแหล่งจ่ายและส่วนประกอบ $-jX$ ของโหลดถูกอนุกรม ดังนั้นอิมพีเดนซ์ส่วนอื่นๆ เป็นศูนย์เหลือแต่ R_s และ R_L ซึ่งเท่ากันโดยกำหนดให้ R_s และ R_L เท่ากันทำให้มีกำลังงานสูงสุดจะเกิดขึ้น ดังนั้นเมื่อแหล่งจ่ายที่ขับดันคอมเพล็กค่อนjugexแล้วสามารถอ้างอิงถึงเงื่อนไขดังกล่าวได้ ในความต้านทานของดัลวิตของแหล่งจ่ายมีความเท่ากันและตรงกันข้ามกันกับความต้องการของดัลวิตของโหลด ดังนั้นการยกเลิกค่าความต้านทานสำหรับแหล่งจ่ายและโหลดจะถูกลดลง



รูปที่ 3.1 รูป A แสดงวงจรไฟฟ้า

รูป B แสดงกำลังงานทางทฤษฎีของวงจร

พิสูจน์ $P_{out\max}$ เกิดขึ้นเมื่อ $R_L = R_s$ ในวงจรของรูปที่ 3.1A โดยใช้สูตร

$$V_1 = [R_L / (R_s + R_L)](V_s) \quad (3.1)$$

ให้ $V_s = 1$ และ $R_s = 1$ สำหรับความสะดวกดังนั้น

$$V_1 = R_L / (1 + R_L) \quad (3.2)$$

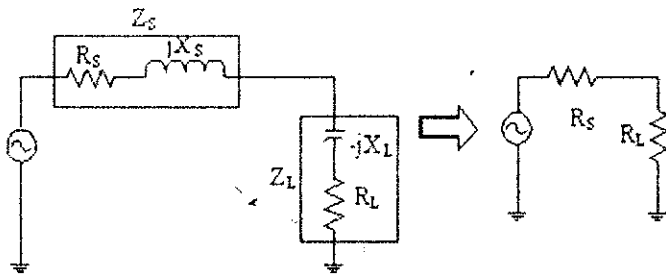
เมื่อกำลังใน R_L คือ

$$\begin{aligned} P_1 &= V_1^2 / R_L \\ &= [(R_1 / 1 + R_L)^2] / R_L \\ &= R_L / (1 + R_L)^2 \end{aligned} \quad (3.3)$$

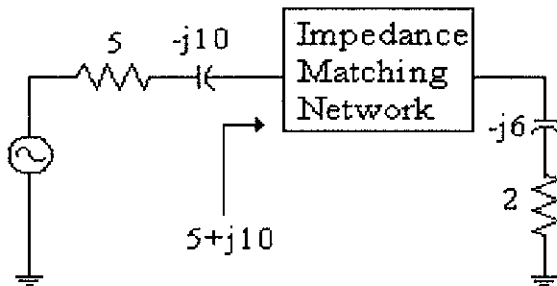
ถ้าพล็อต P_1 กับ R_L ในสมการก่อนหน้านี้ผลลัพธ์จะแสดงโดยเส้นโค้งของกราฟในรูปที่ 3.1B โดยที่ขั้นตอนแรกในการทำแมตซิ่งอินพีเดนซ์คือเมื่อกำลังแรงของอินพีเดนซ์ของโหลดมีลักษณะคล้ายคอมเพล็กคณูเกจของอินพีเดนซ์ เมื่อแหล่งจ่ายกำลังสูงสุดจะถูกส่งไปยังโหลด ดังแสดงในรูปที่ 3.3 อินพีเดนซ์ของโหลดเป็น $2 - j6$ โอห์มแล้วถูกแปลงโดยโครงสร้างของแมตซิ่ง อินพีเดนซ์มีค่า $5 + j10$ โอห์ม เมื่อแหล่งจ่ายของอินพีเดนซ์ของโหลดเป็น $5 + j10$ ซึ่งเป็นคอมเพล็กคณูเกจของอินพีเดนซ์ เพราะการจ่ายไฟให้กับความต้านทานของโหลดซึ่งมีความถี่อิสระ ต่อกันกับการแมตซิ่งอินพีเดนซ์ที่สมบูรณ์สามารถเกิดขึ้นได้ที่ความถี่เดียวกันนั่น นั่นคือความถี่ที่มีส่วนประกอบ $+jX$ เป็นส่วนจริงเท่ากับส่วนประกอบ $-jX$ เป็นส่วนจินตภาพ ดังนั้น การแมตซิ่งที่ความถี่คงที่ของการแมตซิ่งอินพีเดนซ์จะถูกยกเป็นปัญหาในวงจรบอร์ดเบรนด์ที่การแมตซิ่งที่

สมบูรณ์ทุกที่ภายในพารามิเตอร์ทางทฤษฎีแต่ยังไงก็ตามการเพิ่มขึ้นของแบบค์วิทของกระแสจะเกิดขึ้นเพียงเล็กน้อยในทางทฤษฎี

โครงสร้างของการทำแมตซิ่งนั้นไม่ได้จำกัดจำนวนของโครงสร้างแต่อย่างใดหรือสามารถใช้พงชั้นการแมตซิ่งอินพีเดนซ์ดังในรูปที่ 3.3 ในโครงข่าย LC แบบ 2 องค์ประกอบหรือท่อพิลเตอร์แบบ 7 องค์ประกอบ ขึ้นอยู่กับการประยุกต์ว่าจะทำงานให้เท่ากันอย่างไร ซึ่งต้องทำความเข้าใจลึกซึ้งเพื่อที่จะสามารถทำการแมตซิ่งอินพีเดนซ์แบบสองแหล่งง่ายได้



รูปที่ 3.2 แหล่งจ่ายทำการขับเคี้ยนคอมเพล็กตอนจูเกจไปยังวงจรสมมูล

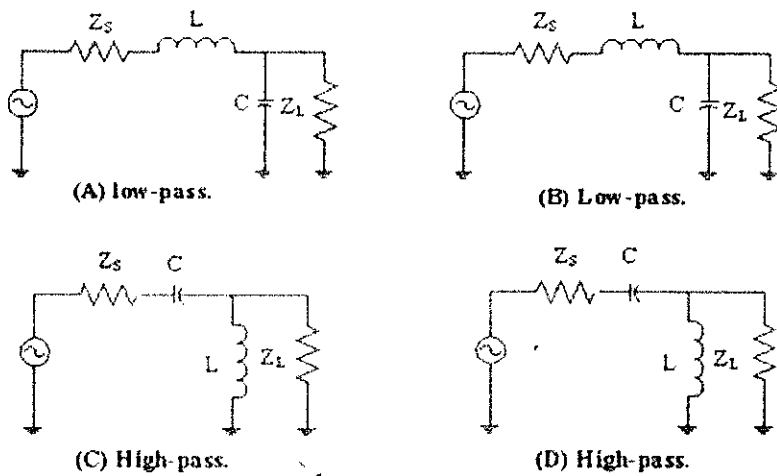


รูปที่ 3.3 การแปลงอินพีเดนซ์ในวงจรแมตซิ่ง

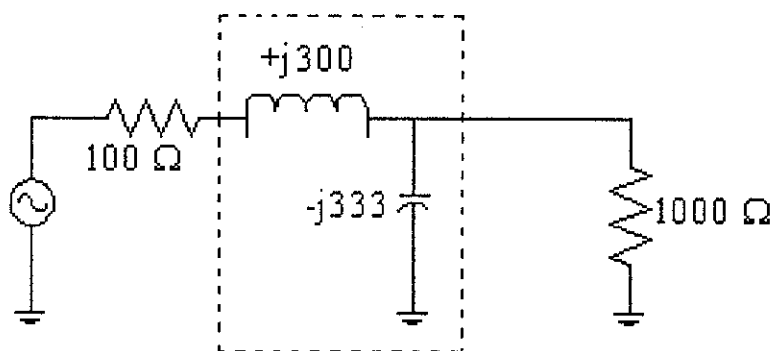
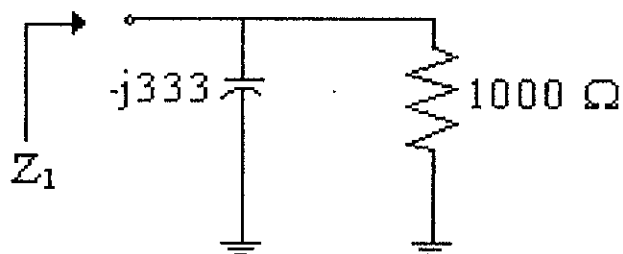
3.3 โครงข่ายแบบ L (L Network)

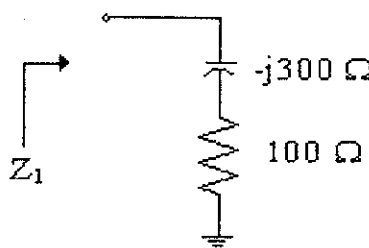
วงจรที่ใช้สำหรับทำการแมตซิ่งที่ง่ายที่สุดคือวงจรที่มีลักษณะเป็นแบบโครงข่าย L ดังแสดงในรูปที่ 3.4 วงจรที่มีชื่อนี้ เพราะว่าส่วนประกอบของวงจนมีลักษณะซึ่งเหมือนรูปร่างของ L ซึ่งได้จัดเป็น 2 ส่วนประกอบของ L และ 2 ส่วนประกอบของ C 2 แบบในการจัด (รูปที่ 3.4A และรูปที่ 3.4B) คือรูปร่าง Low Pass ส่วนอีก 2 แบบ (รูปที่ 3.4C และรูปที่ 3.4D) คือรูปร่าง High Pass

ก่อนหน้านี้ได้แนะนำสมการซึ่งสามารถใช้ในการออกแบบวงจรที่มีโครงสร้างแมตซิ่งดังรูปที่ 3.4 ในการวิเคราะห์โครงสร้างแมตซิ่งที่มีอยู่สามารถเข้าใจได้ว่าการแมตซิ่งอินพีเดนซ์สามารถเกิดขึ้นได้อย่างไร การวิเคราะห์นี้ถูกทำให้มีตัวแปรลึกลับ (Black Magic) ด้อมรอบทำให้การแมตซิ่งอินพีเดนซ์ควรลดลง

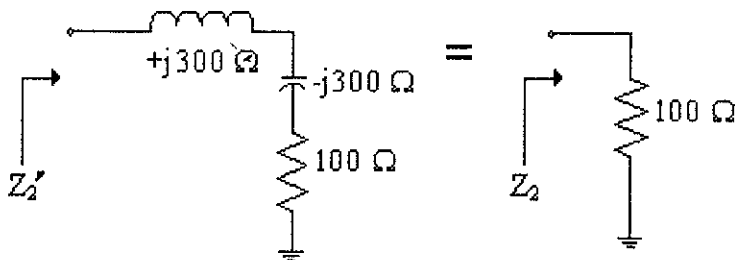


รูปที่ 3.4 โครงสร้างของวงจรแบบ L

รูปที่ 3.5 วงจรที่ทำการແມตซ์อินพีಡนซ์ที่เหล่งจ่ายมีความต้านทาน 100 โอห์ม
และ ความต้านทานทางฟังไส์ 1000 โอห์มรูปที่ 3.6 อินพีడนซ์ที่ต่อขานกันระหว่าง R_L และ X_C



รูปที่ 3.7 วงจรสมมุติที่ได้จากรูปที่ 3.6



รูปที่ 3.8 วงจรที่ได้จากการทำแมตซิ่ง

รูปที่ 3.5 แสดงวงจรการแมตซิ่งอิมพีเดนซ์ของโครงข่าย L อย่างง่ายระหว่างแหล่งจ่าย 100 โอมและโหลด 1000 โอม โดยไม่มีการต่ออิมพีเดนซ์แมตซิ่งของโครงสร้างของวงจร เมื่อแหล่งจ่าย 100 โอมขับดันไปยังโหลด 1000 โอม โดยตรงทำให้วงจรเกิดการสูญเสียประมาณ 4.8 dB ของกำลังจากแหล่งจ่ายทั้งหมด ดังนั้น 1 ใน 3 ของสัญญาณที่สามารถหาได้จากแหล่งจ่าย เมื่อทำอิมพีเดนซ์แมตซิ่งจะก้าวจัดการสูญเสียนี้ได้และส่งค่ากำลังสูงสุดส่งไปยังโหลด นี่คือการทำโดยการให้ความแรงของแหล่งจ่าย 100 โอมที่ยังอยู่ในอิมพีเดนซ์แมตซิ่ง

จากรูปที่ 3.5 เป็นการแมตซ์ของวงจรสามารถทำได้ง่ายขึ้นและจากรูปที่ 3.6 นั้นขึ้นตอนแรกจะทำการวิเคราะห์เพื่อที่จะหาอิมพีเดนซ์ของโหลดที่คูเมือนจริง เมื่อตัวเก็บประจุมีค่าเป็น $-j333$ โอม เป็นค่าคอนเซ็กของความต้านทานโหลด 1000 โอมนี้คือการคำนวณง่าย ๆ โดย

$$\begin{aligned}
 Z &= (X_C R_L) / (X_C + R_L) \\
 &= (-j333 \times 1000) / (-j333 + 1000) \\
 &= 315 \angle -71.58^\circ \\
 &= 100 - j300 \Omega
 \end{aligned}$$

ดังนั้นการรวมแบบขนานของตัวเก็บประจุ $-j333$ โอมและความต้านทาน 1000 โอม ใช้ถ้าค่าของความต้านทาน = 100 และการรวมแบบอนุกรมของความต้านทาน 100 โอมและตัว

เก็บประจุ -j333 โอล์ฟ์ ดังแสดงในรูปที่ 3.7 ถ้าทำการสร้างสัญญาณโถงในวงจรที่มีลักษณะดังรูปที่ 3.6 และรูปที่ 3.7 โดยที่ไม่สามารถจะบอกความแตกต่างระหว่างอิมพีเดนซ์ทั้งสองที่แสดงคุณลักษณะที่คล้ายกันได้ (ยกเว้น DC ที่ปรากฏ)

อิมพีเดนซ์ที่นำมาอนุกรรມได้ $100 - j300\Omega$ สำหรับ โหลดแสดงว่าการทำแมตซ์อิมพีเดนซ์ที่เหลืออยู่ 100 โอล์ฟ์ที่ทำให้มีค่าเท่ากันและตรงข้ามกัน ($+j300$ โอล์ฟ์) ความต้านทานของชุด漉อนุกรรມดังรูปที่ 3.7 การรวมของตัวเหนี่ยวนำ $+j300$ โอล์ฟ์เป็นสาเหตุทำให้ตัวเก็บประจุ $+j300$ โอล์ฟ์ เป็นศูนย์แหล่งเพียงความต้านทานโหลด 100 โอล์ฟ์เท่านั้นดังแสดงในรูปที่ 3.8 ซึ่งโครงสร้างจริงของรูปที่ 3.5 จะไม่มีการเปลี่ยนแปลง เพราะได้ทำการวิเคราะห์ส่วนน้อยๆ ของโครงสร้างมาแล้ว ดังนั้นสามารถทำความเข้าใจเกี่ยวกับฟังก์ชันของส่วนประกอบอื่น

การออกแบบโครงสร้างของอิมพีเดนซ์แมตซ์ดังรูปที่ 3.4 วงจรนี้สามารถออกแบบอย่างง่ายโดยใช้สมการต่อไปนี้

$$Q_S = Q_P = \sqrt{(R_p / R_s) - 1} \quad (3.4)$$

$$Q_S = X_s / R_s \quad (3.5)$$

$$Q_p = X_p / R_p \quad (3.6)$$

ดังแสดงในรูปที่ 3.9

$$Q_S = \text{ขนาดของ } Q$$

$$Q_p = \text{ขนาดของ } Q$$

$$R_p = \text{ความต้านทานบน }$$

$$X_p = \text{ความต้านทานของชุด漉อนุกรรມ}$$

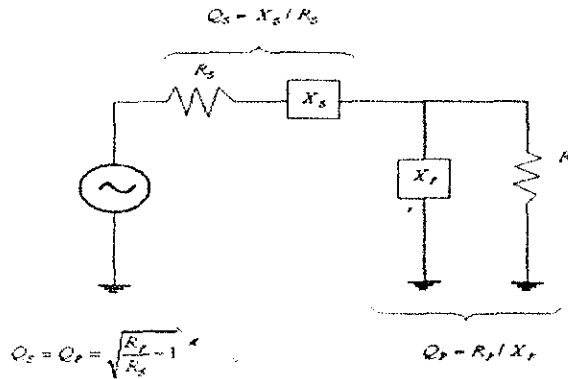
$$R_s = \text{ความต้านทานของชุด漉อนุกรรມ}$$

$$X_s = \text{ความต้านทานของชุด漉อนุกรรມ}$$

ขนาดของ X_p และ X_s บางทีจะเป็นความต้านทานชุด漉ของตัวเก็บประจุหรือเป็นความต้านทานของชุด漉ตัวเหนี่ยวนำ ซึ่งบางทีทั้งคู่จะมีตัวที่มีชนิดตรงข้ามกัน เมื่อให้ X_p เป็นตัวเก็บประจุจะต้องทำการเลือกให้ X_s เป็นตัวเหนี่ยวนำคั่งตัวอย่างที่ 3.1

3.4 โหลดเชิงซ้อน (Complex Loads)

การออกแบบดังตัวอย่าง 3.1 ถูกใช้สำหรับกรณีง่าย ๆ ของการทำแมตซิ่งอินพีเดนซ์ 2 ค่า



รูปที่ 3.9 วงจรที่ได้จากการอุกแบบจากโครงสร้างแบบ L

ตัวอย่างที่ 3.1

ออกแบบวงจรเพื่อทำการแมตซ์ระหว่างแหล่งจ่าย 100 โอมกับโหลด 1000 โอม ที่ความถี่ 100 MHz. โดยยอมให้แรงดันกระแสตรงผ่านจากแหล่งกำเนิดไปยังโหลด

วิธีทำ

ต้องการเส้นทาง DC ระหว่างแหล่งจ่ายและโหลด ต้องใช้ตัวหนี้ยวนำมาต่ออนุกรม ดังแสดงในรูปที่ 3.4A จากสมการที่ 3.4 จะได้

$$\begin{aligned} Q_s &= Q_p = \sqrt{\frac{1000}{100}} - 1 \\ &= \sqrt{9} \\ &= 3 \end{aligned}$$

จากสมการ 3.5 จะได้

$$\begin{aligned} X_s &= Q_s R_s \\ &= (3)(100) \\ &= 300\Omega (\text{inductive}) \end{aligned}$$

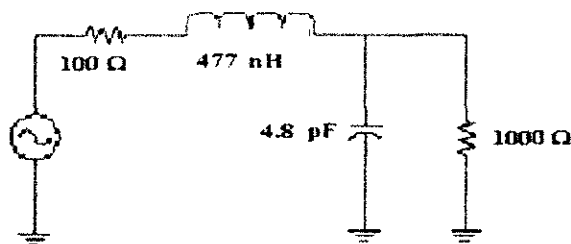
ดังนั้นจากสมการ 3.6 ได้

$$\begin{aligned} X_p &= \frac{R_p}{Q_p} \\ &= \frac{1000}{3} \\ &= 333\Omega (\text{capacitive}) \end{aligned}$$

ดังนั้นค่าองค์ประกอบที่ความถี่ 100 MHz คือ

$$\begin{aligned}
 L &= \frac{X_s}{\omega} \\
 &= \frac{300}{2\pi(100 \times 10^6)} \\
 &= 477 \text{nH} \\
 C &= \frac{1}{\omega X_p} \\
 &= \frac{1}{2\pi(100 \times 10^6)(333)} \\
 &= 4.8 \text{ pF}
 \end{aligned}$$

สามารถแสดงผลของวงจรที่สมมูลได้ในรูปที่ 3.10



รูปที่ 3.10 วงจรสุดท้ายจากการทำการแมตซ์ของตัวอย่างที่ 3.1

ค่าอิมพีเดนซ์ทั้งทางด้านอินพุตและด้านเอาท์พุตเกือบทั้งหมดจะเป็นค่าเชิงช้อนเสมอ คือจะประกอบไปด้วยทั้งส่วนที่เป็นส่วนจริงและส่วนที่เป็นส่วนจินตภาพ ($R \pm jX$) สายนำสัญญาณ เครื่องผสม สายอากาศ แหล่งกำเนิดอื่น ๆ และโหลดก็มีความสัมพันธ์ไม่ต่างกันดังที่ได้กล่าวมา ส่วนใหญ่จะมีส่วนประกอบของรีแอคทีฟร่วมมากว่าส่วนอิเล็กทรอนิกส์ ดังนั้นจึงจำเป็นที่จะต้องรู้วิธีว่าจะต้องทำอย่างไรในการจัดการความคุณค่ารีแอคแทนซ์เหล่านี้ที่แอบแฝงคิดมาด้วยแต่ในข้อเท็จจริงที่เป็นอยู่ คือจะต้องทำการกำจัดค่ารีแอคแทนซ์ออกไป

มีพื้นฐานอยู่ 2 แบบในการเข้าถึงการจัดการกับค่าอิมพีเดนซ์เชิงช้อน

1. การซึ่งซับเปลี่ยนการคูดซึ่งค่ารีแอคแทนซ์ที่ติดมาด้วยตัวโครงข่ายอิมพีเดนซ์ (The impedance matching network) สามารถทำได้โดยการกำหนดแต่ละองค์ประกอบที่จะทำการเข้าคู่กันอย่างรอบคอบ เช่น ตัวเก็บประจุควรวางไว้บนงานกับค่าปานิชแทนซ์ที่ติดมาด้วย และตัวเหนี่ยวนำควรวางอนุกรมกับอินดักแทนซ์ที่ติดมา ค่า

องค์ประกอบที่ติดมานี้จะถูกนำไปป้อนกับค่าองค์ประกอบที่ได้จากการคำนวณ แล้วจะเหลือเป็นค่าองค์ประกอบค่าใหม่ (C', L') ซึ่งมีค่าน้อยกว่าค่าที่ได้จากการคำนวณ

- การสะท้อน เป็นการสะท้อนค่ารีแอคแทนซ์ที่ติดมาด้วยค่าที่เท่าเดิมและมีค่ารีแอคแทนซ์ตรงข้ามกันที่ความถี่ที่สนใจ การออกแบบ โครงข่ายการเข้าคู่อิมพีเดนซ์ ได้แสดงไว้แล้วซึ่งแสดงให้เห็นว่า ได้ค่าเหลือแต่ค่าความด้านทานจริง ดังในตัวอย่างที่ 3.1

โดยทั่วไปแล้วสามารถใช้แนวทางในการทำได้ทั้งสองวิธีในเวลาเดียวกัน ในความจริง สำหรับการออกแบบอาจจะใช้ประโยชน์ได้น้อย ให้ลองดูตัวอย่างอย่างง่าย 2 ตัวอย่างนี้ เพื่อที่จะช่วยให้เกิดความเข้าใจชัดเจนในเนื้อหามากขึ้น

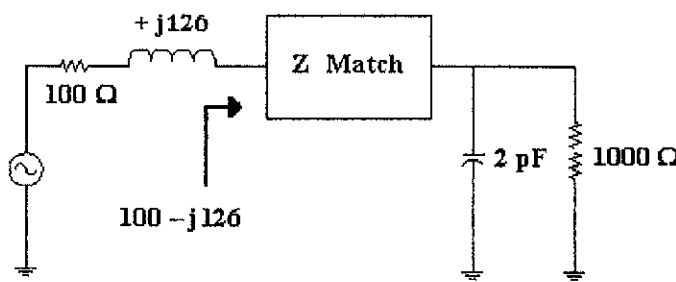
ข้อสังเกตในตัวอย่าง 3.2 ไม่ได้กล่าวถึงการทำแมตซ์คอนจูเกจ ค่าอิมพีเดนซ์ในการทำแมตซ์จะถูกมองมาจากทางแหล่งจ่ายไฟเป็น $100-j126$ โอห์ม แน่นอนว่าค่าคอมเพล็กซ์คอนจูเกจจะต้องเป็น $100+j126$ โอห์ม

จะเห็นได้ว่าถ้าองค์ประกอบที่ติดมานี้ขนาดใหญ่กว่าค่าที่ได้จากการคำนวณ การซึ่มชับจะไม่สามารถจัดวางได้ในตัวอย่างถ้าให้ค่าค่าปาราเซนต์ที่ติดมาในรูปที่ 3.11 มีค่าเท่ากับ 20 pF จะทำให้ไม่สามารถที่จะนำค่าตัวเก็บประจุมาต่อข้างนอกเพื่อให้ได้ค่าค่าปาราเซนต์เท่ากับ 4.8 pF ตามต้องการ ได้ ในสถานการณ์เช่นนี้ เมื่อการซึ่มชับไม่สามารถทำได้ หลักการของการสะท้อนจับคู่กับการซึ่มชับนักจะถูกใช้แทนกัน

ตัวอย่าง 3.2 และ 3.3 แสดงรายละเอียดค่อนข้างสำคัญเกี่ยวกับหลักการในการออกแบบ โครงข่ายการเข้าคู่อิมพีเดนซ์ ประกอบด้วยการวางแผนและการเตรียมการในการออกแบบอย่างง่าย ระหว่างโหลดเชิงซ้อนให้กลายเป็น Simple Number-Crunching โดยใช้หลักการพิชิตขั้นพื้นฐาน ค่ารีแอคแทนซ์ที่ติดมาต่าง ๆ ที่อยู่ในแหล่งจ่ายและโหลด สามารถดูดซึมในโครงข่ายการเข้าคู่อิมพีเดนซ์ได้ (ตัวอย่างที่ 3.2) หรือสามารถสะท้อนด้วยค่าเท่ากันและค่ารีแอคแทนซ์ที่มีค่าตรงข้ามกัน จากนั้นก็จะดูดซึมไปในโครงข่ายการเข้าคู่อิมพีเดนซ์ (ตัวอย่างที่ 3.3)

ตัวอย่างที่ 3.2

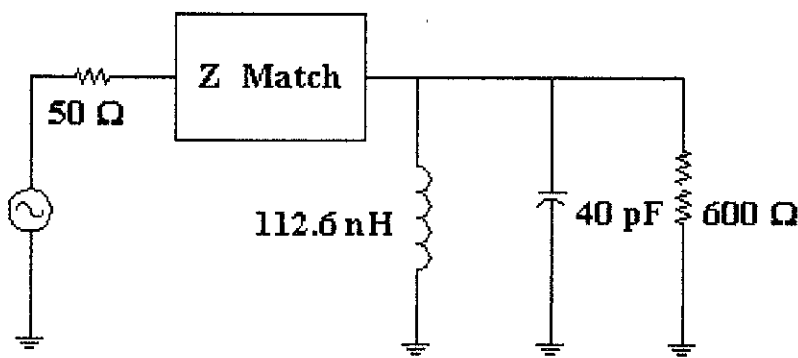
การแมตซ์แหล่งจ่ายและโหลดดังแสดงในรูปที่ 3.11 (ที่ความถี่ 100 MHz)



รูปที่ 3.11 วงจรของแหล่งจ่ายและโหลดสำหรับตัวอย่างที่ 3.2

วิธีทำ

ขั้นตอนแรกในกระบวนการออกแบบ คือ ไม่ต้องสนใจรีแอกแทนซ์ใด ๆ ทั้งหมดและมองว่าเป็นการแมตช์เฉพาะส่วนจริง 100 โอห์มของแหล่งจ่ายกับส่วนจริง 1000 โอห์ม ของโหลดที่ความถี่ 100 MHz เกินไว้ว่าจะต้องวางแผนหนึ่งยานอนุกรมกับอินดักเต้นซ์ที่ติดมาด้วยและวางแผนตัวเก็บประจุขนาดกับค่าปาร์เซนต์ที่ติดมาด้วย เพื่อความสะดวกให้ค่าความรูปที่ 3.4A และในตัวอย่างที่ 3.1 จะให้รายละเอียดในการทำ ดังนี้ในการคำนวณค่าต่างๆ ในโครงสร้าง ถ้าไม่สนใจรีแอกแทนซ์ที่ติดมาด้วยจะสามารถแสดงดังนี้ในรูปที่ 3.10 แต่ค่ารีแอกแทนซ์ที่ติดมาด้วยยังไม่หายไป การออกแบบยังไม่สิ้นสุดต้องดูด้วยวิธีไดร์ฟหนึ่งกับค่ารีแอกแทนซ์ที่ติดมาด้วยในโครงสร้าง ซึ่งจะได้ว่าตอนท้ายที่โหลดต้องการค่าปาร์เซนต์ขนาด 4.8 pF สำหรับการแมตช์แล้วมีค่าความอยู่แล้ว 2 pF ถ้าใช้ตัวเก็บประจุขนาด 2.8 pF ต่อขนาดเข้าไปก็จะได้ 4.8 pF ในทำนองเดียวกันทางด้านแหล่งจ่ายออกแบบมาได้ตัวหนึ่งยานอนุกรม 477 nH ซึ่งมีอยู่แล้ว $+j126$ โอห์ม หรือ 200 nH ดังนั้นตอนนี้ต้องการอินดักเต้นซ์อีก $477 \text{ nH} - 200 \text{ nH} = 277 \text{ nH}$ แล้วก็จะได้ค่าความหนึ่งยานอนุกรณรวมทั้งหมดเท่ากับ 477 nH ตามที่ได้คำนวณ จะได้ว่าจะต้องดัดแปลงในรูปที่ 3.12



รูปที่ 3.12 วงจรสุดท้ายจากการทำการแมตช์ของตัวอย่างที่ 3.2

3.5 การแมตช์ด้วย 3 องค์ประกอบ (Three-Element Matching)

สมการที่ 3.4 แสดงให้เห็นข้อเสียของโครงสร้าง 2 องค์ประกอบ ซึ่งได้บรรยายไว้หัวข้อที่แล้ว ในความเป็นจริง R_s และ R_L หรือว่าค่าอิมพีเดนซ์ของแหล่งจ่ายและโหลด สามารถนำไปคำนวณค่า Q ของโครงสร้างได้ หรือพูดได้ว่าในโครงสร้างแบบ L นักออกแบบไม่มีทางเลือกว่าง Q และยังทำงานที่เข้าใจได้ ซึ่งเป็นปกติ เพราะแหล่งจ่ายและโหลดมีอิมพีเดนซ์เหมือนกันสำหรับการออกแบบวิธีอื่น ๆ ดังนั้น R_s และ R_L จึงไม่สามารถเปลี่ยนได้

การหาการใช้ประโยชน์จากวงจร Q ในการทำโครงสร้างการเข้าคู่กัน สามารถข้อควรระวังได้โดยเฉพาะต้องการใช้งานกับย่านความถี่แคบ (Narrow-band) นอกจากนี้นักออกแบบสามารถเลือกใช้วงจร Q ที่ใช้งานจริงได้ตามต้องการเท่าที่เป็นไปได้ด้วยการใช้โครงสร้างการเข้าคู่แบบ L

เพียงอย่างเดียวหรือพูดอีกอย่างหนึ่งว่า วงจร Q ถูกสร้างด้วยโครงข่ายการแมตช์แบบ L ซึ่งค่าเล็กที่สุดของวงจร Q ที่มีได้จัดไว้ 3 องค์ประกอบ

โครงข่ายแบบ 3 องค์ประกอบ (ในรูปที่ 3.17) เรียกว่า โครงข่ายแบบพาย เพราะว่ามันดูคล้ายกับตัว π ซึ่งเป็นตัวอักษรของกรีซ โครงข่ายพวกรดีวากัน (ในรูปที่ 3.18) เรียกว่า โครงข่ายแบบที่ ด้วยเหตุผลแบบเดียวกัน

3.5.1 โครงข่ายแบบ π (The Pi Network)

โครงข่าย π สามารถบรรยายได้ที่สุดด้วยสองส่วนแบ่งหลังกันของโครงข่าย L รูปทั้งสองที่ทำการเข้ากับโหลดกันเหล่ง่าย จะมองไม่เห็นหรือเหมือนมีตัวด้านท่านที่คำแห่นงจุดเชื่อมต่อระหว่างสองโครงข่ายดังแสดงในรูปที่ 3.19 ความหมายของเครื่องหมายลงสำหรับ $-X_{s1}$ และ $-X_{s2}$ เป็นตัญลักษณ์ที่ถูกใช้เพื่อแสดงค่า X_s มีค่าตรงข้ามกับ X_{p1} และ X_{p2} ตามลำดับ ดังนั้นค่า X_{p1} เป็นตัวเก็บประจุแล้วค่า X_{s1} ก็ต้องเป็นตัวเหนี่ยวนำ ในทำนองเดียวกันค่า X_{p2} เป็นตัวเหนี่ยวนำแล้ว X_{s2} ก็ต้องเป็นตัวเก็บประจุ

ในการออกแบบแต่ละส่วนของโครงข่ายแบบ π จะต้องคำนึงการแบบโครงข่ายแบบ L ในส่วนที่แล้ว ค่าความด้านท่านเสมือน (R_s) จะต้องมีค่าน้อยกว่าค่าของ R_p หรือ R_L เพราะว่ามันถูกต่อแบบอนุกรมที่แต่ละแขนของ L แต่มันสามารถมีค่าอื่นตามที่ต้องการได้ ส่วนใหญ่แล้ว R จะนิยามโดยโหลด Q ซึ่งสามารถที่จะระบุจุดเริ่มต้นของการออกแบบได้ สำหรับวัตถุประสงค์ของโหลด Q จะนิยามโดย

$$Q = \sqrt{\frac{R_H}{R} - 1} \quad (3.7)$$

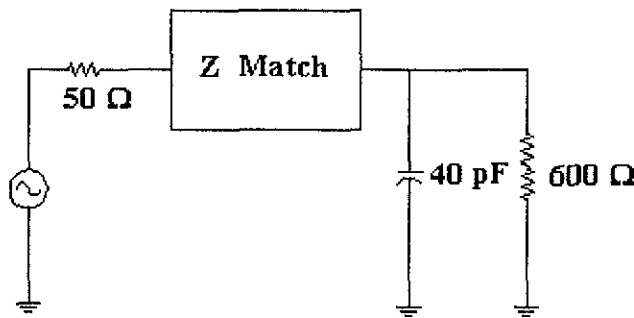
โดยที่ R_H คือค่าอิมพีเดนซ์ภายนอกที่ใหญ่ที่สุดของ R_s หรือ R_L

R คือค่าความด้านท่านเสมือน (Virtual Resistance)

แม้ว่าจะไม่ถูกต้องครบถ้วน แต่ก็ได้รับการยอมรับโดยกว้างสำหรับสมการที่ใช้ในการคำนวณหาค่า Q และครอบคลุมเพียงพอสำหรับงานในทางปฏิบัติจริง

ตัวอย่างที่ 3.3

ออกแบบโครงข่ายการแมตช์อิมพีเดนซ์ เพื่อทำการป้องกันการไฟฟ้าของ DC จากแหล่งกำเนิดไปยังโหลดดังรูปที่ 3.13 ความถี่ใช้งานเท่ากับ 75 MHz พยายามให้เกิดการเรโซแนนซ์

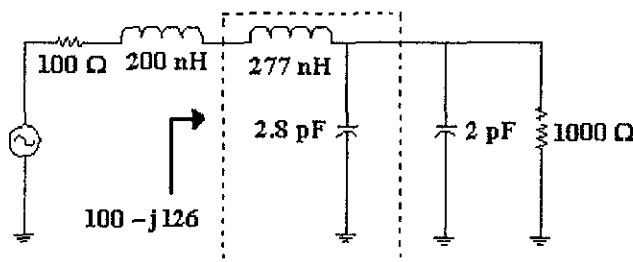


รูปที่ 3.13 วงจรของแหล่งจ่ายและโหลดสำหรับตัวอย่างที่ 3.3

วิธีคำนวณ

ต้องการป้องกันการไฟไหม้ออก DC จากแหล่งกำเนิดไปยังโหลดสามารถควบคุมได้โดยใช้ วงจรแมตชิ่งในรูปที่ 3.4, แต่สิ่งแรกให้กำจัดค่าค่าปาร์เซนต์ 40 pF ที่ติดมาด้วยการเรใช้แทนซ์ด้วยตัวหนึ่งยังคงแบบเดียวกันที่ความถี่ 75 MHz

$$\begin{aligned} L &= \frac{1}{\omega^2 C_{stray}} \\ &= \frac{1}{[2\pi(75 \times 10^6)]^2 (40 \times 10^{-12})} \\ &= 112.6 nH \end{aligned}$$



รูปที่ 3.14 การเรใช้แทนซ์ของโหลดค่าปาร์เซนต์

ค้างแสดงวงจรไว้ในรูปที่ 3.14 ขณะนี้ได้ทำการกำจัดค่าปาร์เซนต์ที่ติดมาด้วยเรียบร้อยแล้ว ทำให้สามารถทำการแมตชิ่งระหว่างแหล่งจ่าย 50 โอห์มกับโหลด 600 โอห์ม ดังนี้

$$Q_s = Q_p = \sqrt{\frac{R_s}{R_p} - 1}$$

$$= \sqrt{\frac{600}{50}} - 1$$

$$= 3.32$$

$$\begin{aligned} X_s &= Q_s R_s \\ &= (3.32)(50) \\ &= 166\Omega \end{aligned}$$

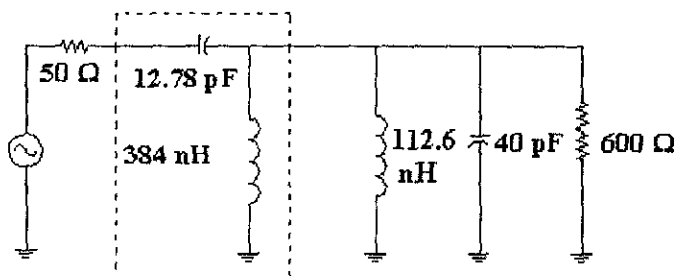
$$\begin{aligned} X_p &= \frac{R_s}{Q_p} \\ &= \frac{600}{3.32} \\ &= 181\Omega \end{aligned}$$

ด้วยเหตุนี้จึงได้ว่าแต่ละองค์ประกอบมีค่าเป็น

$$\begin{aligned} C &= \frac{1}{\omega X_s} \\ &= \frac{1}{2\pi(75 \times 10^6)(166)} \\ &= 12.78 pF \end{aligned}$$

$$\begin{aligned} L &= \frac{X_p}{\omega} \\ &= \frac{181}{2\pi(75 \times 10^6)} \\ &= 384 nH \end{aligned}$$

Matching Network

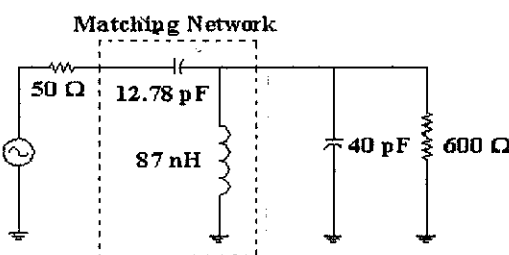


รูปที่ 3.15 วงจรที่ได้หลังจากทำการแมตซ์แล้ว

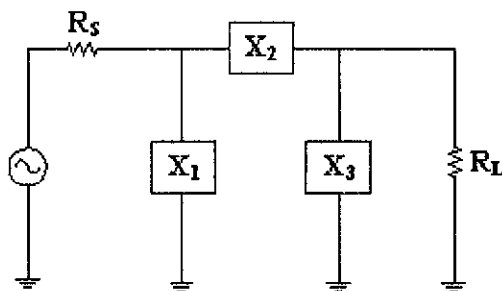
ค่าเหล่านี้ได้แสดงผลวงจรในรูปที่ 3.15 แต่ถังเกตว่าวงจรสามารถจัดรูปให้ง่ายขึ้นโดยการรวมตัวหนึ่งยกเว้น 2 ตัวที่ขนาดกันอยู่ให้เป็นตัวหนึ่งยกเว้นตัวเดียวที่ยังคงตั้งนี้

$$\begin{aligned} L_{new} &= \frac{L_1 L_2}{L_1 + L_2} \\ &= \frac{(384)(112.6)}{384+112.6} \\ &= 87nH \end{aligned}$$

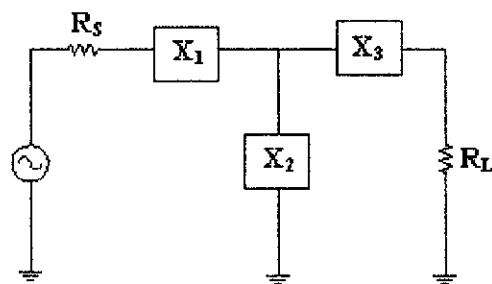
รูปวงจรที่ได้จากการออกแบบปราภณอยู่ในรูปที่ 3.16



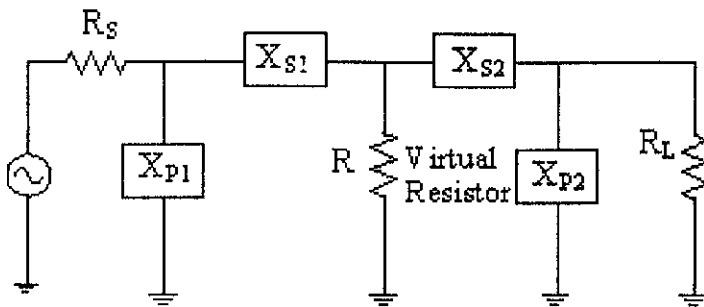
รูปที่ 3.16 วงจรสุดท้ายจากการทำการแมตช์ของตัวอย่างที่ 3.3



รูปที่ 3.17 ส่วนประกอบที่มี 3 อิเลิเมนต์เป็นโครงข่ายแบบ π



รูปที่ 3.18 ส่วนประกอบที่มี 3 อิเลิเมนต์เป็นโครงข่ายแบบ T



รูปที่ 3.19 โครงข่ายแบบ π ที่แสดงเป็นแบบ Back-to-Back

3.5.2 โครงข่ายแบบ T (The T network)

การออกแบบของโครงข่ายแบบ T ที่มี 3 อิเลิเมนต์เหมือนกันกับการออกแบบสำหรับโครงข่ายแบบ π เว้นแต่แบบ T จะทำการแทนที่โหลดและแหล่งจ่ายด้วยโครงข่ายชนิด L ส่องชนิด ตลอด ค่าความต้านทานแท้จริงใหญ่กว่าค่าความต้านทานโหลดหรือแหล่งจ่าย หมายความว่า โครงข่ายชนิด L ส่องชนิดจะต้องออกแบบนาน

โครงข่ายแบบ T หลายครั้งใช้การแมตซ์ค่าอินพีเดนซ์ต่อ ๆ สองค่าเวลาจัดค่า Q สูงตามความต้องการ โหลด Q ของโครงข่ายแบบ T เป็นการกำหนดโดยส่วน L ที่มีค่า Q สูงที่สุด โดยนิยามส่วน L กับค่า Q สูงสุดจะเกิดที่จุดสุดท้าย ซึ่งมีค่าความต้านทานสุดท้ายเล็กที่สุดจำไว้ว่าค่าความต้านทานสุดท้ายเป็นขนาดของแต่ละ โครงข่าย ดังนั้นสูตรการหาโหลด Q ของโครงข่ายแบบ T คือ

$$Q = \sqrt{\frac{R}{R_{small}}} - 1 \quad (3.8)$$

โดยที่ R = ค่าความต้านทานแท้จริง

R_{small} = ค่าความต้านทานสุดท้ายเล็กที่สุด

สูตรนี้เหมือนกับสูตรเดิมที่ใช้หาค่า Q สำหรับชนิด โครงข่ายแบบ π อย่างไรก็ตามเมื่อเรามีการขอนกลับหรือพิบฟลีบนส่วน L จะมีผลต่อ โครงข่ายแบบ T มีค่าแหน่งอนซึ่งไม่นิยามสูตร Q สำหรับค่าความต้านทานใหม่ที่เกี่ยวข้องกับส่วนของ โครงข่าย L ในสมการ 3.7 และ 3.8 เป็นการประยุกต์พิเศษ สูตรขึ้นพื้นฐานเป็นสมการที่ 3.4

$$Q = \sqrt{\frac{R_p}{R_s}} - 1 \quad (3.9)$$

โดยที่ $R_p = \text{ค่าความต้านทานของโครงข่าย}$

$R_s = \text{ค่าความต้านอนุกรมของโครงข่าย}$

ดังนั้นให้เข้าใจง่ายกับการกำหนดความแตกต่างของวงจร Q ทึ้งหมวดหมู่นองกัน แต่ละโครงข่าย L เป็นการคำนวณเหมือนตัวอย่างเดิมและจะเห็นว่าค่า 4 ค่าสูดท้ายอาจจะเป็นรูปปั่งของโครงข่าย T ได้

3.6 สมิทชาร์ต (The Smith Chart)

การออกแบบวงจรอาร์เอฟได้ถูกยกเป็นสิ่งที่น่าเบื่อแล้วใช้เวลานานมากในการแก้สมการโดยทุกภูมิของวงจรอาร์เอฟจะต้องแก้สมการที่ซ้ำๆ กันและต้องทำการแก้สมการอยู่บ่อยครั้ง ซึ่งเป็นสมการที่ซับซ้อน ดังนั้นจึงมีผู้คิดค้นวิธีการแก้สมการอย่างง่าย ๆ โดยใช้กราฟเป็นอุปกรณ์ช่วยแก้สมการที่เรียกว่าสมิทชาร์ต สามารถใช้แก้สมการได้รวดเร็วและลดความผิดพลาดในการคำนวณ ซึ่งปัจจุบันนี้ได้มีใช้กันอย่างกว้างขวางและเหมาะสมกับการแก้สมการ

3.6.1 โครงสร้างสมิทชาร์ต

คณิตศาสตร์โครงสร้างสมิทชาร์ตที่ใหมานี้เป็นสิ่งที่น่าสนใจและสำคัญในการบันทึกอย่างไรก็ตามคุณคงไม่ต้องการที่จะรู้หรือเข้าใจในคณิตศาสตร์โครงสร้างของมัน ถ้าเพียงแค่คุณเข้าใจวิธีแสดงและวิธีใช้สมิทชาร์ตนั้นจะเป็นประโยชน์สำหรับคุณ ในบทนี้จะแสดงให้ส่วนหลักของแผนภูมิคือการหาอัมพีแคนซ์แมตซ์

ค่าสัมประสิทธิ์การสะท้อน (Reflection coefficient) ของโหลดอัมพีแคนซ์เมื่อให้อัมพีแคนซ์ของแหล่งจ่ายสามารถหาได้จากสูตร

$$\rho = \frac{Z_s - Z_L}{Z_s + Z_L} \quad (3.10)$$

ทำการนอร์มอลไลท์จะได้

$$\rho = \frac{Z_o - 1}{Z_o + 1} \quad (3.11)$$

เมื่อ Z_o เป็นอัมพีแคนซ์เชิงซ้อน คือ $R+jX$

ค่าสัมประสิทธิ์การสะท้อนสามารถเขียนในรูปของสี่เหลี่ยม (Rectangular) ได้เป็น

$$\rho = p + jq$$

แทนค่าใน (3.11) เราจะได้

$$p + jq = \frac{R + jX - 1}{R + jX + 1} \quad (3.12)$$

ถ้าเราแก้สมการส่วนจริงและส่วนจินตภาพของ $p+jq$ จะได้

$$p = \frac{R^2 - 1 + X^2}{(R^2 + 1)^2 + X^2} \quad (3.13)$$

และ

$$q = \frac{2X}{(R^2 + 1)^2 + X^2} \quad (3.14)$$

แก้ (3.14) ให้อยู่ในเทอมของ X

$$X = \left(\frac{p(R+1)^2 - R^2 + 1}{1-p} \right)^{1/2} \quad (3.15)$$

แทนที่ใน (3.14) ด้วย (3.15) จะได้

$$\left(p - \frac{R}{R+1} \right)^2 + q^2 = \left(\frac{1}{R+1} \right)^2 \quad (3.16)$$

(3.16) เป็นสมการของวงกลมที่มีจุดศูนย์กลางที่

$$p = \frac{R}{R+1}$$

$$q = 0$$

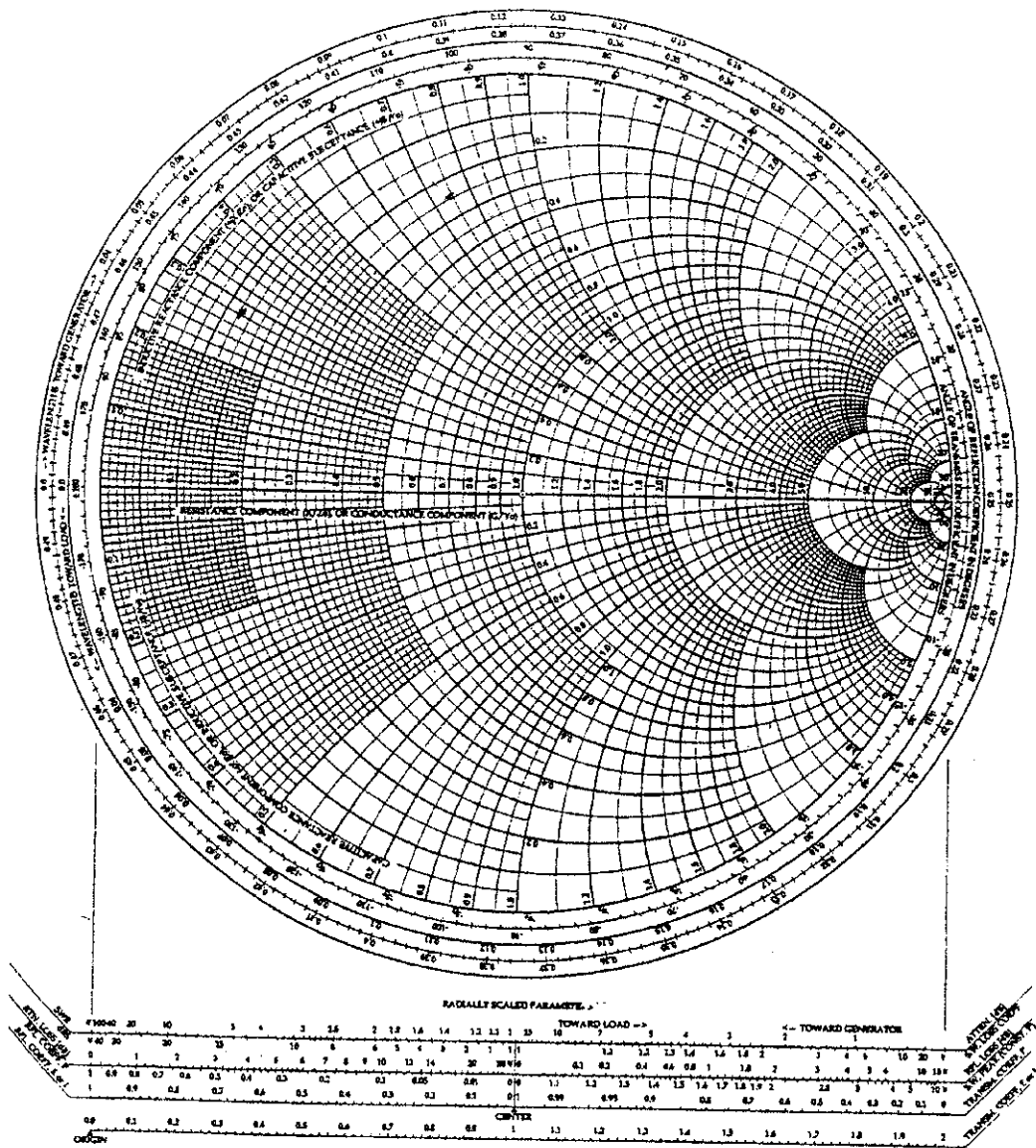
และมีรัศมีเท่ากับ

$$\frac{1}{R+1}$$

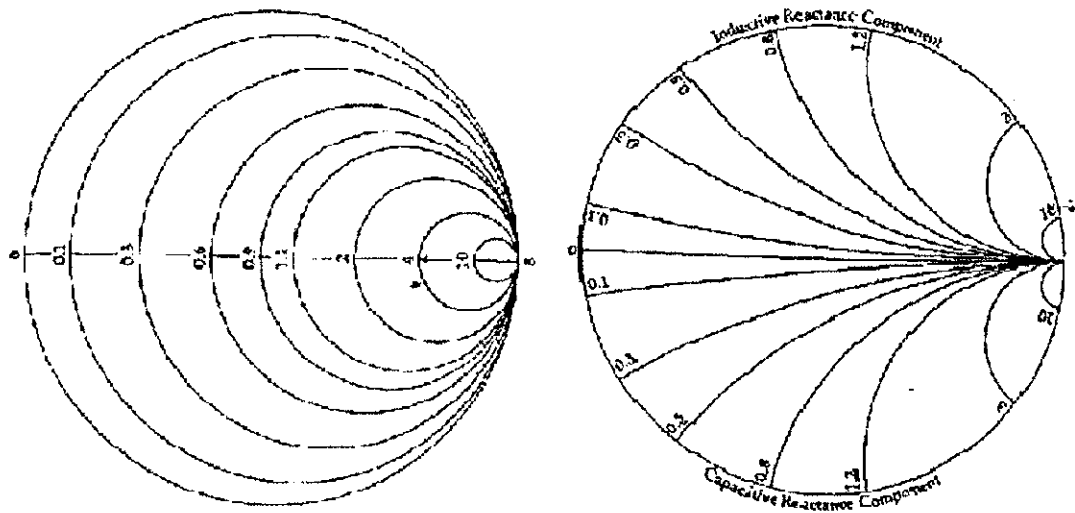
ได้วงกลมของตัวค้านทานแสดงในรูปที่ 3.21A ที่จะสามารถกำจัด R จาก (3.13) และ (3.14) ได้เป็น

$$(p-1)^2 + \left(q - \frac{1}{X} \right)^2 = \left(\frac{1}{X} \right)^2 \quad (3.17)$$

The Smith Chart



รูปที่ 3.20 รูปแสดงของสมิทธาร์ต



(A) วงกลมของค่าคงที่ของตัวต้านทาน
(B) วงกลมของค่าคงที่ของตัวรีแอกเคนซ์
รูปที่ 3.21 โครงสร้างของสมิทชาร์ต

สิ่งที่แสดงในจุดศูนย์กลางของวงกลมจะแสดงที่ $p=1$, $V=1/X$ และที่รัศมี $1/X$ โดยแสดงให้เห็นเป็น p , jq ดังรูปที่ 3.21B

การคำนวณทางคณิตศาสตร์จะทำการคำนวณก่อนแล้วจึงใช้สมิทชาร์ตสำหรับการเชื่อมโยงกับการคำนวณทางคณิตศาสตร์ โดยจุดศูนย์กลางของวงกลมและรัศมีสามารถคำนวณโดยใช้สมการที่ 3.10 ถึง 3.17

จากรูปที่ 3.21 จะแสดงดังรูปข้างบนที่นิองค์ประกอบสองส่วน โดยจากรูปที่ 3.21A จะรู้ค่าคงที่ของตัวต้านทานในวงกลม ซึ่งค่าคงที่รีซิสแตนซ์แต่ละจุดบนวงกลมจะมีค่าเหมือนกับรีซิสแตนซ์ที่จุดใดๆ บนวงกลมและในรูปที่ 3.21B จะรู้ค่าคงที่ของรีแอกเคนซ์ในวงกลม ซึ่งค่าคงที่รีแอกเคนซ์แต่ละจุดบนวงกลมจะมีค่าเหมือนกับรีแอกเคนซ์ที่จุดใดๆ บนวงกลม ในวงกลมจะมีจุดศูนย์กลางและจุดเล็กๆ แต่ละจุดที่บรรจุอยู่ในวงกลมเส้นผ่านศูนย์กลางทุกเส้นที่อยู่ซึ่งกันจะแสดงค่า $+jX$ หรืออินดักทิฟรีแอกเคนซ์ (Inductive Reactance) และเส้นผ่านศูนย์กลางทุกเส้นที่อยู่ซึ่งกันจะแสดงค่า $-jX$ หรือคาปิซิทิฟรีแอกเคนซ์ (Capacitive Reactance) เส้นผ่านศูนย์กลางจะต้องแสดงแกน $X=0$ เรียกว่าแกนของส่วนจริง

จากรูปที่ 3.21A ค่าคงที่รีซิสแตนซ์เท่ากับศูนย์โดยการนำค่าเส้นขอบของวงกลม โดยการเพิ่มของค่าประกอบของรีซิสที่ฟรีช่องรัศมีของแต่ละวงจะลดลงและจุดศูนย์กลางของแต่ละวงสามารถหมุนวนไปทางขวาของวงกลมได้ ซึ่งความสามารถสร้างวงกลมเล็กๆ บนขวามือได้

สิ่งที่เกิดขึ้นคล้ายกันของค่าคงที่รีแอกเคนซ์ในวงกลมคือจากรูปที่ 3.21B ของค่าประกอบของรีซิสที่ฟรีช่องรัศมีแมกนิจูดเพิ่มขึ้น ($-jX$ หรือ $+jX$) รัศมีของแต่ละวงจะลดลงและจุดศูนย์กลางของ

แต่ละวงสามารถหุนกลับไปทางขวาได้ของวงกลมได้ค่าของรีซิสแตนซ์ และรีแอกแตนซ์สามารถแสดงได้โดยจุดเดียวทั้งหมดในวงกลม

ในตอนแรกให้ตัวต้านทานในวงกลมเท่ากับศูนย์ แล้วให้ค่าตัวต้านทานเริ่มต้นด้วยค่าที่สูงมากในวงกลม ตามด้วยจุดต่างๆ บนวงกลมที่มีค่าของตัวต้านทานเป็นลบ (Negative Resistance) จุดประสงค์ของการใช้เพื่อใช้ตัวต้านทานเป็นลบสำหรับเรียนเกี่ยวกับแหล่งกำเนิดและใช้ในสถานะของการได้ยินเท่านั้น

เมื่อสองรูปจากรูปที่ 3.21 คือการแยกให้เห็นว่าเป็นรูปแกนจริงและแกนจินตภาพจากรูปที่ 3.22 ที่เกิดขึ้นนั้น ถ้าทำการเพิ่มสเกลที่เล็กๆเข้าไปจะกลายเป็นการใช้ในงานออกแบบของวงจร อาร์เอฟทำให้สามารถหาค่าของ อัตราส่วนของคลื่นนั้น (Standing Wave Ratio) สัมประสิทธิ์การสะท้อน (Reflection Coefficient) และการสูญเสียกำลังงานในสายส่ง (Transmission Loss)

3.6.2 การพล็อตค่าบันสมิทธาร์ต

แต่ละจุดบนสมิทธาร์ตจะแสดงการต่อแบบอนุกรมของรีซิสแตนซ์และรีแอกแตนซ์จาก $Z=R+jX$ เช่น อิมพิเดนซ์ที่ $Z=1+j1$ นั้นแสดงว่า $R=1$ เป็นค่าคงที่รีซิสแตนซ์บนวงกลมและ $X=1$ เป็นค่าคงที่รีแอกแตนซ์บนวงกลม จากวงกลมสองนั้นแสดงให้เห็นว่าต้องการค่าของอิมพิเดนซ์ พล็อตเป็นจุดตามวงกลมในรูปที่ 3.23 โดยการสร้างจุดให้อยู่ในชีกันน นั้นแสดงว่าค่าของ X เป็นบวกซึ่งเป็นค่าของรีแอกแตนซ์และตัวอินดักเตอร์ในทางตรงข้ามกันถ้าทำการพล็อตจุดที่ซีกกลางจะแสดงว่าค่าของ X เป็นลบซึ่งเป็นค่าของคากาซิเตอร์

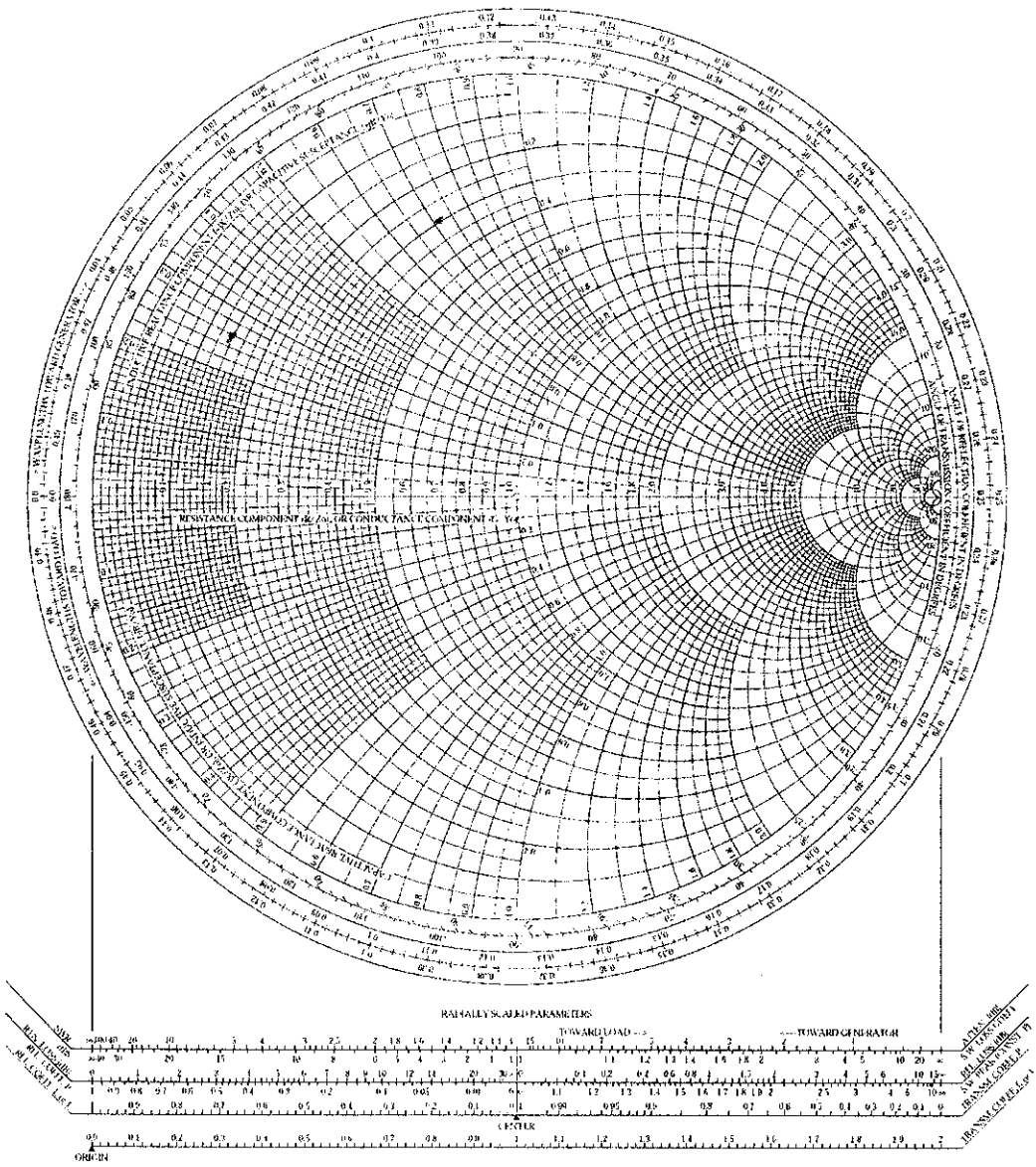
โดยทั่วไปถ้าค่าของ $R=1$ จะเป็นค่าคงที่ของรีซิสแตนซ์บนวงกลม และ $X=-1$ เป็นค่าคงที่ของรีแอกแตนซ์ซึ่งจะดูจากการพล็อตจุดบนสมิทธาร์ตในเริ่มแรกจะทำการหาจุดต่างๆ ที่ต่อแบบอนุกรมจาก $Z = R \pm jX$ บนสมิทธาร์ตซึ่งตัวต้านทานคือค่าคงที่ และ X คือค่าคงที่ของวงกลม

ในการนี้มีหลายค่าในวงกลมจะทำการอินเตอร์โอลิເລາ (Interpolate) ค่าก่อนแล้วค่อยนำไปพล็อตค่าอิมพิเดนซ์โดยการพล็อตจะต้องพิจารณาถึงค่าความผิดพลาด อย่างไรก็ตามค่าความผิดพลาดที่ได้ส่วนมากมักเกิดกับผู้ที่ทำการคำนวณ ในการพล็อตจะต้องทำจุดให้เป็นจุดเด็กๆ ตามรูปที่ 3.24

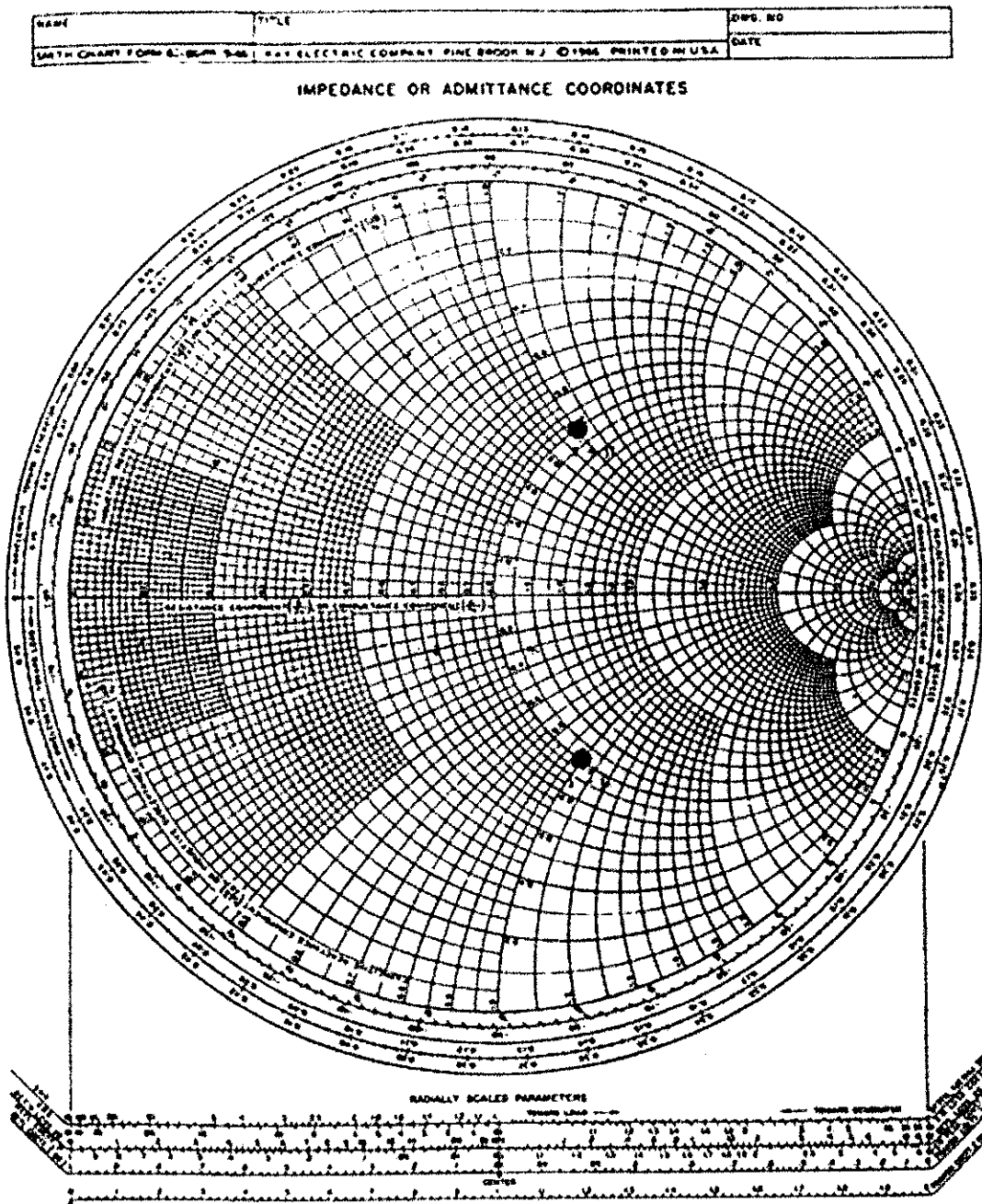
ค่าของอิมพิเดนซ์ที่ใช้พล็อตบนสมิทธาร์ตนี้จะต้องเป็นค่าเด็กๆ เช่น ถ้าเราพยายามจะพล็อตค่าของอิมพิเดนซ์ที่ $Z=100+j150$ เราจะไม่สามารถทำการพล็อตได้ เพราะว่าที่ $R=100$ และ $X=150$ นั้นซึ่งบนวงกลมจะไม่สามารถพล็อตได้เนื่องจากค่าที่ได้นั้นเป็นค่าที่ใหญ่มาก ดังนั้นที่เราสามารถทำการพล็อตบนสมิทธาร์ตได้นั้นเราจะต้องทำการอร์มอลไลท์ (Normalization) เพื่อให้แต่ละอิมพิเดนซ์ที่ทำการพล็อตนั้นเป็นค่าใหม่ที่จะนำไปพล็อตได้ โดยอิมพิเดนซ์ค่าใหม่ที่ได้นั้นจะเป็นค่าของ การอร์มอลไลท์ ที่อยู่ใกล้กับจุดศูนย์กลางที่สร้างขึ้นมาใหม่ จากตัวอย่างที่ผ่านมาคือ $Z=100+j150$ โดยเรากำหนดให้ $Z_0=100$ และค่าที่ได้เป็นค่าใหม่คือ $Z=1+j1.5$ ทำการอร์มอลไลท์

ได้จำกัดโดยนำค่าของ Z_0 มาหารค่าของอิมพีเดนซ์ทั้งหมดก็จะได้ค่าของ Z ที่นอร์มอลไลท์แล้วที่สามารถนำไปเพล็อกบนสมิทชาร์ตได้

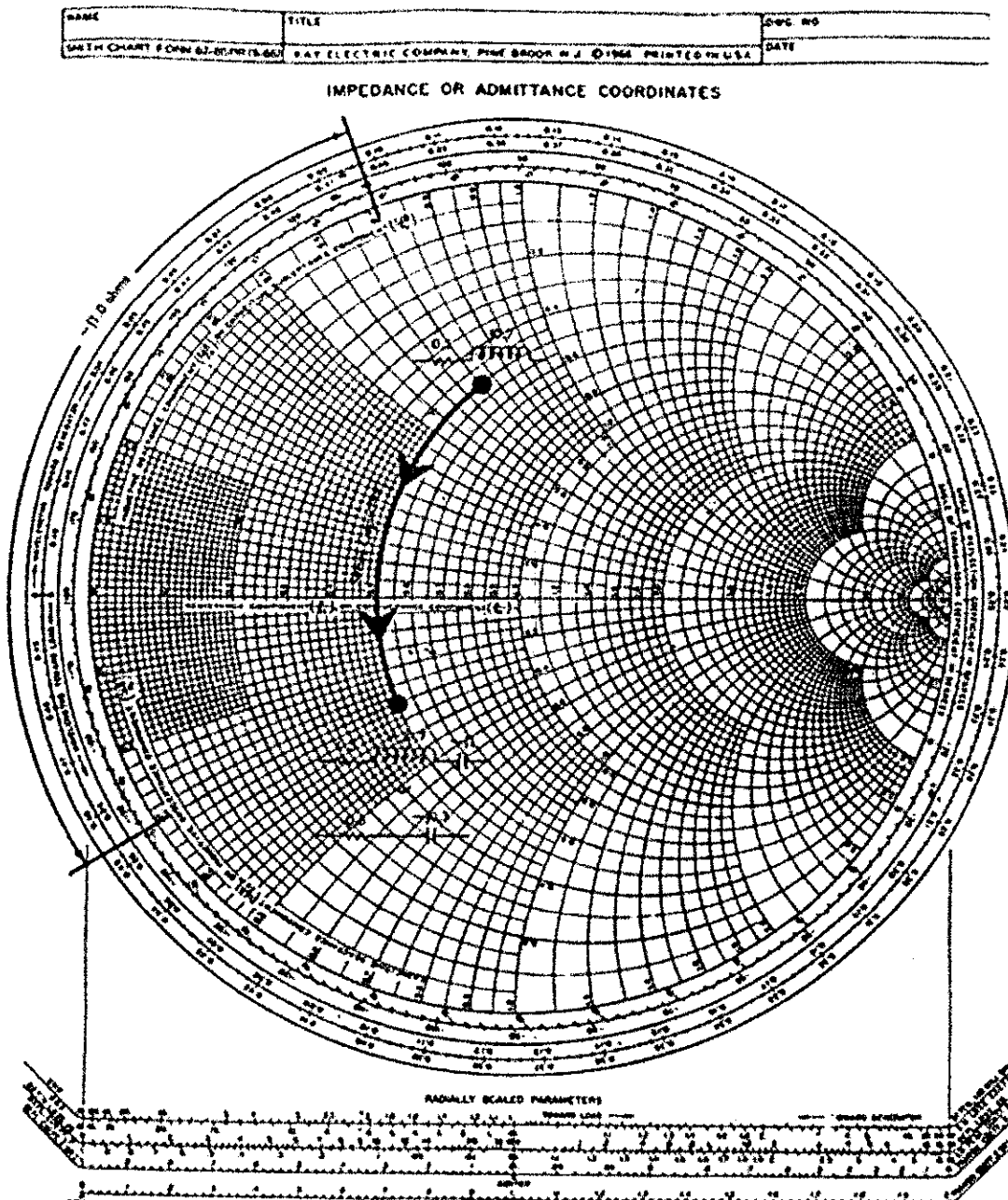
Smith Chart
EE 468G - Spring 1999



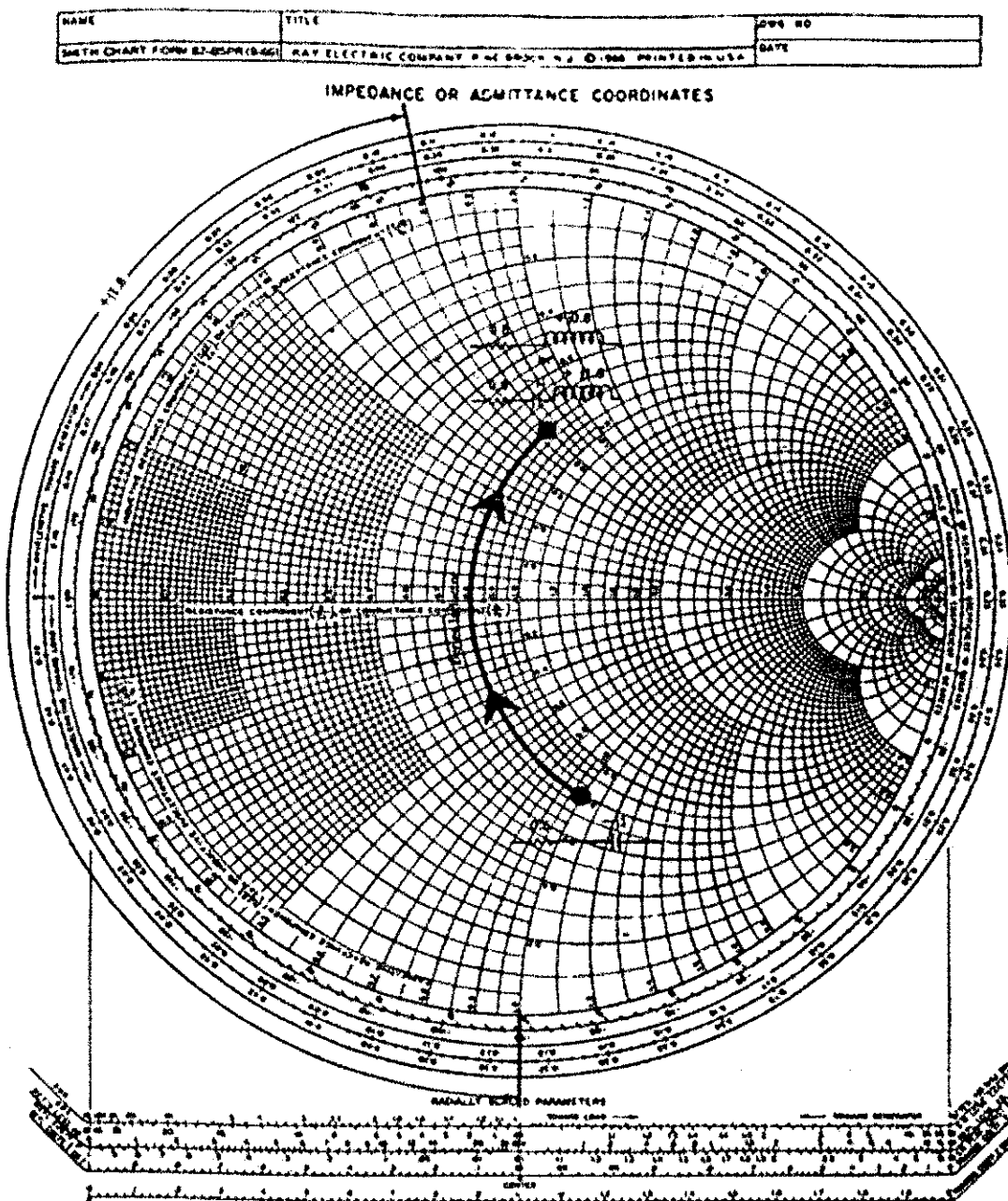
รูปที่ 3.22 รูปแสดงของสมิทชาร์ตแบบพื้นฐานเพื่อแสดงตัวอย่างการเพล็อกค่า



รูปที่ 3.23 แสดงการพลีอตจุดตามวงกลมของค่าอิมพีเดนซ์



รูปที่ 3.24 การพล็อตที่เป็นค่าของการอนุกรมของตัวค่าปั๊วิเตอร์



รูปที่ 3.25 การพล็อตที่เป็นค่าของอุณหกรรมของตัวอินดักเตอร์

3.6.3 การพลีอตค่าอิมพีเดนซ์บนสมิทธาร์ต

จากรูปที่ 3.24 จะเห็นว่าค่าที่ทำการพลีอตบนสมิทธาร์คันนี้เป็นค่าที่ได้จากการอนุกรมของตัวเก็บประจุที่ $-j1.0$ โอล์มที่เพิ่มในอิมพีเดนซ์ที่ $Z=0.5+j0.7$ โอล์ม ผลที่ได้คือ

$$Z=0.5+j0.7-j0.1$$

$$=0.5-j0.3$$

จะเห็นว่าค่าที่ได้เป็นการต่อแบบอนุกรม RC ส่วนการหมุนทวนเข็ม $R=0.5$ โอล์ม ซึ่งเป็นค่าคงที่ของรีซิสแตนซ์บนสมิทธาร์ที่มีระยะทางที่ $X=-j1.0$ โอล์ม ทำการพลีอตค่าอิมพีเดนซ์ที่จุด $Z=0.5-j0.3$ โอล์ม ซึ่งแสดงในรูปที่ 3.25 ที่เพิ่มค่าอิดกแตนซ์แบบอนุกรม เมื่อพลีอตค่าอิมพีเดนซ์แล้วทำการหมุนตามเข็มจะทำให้ได้ค่าของอิมพีเดนซ์ใหม่ที่เป็นค่าคงที่ของรีซิสแตนซ์

โครงสร้างสำคัญที่จะทำการออกแบบให้การแมตซ์อิมพีเดนซ์ในโครงข่ายคือสมิทธาร์ต และต้องทำความเข้าใจด้วย ในการเริ่มแรกทำการเพิ่มค่าของคาปซิเตอร์แบบอนุกรมก่อนแล้ว หมุนอิมพีเดนซ์แบบทวนเข็มนาฬิกาทำให้ได้ค่าคงที่รีซิสแตนซ์ที่มีระยะทางที่เท่ากันกับค่าของรีแอคแตนซ์และคาปซิเตอร์ และเมื่อทำการเพิ่มค่าของอินดักเตอร์แบบอนุกรมแล้วนำไปพลีอตบนสมิทธาร์ตแล้วทำการหมุนอิมพีเดนซ์ในทิศทางตามเข็มนาฬิกา ทำให้ได้ค่าคงที่รีซิสแตนซ์ที่มีระยะทางที่เท่ากันกับค่าของรีแอคแตนซ์และคาปซิเตอร์

3.6.4 การเปลี่ยนอิมพีเดนซ์เป็นแอดมิคแตนซ์

สมิทธาร์ตมีความสัมพันธ์กันกับค่าของอิมพีเดนซ์ (Z) และแอดมิคแตนซ์ (Y) ในการคำนวณค่าของแอดมิคแตนซ์จะแบ่งผันกับค่าอิมพีเดนซ์ทำให้ได้สมการคือ

$$Y = 1/Z \quad (3.18)$$

สำหรับค่าแอดมิคแตนซ์ (Y) ซึ่งมีองค์ประกอบเป็นส่วนจริงและส่วนจินตภาพซึ่งหนึ่งกับค่าอิมพีเดนซ์คือ

$$Y = G \pm jB \quad (3.19)$$

สำหรับวงจรที่นำมาแสดงในรูปที่ 3.26 เป็นแบบชัตเชบแตนซ์ (Susceptance) คือเป็นตัวเก็บประจุแบบวงกว แและเป็นตัวเหนี่ยวนำแบบลบ ซึ่งค่ารีแอคแตนซ์ที่ได้มีค่าตรงกันข้ามกันจริง

ในการหาค่าของส่วนกลับของค่าอิมพีเดนซ์แบบอนุกรมจาก $Z=R+jX$ ในทางคำนวณโดยใช้สมการที่ 3.18 แต่เราต้องคิดว่าจะใช้สมิทธาร์ตอย่างไรให้มีค่าตามที่คำนวณ มันสามารถทำได้ง่ายมากโดยใช้การคำนวณจากโจทย์และทำการพลีอตผลที่ได้แล้วสังเกตว่าค่าที่ได้มีสองอย่างหรือไม่ เช่น ถ้าทำการต่ออิมพีเดนซ์แบบอนุกรมที่ $Z=1+j1$ และทำการแปลงเป็นส่วนกลับคือ

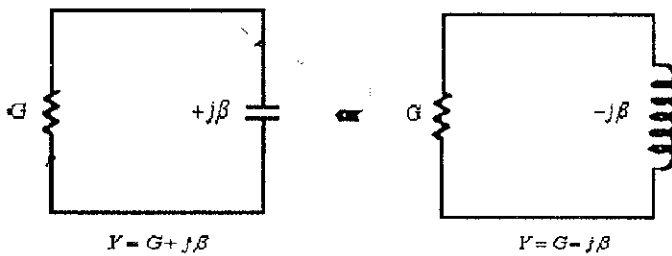
$$Y=1-(1+j1)$$

$$=1/(1.414/45^\circ)$$

$$=0.7071/45^\circ$$

$$=0.5-j0.5$$

ถ้าทำการพล็อตที่จุด $1+j1$ และ $0.5-j0.5$ บนสมิทธาร์ตจะเห็นว่ามันทำได้่ายมากในการพล็อตระหว่างสองจุดจากรูปที่ 3.27 โดยที่จุดสองจุดอยู่ตรงกันข้ามกัน (180°) จะต้องมีระยะทางเท่ากันถ้าวัดจากจุดศูนย์กลาง ซึ่งค่าที่พล็อตจุดแรกนั้นเป็นอินพีเดนซ์และอิกจุดก็จะมีค่าตรงข้ามกัน เราสามารถหาการกระจายของค่าอินพีเดนซ์และแอดมิคแนนซ์โดยการพล็อตบนสมิทธาร์ตที่มีระยะทางจากจุดศูนย์กลางเท่ากัน



รูปที่ 3.26 วิธีการตอบสนองของแอดมิคแนนซ์

ในการสร้างจุดที่ 180° จากจุดเริ่มต้นผลที่ได้คือเราสามารถอ่านทิศทางการหมุนของสมิทธาร์ตซึ่งแสดงในรูปที่ 3.28 ทิศที่แสดงการหมุนคือเส้นสีดำที่ทำการพล็อตอินพีเดนซ์ที่ค่า $Z=1+j1$ โอห์มและแสดงจุดสีดำที่แกนของ $Y=0.5-j0.5$ จากรูปที่ 3.28 เราสามารถทำการหมุนได้ 180° ซึ่งแสดงค่าแอดมิคแนนซ์โดยที่ซีกข้างบนเป็นแอดมิคแนนซ์แบบ Negative Susceptance ($-jB$) หรือคือ อินดักทิฟและที่ซีกข้างล่างเป็นแอดมิคแนนซ์แบบ Positive Susceptance ($+jB$) หรือคือค่าปานิชทิฟ จากรูปที่ 3.28 จะประกอบด้วยอินพีเดนซ์และแอดมิคแนนซ์โดยใช้สมิทธาร์ตแผ่นเดียวได้

3.6.5 การพล็อตค่าแอดมิคแนนซ์บนสมิทธาร์ต

จากการพล็อตจุดของอินพีเดนซ์จากรูปที่ 3.24 และ 3.25 เราสามารถใช้การต่อตัวเก็บประจุแบบอนุกรมที่เพิ่มเข้ามาในอินพีเดนซ์และค่าแอดมิคแนนซ์ที่เกิดขึ้นนี้จะเป็นแบบบานานที่ทำการเพิ่มแอดมิคแนนซ์ ส่วนรูปที่ 3.29 เป็นการเพิ่มค่าของตัวเก็บประจุแบบบานาน โดยเริ่มจากค่าแอดมิคแนนซ์ที่ $Y=0.2-j0.5$ โอห์มและเพิ่มตัวเก็บประจุแบบบานานกับค่าสัมเซนซ์ที่ $+j0.8$ โอห์ม ซึ่งเราจะรู้ผลจากการเพิ่มสัมเซนซ์แบบบานานคือ

$$Y=0.2-j0.5+j0.8$$

$$=0.2+j0.3$$

ถ้าจุดที่พล็อตเป็นแอดมิคแทนซ์เราจะสามารถรู้ค่าของค่าคงที่คอนดักแทนซ์ซึ่งย่านจากการหมุนจุดแบบตามเข็ม ที่ระยะทาง $jB=0.8$ ซึ่งเป็นส่วนจริงของแอดมิคแทนซ์ส่วนของจินตภาพจะแสดงในรูปที่ 3.30 ที่ทำการเพิ่มอินดักเตอร์แบบบานานโดยค่าที่ได้เป็นคอนดักแทนซ์ที่ย่านโดยทวนเข็มนาฬิกาที่มีระยะทาง ($-jB$) ที่เท่ากับค่าซัลเตชันแทนซ์

ถ้ากลับไปดูการต่อของจุดสองจุดคืออินพีเดนซ์และแอดมิคแทนซ์จากรูปที่ 3.24, 3.25, 3.29 และ 3.30 สำหรับกรณีแรกเราจะใช้กับสมิทธาร์รูปที่ 3.31 ซึ่งค่าของอินพีเดนซ์และแอดมิคแทนซ์นั้นสามารถศึกษาได้จากตัวอย่างที่ 3.5

3.6.6 การทำอินพีเดนซ์แมตชิ่งบันสมิทธาร์ต

สำหรับกรณีการต่อแบบอนุกรมแล้วแบบบานานลงบนสมิทธาร์ตจะเป็นการทำให้เกิดเป็นอินพีเดนซ์แมตชิ่งโดยการให้ค่าโหลดอินพีเดนซ์และค่าของอินพีเดนซ์ที่แหล่งจ่ายมีค่าเท่ากันโดยการเพิ่มค่าที่เรารอออกแนวโน้มเป็นอินพีเดนซ์แบบอนุกรมหรือแบบบานานให้อินพีเดนซ์ทั้งสองฝั่งเกิดการแมตชิ่งกันดูตัวอย่างที่ 3.4

3.6.7 การทำแมตชิ่งของ 2 องค์ประกอบ (Two-Element)

การทำแมตชิ่งของระบบสองระบบคือการคำนวณโดยการใช้สูตรสำหรับการหาค่าต่างๆ ค่าที่ได้จากการพล็อตบนสมิทธาร์ตสามารถนำมาคำนวณเป็นสมการได้โดย

$$\text{อนุกรม } C; \quad C = 1/\omega XN \quad (3.20)$$

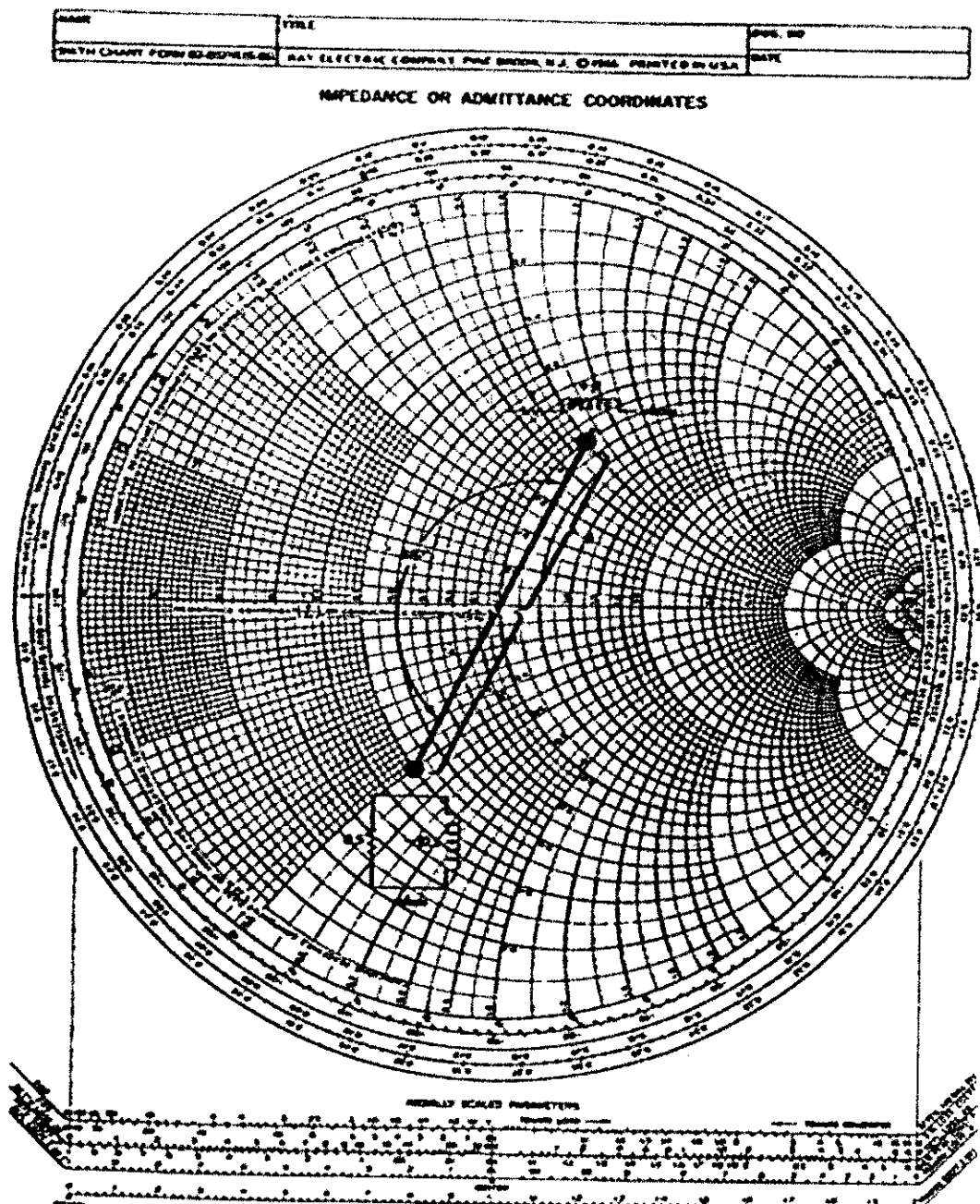
$$\text{อนุกรม } L; \quad L = XN / \omega \quad (3.21)$$

$$\text{บานาน } C; \quad C = B / \omega N \quad (3.22)$$

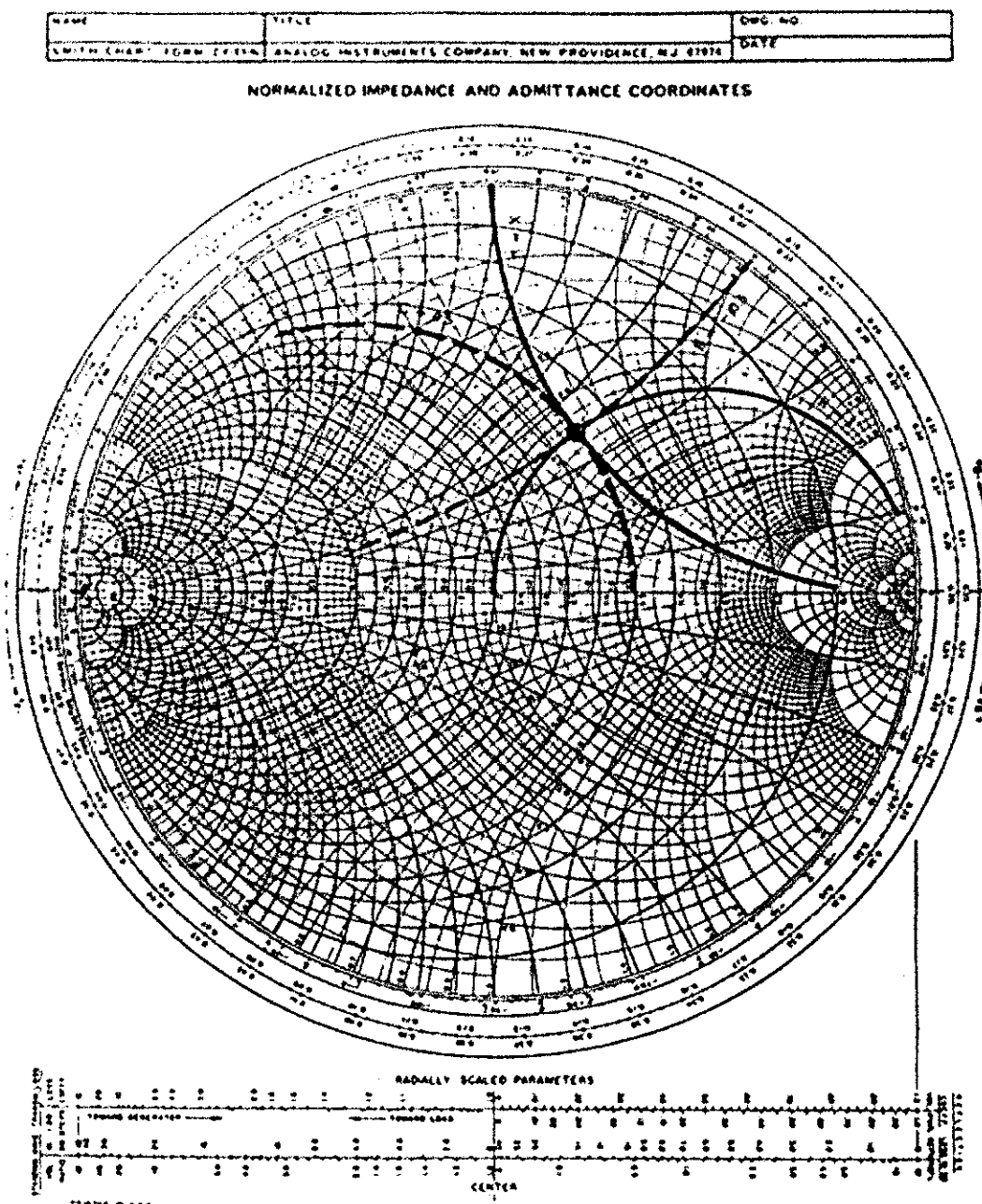
$$\text{บานาน } L; \quad L = N / \omega B \quad (3.23)$$

โดยที่ $\omega = 2\pi f$

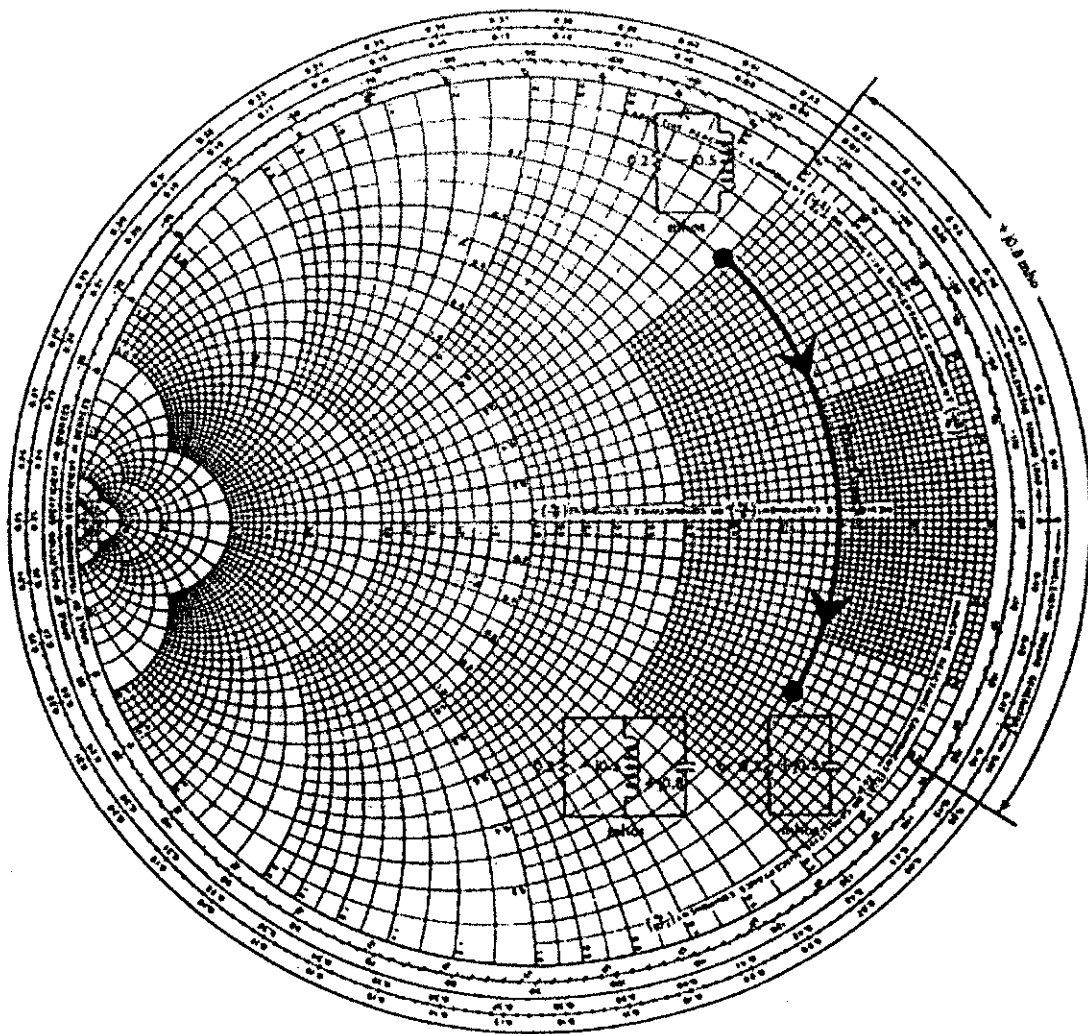
X =ค่ารีแอคแทนซ์ที่ย่านได้จากสมิทธาร์ต



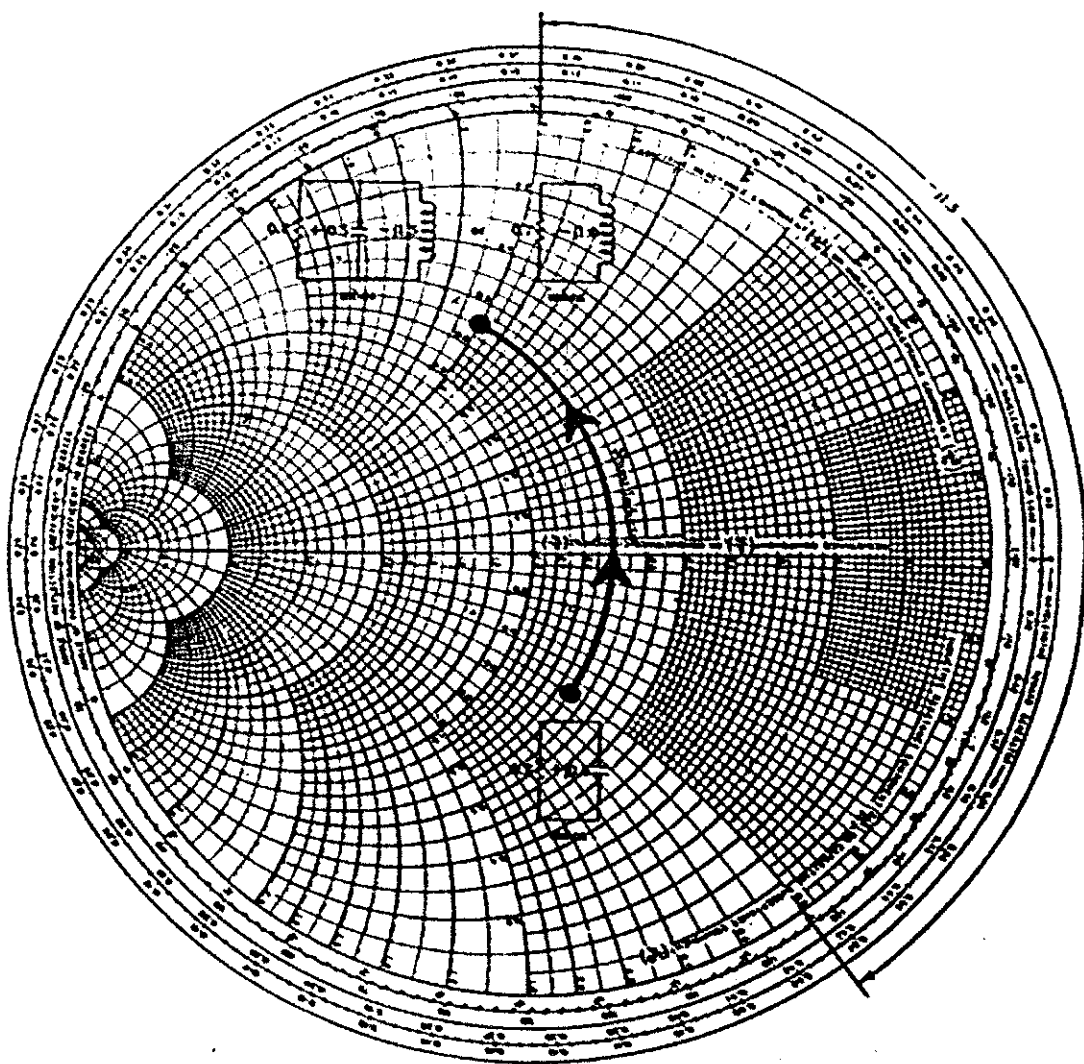
รูปที่ 3.27 การแปลงจากอิมพีเดนซ์เป็นแอดมิตตันซ์บนสนิทชาร์ต



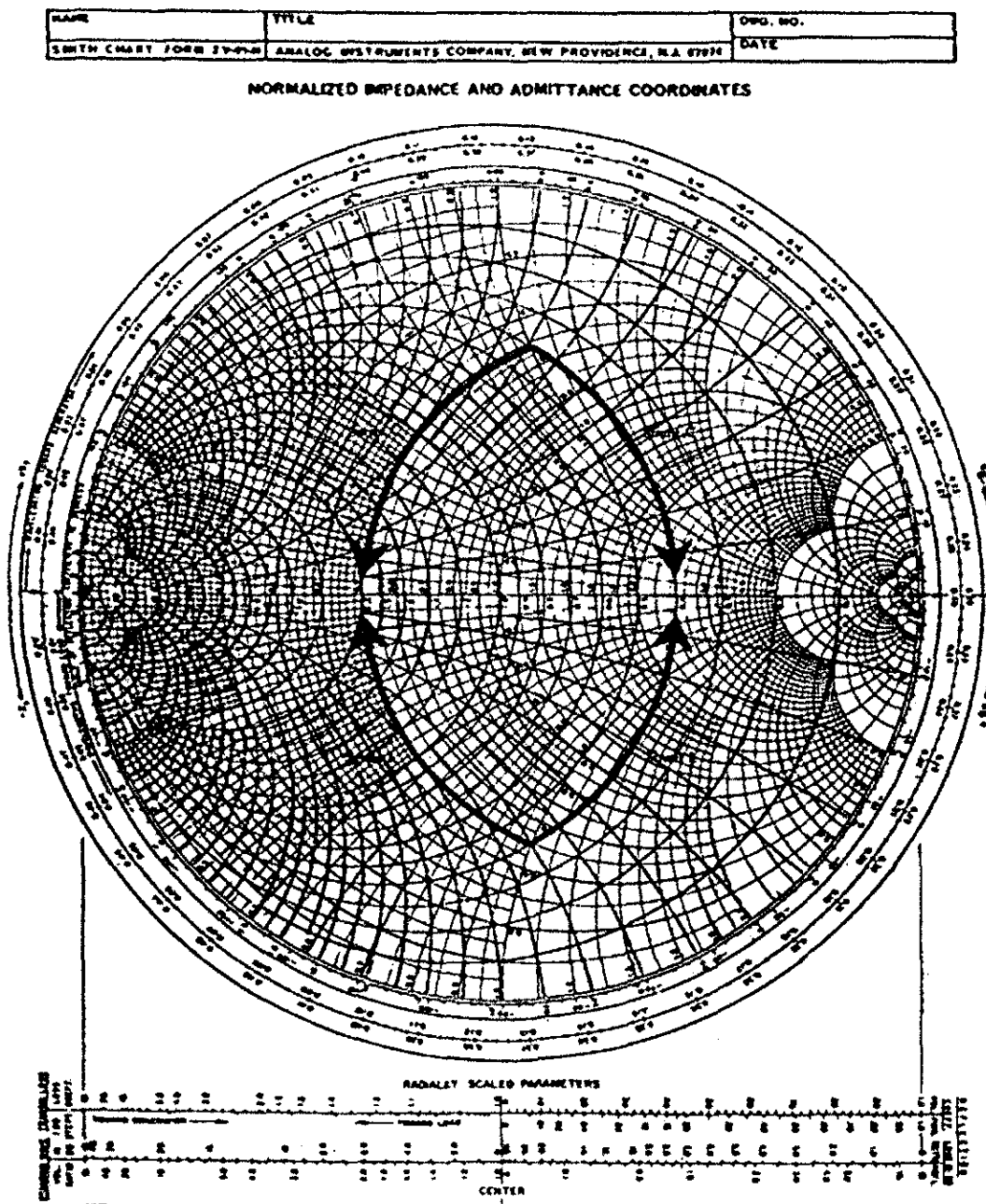
รูปที่ 3.28 แสดงการพล็อตขุคของแอดมิคแทนซ์ที่มีการซ้อนทับกัน



รูปที่ 3.29 การพล็อตที่เป็นค่าการขนาดของตัวคานปาซิเตอร์



รูปที่ 3.30 การพล็อตที่เป็นค่าการบานของตัวอินดักเตอร์



รูปที่ 3.31 การรวมส่วนประกอบต่าง ๆ ลงบนสมิทชาร์ต

B=ค่าซัลเซนเดนซ์ที่อ่านจากสมิทธาร์ต

N=จำนวนเต็มที่ใช้สำหรับการอ่านอัลไทร์ที่ทำให้เกิดการแมตช์ของอินพีเดนซ์

ถ้าเราใช้สมการในการคำนวณค่าที่ได้มาไม่ว่าจะเป็นค่าซัลเซนเดนซ์หรือค่ารีแอกเคนซ์ที่ได้นั้นจะเป็นค่าที่ยังไม่ได้ทำการอ่านอัลไทร์ของอินพีเดนซ์ เพราะเป็นค่าที่คำนวณได้ ค่าที่อ่านได้จากสมิทธาร์ตนั้นเป็นค่าซัลเซนเดนซ์ (ที่ต่อแบบบานาน) และ ค่ารีแอกเคนซ์ (ที่ต่อแบบอนุกรม)

3.6.8 การทำแมตชิ่งของ 3 องค์ประกอบ (Three-Element)

ที่ผ่านมาได้เรียนรู้เรื่องความแตกต่างของส่วนจริงระหว่าง 2 องค์ประกอบ และ 3 องค์ประกอบ ทำให้สามารถเลือกโหลด Q มาใส่ในระบบได้ ซึ่งค่าที่ได้จากการคำนวณและออกแบบจะได้ค่ารีซิสแตนซ์แบบเหมือนค่า Q นั้นเป็นค่าอินพีเดนซ์ที่ต่ออนุกรมกับวงจรแล้วทำให้ได้อัตราส่วนของค่ารีแอกเคนซ์และรีซิสแตนซ์ค่า Q จะอ่านได้จากสมิทธาร์ต เช่น ถ้าให้ Q=5 สามารถหาค่าอินพีเดนซ์ได้

$$\begin{aligned} R+jX &= 1 \pm j5 \\ &= 0.5 \pm j2.5 \\ &= 0.2 \pm j1 \\ &= 0.1 \pm j0.5 \\ &= 0.05 \pm j0.25 \end{aligned}$$

ค่าที่พล็อตได้จากรูปที่ 3.37 ที่จุดใดๆ ที่พล็อตบนสมิทธาร์ตจะต้องมีค่า Q=5 และค่า Q สามารถให้เป็นส่วนกลับได้โดยเริ่มจากที่ Q=0 จะทำให้ได้ค่าอินพีเดนซ์ตัวเดียวบนเส้นของจุดศูนย์กลางของสมิทธาร์ต

ในการออกแบบค่า Q ให้มีค่าสูงมากๆ ของวงจร 3 องค์ประกอบแมตชิ่งบนสมิทธาร์ตค่าที่ได้จะต้องมีค่าใกล้เคียงกับค่าที่คำนวณได้ โดยการคำนวณค่า Q จะคำนวณได้จากโหลดของวงจร และจะเป็นค่าที่เป็นลักษณะเฉพาะของแต่ละวงจร ในการออกแบบค่า Q ใน 3 องค์ประกอบแมตชิ่ง จะต้องมีลักษณะดังนี้

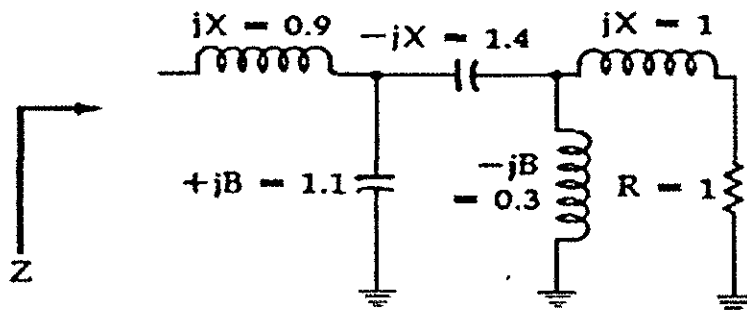
1. พล็อตค่าคงที่ของ Q สำหรับการหาสเปคของส่วนกลับของ Q

2. พล็อตค่าโหลดอินพีเดนซ์และค่ามเพลสิกอนจูเกทที่อินพีเดนซ์ผ่านของแหล่งจ่าย

3. หาค่า Q ที่โหลดเพื่อใช้สำหรับการออกแบบ สำหรับวงจร โครงข่ายแบบ T จะใช้ค่า Q ที่มีค่าน้อยๆ สำหรับการเลิกใช้ค่ารีซิสแตนซ์สำหรับวงจร โครงข่ายแบบ Pi จะใช้ค่า Q ที่มีค่ามากๆ สำหรับการเลิกใช้ค่ารีซิสเคอร์

4. สำหรับโครงข่ายแบบ T จะมีค่า $R_s > R_L$

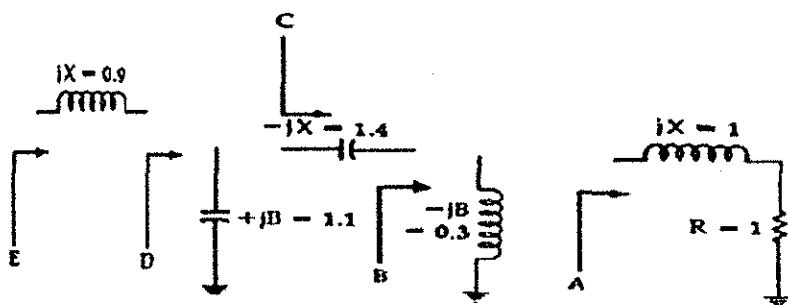
ตัวอย่างที่ 3.4 ค่าอิมพีเดนซ์ที่แสดงอยู่ในรูปที่ 3.32 มีค่าเท่าไรต้องกว่าเป็นการต่อแบบขนานของชั้สเซบแทนซ์หรือการต่อแบบขนานของเรียกแทนซ์



รูปที่ 3.32 วงจรสำหรับตัวอย่างที่ 3.4

วิธีทำ

จะต้องทำการคืนรวมแล้วนำค่าไปปลดอตในสมिथชาร์ตที่ทำการแมตซิ่งเรียบร้อยแล้วตามรูปที่ 3.34 ถึงแรกที่ต้องทำคือนำจุดแหล่งจุดในวงจรไปปลดอตค่าอิมพีเดนซ์ที่ทำการต่อค่า RL แบบอนุกรมตามรูปที่ 3.33 ที่ $Z = 1 + j1$ แล้วพล็อตจุด A ต่อจากนั้นลากเดินเพื่อออกรูปแบบตามที่เราต้องการตามรูปที่ 3.31 แล้วหาจุดเชื่อมต่อจากนั้นก็อ่านค่าของจุดนั้น



รูปที่ 3.33 รูปวงจรที่ทำการออกรูปแบบแล้ว

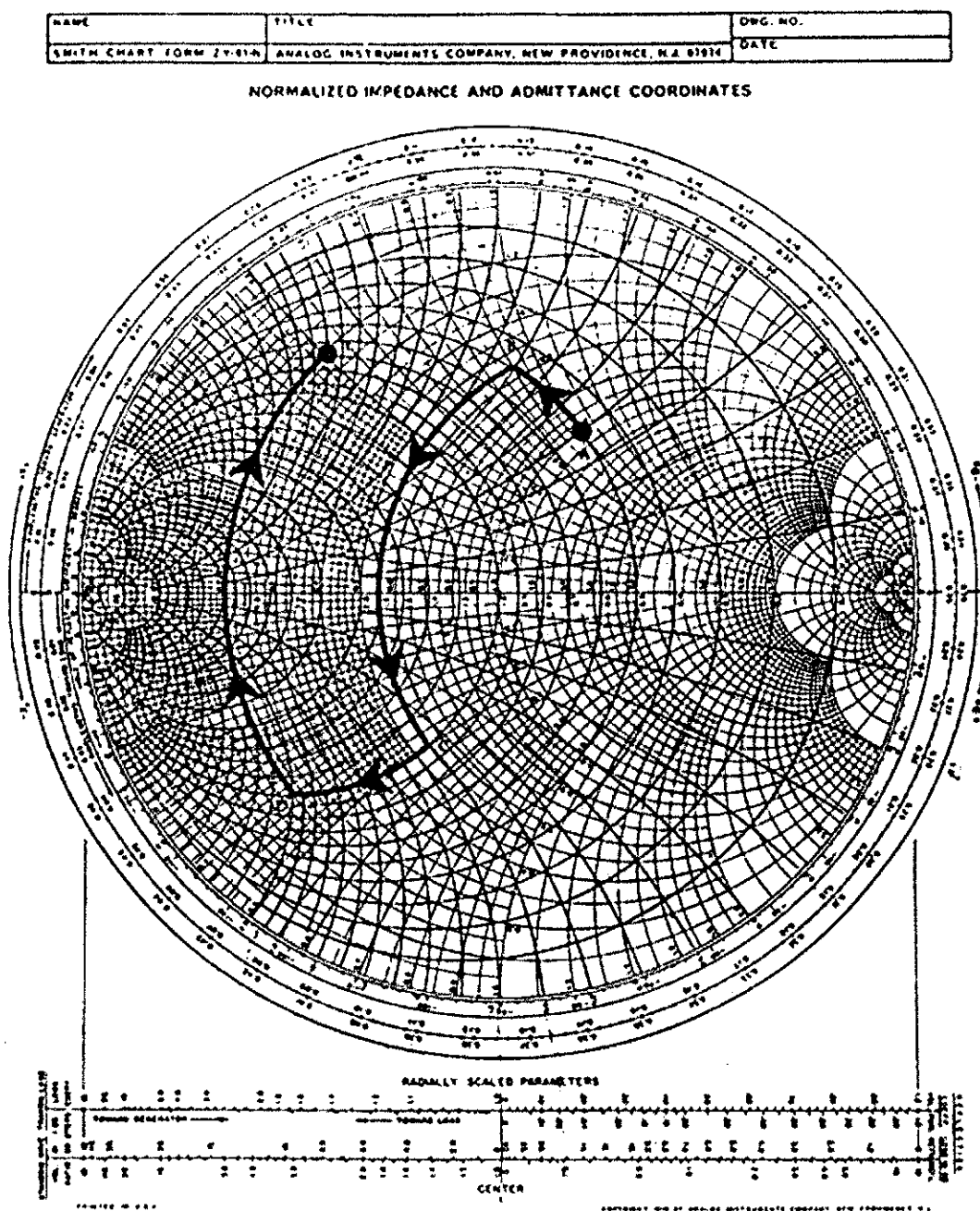
$$\text{Arc AB} = \text{ขنان L} = -jB = 0.3 \text{ โอห์ม}$$

$$\text{Arc BC} = \text{อนุกรม C} = -jX = 1.4 \text{ โอห์ม}$$

$$\text{Arc CD} = \text{ขنان C} = +jB = 1.1 \text{ โอห์ม}$$

$$\text{Arc DE} = \text{อนุกรม L} = +jX = 0.9 \text{ โอห์ม}$$

ค่าอิมพีเดนซ์ที่จุด E สามารถอ่านค่าได้จากสมิ�ชาร์ต (รูปที่ 3.34) ได้ $Z = 0.2 + j0.5$ โอห์ม



รูปที่ 3.34 สมิทชาร์ตที่ใช้สำหรับตัวอย่างที่ 3.4

ทำการลากเส้นจากโหลดซึ่งเป็นค่าคงที่ของ R ไปยังจุดของค่า Z คอนจูเกจ (Z_s^*) ในการต่อแบบบานานและแบบอนุกรมก็อ

$$R_s < R_L$$

ทำการหาจุดตัด (Intersection, I) โดยใช้ความโถงของค่า Q ของอินพีเดนซ์ทางผ่านโหลดให้ R คือค่าคงที่ของวงกลม ซึ่งจะทำการหมุนจากโหลดอินพีเดนซ์ไปยังจุดเริ่มต้นโดยการต่อแบบอนุกรม และถ้าต่อแบบบานานจะทำการหมุนจากจุด I ไปยังจุด Z คอนจูเกจ (Z_s^*) ให้ R คือค่าคงที่ของวงกลมกับจุดใดๆ ที่ต่ออนุกรมกัน

5. สำหรับโครงสร้างบานาน P_i จะมีค่า

$$R_s > R_L$$

ทำการหาจุดตัด (Intersection, I) โดยใช้ความโถงของค่า Q ของอินพีเดนซ์ทางผ่านโหลดโดยที่ค่า G=ค่าคงที่ของวงกลม ซึ่งจะทำการหมุนจากโหลดอินพีเดนซ์ไปยังจุดเริ่มต้นโดยการต่อแบบบานาน และถ้าต่อแบบบานานจะทำการหมุนจากจุด I ไปยังจุด Z คอนจูเกจให้ G คือค่าคงที่ของวงกลมกับจุดใดๆ ที่ต่อขานานกัน

$$R_s < R_L$$

ตัวอย่างที่ 3.5 ให้ออกแบบเครื่อข่าย 2 องค์ประกอบอินพีเดนซ์แมตซ์ชิบบนสมิทฮาร์ตให้แมตซ์ที่ 25-j15 โอห์ม ผ่านแหล่งจ่าย และ 100-j25 โอห์ม ทางผ่านโหลด ที่ความถี่ 60 MHz ให้ทำการแมตซ์โดยต้องใช้แบบ Low Pass Filter ระหว่างทางผ่านโหลดและผ่านแหล่งจ่าย

วิธีทำ

ค่าอินพีเดนซ์ที่ให้มานั้นยังไม่ได้ทำการอร์มอลไลท์ให้ออกแบบที่ $N=50$ ดังนั้นจะได้ค่าอินพีเดนซ์ทางผ่านโหลดเป็น 2-j0.5 โอห์ม และค่าอินพีเดนซ์ทางผ่านแหล่งจ่ายเป็น 0.5-j0.3 โอห์ม แล้วนำค่าที่ได้ไปพล็อตบนสมิทฮาร์ตซึ่งแสดงตามรูปที่ 3.36 โดยที่จุด A, Z_L คืออร์มอลไลท์โหลดอินพีเดนซ์และจุด C, Z_s^* คืออร์มอลไลท์คอมเพล็กซ์คอนจูเกจของอินพีเดนซ์ทางผ่านแหล่งจ่าย

ทำการแมตซ์ที่เป็นแบบ Low Pass Filter โดยออกแบบจากการอนุกรม L, ขนาด C โดยเส้นทางที่จะลากไปนั้นเราจะจากจุด A ไปยังจุด C ซึ่งแสดงดังรูปที่ 3.36 สำหรับค่าของ Arc AB ตามรูปที่ 3.36 คือการต่อตัวเก็บประจุแบบบานานกับค่า $+jB=0.73$ โอห์ม และค่าของ Arc BC คือการต่อตัวเหนี่ยวนำแบบอนุกรมกับค่า $+jX=1.2$ โอห์ม

จากสมิทฮาร์ตซึ่งอ่านได้ค่าตัวเก็บประจุแบบบานานซึ่งเป็นค่าซัลเชนแตนซ์แต่เราต้องการค่าซีเอกแตนซ์ดังนั้นจึงต้องคำนวณค่าจาก

$$X_C = 1/jB$$

$$= 1/j0.73$$

$$= -j1.37 \text{ โอห์ม}$$

วงจรที่สมบูรณ์นี้เราต้องทำการนอร์มอลไลท์ค่าอิมพีเดนซ์ทั้งหมดก่อน โดยที่ค่า $N=50$ ซึ่งค่าที่ใช้คือ

$$X_L = 60 \text{ โอห์ม}$$

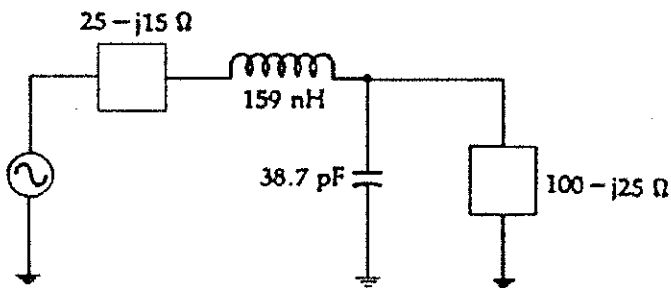
$$X_C = 68.5 \text{ โอห์ม}$$

สามารถทำการหาค่ารีแอกเคนซ์ได้โดย

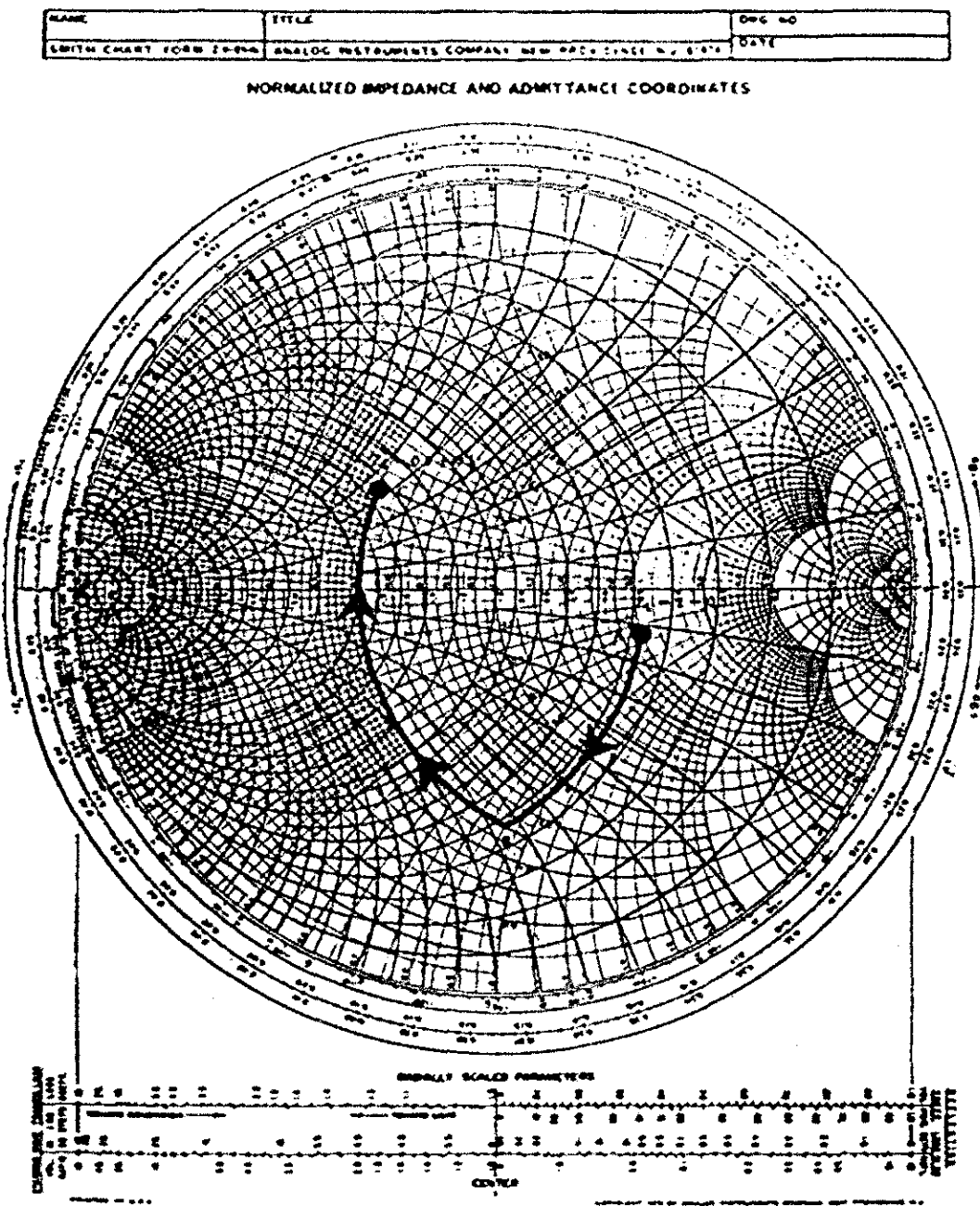
$$\begin{aligned} L &= X_L / \omega \\ &= 60 / [2\pi \times (60 \times 10^6)] \\ &= 159 \text{ nH} \end{aligned}$$

$$\begin{aligned} C &= 1 / \omega X_C \\ &= 1 / [2\pi \times (60 \times 10^6) (68.5)] \\ &= 38.7 \text{ pF} \end{aligned}$$

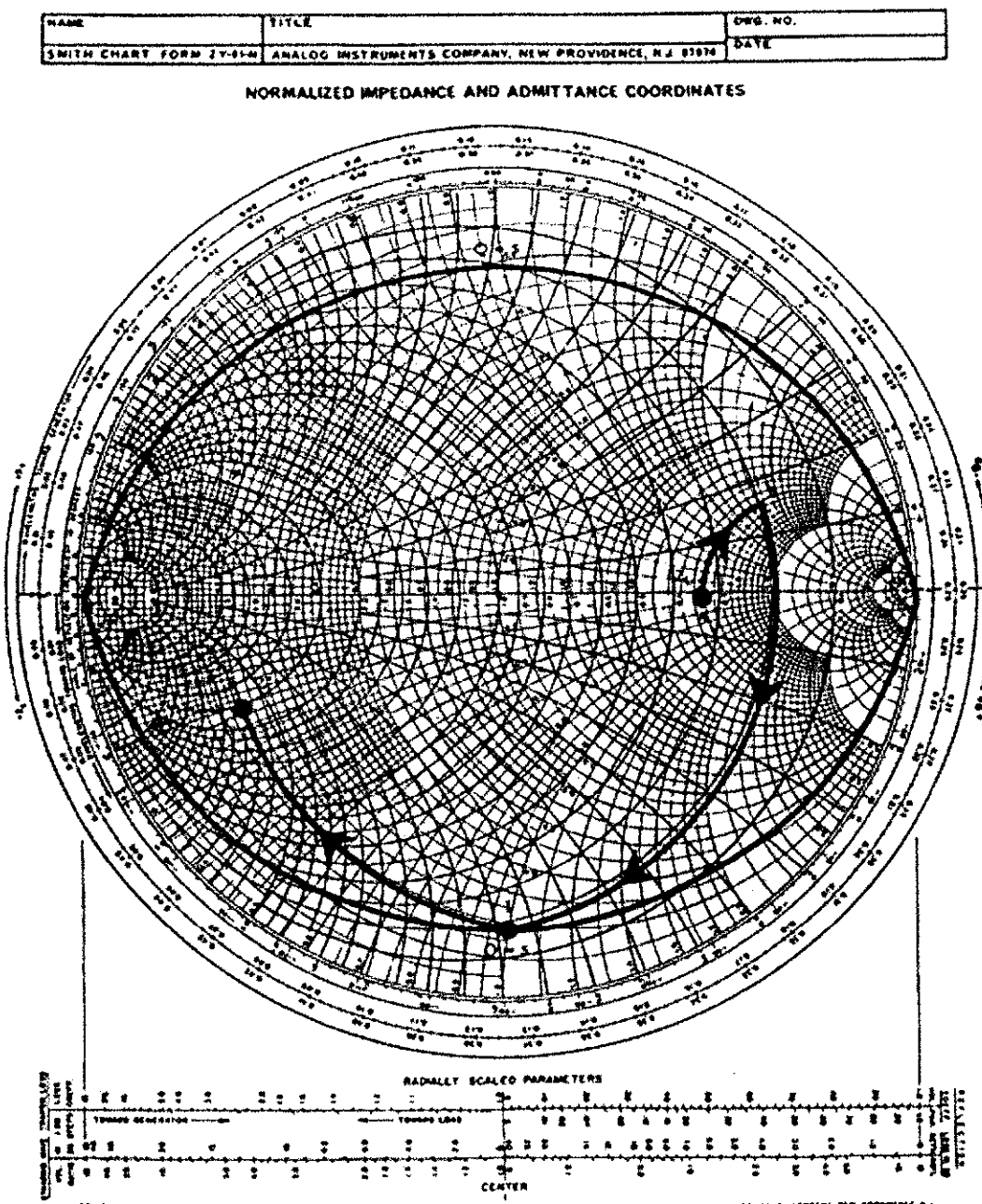
วงจรสุดท้ายที่สมบูรณ์แล้ว



รูปที่ 3.35 วงจรสุดท้ายของตัวอย่างที่ 3.5



รูปที่ 3.36 แสดงวิธีการทำสำหรับตัวอย่างที่ 3.5



รูปที่ 3.37 สมิทธาร์ตที่ใช้สำหรับตัวอย่างที่ 3.6

ตัวอย่างที่ 3.6 ให้ออกแบบโครงข่าย T ที่ $Z=15+j15$ โอห์ม ที่ผังแหล่งจ่ายและที่ผังโหลด $Z=225$ โอห์ม ที่ความถี่ 30 MHz กับโหลดที่ $Q=5$

วิธีทำ

อย่างแรกคือนำส่วนกลับของค่า Q ไปพล็อตที่โหลดอิมพีเดนซ์และคอมเพล็กซ์กอนจูเกจที่ผังแหล่งจ่าย แล้วทำการนอร์มอลไลท์ค่าอิมพีเดนซ์โดยให้ใช้ $N=75$ สำหรับการนอร์มอลไลท์จะได้ Z กอนจูเกจ (Z_s^*) ที่

$$Z_s^* = 0.2-j0.2 \text{ โอห์ม}$$

$$Z_L = 3 \text{ โอห์ม}$$

นำค่าที่ได้จากการออกแบบและคำนวณไปพล็อตบนสมิทธาร์ตามรูปที่ 3.38 ในการออกแบบแบบโครงข่าย T นั้นค่าของ Q จะต้องหาที่ผังแหล่งจ่าย เพราะกำหนดให้ $R_s < R_L$ และพล็อตจุด I ที่ $Q=5$ ให้ R เป็นค่าคงที่ในวงจร ลากผ่านจุด Z_s^* จากนั้นลากเส้นจากโหลดอิมพีเดนซ์ไปยังจุด I ของ 2 องค์ประกอบ

องค์ประกอบ 1 = Arc AB = อุกตรม L = $j2.5$ โอห์ม

องค์ประกอบ 2 = Arc BI = ขนาด C = $j1.15$ โอห์ม

จากนั้นทำการลากเส้นจากจุด I ไปยังจุด Z_s^* ซึ่ง R เป็นค่าคงที่ของวงกลม

องค์ประกอบ 3 = Arc IC = อุกตรม L = $j0.8$ โอห์ม

ใช้สมการที่ 3.20 ถึง 3.23 คำนวณค่าของส่วนประกอบต่างๆ

องค์ประกอบ 1 = อุกตรม L:

$$L = (2.5 \times 75) / [2\pi \times (30 \times 10^6)]$$

$$= 995 \text{ nH}$$

องค์ประกอบ 2 = ขนาด C:

$$C = 1.15 / [2\pi \times (30 \times 10^6) \times 75]$$

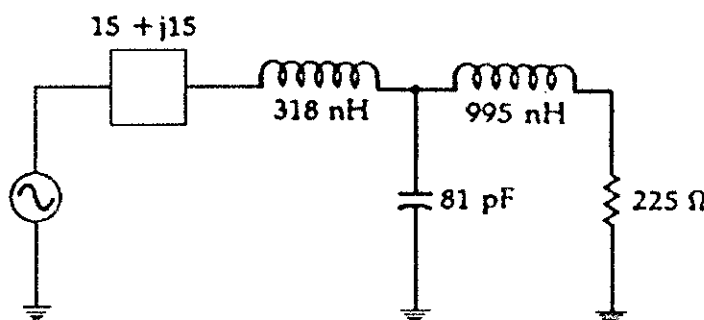
$$= 81 \text{ pF}$$

องค์ประกอบ 3 = อุกตรม L:

$$L = (0.8 \times 75) / [2\pi \times (30 \times 10^6)]$$

$$= 318 \text{ nH}$$

วงจรสุดท้ายที่สมบูรณ์แล้ว



รูปที่ 3.38 วงจรสุดท้ายของตัวอย่างที่ 3.6

3.7 สรุป

การทำอินพีดิเคนซ์แมตชิ่งไม่ใช่การทำที่เดียวเสร็จ แต่จะต้องทำทีละขั้นตอน ซึ่งถ้าเรามีความเข้าใจเราก็สามารถใช้หาค่ากำลังงานสูงสุดจากแหล่งจ่ายถึงโหลด การแมตชิ่งอินพีดิเคนซ์นั้นสามารถทำการออกแบบโดยการคำนวณหรือการใช้การออกแบบในสมิทชาร์ตได้ สำหรับระบบที่มี 2 องค์ประกอบและ 3 องค์ประกอบนั้น สำหรับมากจะสามารถคำนวณค่าด้วยมือได้ดี ในขณะเดียวกันถ้าเป็นระบบที่ 4 องค์ประกอบหรือมากกว่าให้ทำการออกแบบโดยใช้สมิทชาร์ตจะสามารถออกแบบได้ง่ายกว่าการคำนวณด้วยมือ

บทที่ 4

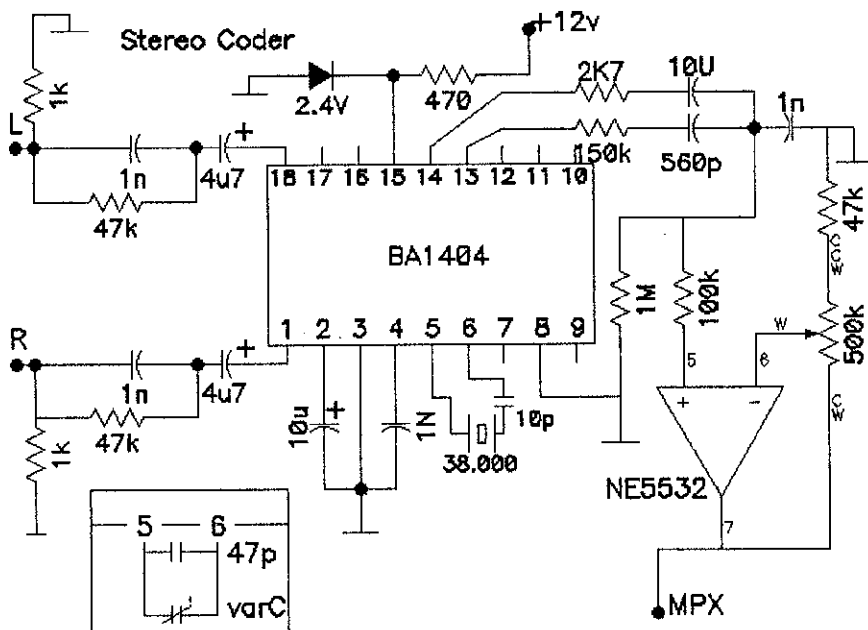
การออกแบบ การสร้างและทดสอบวงจรต่าง ๆ ของเครื่องส่ง

4.1 ກລົວໜໍາ

ในการสร้างเครื่องส่งหนึ่งเครื่อง นั้นจะต้องมีอุปกรณ์ส่วนค้าง ๆ ที่ทำให้เครื่องส่งสามารถส่งสัญญาณได้ ซึ่งเครื่องส่งนั้นจะประกอบไปด้วย แหล่งกำเนิดสัญญาณ (Oscillator) ตัวขยายสัญญาณ (Amplifier) และ วงจรกรอง (Filter) ซึ่งสำหรับเครื่องส่งที่ต้องการสร้างนี้เป็นเครื่องส่งแบบสองช่องสัญญาณ (Stereo) ดังนั้นจึงต้องมีการสร้างอุปกรณ์ในส่วนของภาคสเตอริโอด้วย เพื่อทำการส่งสัญญาณตามที่ต้องการได้ โดยที่อุปกรณ์ต่าง ๆ เหล่านี้สามารถอธิบายการออกแบบ การสร้างและทดสอบอุปกรณ์ต่าง ๆ ดังต่อไปนี้

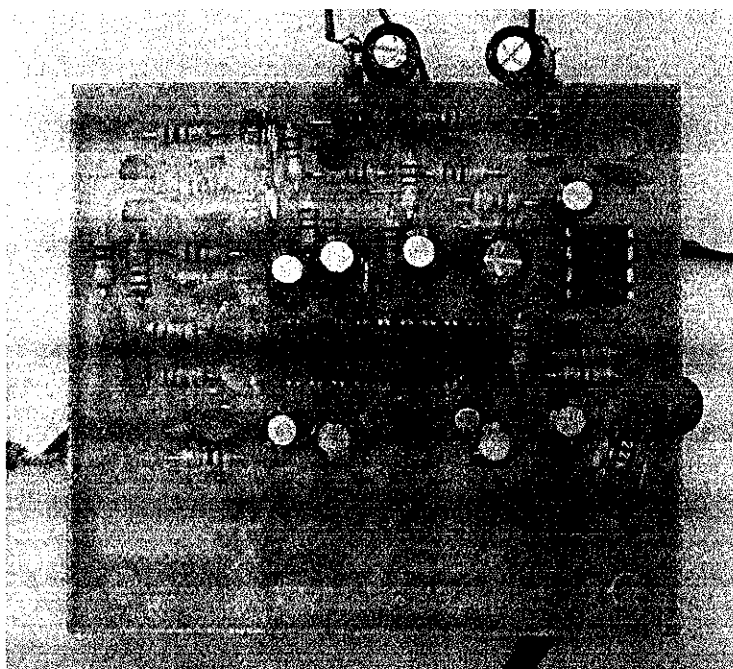
4.2 วงจรเข้ารหัสสัญญาณเสียงแบบสเตอริโอมัลติเพล็กซ์ (Stereo Multiplex Encoder)

ในส่วนนี้จะเป็นการออกแบบอุปกรณ์ของภาคสเตอริโอด้วยจะใช้ไอซีและคริสตัลเพื่อแยกสัญญาณออกเป็นสองช่องสัญญาณ ซึ่งไอซีที่ใช้คือเบอร์ BA1404 เป็นโมดูลสำเร็จรูปทำหน้าที่เป็นวงจรเข้ารหัสสเตอริโอมัลติเพล็กซ์ แล้วขยายสัญญาณให้แรงขึ้นด้วยอปป่อนบีเบอร์ NE5532 และคริสตัลที่ความถี่ 38 KHz



รูปที่ 4.1 รูปแสดงวงจรการเข้ารหัสของสเตอริโว้มัคติเพล็กซ์ที่ได้จากการออกแบบ

จากรูปที่ 4.1 เมื่อนำงจรที่ได้จากการออกแบบไปสร้างเป็นวงจรจริง โดยใช้ไอซี BA1404 เพื่อสำหรับใช้งานในการแยกสัญญาณของสเตอริโอดังนี้จากรูปที่ 4.2 เป็นวงจรจริงที่สามารถนำไปใช้งานได้

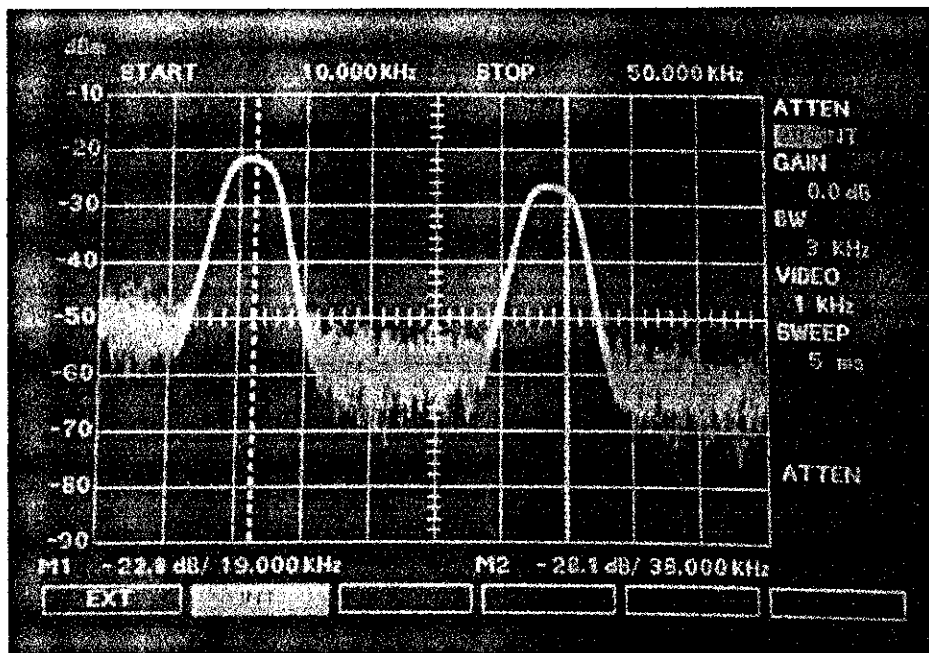


รูปที่ 4.2 วงจรเข้ารหัสสเตอริโอนัลติเพลกซ์

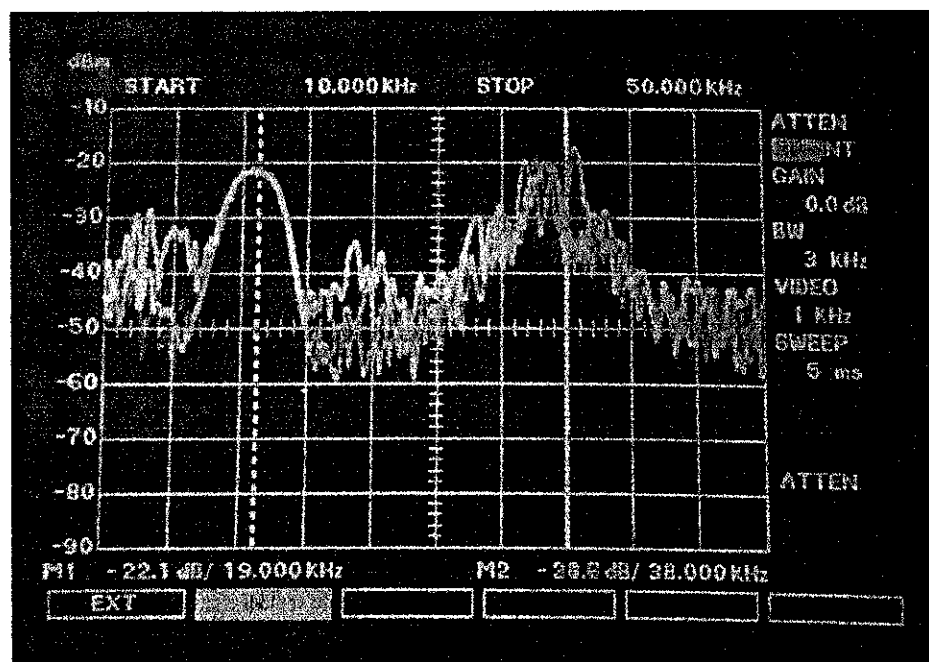
1. ขั้นตอนการวัดวงจรเข้ารหัสสเตอริโอนัลติเพลกซ์

- 1) ต่อแหล่งจ่ายไฟกระแสตรง(DC) 12V และป้อนสัญญาณเสียง(Audio) เข้าที่วงจรเข้ารหัสสเตอริโอนัลติเพลกซ์
- 2) ต่อสัญญาณเอาค์พูดของวงจรเข้ากับเครื่องวัดสเปกตรัมอนาคตท์เซอร์
- 3) ทำการวัดสัญญาณคลื่นพาห์จากเครื่องวัดสเปกตรัมอนาคตท์เซอร์ แล้วทำการถ่ายรูปผลการทดสอบ

2. ผลการวัดวงจรเข้ารหัสสเตอริโอมัลติเพลกซ์



รูปที่ 4.3 แสดงผลการทดสอบของวงจรสเตอริโอมัลติเพลกซ์



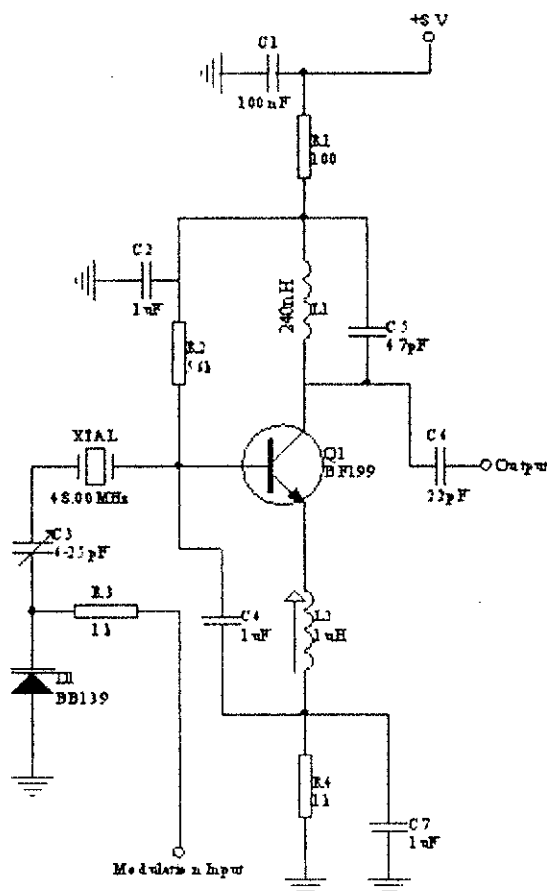
รูปที่ 4.4 แสดงผลการทดสอบของวงจรสเตอริโอมัลติเพลกซ์เมื่อป้อนสัญญาณเสียง

3. สรุปผลการวัดวงจรเข้ารหัสเตอริโอมัลติเพลกซ์

จากผลการทดสอบในส่วนของสเตอริโอมัลติเพลกซ์ในรูปที่ 4.3 จะเห็นว่าสัญญาณที่ได้ออกมานี้ (Output) จะมีคุณภาพดีที่สามารถใช้สเปกตรัมอนาໄලเซอร์จับวัดสัญญาณได้สองความถี่ นั่นแสดงว่าความถี่ตัวแรกเป็นความถี่ของไฟล็อตที่ความถี่ 19 kHz และอีกความถี่หนึ่งคือความถี่ของไฟล็อตเหมือนกันแต่มีสัญญาณอยู่ที่ความถี่ 38 kHz

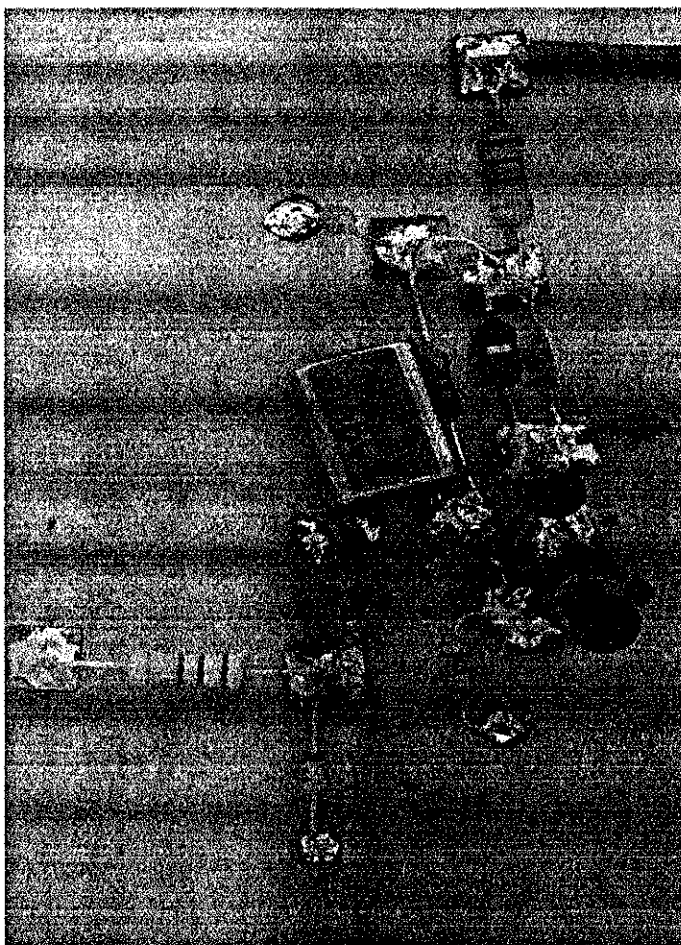
4.3 วงจรกำเนิดสัญญาณ (Oscillator)

ในการให้กำเนิดสัญญาณของวงจรของเครื่องส่งจะใช้ตัวคริสตัล 48.00 MHz เป็นตัวกำเนิดสัญญาณโดยใช้หลักการแบบไม่เป็นเรียงเส้น (Non-Linear) ซึ่งเป็นแบบคอมมอนอีมิตเตอร์โดยจะใช้วิธีการทวีคูณความถี่ (Multiplies) เป็นการเพิ่มความถี่ไปเรื่อยๆ จนถึงความถี่ที่ต้องการคือ วงจรกำเนิดสัญญาณจะเพิ่มความถี่ตามชาร์โนนิกของความถี่ที่เพิ่มขึ้นจาก 48 MHz เป็น 144 MHz และเป็น 432 MHz ตามที่ต้องการ



รูปที่ 4.5 แสดงวงจรกำเนิดสัญญาณที่ได้จากการออกแบบ

จากการออกแบบวงจรกำเนิดสัญญาณที่ใช้การให้กำเนิดสัญญาณโดยใช้คริสตัลที่ความถี่ 48 MHz จะได้วงจรริบเพื่อใช้สำหรับทดสอบดังรูปที่ 4.6

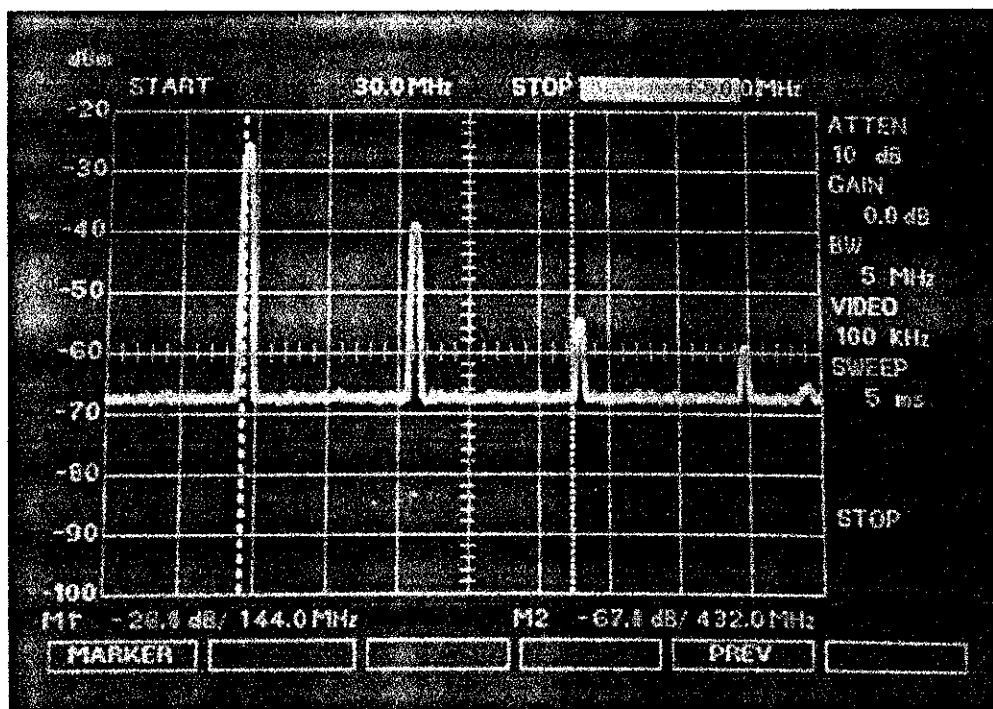


รูปที่ 4.6 วงจรกำเนิดสัญญาณที่ใช้งานจริง

1. ขั้นตอนการวัดวงจรกำเนิดสัญญาณ

- 1) ทำการต่อแหล่งจ่ายไฟเข้าที่วงจรกำเนิดสัญญาณ
- 2) ต่อสัญญาณเอาต์พุตของวงจรเข้าที่เครื่องวัดสเตปเกตรัมอนาคตไลท์เซอร์
- 3) ทำการวัดสัญญาณความถี่ โดยที่ถ่ายไม่ได้ความถี่ที่ชาร์โนนิกความถี่ที่ต้องการทำ การปรับค่าของตัวเก็บประจุเพื่อให้ได้ชาร์โนนิกที่ต้องการคือที่ 48 MHz
- 4) ถ้าได้สัญญาณตามต้องการจากเครื่องวัดสเตปเกตรัมอนาคตไลท์เซอร์แล้วทำการถ่ายรูปผลการทดสอบ

2. ผลการวัดวงจรกำเนิดสัญญาณ



รูปที่ 4.7 รูปแสดงผลการทดสอบของวงจรกำเนิดสัญญาณ

3. สรุปผลการวัดวงจรกำเนิดสัญญาณ

เมื่อนำงจรใช้งานของแหล่งกำเนิดสัญญาณมาทดสอบว่าสามารถให้กำเนิดสัญญาณได้กับวงจรได้หรือไม่นั้น จะเห็นว่าที่ความถี่ที่ใช้งานคือที่ความถี่ 432 MHz แต่ในการสร้างวงจรจะใช้คริสตัลที่ความถี่ 48 MHz ดังนั้นจึงทำการทวีคูณความถี่ให้ถึงความถี่ที่ต้องการ เพื่อให้แหล่งกำเนิดสัญญาณให้กำเนิดสัญญาณที่ความถี่ 432 MHz จากรูปที่ 4.7 เป็นผลการทดสอบของการตอบสนองของวงจรแหล่งกำเนิดที่ความถี่ที่เกิดขึ้นคือมี 4 ชาร์โนนิกจากในรูปโดยที่ชาร์โนนิกแรกจากในรูปจะอยู่ที่ความถี่ 144 MHz และ จากในรูปชาร์โนนิกที่ 3 เกิดสัญญาณที่ความถี่ 432 MHz จะเห็นว่าการกำเนิดสัญญาณของวงจรแหล่งกำเนิดสัญญาณจะมีความแรงลดลงตามชาร์โนนิกที่มีมากขึ้น นั่นแสดงว่าวงจรสามารถทำงานได้ตามทฤษฎีที่ได้ศึกษามาจึงสามารถนำวงจรนี้ไปใช้งานได้

4.4 วงจรขยายกำลังงาน (Amplifier)

วงจรขยายกำลังงานเป็นวงจรที่ใช้ขยายสัญญาณอาร์ฟี (Radio Frequency) ซึ่งวงจรขยายสัญญาณจะมีทั้งหมด 4 ชนิดคือ คลาส A คลาส B และ คลาส C โดยที่แต่ละคลาสจะให้ผลการตอบสนองต่างกันเมื่อทำการออกแบบที่มีคลาสต่างกัน เช่น คลาส B จะเป็นวงจรขยายกำลังงานแบบ

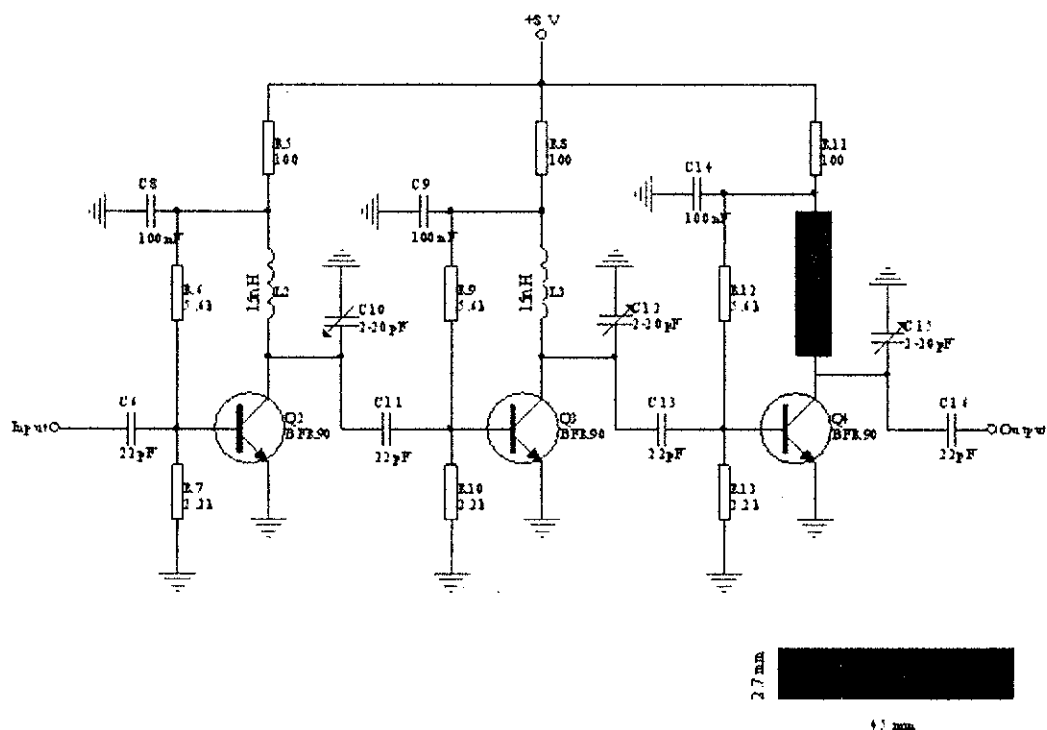
Balunc จะใช้มือต้องการกำลังงานในการส่งสัญญาณมากกว่า 100 วัตต์ชีนไป และ คลาส C จะใช้ในการส่งสัญญาณแบบอนามิคอกโดยจะใช้ทรานซิสเตอร์ควบคุมการทำงานของจรรยาด้วยสัญญาณคือวงจรจะทำงานเมื่อแรงดันตกคร่อมระหว่างขาเบสและอินิตเตอร์มีค่ามากกว่า 0.7 โวลต์ ส่วน คลาส A จะใช้ในการออกแบบและใช้งานในวงจรของเครื่องส่งสัญญาณอิเล็กทรอนิกส์ได้ดังต่อไปนี้

วงจรขยายกำลังงานคลาส A หรือเรียกอีกชื่อหนึ่งว่า Low Noise Amplifier (LNA) จะส่งสัญญาณแบบดิจิตอลเพราจะวงจรขยายกำลังงานคลาส A เป็นแบบไม่เป็นเชิงเส้น (Non-Linear) ซึ่ง จะใช้สำหรับรับสัญญาณจากสายอากาศ โดยการออกแบบนั้นจะทำการออกแบบทาง DC เมื่อทำการกำหนดให้ใช้ทรานซิสเตอร์เป็นวงจรขยายสัญญาณคลาส A จะใช้กระแสน้ำในการควบคุมการทำงาน

เมื่อกำหนดให้ $V_{cc} = 8 \text{ V}$

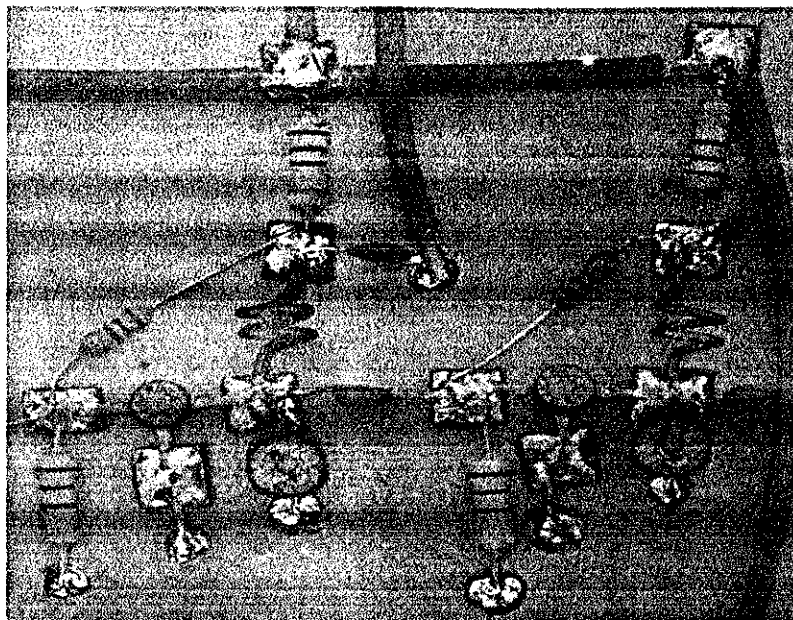
$F = 432 \text{ MHz}$

จากการออกแบบจะได้ค่าของตัวต้านทาน ตัวเหนี่ยวนำ และตัวเก็บประจุ เมื่อนำมาเข้ากับ วงจรที่ต่อ กับ ทรานซิสเตอร์ที่มีการแมตช์ของสายที่ความต้านทาน 50 โอห์ม จะได้วงจรที่สามารถนำไปใช้งานจริงได้ดังรูปที่ 4.9



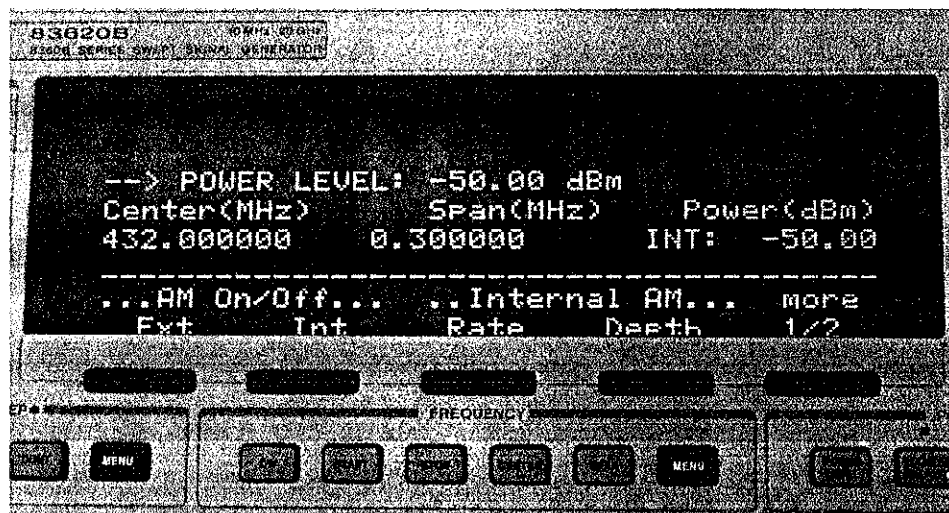
รูปที่ 4.8 แสดงวงจรขยายกำลังงานที่ได้จากการออกแบบ

เมื่อทำการประกอบตัวต้านทาน ตัวเหนี่ยวนำ และตัวเก็บประจุลงบนบอร์ดแล้ว จะได้วงจร จริงสำหรับนำไปใช้งานโดยที่จะนำวงจรที่ออกแบบไว้ไปต่อ กัน (Cascades) เป็น 2 สเต็ป เพื่อให้ ได้กำลังงานสูงขึ้นดังรูปที่ 4.9

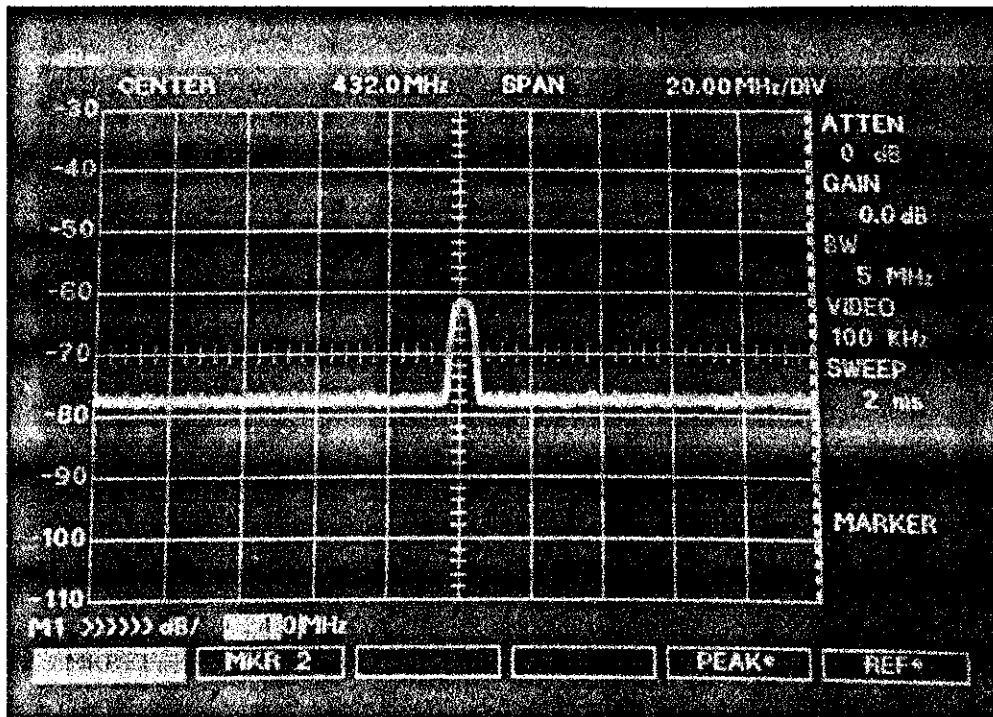


รูปที่ 4.9 วงจรขยายกำลังงานที่ใช้งานจริง

เมื่อนำงจรจริงไปทดสอบด้วยเครื่องวัดสเปกตรัมอนาคติเซอร์ที่ความถี่ 432 MHz ได้ผลจากการทดสอบวงจรขยายกำลังงานดังต่อไปนี้



รูปที่ 4.10 เครื่องกำเนิดสัญญาณ

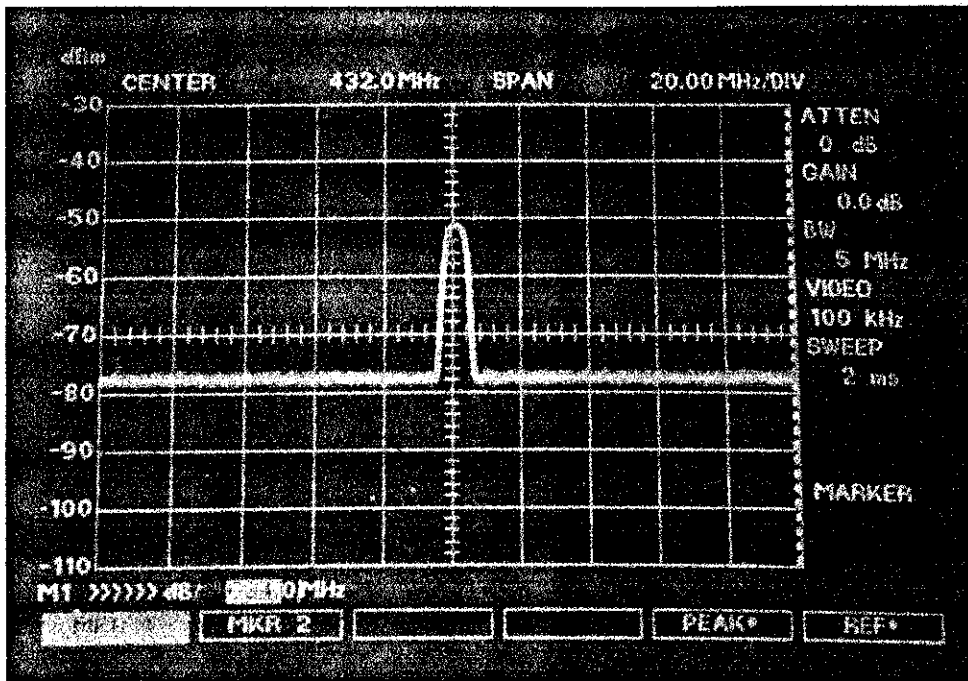


รูปที่ 4.11 สัญญาณที่วัดได้โดยการปรับเทียบจากแหล่งกำเนิดสัญญาณ

1. ขั้นตอนการวัดวงจรขยายกำลังงาน

- 1) ทำการต่อแหล่งจ่ายไฟและแหล่งกำเนิดสัญญาณความถี่เข้าที่วงจรขยายกำลังงาน
- 2) ต่อสัญญาณเอาต์พุตของวงจรขยายกำลังงานเข้ากับเครื่องวัดสเปกตรัมอนาล็อก เชอร์
- 3) ทำการปรับเทียบ (Calibrate) สัญญาณระหว่างกำลังงานจากเครื่องกำเนิดสัญญาณ (รูปที่ 4.10) กับกำลังงานจากวงจรที่เครื่องวัดสเปกตรัมอนาล็อก เชอร์ (รูปที่ 4.11)
- 4) ทำการวัดสัญญาณของวงจรขยายกำลังงาน ซึ่งถ้ายังได้กำลังงานไม่มากพอสามารถทำการปรับค่าตัวเกินประจุของวงจรได้
- 5) ถ้าได้กำลังงานที่ต้องการแล้วทำการถ่ายรูปผลการทดสอบ

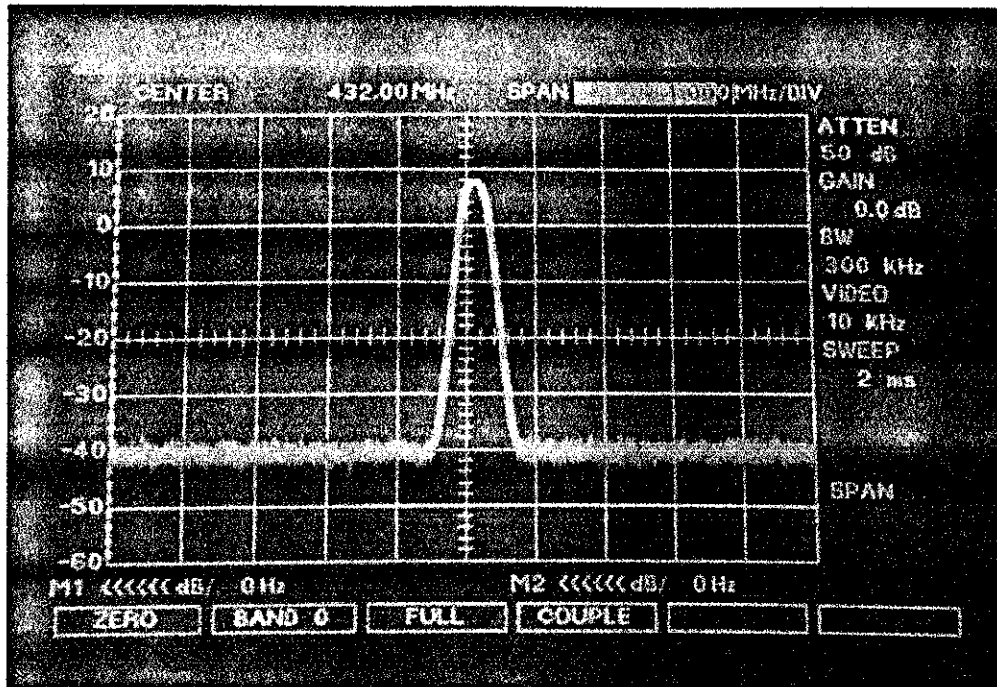
2. ผลการวัดของวงจรขยายกำลังงาน



รูปที่ 4.12 สัญญาณที่วัดได้จากการจรวจขยายกำลังงาน

จากรูปที่ 4.10 เป็นเครื่องกำเนิดสัญญาณให้กับวงจรเพื่อนำไปเปรียบเทียบกับเอาต์พุตคือสัญญาณที่ได้ออกมาจากสเปกตรัมอนาคตเชอร์จะเห็นว่าเมื่อความแรงของสัญญาณที่ทำการปรับเทียบจากเครื่องกำเนิดสัญญาณที่ -50 dBm แต่จากรูปที่ 4.11 จะเห็นว่าสัญญาณมีความแรงเพียง -60 dBm แสดงให้เห็นว่าสัญญาณเกิดการสูญเสียในสายนำสัญญาณทำให้สัญญาณเกิดการลดลงไปถึง 10 dBm

และจากรูปที่ 4.11 เป็นการทดสอบวัดสัญญาณจากวงจรที่ได้ทำการทดสอบไปคือ วงจรขยายกำลังงานจะขยายกำลังงานให้ได้ความแรงเพิ่มขึ้น 10 dBm



รูปที่ 4.13 ผลการทดสอบของรบขยายกำลังงานที่ความถี่ 432 MHz

3. สรุปผลการวัดของรบขยายกำลังงาน

จากผลการตอบสนองของวงจรขยายกำลังงานที่ความถี่ 432 MHz สัญญาณจะมีความแรงอยู่ที่ความถี่ที่ได้ออกแบบไว้ โดยที่จากการทดสอบของรบขยายกำลังงานไปต่อ กัน (Cascades) เป็น 2 สเตตร จะให้ความแรงของสัญญาณที่ +10 dBm ซึ่งกำลังงานที่ได้อ้างเกิดอาจมีค่าน้อยเนื่องมาจากการเกิดการสูญเสียในสายนำสัญญาณ ซึ่งจะให้กำลังงาน 200 mW (+23 dBm) ให้ผลดังรูปที่ 4.13 ซึ่งแสดงว่าจากการทดสอบของรบขยายกำลังงานที่ได้จากรูปที่ 4.13 นั้นเป็นสัญญาณคลื่นพาห์ (Carrier) ทั้งหมดที่ใช้ในการส่งสัญญาณ

ต่อไปเป็นการออกแบบของรบขยายกำลังงานที่มีกำลังงานสูงขึ้นเป็น 30 วัตต์ โดยใช้การออกแบบวิธีการแมตช์อินพีเดนซ์ ซึ่งต้องใช้ทรานซิสเตอร์ถึง 3 ตัวเพื่อให้เครื่องส่งสามารถส่งสัญญาณที่มีกำลังงานเป็น 30 วัตต์ โดยทรานซิสเตอร์ที่ใช้ได้แก่ ทรานซิสเตอร์เบอร์ 2SC3020 เบอร์ 2SC3021 และเบอร์ 2SC2783 ซึ่งทรานซิสเตอร์แต่ละเบอร์จะให้กำลังงานแตกต่างกันไป โดยจะได้แสดงการออกแบบการหาค่าของตัวเก็บประจุและตัวเหนี่ยวนำดังนี้

ทรานซิสเตอร์เบอร์ 2SC3020 มีค่า $Z_{in} = 1.85-j1.35$ และ $Z_{out} = 7.0-j14$ ทำการคำนวณอัลตราที่ $Z_0 = 10$ โอมห้าจะได้ค่า $Z_{in} = 0.185 - j0.135$ และ $Z_{out} = 0.7 - j1.4$ จากการพิสูจน์ของ Z_{in} และ Z_{out} บนสมมิทชาร์ตรูปที่ 4.14 สามารถทำให้ทราบว่าอินพีเดนซ์ของวงจรเป็นแบบ L หรือ C แล้วทำการคำนวณหาค่า L และ C

ทางฝั่งอินพุต ได้ค่า $C_1 = -j5$, $C_2 = j0.63$ และ $L_1 = j1.485$

$$\text{อนุกรม } C_1; X_C Z_0 = \frac{1}{2\pi f c}$$

$$C = \frac{1}{2\pi f X_C Z_0}$$

$$C = \frac{1}{2\pi(432 \times 10^6)(5)(50)}$$

$$C = 1.47 \rho F$$

$$\text{ขنان } C_2; \frac{1}{X_C} Z_0 = \frac{1}{2\pi f c}$$

$$C = \frac{X_C}{2\pi f Z_0}$$

$$C = \frac{0.63}{2\pi(432 \times 10^6)(50)}$$

$$C = 4.64 \rho F$$

$$\text{อนุกรม } L_1; X_L Z_0 = 2\pi f L$$

$$L = \frac{X_L Z_0}{2\pi f}$$

$$L = \frac{(1.485)(50)}{2\pi(432 \times 10^6)}$$

$$L = 27.35 nH$$

ทางฝั่งเอาท์พุต ได้ค่า $C_3 = -j5$, $C_4 = j0.26$ และ $L_2 = j4$

$$\text{อนุกรม } C_3; X_C Z_0 = \frac{1}{2\pi f c}$$

$$C = \frac{1}{2\pi f X_C Z_0}$$

$$C = \frac{1}{2\pi(432 \times 10^6)(5)(50)}$$

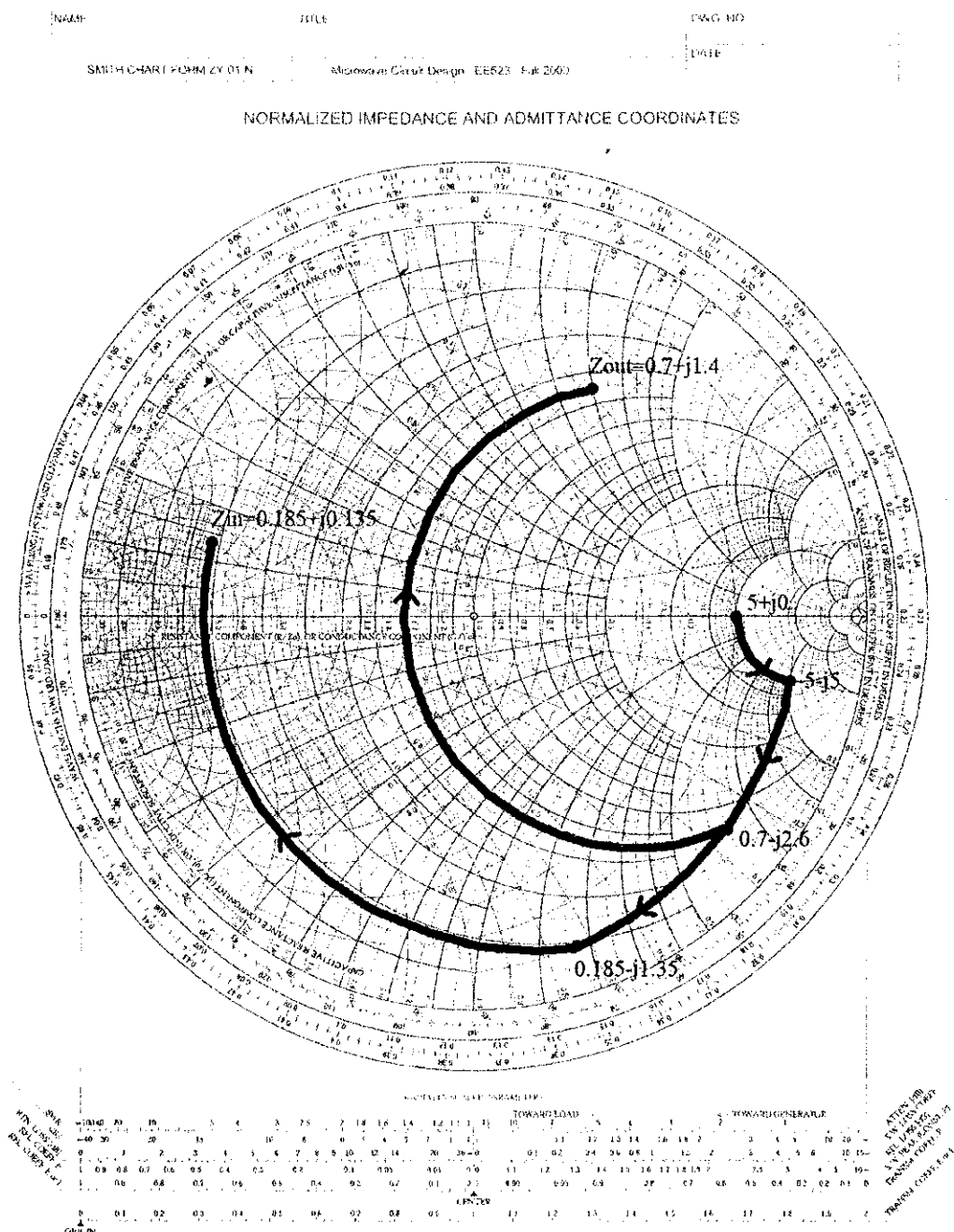
$$C = 1.47 \rho F$$

$$\text{ขنان } C_4; C = \frac{X_C}{2\pi f Z_0} = \frac{0.26}{2\pi(432 \times 10^6)(50)}$$

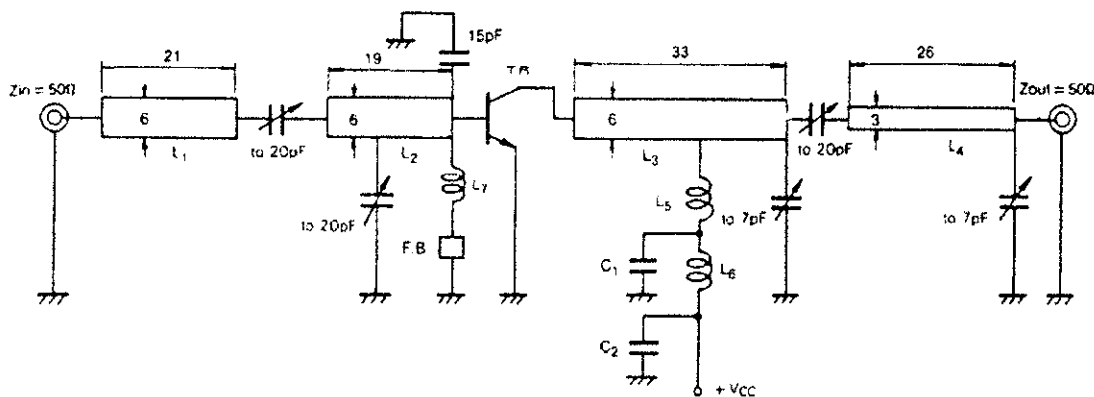
$$C = 1.92 \rho F$$

$$\text{อนุกรม } L_2; L = \frac{X_L Z_0}{2\pi f} = \frac{4(50)}{2\pi(432 \times 10^6)}$$

$$L = 73.68 nH$$

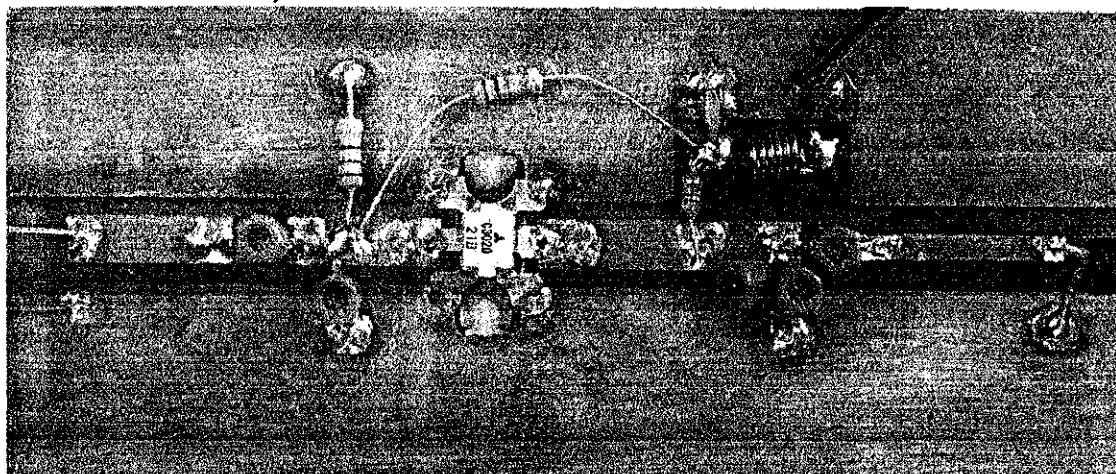


รูปที่ 4.14 การพล็อตค่าของอินพีเดนซ์บันส์วิชาร์ตของทรานซิสเตอร์เบอร์ 2SC3020



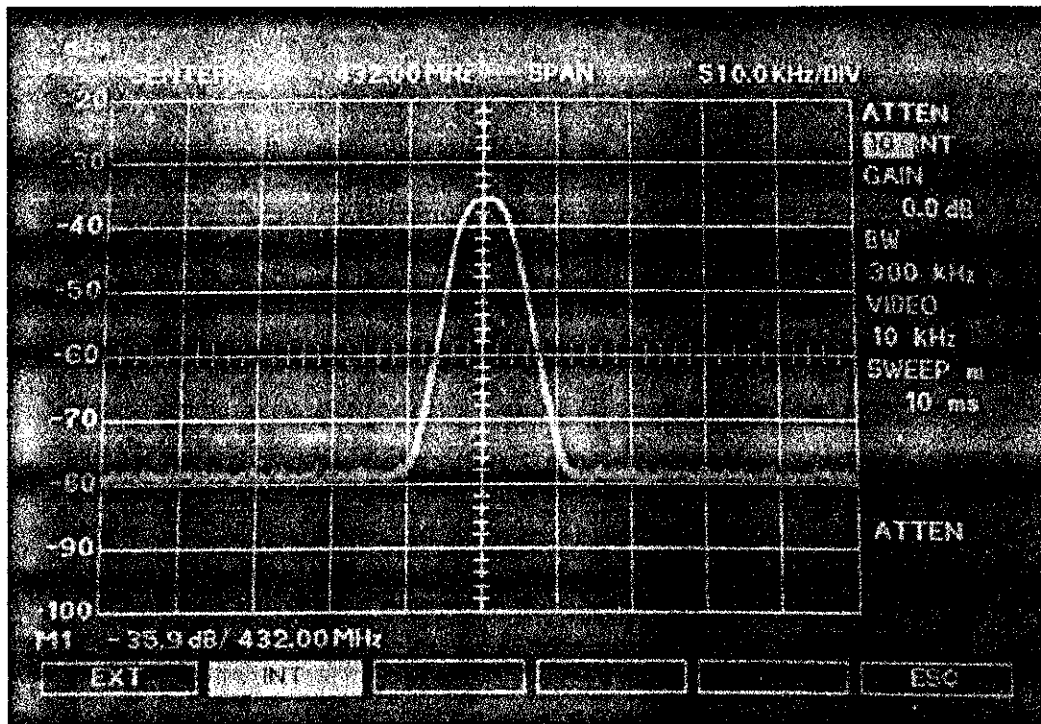
รูปที่ 4.15 วงจรขยายกำลังงานที่ได้จากการออกแบบของทรานซิสเตอร์เบอร์ 2SC3020

จะได้วงจรขยายกำลังงานที่ใช้สำหรับการวัดและใช้งานจริง



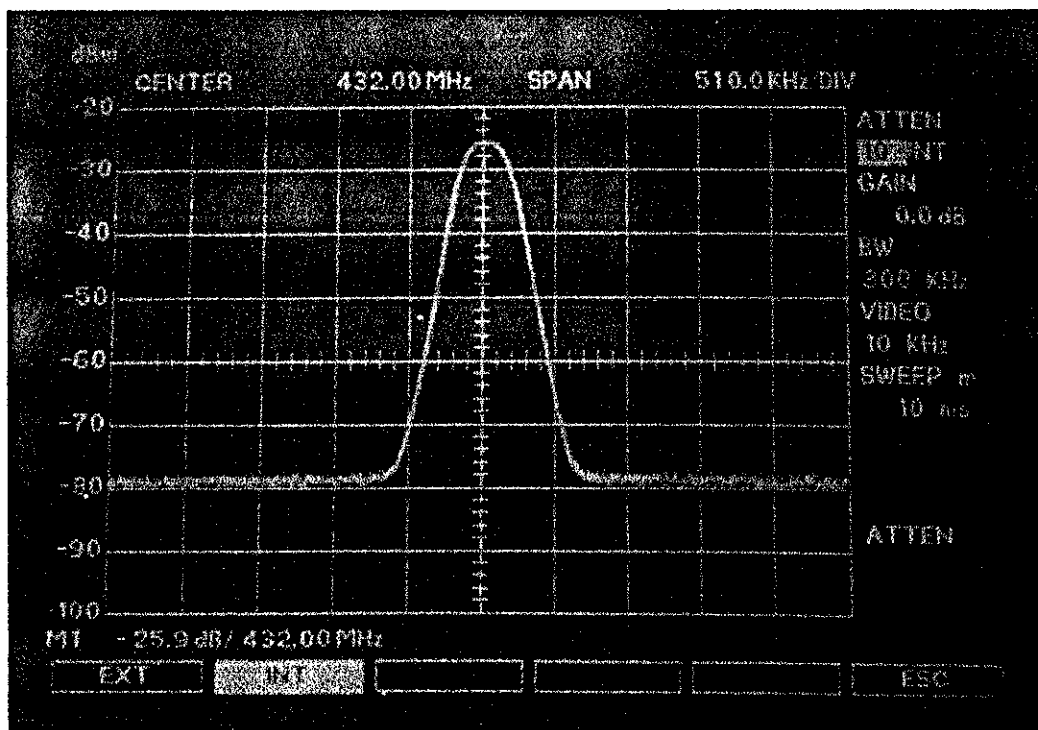
รูปที่ 4.16 วงจรขยายกำลังงานที่ใช้งานจริง มีอัตราขยาย 10 dB

สำหรับขั้นตอนการวัดวงจรขยายกำลังงานแต่ละวงจรจะมีการวัดเหมือนกัน แต่จะทำการเปรียบเทียบ (Calibrate) สัญญาณที่มีอัตราขยาย ที่ -36.2 dB ดังแสดงในรูปที่ 4.17



รูปที่ 4.17 แสดงการเปลี่ยนเทียบสัญญาณก่อนการวัดวงจรขยายกำลังงาน

ผลการวัดวงจรขยายกำลังงาน



รูปที่ 4.18 แสดงการวัดวงจรขยายกำลังงานของทรานซิสเตอร์เบอร์ 2SC3020

จากรูปที่ 4.18 วงจรขยายกำลังงานที่ได้ทำการวัดแล้วจะให้ค่าอัตราการขยายของกำลังงานเป็น 10 dB ซึ่งอัตราขยายกำลังงานที่ได้นี้ยังไม่พอเพียงสำหรับกำลังงานที่ต้องการส่งจึงต้องทำวงจรขยายกำลังงานขึ้นมาอีกสองสเต็ปเพื่อให้มีกำลังงานเป็น 30 วัตต์

ทรานซิสเตอร์เมอร์ 2SC3021 มีค่า $Z_{in} = 2.2 + j3.1$ และ $Z_{out} = 6 + j1$ ทำการนอร์มอดไลท์ที่ $Z_0 = 10$ โอมห้ามได้ค่า $Z_{in} = 0.22 + j0.31$ และ $Z_{out} = 0.6 + j0.1$ จากการพลีตจุดของ Z_{in} และ Z_{out} บนสมินทราร์ตรูปที่ 4.19 สามารถทำให้ทราบว่าอิมพีเดนซ์ของวงจรเป็นแบบ L หรือ C แล้วทำการคำนวณหาค่า L และ C

ทางผิวอินพุตได้ค่า $C_1 = -j5$, $C_2 = j0.55$ และ $L_1 = j1.29$

$$\begin{aligned} \text{อนุกรม } C_1; \quad X_C Z_0 &= \frac{1}{2\pi f c} \\ C &= \frac{1}{2\pi f X_C Z_0} \\ C &= \frac{1}{2\pi (432 \times 10^6)(5)(50)} \\ C &= 1.47 \rho F \end{aligned}$$

$$\begin{aligned} \text{ขนาด } C_2; \quad \frac{1}{X_C} Z_0 &= \frac{1}{2\pi f c} \\ C &= \frac{X_C}{2\pi f Z_0} \\ C &= \frac{0.55}{2\pi (432 \times 10^6)(50)} \\ C &= 4.05 \rho F \end{aligned}$$

$$\text{อนุกรม } L_1; \quad L = \frac{X_L Z_0}{2\pi f} = \frac{1.29(50)}{2\pi (432 \times 10^6)}$$

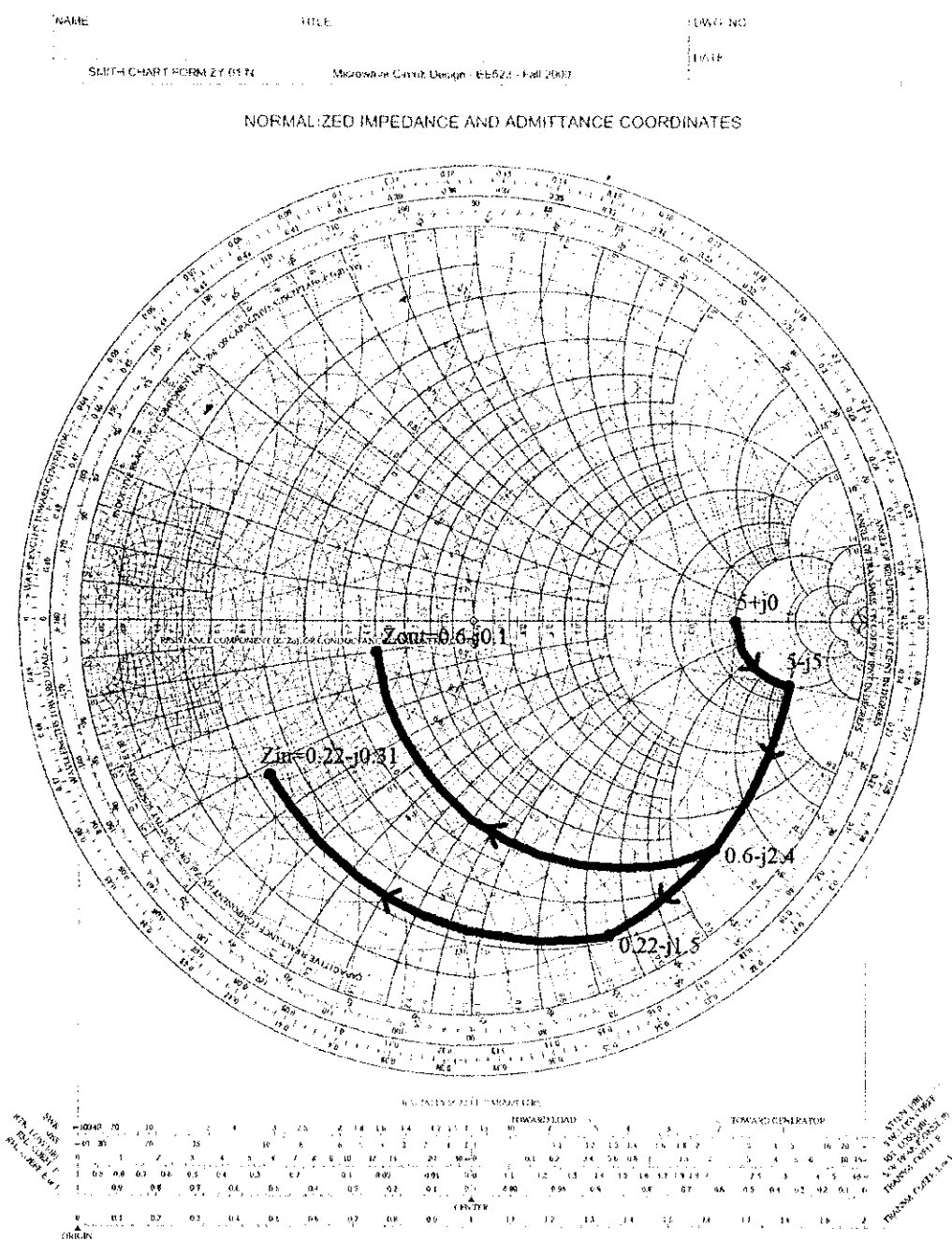
$$L = 23.76 nH$$

ทางผิวเข้าที่พุตได้ค่า $C_3 = -j5$, $C_4 = j0.3$ และ $L_2 = j2.3$

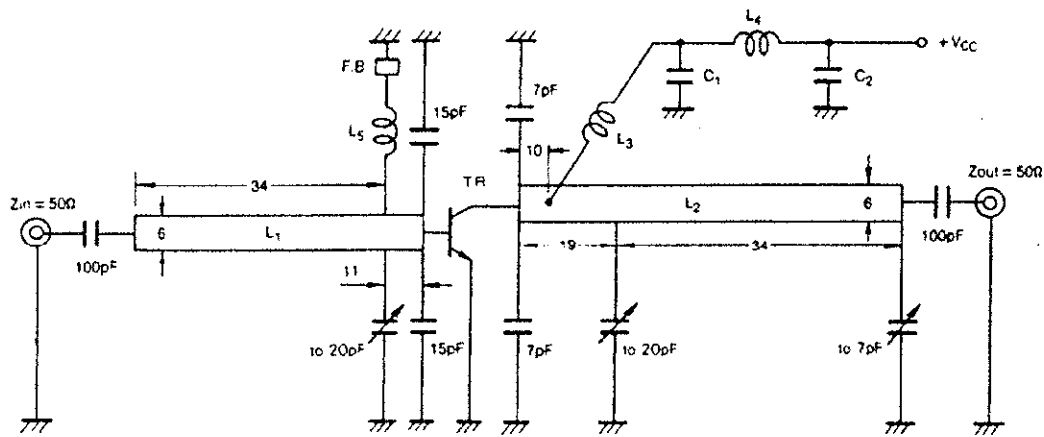
$$\begin{aligned} \text{อนุกรม } C_3; \quad X_C Z_0 &= \frac{1}{2\pi f c} \\ C &= \frac{1}{2\pi f X_C Z_0} \\ C &= \frac{1}{2\pi (432 \times 10^6)(5)(50)} \\ C &= 1.47 \rho F \\ \text{ขนาด } C_4; \quad C &= \frac{X_C}{2\pi f Z_0} = \frac{0.3}{2\pi (432 \times 10^6)(50)} \\ C &= 2.21 \rho F \end{aligned}$$

$$\text{อนุกรม } L_2; \quad L = \frac{X_L Z_0}{2\pi f} = \frac{2.3(50)}{2\pi(432 \times 10^6)}$$

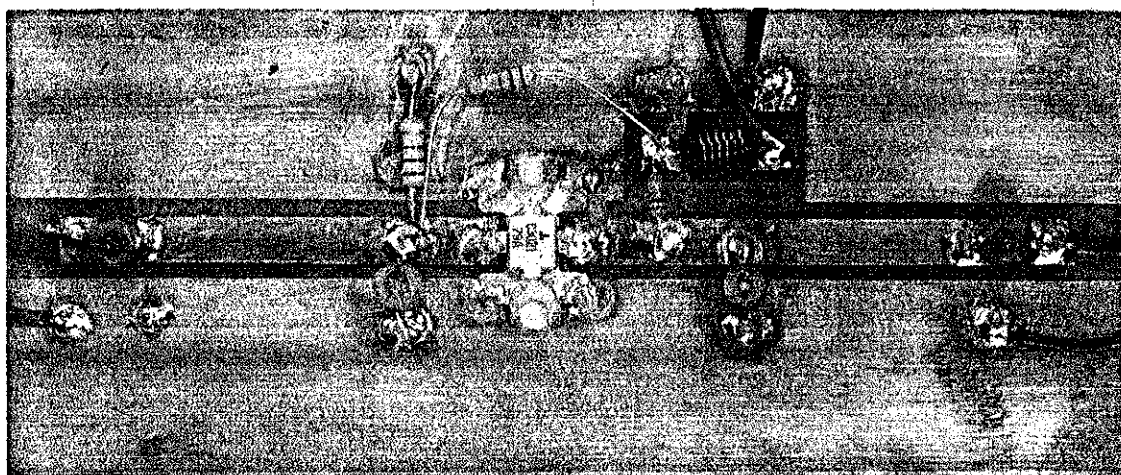
$$L = 42.36nH$$



รูปที่ 4.19 การผลีอตค่าของอิมพีเดนซ์บนสมินิชาร์ดของทรานซิสเตอร์เบอร์ 2SC3021



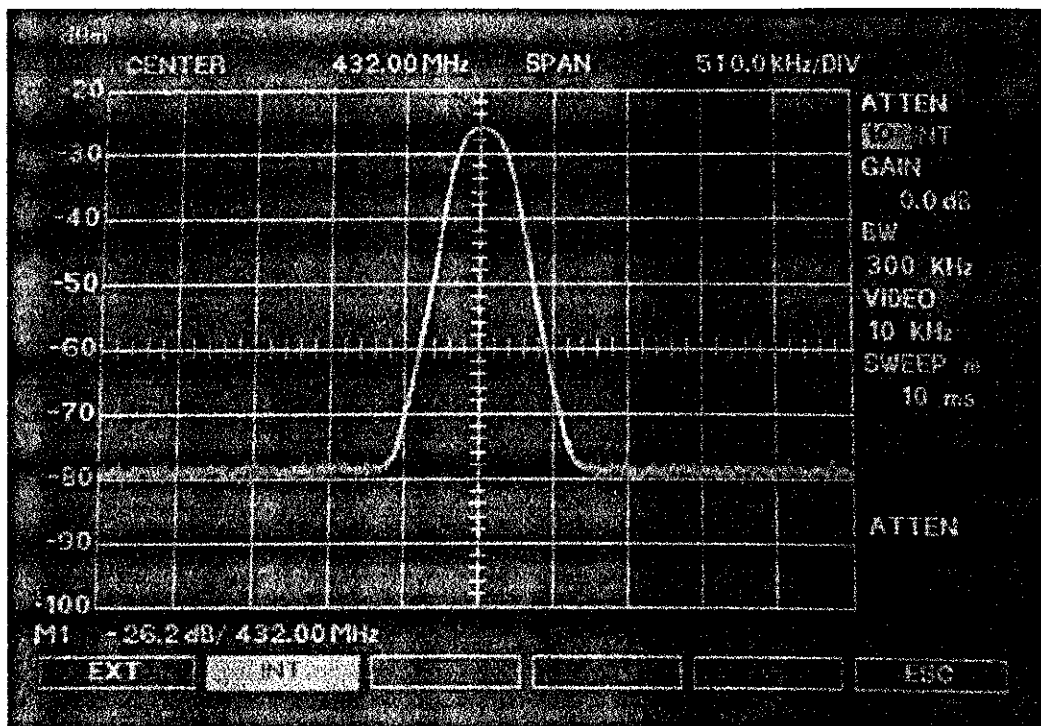
รูปที่ 4.20 วงจรขยายกำลังงานที่ได้จากการออกแบบของทราบชีสเตร์เบอร์ 2SC3021



รูปที่ 4.21 วงจรขยายกำลังงานที่ใช้งานจริง มีอัตราขยาย 9.7 dB

การวัดวงจรขยายกำลังงานของทราบชีสเตร์เบอร์ 2SC3021 จะใช้ค่าเปลี่ยนเที่ยบสัญญาณค้างรูปที่ 4.17 เมื่อนองจรที่ผ่านมา

ผลการวัดวงจรขยายกำลังงาน



รูปที่ 4.22 แสดงการวัดวงจรขยายกำลังงานของทรานซิสเตอร์เบอร์ 2SC3021

จากรูปที่ 4.22 วงจรขยายกำลังงานที่ได้ทำการวัดแล้วจะให้ค่าอัตราการขยายของกำลังงานเป็น 9.6 dB ซึ่งอัตราขยายกำลังงานที่ได้นี้ยังไม่พอเพียงสำหรับกำลังงานที่ต้องการส่งจึงต้องทำวงจรขยายกำลังงานขึ้นมาอีกหนึ่งสเตตรเพื่อให้มีกำลังงานเป็น 30 วัตต์ (+44.7 dBm)

ทรานซิสเตอร์เบอร์ 2SC2783 มีค่า $Z_{in} = 3 + j3.2$ และ $Z_{out} = 1.7 + j4.7$ ทำการนอร์มอลไลท์ที่ $Z_0 = 10 \Omega$ ให้ค่า $Z_{in} = 0.3 + j0.32$ และ $Z_{out} = 0.17 + j0.47$ ทำการพลีตจุดของ Z_{in} และ Z_{out} บนสมิทธาร์ตูปที่ 4.23 สามารถทำให้ทราบว่าอินพีเดนซ์ของวงจรเป็นแบบ L หรือ C แล้วทำการคำนวณหาค่า L และ C

ทางฝั่งอินพุต ให้ค่า $C_1 = -j5$, $C_2 = j0.47$ และ $L_1 = j1.38$

$$\text{อนุกรณ์ } C_1; X_C Z_0 = \frac{1}{2\pi f c}$$

$$C = \frac{1}{2\pi f X_C Z_0}$$

$$C = \frac{1}{2\pi (432 \times 10^6)(5)(50)}$$

$$C = 1.47 \mu F$$

$$\text{ขนาด } C_2; \quad \frac{1}{X_C} Z_0 = \frac{1}{2\pi f c}$$

$$C = \frac{X_C}{2\pi f Z_0}$$

$$C = \frac{0.47}{2\pi(432 \times 10^6)(50)}$$

$$C = 3.46 \mu F$$

$$\text{อนุกรม } L_1; \quad L = \frac{X_L Z_0}{2\pi f} = \frac{1.38(50)}{2\pi(432 \times 10^6)}$$

$$L = 25.42 nH$$

ทางฝั่งເລົາທີ່ພຸດໄດ້ຄ່າ $C_3 = -j5$, $C_4 = j0.66$ และ $L_2 = j0.83$

$$\text{อนุกรม } C_3; \quad X_C Z_0 = \frac{1}{2\pi f c}$$

$$C = \frac{1}{2\pi f X_C Z_0}$$

$$C = \frac{1}{2\pi(432 \times 10^6)(5)(50)}$$

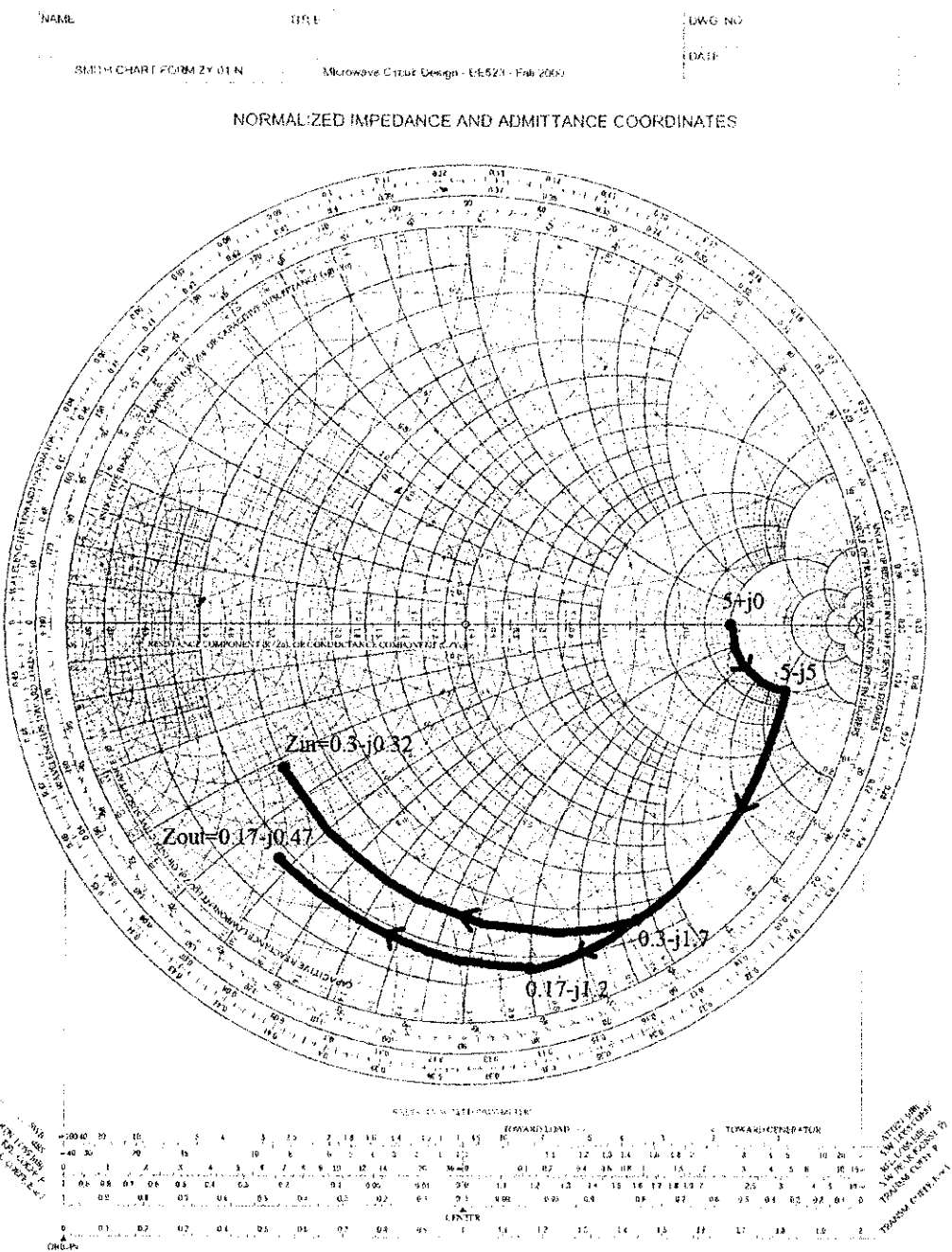
$$C = 1.47 \mu F$$

$$\text{ขนาด } C_4; \quad C = \frac{X_C}{2\pi f Z_0} = \frac{0.66}{2\pi(432 \times 10^6)(50)}$$

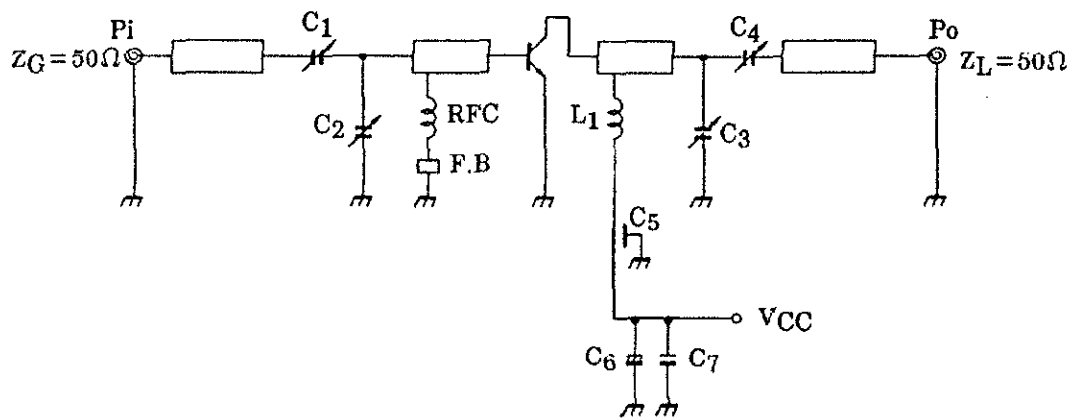
$$C = 4.86 \mu F$$

$$\text{อนุกรม } L_2; \quad L = \frac{X_L Z_0}{2\pi f} = \frac{0.83(50)}{2\pi(432 \times 10^6)}$$

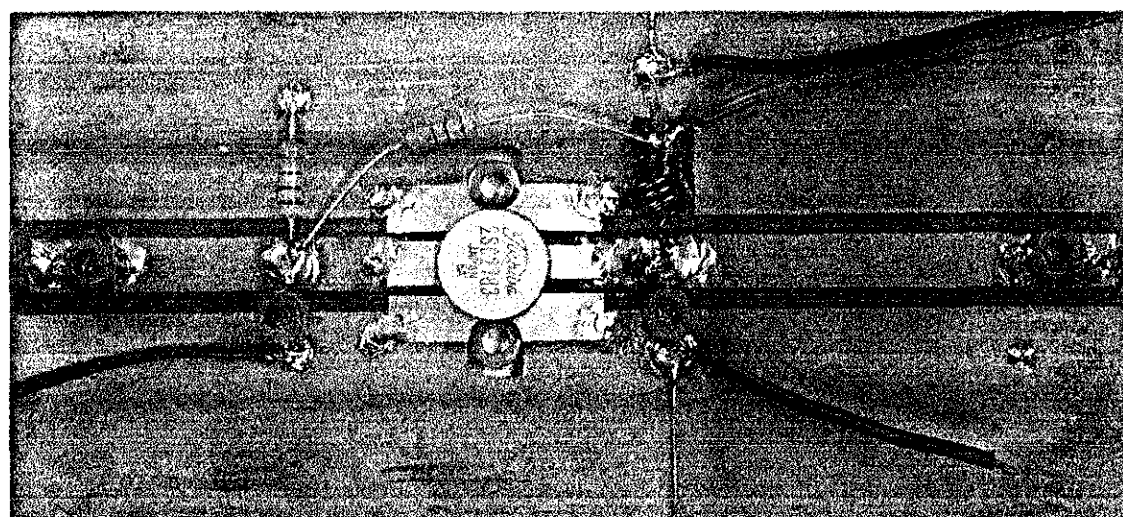
$$L = 15.28 nH$$



รูปที่ 4.23 การพลีอตค่าของอินพีเดนซ์บันสมิทชาร์ตของทรานซิสเตอร์เบอร์ 2SC2783



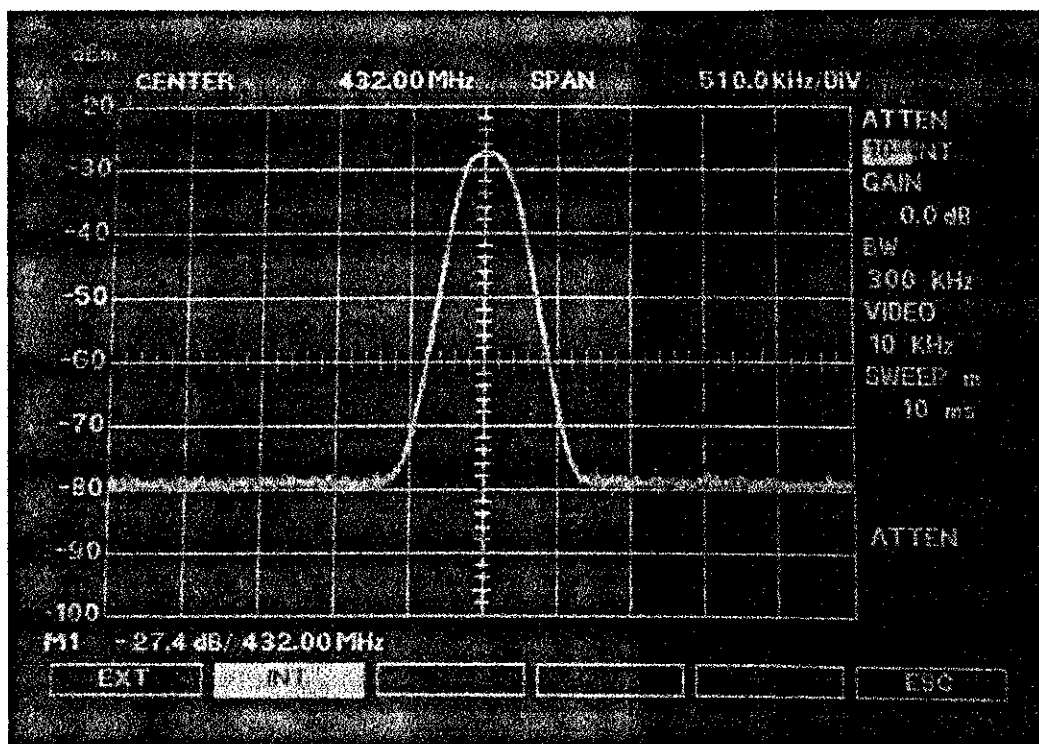
รูปที่ 4.24 วงจรขยายกำลังงานที่ได้จากการออกแบบของทราบชีสเตร์เบอร์ 2SC2783



รูปที่ 4.25 วงจรขยายกำลังงานที่ใช้งานจริง มีอัตราขยาย 8.5 dB

การวัดวงจรขยายกำลังงานของทราบชีสเตร์เบอร์ 2SC2783 จะใช้ค่าเปรียบเทียบสัญญาณ ดังรูปที่ 4.17 เมื่อนองวงจรที่ผ่านมา

ผลการวัดวงจรขยายกำลังงาน



รูปที่ 4.26 แสดงการวัดวงจรขยายกำลังงานของทรานซิสเตอร์เบอร์ 2SC2783

จากรูปที่ 4.20 วงจรขยายกำลังงานที่ได้ทำการวัดแล้วจะให้ค่าอัตราการขยายของกำลังงานเป็น 8.5 dB ซึ่งอัตราขยายกำลังงานที่ได้นี้ เมื่อนำไปทำการเชื่อมต่อกัน (Cascades) ทั้งสามสเต็ป แต่ละนำไปเชื่อมต่อกันอีกสองสเต็ปที่ได้ทำการวัดก่อนหน้านี้ก็จะได้กำลังงานเป็น 30 วัตต์ ซึ่งเป็นกำลังงานตามที่ต้องการ

4.5 วงจรกรอง(Filter)

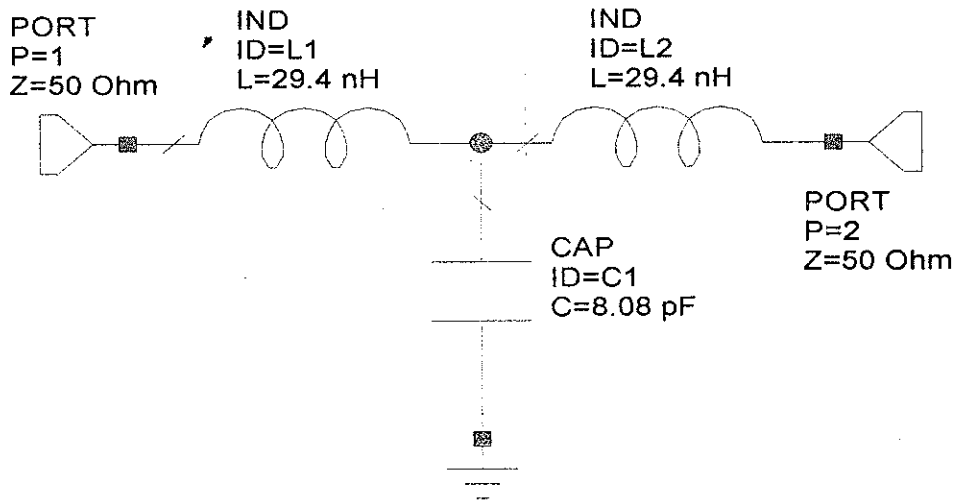
ในการออกแบบวงจรกรองสัญญาณ (Filter) จากรวงจรของ RF Circuit (Radio Frequency Circuit) นั้นสำคัญมากจะต้องคำนึงถึงความถี่ที่ต้องการ (Cut-off Frequency) ซึ่งในการออกแบบครั้งนี้จะใช้วิธีการออกแบบโดย Chebyshev โดยใช้ความถี่คัดออฟเป็นตัวกำหนดในการสร้างฟิลเตอร์ และจะต้องคำนึงถึงค่าของตัวเหนี่ยวนำและตัวเก็บประจุ ในที่นี้ต้องการใช้เพียงฟิลเตอร์แบบวงจรกรองสัญญาณช่วงความถี่ผ่าน (Band Pass Filter) เท่านั้นซึ่งสามารถอธิบายได้ดังนี้

เมื่อออกแบบ Low Pass แล้วจะถูกเปลี่ยนรูปไปเป็นการออกแบบ Band Pass ซึ่งสัดส่วนของย่านความถี่การลดตอนจะคล้ายกัน ซึ่งหมายถึง Low Pass Filter ที่ความถี่คัดออฟ 3-dB หรือย่านความถี่ 2 kHz จะเปลี่ยนไปเป็น Band Pass Filter ที่ 3-dB ย่านความถี่ 2 kHz

ต้องการใช้วงจรกรองย่านความถี่ผ่านที่ใช้ความถี่คัดออกฟที่ 432 MHz และใช้ช่วงย่านความถี่ 422 – 432 MHz ซึ่งมีย่านความถี่ (3 dB) = $f_2 - f_1 = 432 - 422 = 10$ MHz หากวงจรของ Low Pass Filter

เมื่อกำหนดให้ $N = 3$ จะใช้วิธีการออกแบบโดย Chebyshev 1.0 dB Ripple ที่มีความต้านทานของแหล่งกำเนิดและความต้านทานของโหลดที่เท่ากัน 50 Ω ห้าม เมื่อทำการนอร์มอลไลท์ ความต้านทานของแหล่งกำเนิดและความต้านทานของโหลดเป็น

$$\frac{R_s}{R_L} = 1$$



รูปที่ 4.27 วงจร Low Pass Filter ที่ได้จากการออกแบบ

เมื่อออกแบบวงจร Low Pass Filter แล้วสามารถนำมาประยุกต์ใช้เป็น Band Pass Filter ที่มีความถี่คัดออกฟที่ 432 MHz โดยใช้วิธีการออกแบบ Chebyshev คำนวณหาค่าต่าง ๆ ในวงจรได้จากสูตรและการใช้ตาราง Chebyshev จะแบ่งการคำนวณเป็นสองส่วนคือ ส่วนอนุกรมและส่วนขนาดคั่งนี้

ส่วนอนุกรม

$$C = \frac{BW_{3dB}}{2\pi f_c^2 C_n R_L}$$

$$L = \frac{R_L L_n}{2\pi (BW_{3dB})}$$

ส่วนขยาย

$$C = \frac{C_n}{2\pi R_L (\text{BW}_{3dB})}$$

$$L = \frac{R_L (\text{BW}_{3dB})}{2\pi f_c^2 L_n}$$

ค่าที่ได้จากการคำนวณเมื่อต้องการค่าจากตาราง Chebyshev ของ C_n และ L_n ที่ 1.0 dB Ripple

$$C_1 = C_3 = L_1 = L_3 = 2.216$$

$$C_2 = L_2 = 1.088$$

ส่วนอนุกรม

$$C_1 = \frac{(10 \times 10^6)}{(2\pi)(432 \times 10^6)^2(2.216)(50)} = 0.086 \text{ pF}$$

$$L_1 = \frac{(50)(2.216)}{(2\pi)(10 \times 10^6)} = 1610.32 \text{ nH}$$

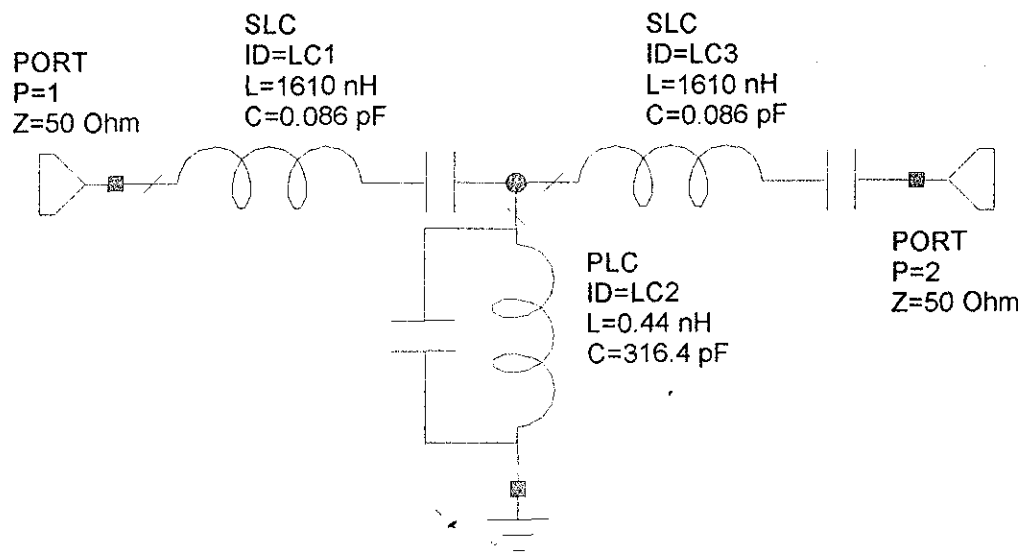
$$C_3 = \frac{(10 \times 10^6)}{(2\pi)(432 \times 10^6)^2(2.216)(50)} = 0.086 \text{ pF}$$

$$L_3 = \frac{(50)(2.216)}{(2\pi)(10 \times 10^6)} = 1610.32 \text{ nH}$$

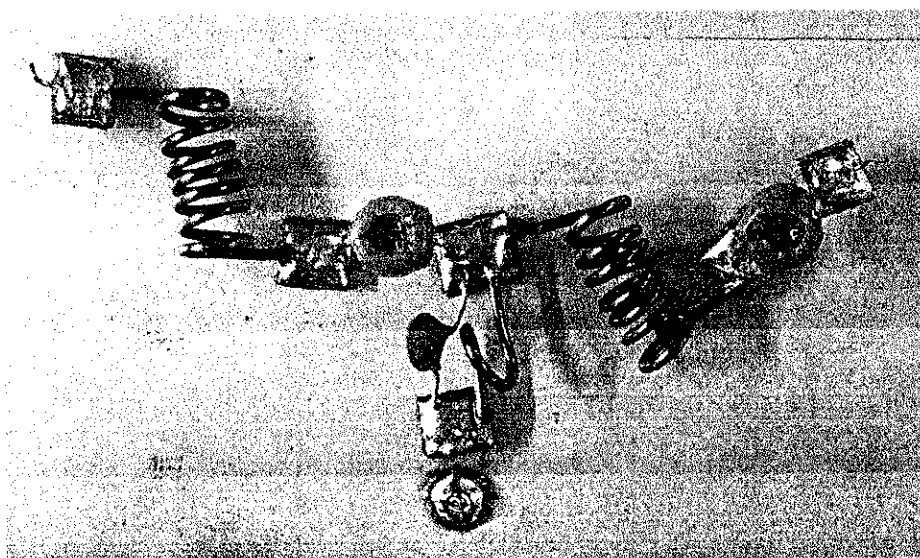
ส่วนขยาย

$$C2 = \frac{1.088}{(2\pi)(50)(10 \times 10^6)} = 316.43 \text{ pF}$$

$$L_2 = \frac{(50)(10 \times 10^6)}{(2\pi)(432 \times 10^6)^2(1.088)} = 0.439 \text{ nH}$$



รูปที่ 4.28 วงจร Band Pass Filter ที่ได้จากการออกแบบ



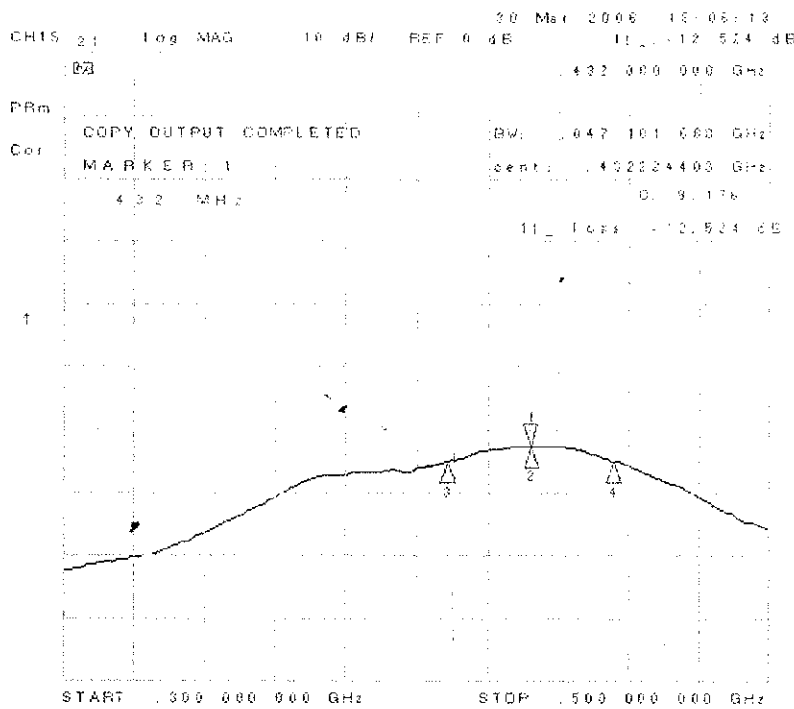
รูปที่ 4.29 วงจร Band Pass Filter ที่ใช้งานจริง

1.ขั้นตอนการวัดวงจรกรอง

- 1). ต่อวงจรกรองเข้ากับเครื่องวัดเน็ตเวิร์ค (Network Analyzer) แบบ 2 พอร์ท
- 2). ทำการวัดสัญญาณที่ความถี่ต่าง ๆ เพื่อทดสอบวงจรกรอง
- 3). ถ้าได้วงจรกรองที่ความถี่ที่ต้องการแล้วทำการบันทึกผล

2. ผลการวัดคงจรรยาบรรณ

ภาพแสดงผลจากการวัดที่ความถี่ต่าง ๆ จากเครื่องวัดสเปกตรัมอนาคติโอร์



รูปที่ 4.30 ผลการทดสอบการทำงานของกรองสัญญาณ

3. สรุปผลการวัดคงحرกรอง

จากผลการตอบสนองของวงจร Band Pass Filter ที่ย่านความถี่ 422 MHz – 432 MHz ตัวอย่างจะมีความแรงอยู่ในช่วงความถี่ที่ได้ออกแบบไว้ ซึ่งมีแนวค์วิทในการทำงานเป็น 47 MHz แล้วจะทำการตัดความถี่นอกเหนือจากย่านความถี่ที่ต้องการออกไปซึ่งให้ผลดังรูปที่ 4.16

4.6 สรุป

จากรูปวงจรแต่ละส่วนที่ได้ออกแบบด้วยการคำนวณมือ โดยให้มีความต้านทาน 50 โอห์ม
เท่ากับสายนำสัญญาณ เพื่อทดสอบคุณสมบัติต่างๆ ของวงจรกรองสัญญาณ วงจรขยายสัญญาณ
วงจรแหล่งกำเนิดสัญญาณ และวงจรในส่วนของการแยกช่องสัญญาณเป็นสองช่องสัญญาณ
(Stereo Encoder) ซึ่งพบว่าค่าที่ได้จากการทดสอบค่อนข้างเป็นไปตามทฤษฎีที่ได้ศึกษามา ซึ่ง
คุณสมบัติของวงจรทั้งหมดคังกล่าวสามารถนำไปสร้างเครื่องส่งสัญญาณวิทยุอิเล็กทรอนิกส์
มัลติเพล็กส์ได้อย่างมีประสิทธิภาพ

บทที่ 5

บทสรุปและข้อเสนอแนะ

5.1 บทสรุป

โครงการนี้ได้ศึกษาเกี่ยวกับระบบการทำงานของระบบเครื่องส่งวิทยุอิเล็กทรอนิกส์ที่มีกำลังงานในการส่งสัญญาณ 30 วัตต์ ซึ่งปัจจุบันนี้ได้มีใช้กันอย่างแพร่หลายในชุมชนนั้นคือวิทยุชุมชนที่มีใช้ในหลายพื้นที่ โดยทางผู้จัดทำโครงการได้ศึกษาเกี่ยวกับระบบการทำงานของเครื่องส่งวิทยุอิเล็กทรอนิกส์ ตั้งแต่ส่วนประกอบต่างๆ ทั้งในส่วนของแหล่งกำเนิดสัญญาณ วงจรขยาย กำลังงาน และในส่วนของภาคสัมภาระ โดยได้ศึกษาถึงโครงสร้างและหลักการทำงานตลอดจนเทคนิคการส่งสัญญาณและการ modulation (Modulation)

โครงการสร้างระบบเครื่องส่งวิทยุอิเล็กทรอนิกส์เป็นการสร้างเพื่อนำไปใช้งานที่ความถี่ 432 MHz โดยทางผู้จัดทำโครงการได้ใช้คริสตอลที่ความถี่ 48 MHz (X-TAL 48 MHz) ออกแบบสำหรับเป็นตัวกำเนิดสัญญาณที่ได้ทำการทวีคูณความถี่จากความถี่ 48 MHz เป็นความถี่ที่ใช้งานคือความถี่ 432 MHz และทำการ modulation เขิงความถี่ (Frequency Modulation, FM) โดยที่ระบบเครื่องส่งวิทยุอิเล็กทรอนิกส์ทำการส่งข้อมูลแบบทางเดียว (Half Duplex) ซึ่งเครื่องส่งวิทยุอิเล็กทรอนิกส์ที่ทำการสร้างขึ้นสามารถนำไปใช้งานจริงได้อย่างมีประสิทธิภาพ

5.2 สิ่งที่ได้จากการจัดทำโครงการ

1. ได้รับความรู้เกี่ยวกับโครงสร้าง และส่วนประกอบของระบบเครื่องส่งวิทยุอิเล็กทรอนิกส์
2. ได้รับความรู้เกี่ยวกับพื้นฐานของระบบการส่งที่ย่านความถี่ใช้งานและเทคนิคการส่งข้อมูล
3. รู้จักการศึกษาค้นคว้าข้อมูลด้วยตนเอง
4. ได้รับความรู้เกี่ยวกับการทำงานของอุปกรณ์อิเล็กทรอนิกส์ต่างๆ
5. ได้รับความรู้ในการประกอบอุปกรณ์ต่างๆ และสามารถเลือกใช้อุปกรณ์ที่เหมาะสมในโครงการ
6. ทำให้สามารถนำความรู้ที่ได้รับจากการเรียนภาคทฤษฎีมาใช้ในการปฏิบัติจริง
7. ทำให้รู้จักการทำงานร่วมกับผู้อื่น
8. สามารถนำความรู้ที่ได้จากโครงการมาประยุกต์ใช้งานได้

5.3 ปัญหาและอุปสรรค

1. มีความรู้ในเรื่องข้อมูลของอุปกรณ์แต่ละตัวน้อยต้องทำการหาด้วยที่มาประกอบแต่ข้อมูลเป็นภาษาอังกฤษจึงต้องใช้เวลาในการศึกษานาน
2. ต้องใช้เวลาในการค้นคว้าเพื่อที่จะหาซื้อตัวแทนซิสเตอร์ลาราเบอร์
3. ใช้เวลาในการลองผิดลองถูกกับวงจรกำเนิดสัญญาณและวงจรขยายกำลังงานนานกว่าจะได้วงจรสมบูรณ์ที่สามารถนำไปใช้งานจริงได้
4. การเบิกจ่ายบประมาณค่อนข้างลำบากทำให้การทำงานช้าไปด้วย

5.4 ข้อจำกัดของโครงงาน

1. สามารถทำการส่งสัญญาณที่มีกำลังงานได้เพียง 30 วัตต์
2. ระบบเครื่องส่งวิทยุอฟเอ็มสเตอริโอสามารถส่งได้ที่ความถี่ 432 MHz เท่านั้น

5.5 ข้อเสนอแนะ

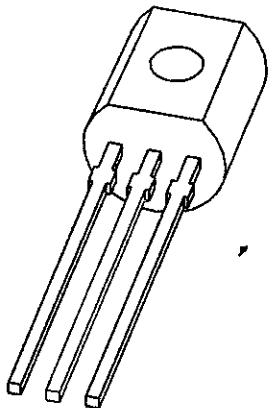
1. การออกแบบลายวงจรในการทำงานที่ความถี่สูง จะต้องมีเส้นลายวงจรที่มีความกว้าง ความยาว และ ความหนาตรงตามคุณสมบัติที่ต้องการอย่างแม่นยำ เพื่อลดปัญหาการเกิดค่าความเก็บประจุและความหนึ่งยวน้ำที่อาจเกิดขึ้นได้จากลายวงจร
2. ต้องทำการซิลเดอร์ราวด์เพื่อป้องกันสัญญาณรบกวนจากภายนอกที่จะไปมีผลกระทบต่อค่าความหนึ่งยวน้ำและทำให้เกิดการคลาดเคลื่อน (Shift) จากความถี่ที่ต้องการออกไปได้
3. ค่าตัวหนึ่งยวน้ำที่ใช้งานควรเป็นแบบที่ทำการกัดลายวงจรเป็นแบบสติ๊กปีโน่ ในกรณีของวงจรขยายกำลังงานที่ใช้งานในกรณีที่ความถี่สูง

บรรณานุกรม

- [1] ประดิษฐ์ วัชรพิบูลย์, เครื่องส่งวิทยุและโทรทัศน์, Japan International Cooperation Agency: JICA, TOKYO, 1995
- [2] Peter B.Kenington, High - Linearity RF Amplifier Design, Artech House, London, 2000
- [3] Devendra K.Misra, Radio – Frequency and Microwave Communication Circuit, 2nd Edition, Wiley – Interscience, USA, 2004
- [4] Mariusz T, Introduction to FM Transmitters, from http://electronics-diy.com/electronic_schematics_for_hobbyists/introduction_to_fm_transmitters, 2005
- [5] เศรี, ออกแบบสร้างเครื่องส่ง FM Stereo Multiplex, from <http://saltnglight.e.com/ham.htm>, 2005
- [6] Advance Engineering Group, อิเล็กทรอนิกส์เบื้องต้น, พิสิกส์เซนเตอร์, 2538

ଗାଁ କାହାରେ ପାଇଲା

DATA SHEET



BF199 NPN medium frequency transistor

Product specification

1997 Jul 07

Supersedes data of September 1994

© under Discrete Semiconductors, SC04

PN medium frequency transistor

BF199

URES

current (max. 25 mA)

voltage (max. 25 V).

ICATIONS

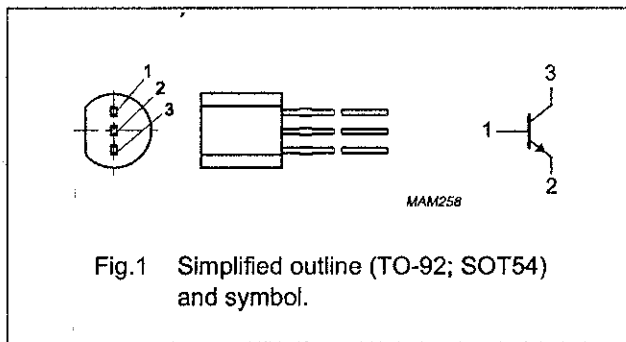
put stage of a vision IF amplifier.

SCRIPTION

medium frequency transistor in a TO-92; SOT54
package.

PINNING

| PIN | DESCRIPTION |
|-----|-------------|
| 1 | base |
| 2 | emitter |
| 3 | collector |

Fig.1 Simplified outline (TO-92; SOT54)
and symbol.

REFERENCE DATA

| BOL | PARAMETER | CONDITIONS | MIN. | TYP. | MAX. | UNIT |
|-----|---------------------------|--|------|------|------|------|
| | collector-base voltage | open emitter | — | — | 40 | V |
| | collector-emitter voltage | open base | — | — | 25 | V |
| | peak collector current | | — | — | 25 | mA |
| | total power dissipation | $T_{amb} \leq 25^\circ C$ | — | — | 500 | mW |
| | DC current gain | $I_C = 7 \text{ mA}; V_{CE} = 10 \text{ V}$ | 38 | — | — | |
| | transition frequency | $I_C = 5 \text{ mA}; V_{CE} = 10 \text{ V}; f = 100 \text{ MHz}$ | — | 550 | — | MHz |

PN medium frequency transistor

RATING VALUES

Conformance with the Absolute Maximum Rating System (IEC 60134)

| BOL | PARAMETER | CONDITION | MAXIMUM VALUE |
|-----|-------------------------------|---------------------------------|----------------|
| | collector-base voltage | open emitter | 20 V |
| | collector-emitter voltage | open base | 40 V |
| | emitter-base voltage | open collector | -40 V |
| | collector current (DC) | | 10 mA |
| | peak collector current | | 100 mA |
| | total power dissipation | $T_{amb} \leq 25^\circ\text{C}$ | 0.2 W |
| | storage temperature | | -55 to +150 °C |
| | junction temperature | | 150 °C |
| | operating ambient temperature | | -40 to +100 °C |

Transistor mounted on an FR4 printed-circuit board.

MAL CHARACTERISTICS

| BOL | PARAMETER | CONDITION | MAXIMUM VALUE |
|-----|---|-----------|---------------|
| | thermal resistance from junction to ambient | note 1 | 100 °C/W |

Transistor mounted on an FR4 printed-circuit board.

CHARACTERISTICS

25 °C unless otherwise specified.

| BOL | PARAMETER | CONDITION | MAXIMUM VALUE |
|-----|---------------------------|--|---------------|
| | collector cut-off current | $I_E = 0$; $V_{CB} = 40$ V | 0.01 mA |
| | emitter cut-off current | $I_C = 0$; $V_{EB} = 40$ V | 0.01 mA |
| | DC current gain | $I_C = 7$ mA; $V_{CE} = 10$ V | 100 |
| | base-emitter voltage | $I_C = 7$ mA; $V_{CE} = 10$ V | 0.3 V |
| | feedback capacitance | $I_C = 0$; $V_{CB} = 10$ V | 1 pF |
| | transition frequency | $I_C = 5$ mA; $V_{CE} = 10$ V; $f = 100$ MHz | 1 GHz |

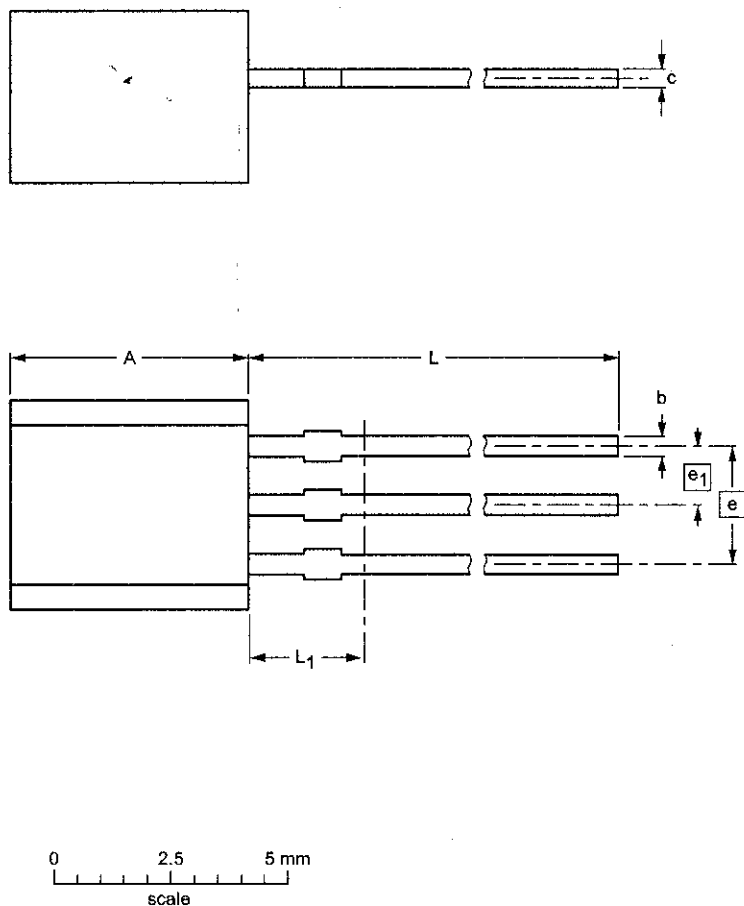
N medium frequency transistor

BF199

PACKAGE OUTLINE

IC single-ended leaded (through hole) package; 3 leads

SOT54



DIMENSIONS (mm are the original dimensions)

| UNIT | A | b | b ₁ | c | D | d | E | e | e ₁ | L | L ₁ ⁽¹⁾ |
|------|-----|------|----------------|------|-----|-----|-----|------|----------------|------|-------------------------------|
| mm | 5.2 | 0.48 | 0.66 | 0.45 | 4.8 | 1.7 | 4.2 | 2.54 | 1.27 | 14.5 | 2.5 |
| | 5.0 | 0.40 | 0.56 | 0.40 | 4.4 | 1.4 | 3.6 | | | 12.7 | |

Terminal dimensions within this zone are uncontrolled to allow for flow of plastic and terminal irregularities.

| OUTLINE VERSION | REFERENCES | | | | EUROPEAN PROJECTION | ISSUE DATE |
|-----------------|------------|-------|-------|--|---------------------|------------|
| | IEC | JEDEC | EIAJ | | | |
| SOT54 | | TO-92 | SC-43 | | | 97-02-28 |

N medium frequency transistor**BF199****ITIONS****Sheet Status**

| | |
|---------------------|---|
| ative specification | This data sheet contains target or goal specifications for product development. |
| nary specification | This data sheet contains preliminary data; supplementary data may be published later. |
| uct specification | This data sheet contains final product specifications. |

ing values

ng values given are in accordance with the Absolute Maximum Rating System (IEC 134). Stress above one or of the limiting values may cause permanent damage to the device. These are stress ratings only and operation device at these or at any other conditions above those given in the Characteristics sections of the specification implied. Exposure to limiting values for extended periods may affect device reliability.

ication information

Application information is given, it is advisory and does not form part of the specification.

SUPPORT APPLICATIONS

products are not designed for use in life support appliances, devices, or systems where malfunction of these products can reasonably be expected to result in personal injury. Philips customers using or selling these products for such applications do so at their own risk and agree to fully indemnify Philips for any damages resulting from such use or sale.

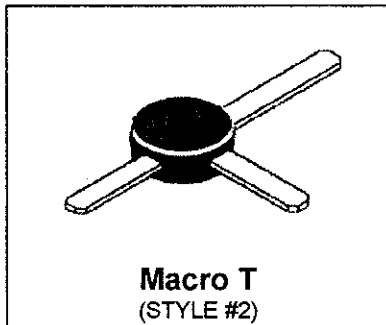
BFR90

MICROWAVE DISCRETE POWER TRANSISTORS

Current-Gain – Bandwidth Product, $f_T = 5.0$ GHz (typ) @ IC = 14 mA

Noise Figure – NF = 2.4 dB (typ) @ f = 0.5 GHz

Power Gain – Gmax = 18dB (typ), @ f = 0.5 GHz



APPLICATIONS: Designed primarily for use in high-gain, low noise, small-signal amplifiers. Also used in oscillators requiring fast switching times.

MAXIMUM RATINGS (Tcase = 25°C)

| Symbol | Parameter | Value | Unit |
|-----------|---------------------------|-------|------|
| V_{CEO} | Collector-Emitter Voltage | 15 | Vdc |
| V_{CB} | Collector-Base Voltage | 20 | Vdc |
| V_{BE} | Emitter-Base Voltage | 3.0 | Vdc |
| I_C | Collector Current | 30 | mA |

Data

| | | | |
|---|---|------------|------------------|
| D | Total Device Dissipation @ TA = 60°C Derate above 60°C | 180 2.0 | mWatts mW/ °C |
|---|---|------------|------------------|

BFR90

ELECTRICAL SPECIFICATIONS (Tcase = 25°C)

| Parameter | Test Conditions | Value | | | Unit |
|--|---|-------|------|------|------|
| | | Min. | Typ. | Max. | |
| V _{CEO} | Collector-Emitter Breakdown Voltage (IC = 1.0 mA DC, IB = 0) | 15 | - | - | Vdc |
| V _{CBO} | Collector-Base Breakdown Voltage (IC = 0.1 mA DC, IE = 0) | 20 | - | - | Vdc |
| V _{EBO} | Emitter-Base Breakdown Voltage (IE = 0.1 mA DC, IC = 0) | 3.0 | - | - | Vdc |
| I _{CC} | Collector Cutoff Current (V _{CB} = 10 Vdc, V _{BE} = 0 Vdc) | - | - | 50 | nA |
| DC Current Gain (IC = 14 mA DC, V _{CE} = 10 Vdc) | | 25 | - | 250 | - |

| Parameter | Test Conditions | Value | | | Unit |
|------------------|---|-------|------|------|------|
| | | Min. | Typ. | Max. | |
| I _{HP} | Current-Gain – Bandwidth Product (IC = 14 mA, V _{CE} = 10 Vdc, f = 0.5 GHz) | - | 5.0 | - | GHz |
| C _{out} | Output Capacitance (V _{CB} = 10 Vdc, IE = 0, f = 1.0 MHz) | - | 0.5 | 1.0 | pF |

BFR90

ONAL

| Parameter | Test Conditions | Value | | | Unit |
|--|-----------------|------------|--------|--------|------|
| | | Min. | Typ. | Max. | |
| Noise Figure (IC = 2.0 mAdc, VCE = 10 Vdc, f = 0.5 GHz) (IC = 2.0 mAdc, VCE = 10 Vdc, f = 1.0 GHz) | - - | 2.4 3.0 | - - | - - | dB |
| Power Gain at Optimum Noise Figure (IC = 2.0 mAdc, VCE = 10 Vdc, f = 0.5 GHz) (IC = 2.0 mAdc, VCE = 10 Vdc, f = 1.0 GHz) | - - | 15 10 | - - | - - | dB |
| Insertion Gain (IC = 14 mAdc, VCE = 10 Vdc, f = 0.5 GHz) (IC = 14 mAdc, VCE = 10 Vdc, f = 1.0 GHz) | 15 | 16 11 | - - | - - | dB |
| Maximum Stable Gain (IC = 14 mAdc, VCE = 10 Vdc, f = 0.5 GHz) (IC = 14 mAdc, VCE = 10 Vdc, f = 1.0 GHz) | - | 20 15 | - - | - - | dB |
| Maximum Unilateral Gain (1) (IC = 14 mAdc, VCE = 10 Vdc, f = 0.5 GHz) (IC = 14 mAdc, VCE = 10 Vdc, f = 1.0 GHz) | - | 18 12.5 | - - | - - | dB |

Table 1. Common Emitter S-Parameters, @ VCE = 10 V, IC = 14 mA

| Frequency (GHz) | S11 | | S21 | | S12 | | S22 | |
|-----------------|------|--------------|-----|--------------|-----|--------------|-----|--------------|
| | S11 | $\Pi \equiv$ | S21 | $\Pi \equiv$ | S12 | $\Pi \equiv$ | S22 | $\Pi \equiv$ |
| 0.382 | -41 | 21.21 | 141 | 0.016 | 79 | 0.718 | -9 | |
| 0.282 | -77 | 14.85 | 116 | 0.028 | 74 | 0.662 | -18 | |
| 0.217 | -101 | 10.71 | 104 | 0.039 | 74 | 0.599 | -20 | |
| 0.162 | -131 | 6.78 | 91 | 0.061 | 76 | 0.558 | -24 | |
| 0.140 | -151 | 4.98 | 83 | 0.082 | 76 | 0.55 | -28 | |
| 0.135 | -159 | 4.42 | 80 | 0.093 | 76 | 0.552 | -29 | |
| 0.124 | -176 | 3.59 | 74 | 0.117 | 75 | 0.553 | -33 | |

BFR90

Power PA, LNA, and General Purpose Discrete Selector Guide

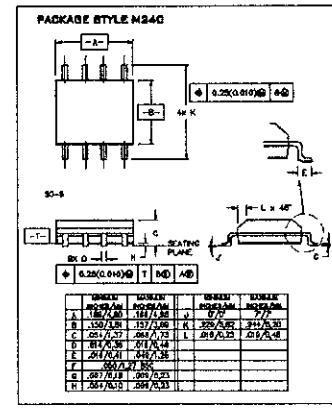
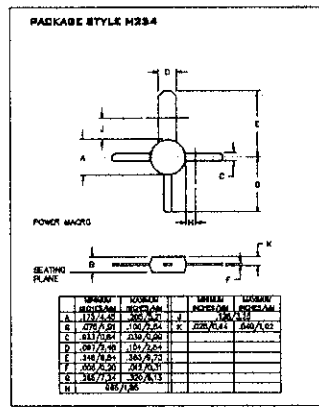
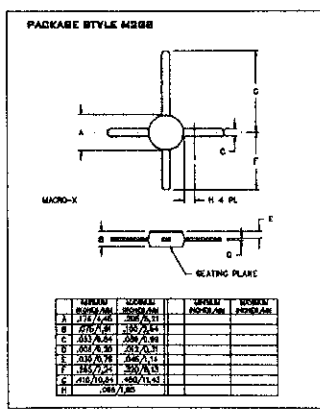
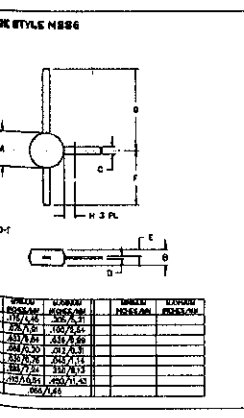
| Package | Device | Type | GPE Freq (MHz) | Pout (watts) | GPE (dB) | Efficiency (%) | GPE VCC BVCEO | IC max (mA) | |
|-------------|-----------------|------|----------------|--------------|----------|----------------|------------------|-------------|------|
| SO-8 | MRF4427, R2 | NPN | 175 | 0.15 | 18 | 60 | 12 | 20 | 400 |
| TO-39 | 2N4427 | NPN | 175 | 1 | 10 | 50 | 12 | 20 | 400 |
| POWER MACRO | MRF553 | NPN | 175 | 1.5 | 11.5 | 60 | 12.5 | 16 | 500 |
| POWER MACRO | MRF553T | NPN | 175 | 1.5 | 11.5 | 50 | 12.5 | 16 | 500 |
| TO-39 | MRF607 | NPN | 175 | 1.75 | 11.5 | 50 | 12.5 | 16 | 330 |
| TO-39 | 2N6255 | NPN | 175 | 3 | 7.8 | 50 | 12.5 | 18 | 1000 |
| TO-72 | 2N5179 | NPN | 200 | | 20 | 6 | 12 | 50 | |
| MACRO X | MRF559 | NPN | 512 | 0.5 | 10 | 65 | 7.5 | 16 | 150 |
| MACRO X | MRF559 | NPN | 512 | 0.5 | 13 | 60 | 12.5 | 16 | 150 |
| TO-39 | 2N3866A | NPN | 400 | 1 | 10 | 45 | 28 | 30 | 400 |
| SO-8 | MRF3866, R1, R2 | NPN | 400 | 1 | 10 | 45 | 28 | 30 | 400 |
| POWER MACRO | MRF555 | NPN | 470 | 1.5 | 11 | 50 | 12.5 | 16 | 400 |
| POWER MACRO | MRF555T | NPN | 470 | 1.5 | 11 | 50 | 12.5 | 16 | 400 |
| MACRO X | MRF559 | NPN | 870 | 0.5 | 6.5 | 70 | 7.5 | 16 | 150 |
| MACRO X | MRF559 | NPN | 870 | 0.5 | 9.5 | 65 | 12.5 | 16 | 150 |
| SO-8 | MRF8372, R1, R2 | NPN | 870 | 0.75 | 8 | 55 | 12.5 | 16 | 200 |
| POWER MACRO | MRF557 | NPN | 870 | 1.5 | 8 | 55 | 12.5 | 16 | 400 |
| POWER MACRO | MRF557T | NPN | 870 | 1.5 | 8 | 55 | 12.5 | 16 | 400 |

| Package | Device | Type | Freq (MHz) | NF (dB) | NF IC (mA) | NF VCE | GN (dB) | Gu Max (dB) | Fmax (MHz) | Cbb(pF) | BVCEO | IC max (mA) |
|---------|-----------------|------|------------|---------|------------|--------|---------|-------------|------------|---------|-------|-------------|
| TO-39 | 2N5109 | NPN | 200 | 3 | 10 | 15 | | 12 | 1200 | 3.5 | 20 | 400 |
| TO-39 | MRF5943C | NPN | 200 | 3.4 | 30 | 15 | | 11.4 | 1000 | | 30 | 400 |
| SO-8 | MRF5943, R1, R2 | NPN | 200 | 3.4 | 30 | 15 | | 15 | 1300 | | 30 | 400 |
| TO-72 | 2N5179 | NPN | 200 | 4.5 | 1.5 | 6 | | 17 | 900 | 1 | 12 | 50 |
| TO-72 | 2N2857 | NPN | 300 | 5.5 | 50 | 6 | | 13 | 1600 | 1 | 15 | 40 |
| TO-39 | MRF517 | NPN | 300 | 7.5 | 50 | 15 | | 5.5 | 4600 | 3 | 25 | 150 |
| TO-72 | MRF804 | NPN | 450 | 1.5 | 5 | 6 | | 11 | 4000 | 1 | 15 | 30 |
| TO-72 | 2N6304 | NPN | 450 | 5 | 2 | 5 | | 14 | 1400 | 1 | 15 | 50 |
| MACRO T | BFR91 | NPN | 500 | 1.9 | 2 | 5 | 11 | 16.5 | 5000 | 1 | 12 | 35 |
| MACRO T | BFR96 | NPN | 500 | 2 | 10 | 10 | | 14.5 | 5000 | 2.8 | 15 | 100 |
| SO-8 | MRF5012, R1, R2 | NPN | 500 | 2 | 50 | 10 | 15.5 | 17.6 | 5000 | | 15 | 200 |
| MACRO X | MRF581A | NPN | 500 | 2 | 50 | 10 | 14 | 15 | 5000 | | 15 | 200 |
| Macro | BFR90 | NPN | 500 | 2.4 | 2 | 10 | 15 | 19 | 5000 | 1 | 15 | 30 |
| TO-72 | BFR90 | NPN | 500 | 2.5 | 2 | 5 | | 20 | 1300 | | 15 | 50 |
| TO-72 | MRF514 | NPN | 500 | 2.5 | 5 | 10 | | 15 | 4500 | | 12 | 40 |
| MACRO X | MRF501 | NPN | 500 | 2.5 | 50 | 10 | 15 | 17.6 | 5000 | | 16 | 200 |
| TO-39 | MRF586 | NPN | 500 | 3 | 90 | 15 | 11 | 14.5 | 4500 | 2.2 | 17 | 200 |
| MACRO X | MRF851 | NPN | 1000 | 1.3 | 5 | 6 | 14 | 17 | 8000 | 0.45 | 10 | 100 |
| MACRO X | MRF571 | NPN | 1000 | 1.5 | 10 | 6 | 10 | | 8000 | 1 | 10 | 70 |
| MACRO T | BFR91 | NPN | 1000 | 2.5 | 2 | 5 | 8 | 11 | 5000 | 1 | 12 | 35 |
| MACRO T | BFR90 | NPN | 1000 | 3 | 2 | 10 | 10 | 12.5 | 6000 | 1 | 15 | 30 |
| TO-39 | MRF545 | PNP | | | | | | 14 | 1400 | 2 | 70 | 400 |
| TO-39 | MRF544 | PNP | | | | | | 13.5 | 1600 | 2 | 70 | 400 |

RF (Low Power PA / General Purpose) Selection Guide

RF (LNA / General Purpose) Selection Guide

Cost RF Plastic Package Options



Macro T

Macro X

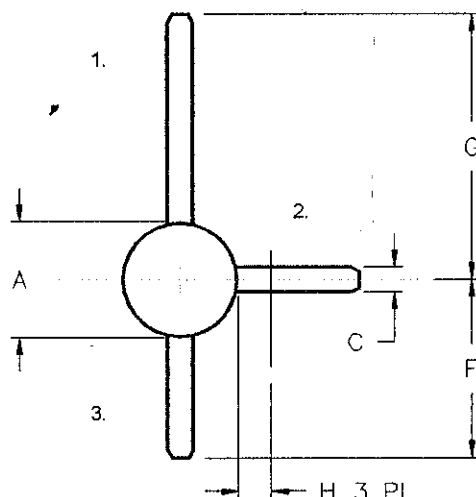
Power Macro

SO-8

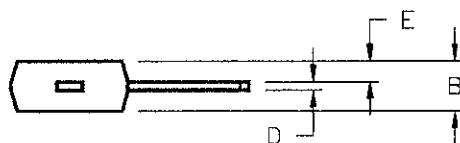
BFR90

PACKAGE STYLE M236

PIN 1. COLLECTOR
 2. Emitter
 3. BASE



MACRO-T



| | MINIMUM INCHES/MM | MAXIMUM INCHES/MM | | MINIMUM INCHES/MM | MAXIMUM INCHES/MM |
|---|----------------------|----------------------|--|----------------------|----------------------|
| A | .175/.4,45 | .205/.5,21 | | | |
| B | .075/1,91 | .100/2,54 | | | |
| C | .033/0,84 | .039/0,99 | | | |
| D | .008/0,20 | .012/0,31 | | | |
| E | .030/0,76 | .045/1,14 | | | |
| F | .285/7,24 | .320/8,13 | | | |
| G | .415/10,54 | .450/11,43 | | | |
| H | | .065/1,65 | | | |

SHIBA

TOSHIBA TRANSISTOR SILICON NPN EPITAXIAL PLANAR TYPE

2SC2783

BAND POWER AMPLIFIER APPLICATIONS

Output Power : $P_o = 40W$ (Min.)
 ($f = 470MHz$, $V_{CC} = 12.5V$, $P_i = 13W$)

IMUM RATINGS ($T_c = 25^\circ C$)

| CHARACTERISTIC | SYMBOL | RATING | UNIT |
|-----------------------------|-----------|---------|------|
| Collector-Base Voltage | V_{CBO} | 36 | V |
| Collector-Emitter Voltage | V_{CEO} | 16 | V |
| Emitter-Base Voltage | V_{EBO} | 4 | V |
| Collector Current | I_C | 8 | A |
| Collector Power Dissipation | P_C | 150 | W |
| unction Temperature | T_j | 175 | °C |
| orage Temperature Range | T_{stg} | -65~175 | °C |

TRICAL CHARACTERISTICS ($T_c = 25^\circ C$)

| CHARACTERISTIC | SYMBOL | TEST CONDITION | MIN. | TYP. | MAX. | UNIT |
|------------------------------------|---------------|--|------|--------------|------|------|
| ollector Cut-off Current | I_{CBO} | $V_{CB} = 15V$, $I_E = 0$ | — | — | 6 | mA |
| ollector-Base Breakdown Voltage | $V_{(BR)CBO}$ | $I_C = 10mA$, $I_E = 0$ | 36 | — | — | V |
| ollector-Emitter Breakdown Voltage | $V_{(BR)CEO}$ | $I_C = 50mA$, $I_B = 0$ | 16 | — | — | V |
| itter-Base Breakdown Voltage | $V_{(BR)EBO}$ | $I_E = 1mA$, $I_C = 0$ | 4 | — | — | V |
| urrent Gain | h_{FE} | $V_{CE} = 5V$, $I_C = 5A$ * | 10 | — | 150 | |
| ollector Output Capacitance | C_{ob} | $V_{CB} = 12.5V$, $I_E = 0$ $f = 1MHz$ | — | 110 | 150 | pF |
| put Power | P_o | (Fig.) | 40 | 45 | — | W |
| over Gain | G_p | $V_{CC} = 12.5V$, $f = 470MHz$ | 4.88 | 5.4 | — | dB |
| ollector Efficiency | η_C | $P_i = 13W$ | 60 | 65 | — | % |
| les Equivalent Input Impedance | Z_{in} | $V_{CC} = 12.5V$ | — | 3.0 +j3.2 | — | Ω |
| les Equivalent Output Impedance | Z_{out} | $f = 470MHz$, $P_o = 40W$ | — | 1.7 +j4.7 | — | Ω |

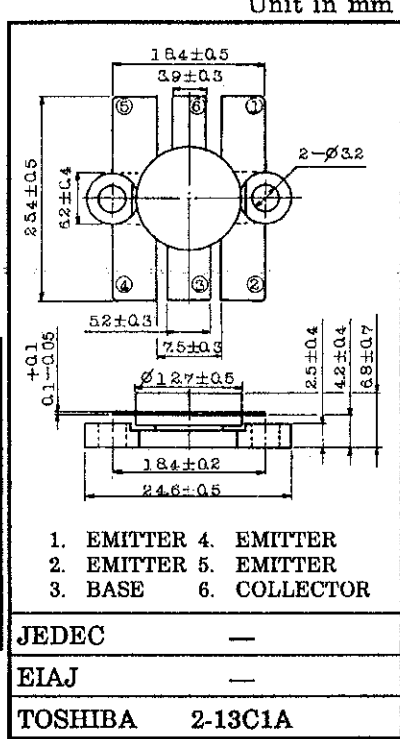
* Pulse Test: Pulse Width $\leq 100\mu s$, Duty Cycle $\leq 3\%$

TION

ilia Ceramics is used in this product. The dust or vapor can be dangerous to humans. Do not break, cut, crush or dissolve chemically. Dispose of this properly according to law. Do not intermingle with normal industrial or domestic waste.

961001EAA2

TOSHIBA is continually working to improve the quality and the reliability of its products. Nevertheless, semiconductor devices in general can malfunction or fail due to their inherent electrical sensitivity and vulnerability to physical stress. It is the responsibility of the buyer, when utilizing TOSHIBA products, to observe standards of safety, and to avoid situations in which a malfunction or failure of a TOSHIBA product could cause loss of human life, bodily injury or damage to property. In developing your designs, please ensure that TOSHIBA products are used within specified operating ranges as set forth in the most recent products specifications. Also, please keep in mind the precautions and conditions set forth in the TOSHIBA Semiconductor Reliability Handbook.



1. Emitter 4. Emitter
 2. Emitter 5. Emitter
 3. BASE 6. COLLECTOR

JEDEC —

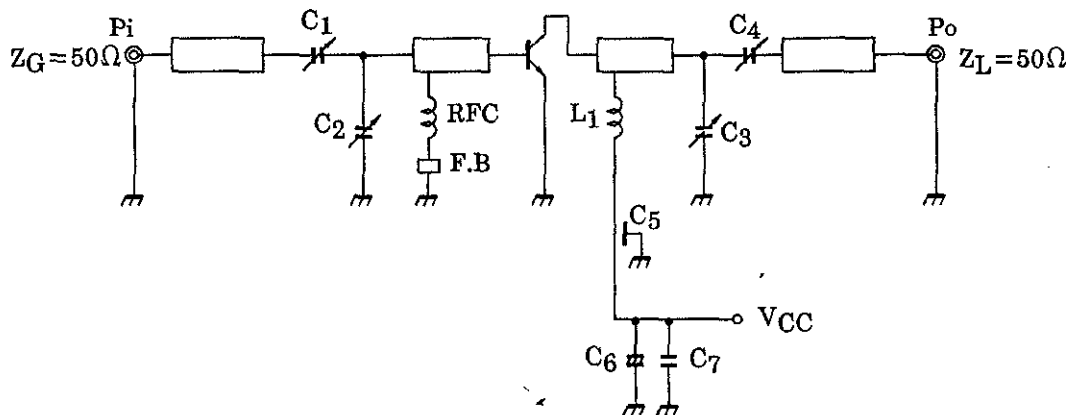
EIAJ —

TOSHIBA 2-13C1A

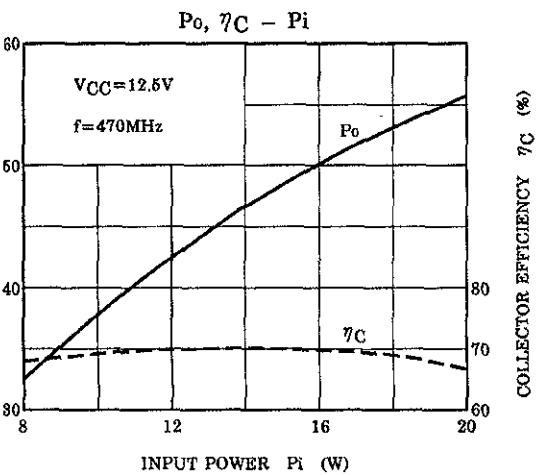
Weight : 5.5g

HIBA

TEST CIRCUIT



- 4 : ~20pF L_1 : $\phi 1$ SILVER PLATED COPPER WIRE, 6ID, 3T
 : 1000pF RFC : $\phi 1$ ENAMEL COATED COPPER WIRE, 6ID, 10T
 : $10\mu F$ BOARD : 1.6mm TEFLONGLASS $\epsilon_R=2.5$
 : $0.1\mu F$
 : FERRITE BEADS



ION

These are only typical curves and devices are not necessarily guaranteed at these curves.

961001EAA2'

The information contained herein is presented only as a guide for the applications of our products. No responsibility is assumed by TOSHIBA CORPORATION for any infringements of intellectual property or other rights of the third parties which may result from its use. No license is granted implication or otherwise under any intellectual property or other rights of TOSHIBA CORPORATION or others.

The information contained herein is subject to change without notice.

NPN EPITAXIAL PLANAR TYPE**SCRIPTION**

2020 is a silicon NPN epitaxial planar type transistor designed for UHF power amplifier applications.

ATURES

High gain: $G_{PE} \geq 10\text{dB}$, @ $f = 520\text{MHz}$, $V_{CC} = 12.5\text{V}$, $P_{in} = 0.3\text{W}$.

High ruggedness: Ability to withstand more than 20:1 load SWR (all phase) when operated at $V_{CC} = 15.2\text{V}$, $f = 520\text{MHz}$, $P_O = 3\text{W}$.

Emitter ballasted construction.

Low thermal resistance: $R_{th} = 15^\circ\text{C/W}$ ($T_C = 25^\circ\text{C}$)

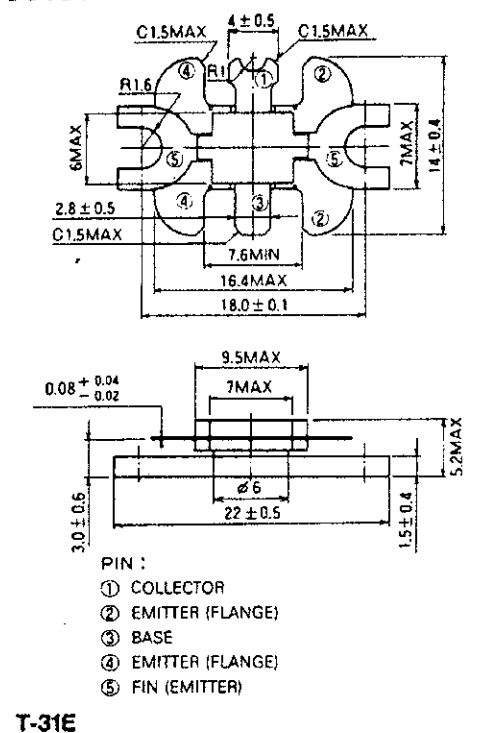
Convenient flange type ceramic package.

PLICATION

drive stage and output stage of 400MHz band mobile radio.

OUTLINE DRAWING

Dimensions in mm



T-31E

SOLUTE MAXIMUM RATINGS ($T_C = 25^\circ\text{C}$)

| Symbol | Parameter | Conditions | Ratings | | Unit |
|--------|------------------------------|--------------------------|------------|--|------|
| VO | Collector to base voltage | | 35 | | V |
| VE | Emitter to base voltage | | 4.0 | | V |
| VEO | Collector to emitter voltage | $R_{BE} = \infty$ | 17 | | V |
| IC | Collector current | | 1 | | A |
| PD | Collector dissipation | $T_C = 25^\circ\text{C}$ | 10 | | W |
| TA | Junction temperature | | 175 | | °C |
| TS | Storage temperature | | -65 to 175 | | °C |

* Above parameters are guaranteed independently.

ELECTRICAL CHARACTERISTICS ($T_C = 25^\circ\text{C}$)

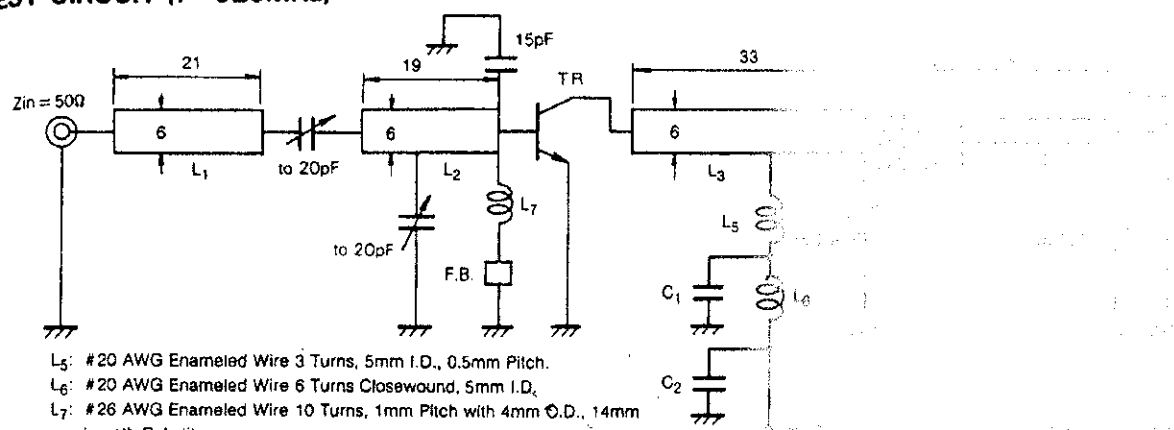
| Symbol | Parameter | Test conditions | Limits | | | Unit |
|--------|--|--|--------|-----|-----|---------------|
| | | | Min | Typ | Max | |
| IEBO | Emitter to base breakdown voltage | $I_E = 1\text{mA}$, $I_C = 0$ | 4.0 | | | V |
| VICBO | Collector to base breakdown voltage | $I_C = 10\text{mA}$, $I_E = 0$ | 35 | | | V |
| VICEO | Collector to emitter breakdown voltage | $I_C = 10\text{mA}$, $R_{BE} = \infty$ | 17 | | | V |
| IC | Collector cut off current | $V_{CB} = 15\text{V}$, $I_E = 0$ | | 300 | | μA |
| IE | Emitter cut off current | $V_{EB} = 3.0\text{V}$, $I_C = 0$ | | 300 | | μA |
| DC | DC forward current gain* | $V_{CE} = 10\text{V}$, $I_C = 0.1\text{A}$ | 20 | 50 | 180 | - |
| | Power Output | $V_{CC} = 12.5\text{V}$, $P_{in} = 0.3\text{W}$, $f = 520\text{MHz}$ | 3.0 | 3.3 | | W |
| | Collector efficiency | | 50 | 55 | | % |

* Pulse test, $P_W = 150\mu\text{s}$, duty = 5%.

Above parameters, ratings, limits and conditions are subject to change.

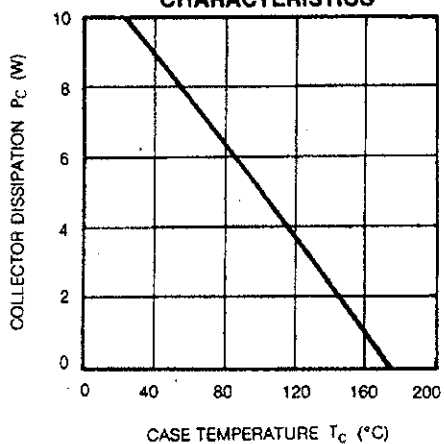
NOV. '97

TEST CIRCUIT ($f = 520\text{MHz}$)

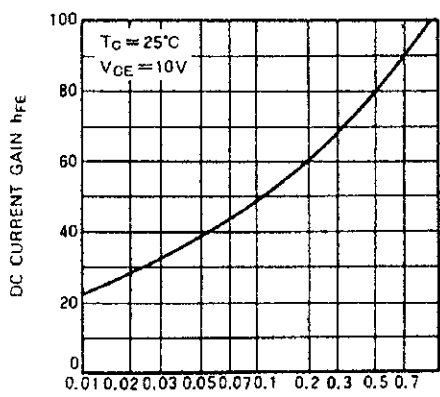


YPICAL PERFORMANCE DATA

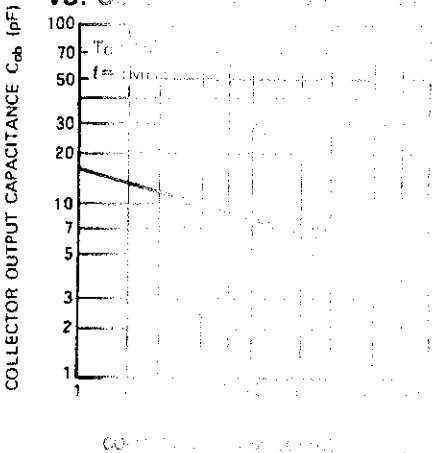
COLLECTOR DISSIPATION VS.
CASE TEMPERATURE
CHARACTERISTICS



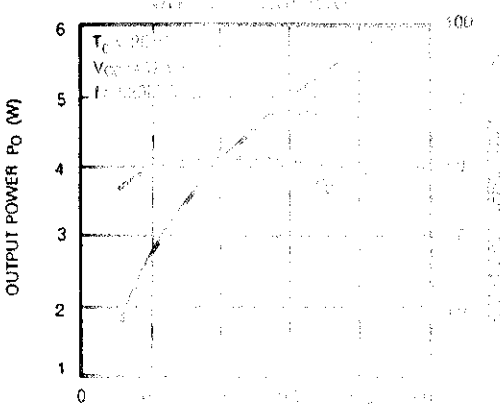
DC CURRENT GAIN VS.
COLLECTOR CURRENT

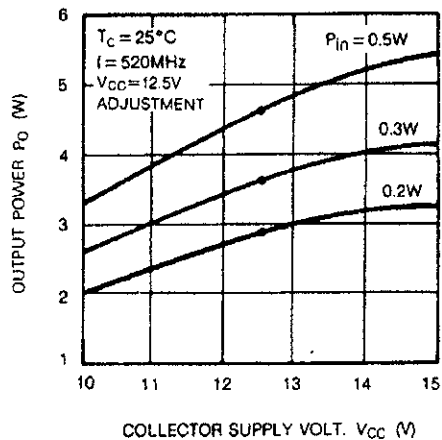
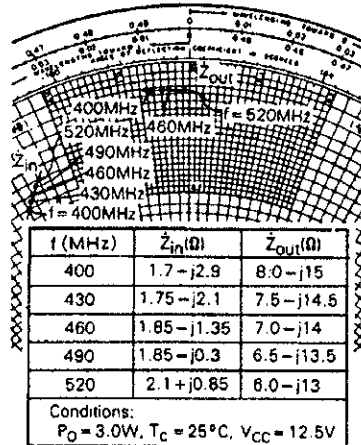


COLLECTOR DISSIPATION VS. COLLECTOR CURRENT



OUTPUT POWER VS. COLLECTOR CURRENT



NPN EPITAXIAL PLANAR TYPE**OUTPUT POWER VS. COLLECTOR SUPPLY VOLTAGE CHARACTERISTICS****SERIES INPUT AND OUTPUT IMPEDANCE VS. FREQUENCY CHARACTERISTICS**

DESCRIPTION

2SC3021 is a silicon NPN epitaxial planar type transistor specifically designed for UHF power amplifiers applications.

FEATURES

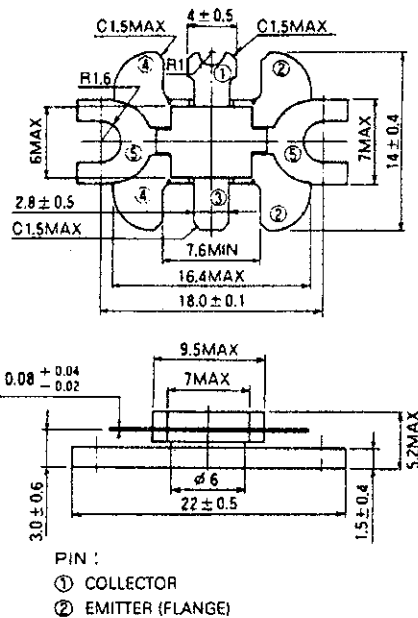
- High power gain: $G_{pe} \geq 7.6\text{dB}$
 $\text{@ } V_{CC} = 12.5\text{V}, f = 520\text{MHz}, P_{in} = 1.2\text{W}.$
- Emitter ballasted construction.
- High ruggedness: Ability to withstand more than 20:1 load VSWR when operated at $V_{CC} = 15.2\text{V}, f = 520\text{MHz}, P_O = 7\text{W}.$
- Flange type ceramic package.
- $Z_{in} = 2.2 + j3.1\Omega$,
 $Z_{out} = 6 + j1.0\Omega \text{ @ } V_{CC} = 12.5\text{V}, f = 520\text{MHz}, P_O = 7\text{W}.$

APPLICATION

For output stage of 5W power amplifiers and drive stage of higher power amplifiers in UHF band.

OUTLINE DRAWING

Dimensions in mm



T-31E

ABSOLUTE MAXIMUM RATINGS ($T_c = 25^\circ\text{C}$)

| Symbol | Parameter | Conditions | Ratings | Unit |
|---------------|------------------------------|--------------------------|------------|------------------|
| V_{CEO} | Collector to base voltage | | 35 | V |
| V_{EBO} | Emitter to base voltage | | 4 | V |
| V_{CEO} | Collector to emitter voltage | $R_{BE} = \infty$ | 17 | V |
| I_C | Collector current | | 2 | A |
| P_C | Collector dissipation | $T_c = 25^\circ\text{C}$ | 20 | W |
| T_j | Junction temperature | | 175 | $^\circ\text{C}$ |
| $T_{Storage}$ | Storage temperature | | -55 to 175 | $^\circ\text{C}$ |

Note. Above parameters are guaranteed independently.

ELECTRICAL CHARACTERISTICS ($T_c = 25^\circ\text{C}$)

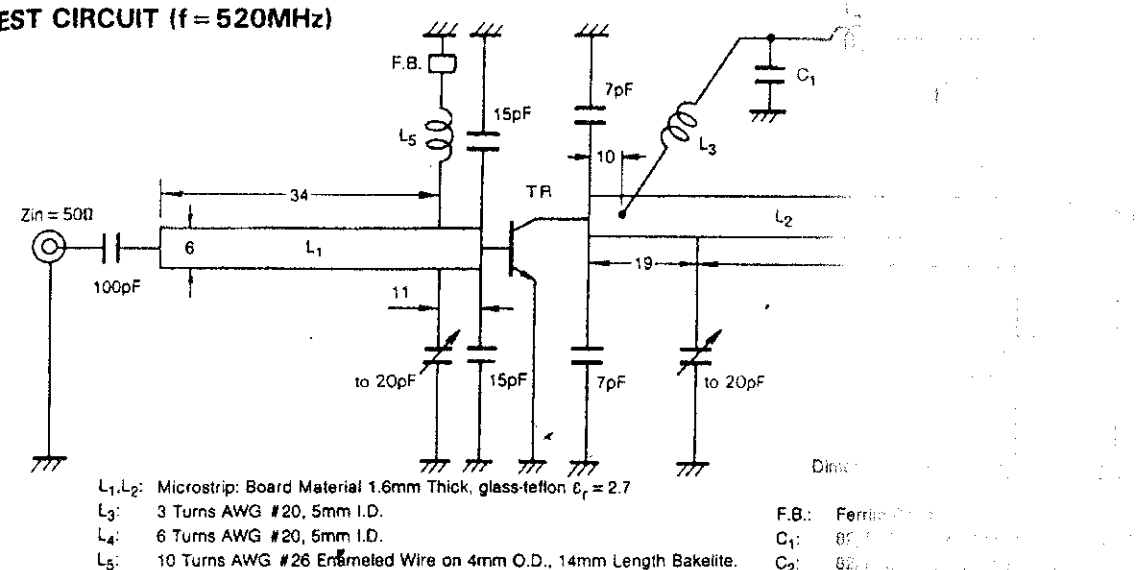
| Symbol | Parameter | Test conditions | Limits | | | Unit |
|--------------|--|--|--------|-----|-----|---------------|
| | | | Min | Typ | Max | |
| V_{BRIEBO} | Emitter to base breakdown voltage | $I_E = 5\text{mA}, I_C = 0$ | 4 | | | V |
| V_{BRICBO} | Collector to base breakdown voltage | $I_C = 10\text{mA}, I_E = 0$ | 35 | | | V |
| V_{BRICEO} | Collector to emitter breakdown voltage | $I_C = 50\text{mA}, R_{BE} = \infty$ | 17 | | | V |
| I_{CEO} | Collector cut off current | $V_{CB} = 15\text{V}, I_E = 0$ | | | 500 | μA |
| I_{EBO} | Emitter cut off current | $V_{EB} = 3\text{V}, I_C = 0$ | | | 500 | μA |
| H_{FE} | DC forward current gain* | $V_{CE} = 10\text{V}, I_C = 0.1\text{A}$ | 10 | 50 | 180 | — |
| P_O | Power Output | $V_{CC} = 12.5\text{V}, P_{in} = 1.2\text{W}, f = 520\text{MHz}$ | 7 | 7.5 | | W |
| η_C | Collector efficiency | | 50 | 60 | | % |

Note. * Pulse test, $P_W = 150\mu\text{s}$, duty = 5%.

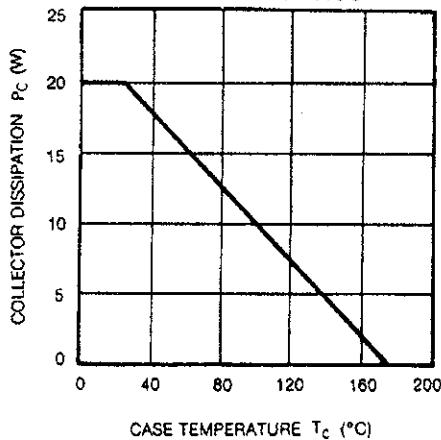
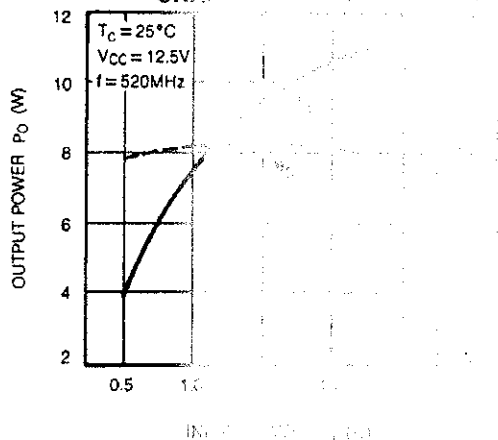
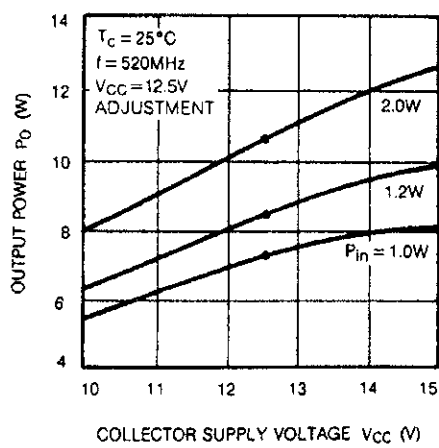
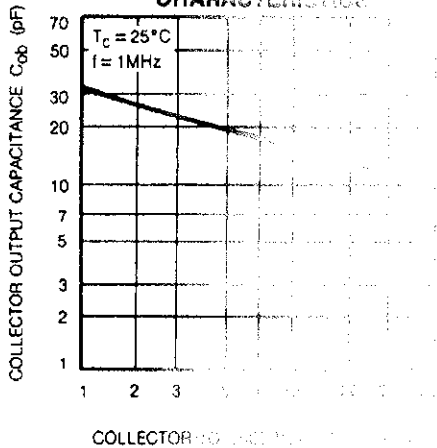
Above parameters, ratings, limits and conditions are subject to change.

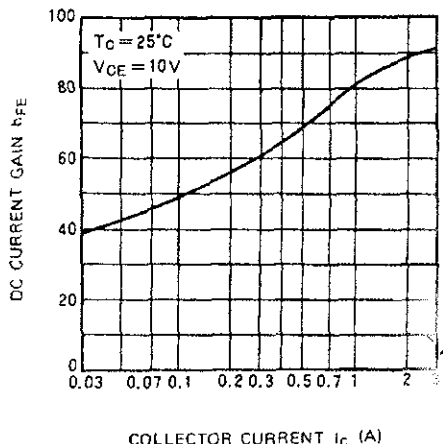
NOV. '97

NPN

TEST CIRCUIT ($f = 520\text{MHz}$)

TYPICAL PERFORMANCE DATA

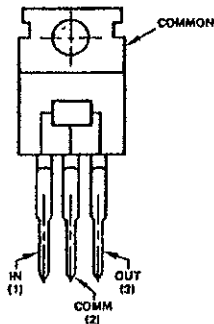
COLLECTOR DISSIPATION VS.
CASE TEMPERATURE CHARACTERISTICSOUTPUT POWER VS.
CHARACTERISTICSOUTPUT POWER VS. COLLECTOR
SUPPLY VOLTAGE
CHARACTERISTICSCOLLECTOR OUTPUT CAPACITANCE
TO GND VS.
CHARACTERISTICS

DC CURRENT GAIN
VS. COLLECTOR CURRENT

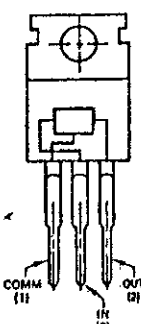
CODI Semiconductor, Inc.

LINEAR LOGIC SYMBOLS AND CONNECTION DIAGRAMS

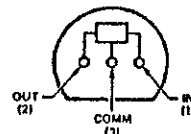
L-CD1



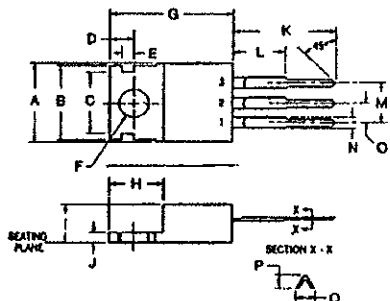
L-CD2



L-CD3



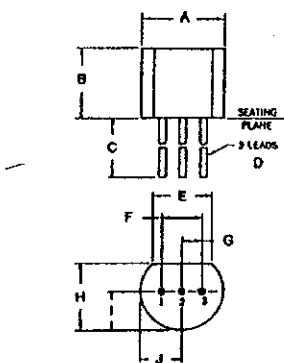
PACKAGE OUTLINES

**JEDEC TO-220 Outline
Plastic Power Package**


| DIM. | INCHES | | | MILLIMETERS | | |
|------|--------|------|------|-------------|-------|------|
| | MIN. | TYP. | MAX. | MIN. | TYP. | MAX. |
| A | .395 | .410 | .410 | 10.03 | 10.41 | |
| B | .365 | .385 | .385 | 9.27 | 9.77 | |
| C | .300 | .320 | .320 | 7.62 | 8.13 | |
| D | .100 | .120 | .120 | 2.54 | 3.05 | |
| E | .040 | .060 | .060 | 1.02 | 1.62 | |
| F | .141 | .145 | .145 | 3.68 | 3.68 | |
| G | .575 | .600 | .600 | 14.6 | 15.24 | |
| H | .236 | .265 | .265 | 5.97 | 6.73 | |
| I | .180 | .190 | .190 | 4.06 | 4.83 | |
| J | .020 | .055 | .055 | .608 | 1.40 | |
| K | .500 | | | 12.70 | | |
| L | | | | .260 | | 6.35 |
| M | .190 | .210 | .210 | 4.83 | 5.33 | |
| N | .045 | .055 | .055 | 1.06 | 1.40 | |
| O | .095 | .105 | .105 | 2.41 | 2.66 | |
| P | .016 | .030 | .030 | .381 | .762 | |
| Q | .020 | .045 | .045 | .508 | 1.43 | |

NOTES: See table for dimensions in inches and millimeters.
Center lead is electrical contact with the mounting tab.

Package weight is 2.1 grams

**JEDEC TO-92 Outline
Plastic Package**


| DIM. | INCHES | | | MILLIMETERS | | |
|------|--------|------|------|-------------|-------|------|
| | MIN. | TYP. | MAX. | MIN. | TYP. | MAX. |
| A | .176 | .206 | .206 | 4.46 | 5.20 | |
| B | .170 | .210 | .210 | 4.32 | 5.33 | |
| C | .500 | | | 12.70 | | |
| D | .016 | .029 | .029 | 0.406 | 0.463 | |
| E | .135 | | | .343 | | |
| F | | .100 | | | 2.64 | |
| G | | .060 | | | 1.27 | |
| H | .126 | .165 | .165 | 3.18 | 4.19 | |
| I | .080 | .105 | .105 | 2.03 | 2.67 | |
| J | .080 | .106 | .106 | 2.03 | 2.67 | |

NOTES: See table for dimensions in inches and millimeters.
Package material is transfer molded thermosetting plastic.
Package weight is 0.25 grams

14 Market St., Kenilworth, NJ, USA 07033 • (201) 298-0400

FREE: 1-800-232-CODI

TELEX: 844-796

FAX NUMBER: 201-298-0477

CODI Semiconductor, Inc.

LINEAR INTEGRATED CIRCUITS 3 - TERMINAL VOLTAGE REGULATORS

| | 1 AMP Pos. 7805-7824 | 1 AMP Neg. 7905-7924 | .5A Pos. 78H05-78H24 | .1A Pos. 78L05-78L24 |
|---|---|-------------------------|---|-------------------------|
| Thermal resistance R _{j-c} R _{j-a} | 5°C/v 70°C/v | | | 7°C/v 100°C/v |
| Power Dissipation | 20W | | 10W | 500mW |
| Temperature range Operating Ambient Operating Junction Storage | -20 to + 80°C -20 to + 125°C -55 to + 125°C | | -20 to + 75°C -20 to + 125°C -40 to + 125°C | |
| Line Regulation (mV) V _o /V _i (%) | 2.0 | | 1.0 | 2.0 |
| Load Regulation (mV) V _o /I _o (%) | 2.0 | | 1.0 | |
| Logic/Connection diagram | L-CD 1 | L-CD 2 | L-CD 1 | L-CD 3 |
| Package | TO-220 | | | TO-92 |

| TYPE No. | Nominal OUTPUT Voltage Range (V) | OUTPUT Voltage Range (V) | INPUT Voltage Range (V) | Quiescent Current (mA) | Ripple Rejection (dB) KTH | OUTPUT Noise Voltage (uV) | OUTPUT Voltage Drift (TRP) mV/°C |
|----------|---|--------------------------------|-------------------------------|------------------------------|---------------------------------|---------------------------------|--|
|----------|---|--------------------------------|-------------------------------|------------------------------|---------------------------------|---------------------------------|--|

| 1 AMP POSITIVE | | | | | | | |
|----------------|------|-----------|-----------|-----|----|-----|-----|
| 7805 | 5.0 | 4.8-5.2 | 7.0-35.0 | 5.1 | 62 | 40 | 0.4 |
| 7806 | 6.0 | 5.75-6.25 | 8.0-35.0 | 4.7 | 50 | 45 | 0.4 |
| 7808 | 8.0 | 7.7-8.3 | 10.5-35.0 | 4.2 | 56 | 50 | 0.4 |
| 7812 | 12.0 | 11.5-12.5 | 14.5-35.0 | 4.7 | 55 | 70 | 0.8 |
| 7815 | 15.0 | 14.4-15.6 | 17.5-35.0 | 4.7 | 56 | 85 | 1.0 |
| 7818 | 18.0 | 17.3-18.7 | 21.0-35.0 | 4.0 | 53 | 95 | 1.2 |
| 7824 | 24.0 | 23.0-25.0 | 27.0-40.0 | 3.0 | 50 | 120 | 1.4 |

| 1 AMP NEGATIVE | | | | | | | |
|----------------|-------|------------|------------|-----|----|-----|------|
| 7905 | -5.0 | -4.8-5.2 | -7.0-35.0 | 1.0 | 54 | 100 | -0.4 |
| 7906 | -6.0 | -5.75-6.25 | -8.0-35.0 | 1.0 | 56 | 150 | -0.5 |
| 7908 | -8.0 | -7.7-8.3 | -10.5-35.0 | 1.0 | 56 | 200 | -0.6 |
| 7912 | -12.0 | -11.5-12.5 | -14.5-35.0 | 1.5 | 56 | 300 | -0.8 |
| 7915 | -15.0 | -14.4-15.6 | -17.5-35.0 | 1.5 | 56 | 375 | -1.0 |
| 7918 | -18.0 | -17.3-18.7 | -21.0-35.0 | 1.5 | 56 | 450 | -1.0 |
| 7924 | -24.0 | -23.0-25.0 | -27.0-40.0 | 1.5 | 51 | 600 | -1.0 |

| .5A (500ms) POSITIVE | | | | | | | |
|----------------------|------|-----------|-----------|-----|----|-----|------|
| 78H05 | 5.0 | 4.8-5.2 | 7.0-35.0 | 4.5 | 62 | 40 | +1.0 |
| 78H06 | 6.0 | 5.75-6.25 | 8.0-35.0 | 4.6 | 50 | 45 | +1.0 |
| 78H08 | 8.0 | 7.7-8.3 | 10.5-35.0 | 4.6 | 56 | 52 | +1.0 |
| 78H12 | 12.0 | 11.5-12.5 | 14.5-35.0 | 4.8 | 55 | 75 | +1.0 |
| 78H15 | 15.0 | 14.4-15.6 | 17.5-35.0 | 4.8 | 56 | 90 | +1.0 |
| 78H18 | 18.0 | 17.3-18.7 | 21.0-35.0 | 4.8 | 53 | 100 | +1.0 |
| 78H24 | 24.0 | 23.0-25.0 | 27.0-40.0 | 5.0 | 50 | 120 | +1.0 |

| .1A (100ms) POSITIVE | | | | | | | |
|----------------------|------|-----------|-----------|------|----|-----|------|
| 78L05 | 5.0 | 4.75-5.25 | 7.0-30.0 | 6.0* | 40 | 40 | -1.0 |
| 78L06 | 6.0 | 5.95-6.45 | 8.0-30.0 | 6.0* | 39 | 50 | -1.0 |
| 78L08 | 8.0 | 7.6-8.4 | 10.5-30.0 | 6.0* | 39 | 60 | -1.0 |
| 78L12 | 12.0 | 11.0-12.6 | 14.5-35.0 | 6.5* | 37 | 60 | -1.5 |
| 78L15 | 15.0 | 14.3-15.7 | 17.5-33.0 | 6.5* | 34 | 90 | -1.3 |
| 78L18 | 18.0 | 17.1-18.9 | 21.0-40.0 | 6.5* | 33 | 120 | -2.0 |
| 78L24 | 24.0 | 22.8-25.2 | 27.0-40.0 | 7.0* | 32 | 200 | -2.0 |

*max

Market St., Kenilworth, NJ, USA 07033 • (201) 298-0400

EE: 1-800-232-CODI

TELEX: 844-796

FAX NUMBER: 201-298-0477

| n | R_s/R_L | C_1 | L_2 | C_3 | L_4 |
|----------|-----------|--------|--------|-------|-------|
| 2 | 3.000 | 0.572 | 3.132 | | |
| | 4.000 | 0.365 | 4.600 | | |
| | 8.000 | 0.157 | 9.658 | | |
| | ∞ | 1.213 | 1.109 | | |
| | 3 | 1.000 | 2.216 | 1.088 | 2.216 |
| 0.500 | 0.500 | 2.216 | 1.088 | 2.216 | |
| | 0.431 | 0.817 | 0.817 | 2.216 | |
| | 0.333 | 6.647 | 0.723 | 2.216 | |
| | 0.250 | 8.862 | 0.680 | 2.216 | |
| | 0.125 | 17.725 | 0.612 | 2.216 | |
| ∞ | ∞ | 1.652 | 1.460 | 1.108 | |
| | 4 | 3.000 | 0.633 | 4.411 | 0.814 |
| | 4.000 | 0.452 | 7.083 | 0.612 | 2.848 |
| | 8.000 | 0.209 | 17.164 | 0.428 | 3.251 |
| | ∞ | 1.350 | 2.010 | 1.458 | 1.106 |
| n | R_s/R_L | L_1 | C_2 | L_3 | C_4 |

| n | R_s/R_L | C_1 | L_2 | C_3 | L_4 | C_5 | L_6 | C_7 |
|----------|-----------|----------|--------|--------|--------|--------|-------|-------|
| 2 | 5 | 1.000 | 2.207 | 1.128 | 3.103 | 1.128 | 2.207 | |
| | | 0.567 | 4.414 | 0.565 | 4.653 | 1.128 | 2.207 | |
| | | 0.363 | 6.622 | 0.376 | 6.205 | 1.128 | 2.207 | |
| | | 0.250 | 8.820 | 0.282 | 7.756 | 1.128 | 2.207 | |
| | | 0.125 | 17.657 | 0.141 | 13.961 | 1.126 | 2.207 | |
| 3 | 6 | ∞ | 1.721 | 1.645 | 2.061 | 1.493 | 1.103 | |
| | | 3.000 | 0.679 | 3.873 | 0.571 | 4.711 | 0.969 | 2.403 |
| | | 4.000 | 0.481 | 5.644 | 0.476 | 7.351 | 0.619 | 2.592 |
| | | 8.000 | 0.227 | 12.310 | 0.198 | 16.740 | 0.726 | 2.800 |
| | | ∞ | 1.378 | 2.097 | 1.690 | 2.074 | 1.494 | 1.102 |
| 7 | 7 | 1.000 | 2.204 | - | 1.131 | 3.147 | 1.131 | 2.204 |
| | | 0.500 | 4.408 | 0.566 | 6.293 | 0.695 | 3.147 | 1.131 |
| | | 0.333 | 6.612 | 0.377 | 9.441 | 0.736 | 3.147 | 1.131 |
| | | 0.250 | 8.815 | 0.283 | 12.586 | 0.747 | 3.147 | 1.131 |
| | | 0.125 | 17.631 | 0.141 | 25.175 | 0.671 | 3.147 | 1.131 |
| ∞ | ∞ | 1.741 | 1.677 | 2.155 | 2.153 | 2.079 | 1.494 | 1.102 |
| n | R_s/R_L | L_1 | C_2 | L_3 | C_4 | L_5 | C_6 | L_7 |

Table Chebyshev Low-Pass Prototype Element Values for 1.0 dB Ripple (Band-Pass)

404 404F

FM stereo transmitter

The BA1404 and BA1404F monolithic ICs
are stereo transmitters

Each IC consists of a stereo modulator
that creates stereo composite signals, an
FM modulator that creates FM signals,
and an RF amplifier. The stereo modulator
develops composite signals made up of a
AIN (L+R) signal, a SUB (L-R) signal
and a pilot (19 kHz) signal using 38 kHz
crystal oscillators.

The FM modulator has carriers on the FM
broadcast band (75 ~ 108 MHz)

The RF amplifier transmits the stereo
decoded FM signals and is also a buffer
for the FM modulator.

The stereo transmitter is equipped with a
constant voltage pin for a variable
capacitor that is used to finely adjust the
frequency.

available in DIP18 and SOP18
packages

low operating voltage range
(1.0 V ~ 2.0 V)

low power consumption, typically
3 mA

requires few external components

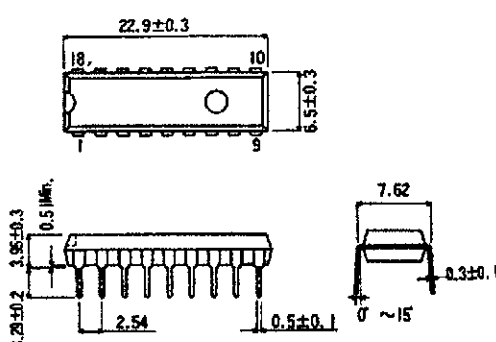
Applications

FM stereo transmitters

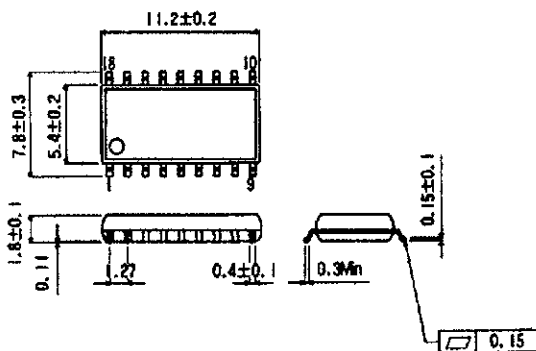
Wireless microphones

Dimensions (Units : mm)

BA1404 (DIP18)

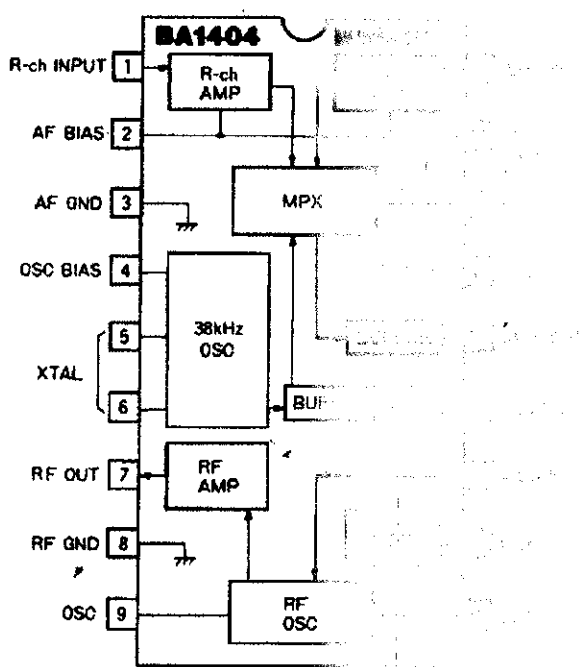


BA1404F (SOP18)



04, BA1404F FM transmitters

Diagram



Pin description

| Pin name | Description |
|-------------------------------|-----------------------------------|
| R-ch audio input | Connects to R-ch INPUT |
| Input amplifier bypass | Connects to the bypass terminal |
| GND | Low frequency ground |
| 38 kHz oscillator bypass | Connects to 38 kHz OSC |
| 38 kHz oscillator | Connects to 38 kHz OSC |
| 38 kHz OSC | Connects to the 38 kHz oscillator |
| RF output | Connects to RF OUT |
| GND | High frequency ground |
| RF oscillator | Connects to RF OSC |
| RF oscillator | Connects to RF OSC |
| Voltage supply | Connects to V _{CC} |
| Modulation signal input | Connects to base of 38 kHz OSC |
| Pilot signal output | Connects to RC mixer circuit |
| Multiplexer signal output | Connects to RC mixer circuit |
| V _{CC} | Power supply |
| Multiplexer modulator balance | Connects to trimmer RC circuit |
| Multiplexer modulator balance | Connects to trimmer RC circuit |
| L-ch audio input | Connects to preamp |

ROHM

absolute maximum ratings ($T_a = 25^\circ\text{C}$)

| Parameter | Symbol | Limits | Unit |
|-----------------------------|-----------|------------|------------------|
| Supply voltage | V_{CC} | 2.5 | V |
| Power dissipation BA1404 | P_d | 1200 | mW |
| BA1404F | P_d | 450 | |
| Storage temperature | T_{opr} | -25 ~ +75 | $^\circ\text{C}$ |
| Temperature | T_{stg} | -50 ~ +125 | $^\circ\text{C}$ |

recommended operating conditions ($T_a = 25^\circ\text{C}$)

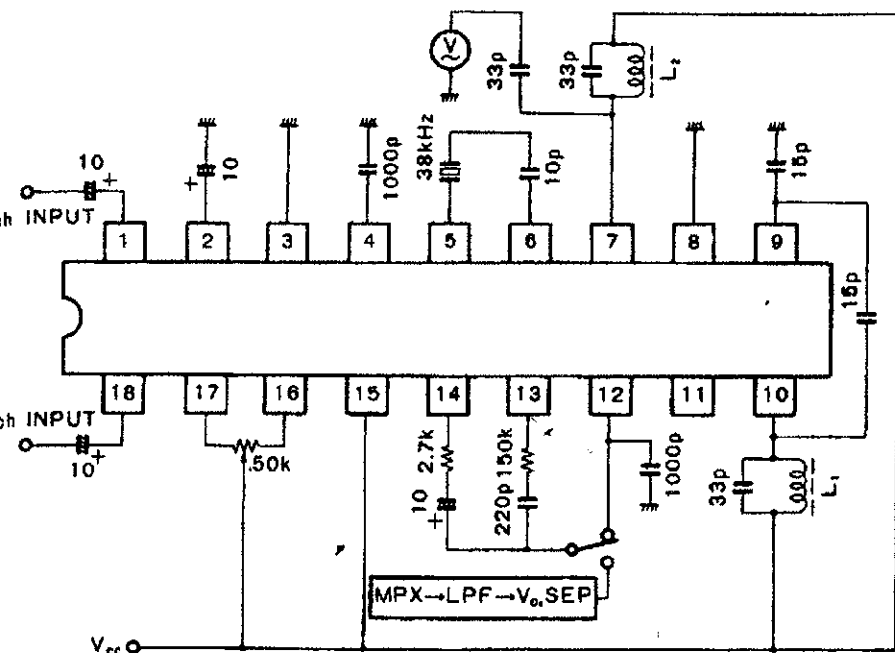
| Parameter | Symbol | Min | Typical | Max |
|----------------|----------|-----|---------|-----|
| Supply voltage | V_{CC} | 1 | 1.25 | 2 |

Electrical characteristics ($T_a = 25^\circ\text{C}$, $V_{CC} = 1.25$ V)

| Parameter | Symbol | Min | Typical | Max |
|--------------------------|-----------|-----|---------|-----|
| Output current | I_Q | 0.5 | 3 | 5 |
| Impedance | Z_{IN} | 360 | 540 | 720 |
| Output gain | G_V | 30 | 37 | |
| Balance | CB | | | 2 |
| Amplifier output voltage | V_{OM} | 200 | | |
| Amplifier 38 kHz | V_{OO} | | 1 | |
| Input voltage | V_{OP} | 460 | 580 | |
| Separation | Sep | 25 | 45 | |
| Inversion noise | V_{NIN} | | 1 | |
| Output voltage | V_{OSC} | 350 | 600 | |

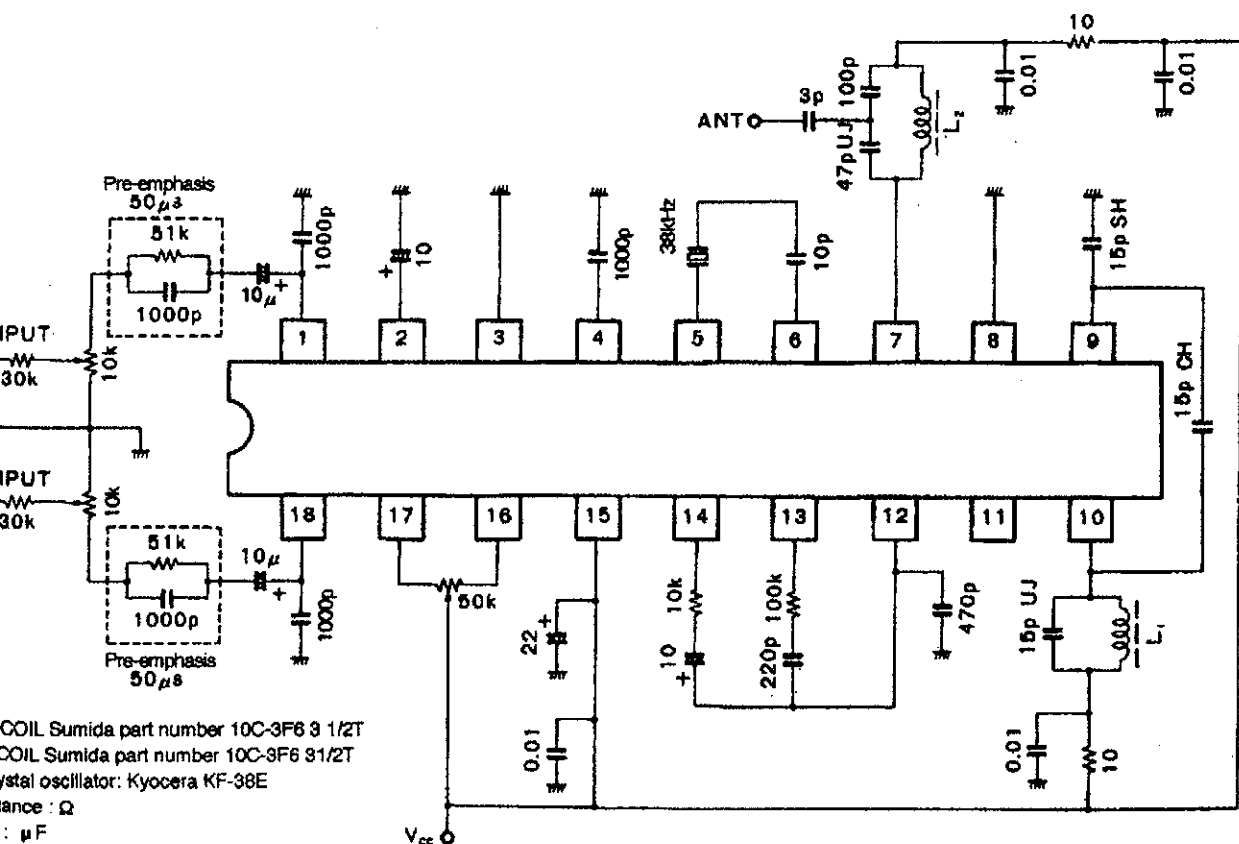
4, BA1404F FM transmitters

1 Test circuit



Test circuit parts data
Oscillator and RE coil,
 L_1 and L_2
Sumida part number:
FEM10C-2F6: 1-3 2 1/2t
Wire type 0.6 UEW
 $Q_0=115$
Crystal oscillator=38kHz
Kyocera part number KF-38E

2 Application example



operation**ereo modulator**

The R-channel audio is input from pin 1 and the L-channel from pin 18. Each audio signal is amplified about 37 dB by independent amplifiers and output to the multiplexer.

The 38 kHz crystal oscillator, connected between pin 5 and pin 6, creates a 38 kHz subcarrier and a 19 kHz pilot signal with the same phase but delayed by a 1/2 cycle.

The audio signals and the 38 kHz subcarrier are balanced and modulated in the multiplexer. The L + R signal and the 38 kHz subcarrier, which are a DSB-modulated signal at L-R, are added to create the main carrier, which is output from pin 14.

A potentiometer between pins 16 and 17 can be used to lessen the subcarrier leakage due to unbalance in the multiplexer.

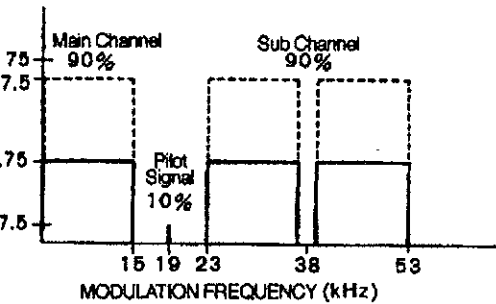


Figure 3 Modulation spectrum of pilot tone

modulator

The high-frequency oscillator is a collector tuning-type or Collpits oscillator as shown in Figure 4. The composite signal is input from pin 12 to the base of the transistor. By adding the radio signal to the base, the reactance of the transistor changes. By changing the time constant of the tuning circuit in the oscillator, the frequency is modulated.

The oscillation frequency is determined by the LC resonator that is connected between pin 10 and the V_{CC} . Because this oscillator does not compensate for V_{CC} fluctuation and temperature changes, the frequency changes are large, and, when the receiver is part of a synthesizer (digital tuning) system, tuning should be separated from V_{CC} .

It is suggested that you use a variable capacitor (AFC) system, or an external FM modulator when frequency stability is required.

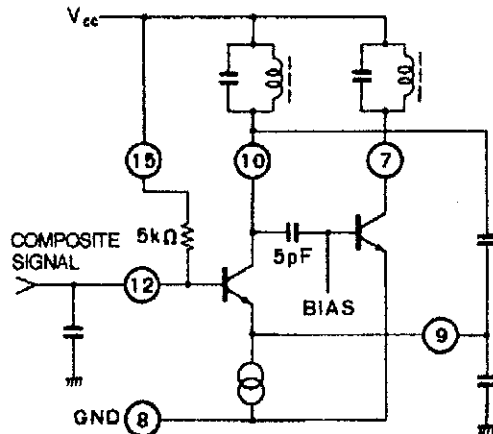
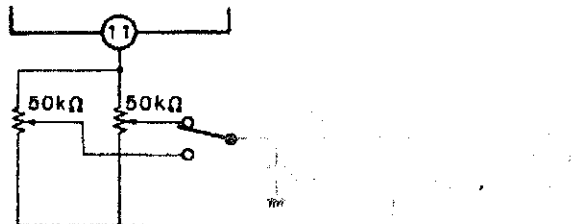


Figure 4 FM modulator

4, BA1404F FM transmitters

is possible to change the oscillator frequency by connecting an external voltage on pin 11 and a variable capacitor. The output voltage is approximately ($V_{CC} - 0.7$) V.

Figure 5 Setting oscillator frequency



High-frequency amplifier

The high-frequency amplifier is a single-stage circuit with a voltage gain of 10. The circuit is shown in Figure 4.

The RF output (on pin 7) is connected to the antenna. The circuit is shown in Figure 4.

Application examples and operation

Do not operating the FM modulator Unusually high currents can damage the device.

V_{CC}

GND

open

0 V_{CC}

1 open

2 V_{CC}

In particular, do not leave pin 7 and pin 10 open. This will damage the device and other components will operate poorly.

Operating monaurally Unused pins shorted to ground

open

GND

open

3 open

The other pins should be connected as shown in Figure 4. In particular, do not leave pin 5 open. This will damage the device. Connect pin 14. Pin 1 should be used for audio input.

FM transmitters BA1404, BA1404F

When operating only the FM modulator Unused pins should be connected as follows:

| | | | |
|---|-----------------|----|------|
| 1 | open | 13 | open |
| 2 | V _{CC} | 14 | open |
| 4 | open | 16 | open |
| 5 | open | 17 | open |
| 6 | GND | 18 | open |

Multiplexer balance

Even if the resistor between pin 16 and pin 17 is not connected, the IC has its own capability of achieving multiplexer balance. If no resistor is connected, however, there is a decrease in gain of approximately 1.5 dB in the input amplifier.

Crystal oscillators

To generate the 38 kHz carrier, use crystal oscillators. The recommended part is Kyocera KF-38E.

Start-up takes some time after the 38 kHz oscillator has been powered up. With a recommended load of 10 pF for the crystal oscillator, startup time is approximately 1.5 s. When the load is 33 pF, startup time is about 1 s. The startup time will not be reduced for loads greater than 33 pF.

RF oscillator

The built-in RF oscillator is an LC-resonator. When an absolutely stable frequency is required, use an external FM modulator. For an external modulator, separation adjustment is made with the RC tuner on pin 13.

The built-in FM modulator can be operated in the 30 ~ 110 MHz range.

The RF oscillator frequency drift following power-up of the power supply becomes small when the V_{CC} is low. The frequency drift after 5 s is as follows:

| V _{CC} (V) | Drift (kHz) |
|---------------------|-------------|
| 1.25 | 85 |
| 2 | 85 |
| 3 | 130 |

Noise

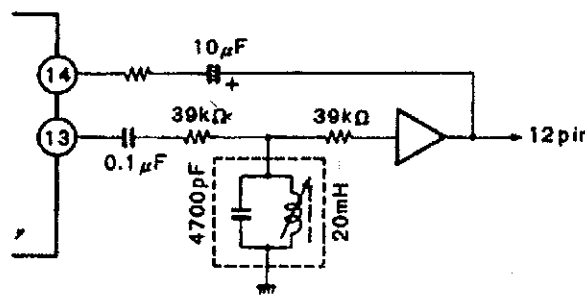
Be sure to connect a 1000 pF capacitor between pin 1 and ground. Do the same for pin 18. This prevents the S/N ratio from deteriorating due to high frequencies.

BA1404, BA1404F FM transmitters

If beats or noise are present on the output, and the input capacitors are in place, the noise may be due to the third or higher harmonics from the pilot signal and the subcarrier. Look for a 57 kHz signal. This can be removed by adding a filter as shown in Figure 6

When 15 kHz or greater signal is input, it causes a beat on the pilot signal (19 kHz). In addition, high frequency signals are particularly large because of the pre-emphasis of high frequency signals. Therefore excessive input of 15 kHz frequencies or more should be limited before input to the IC.

Figure 6 Beat frequency filter

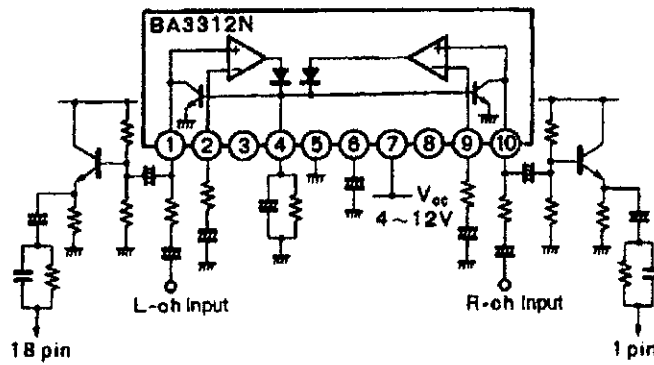


Expanding the dynamic range of the multiplier

When the V_{CC} is raised, the dynamic range of this IC expands. The input amplifier and the multiplier bias point are not set at $1/2 V_{CC}$, however.

This is why the top of the wave form is clipped beforehand. The maximum input voltage is approximately -60 dB ($1 \text{ mV}_{\text{rms}}$). To make the waveform symmetrical, a resistance of $3.6 \text{ k}\Omega$ is inserted between pin 2 and ground. This increases the maximum output voltage by approximately 6 dB. In this case, however, the voltage characteristic deteriorates to 1.5 V .

Figure 7



Method for limiting input voltage

Input control can be carried out using the preamplifier IC and the ALC of the BA3312N. Please see the BA3312N application notes for the constant.

FM transmitters BA1404, BA1404F

al characteristic curves

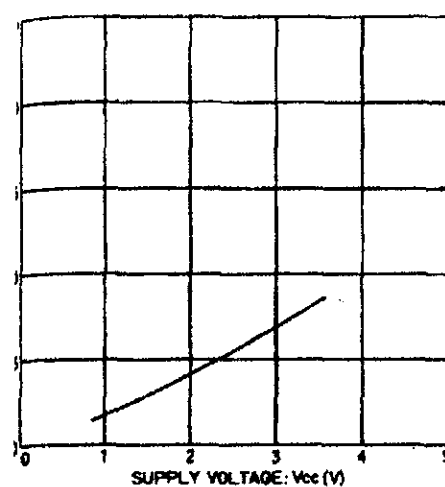


Figure 8

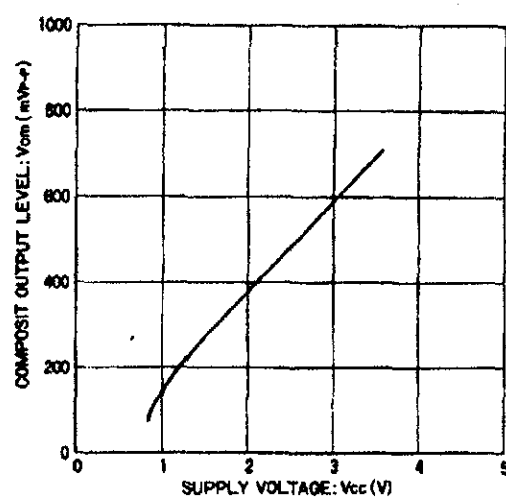


Figure 9

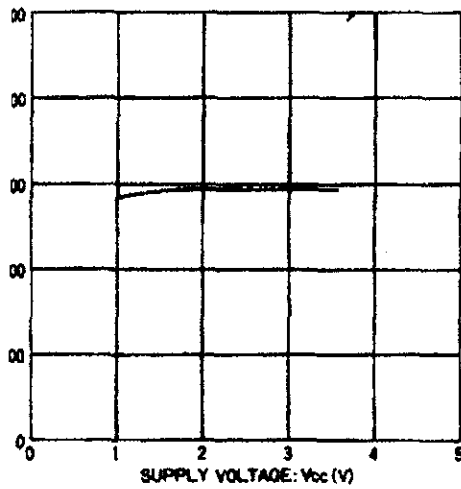


Figure 10

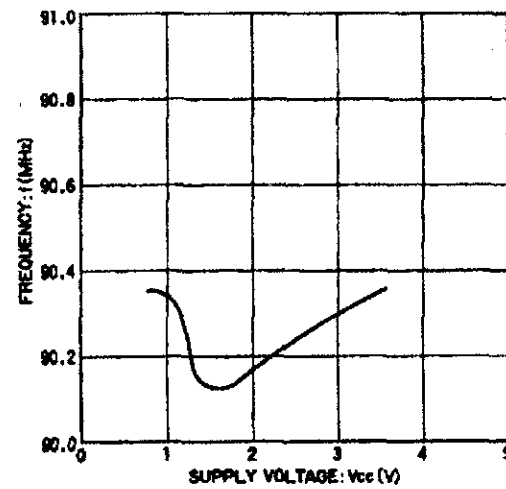


Figure 11

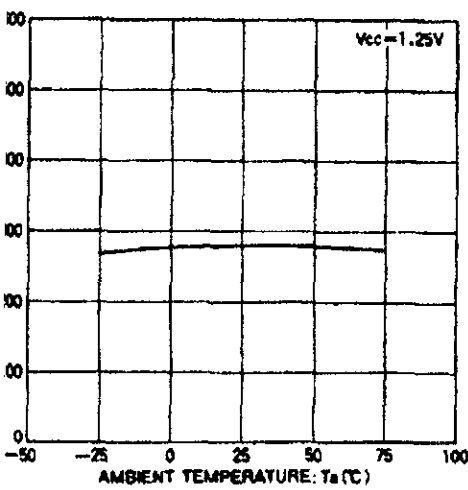


Figure 12

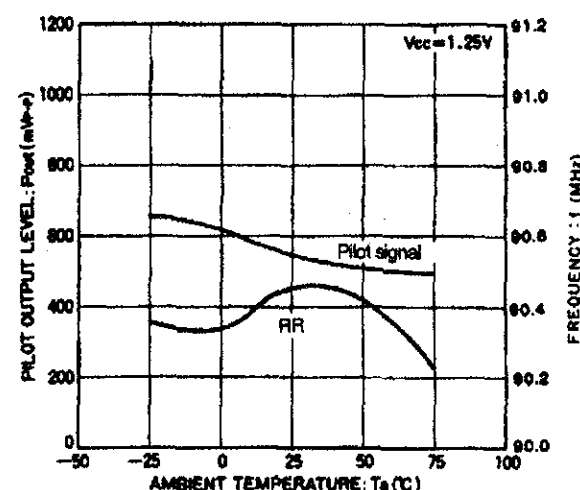


Figure 13

ประวัติผู้เขียน

นายมังคลา ม่วงรัตน์ เกิดเมื่อวันจันทร์ที่ 15 พฤษภาคม พ.ศ. 2525 ภูมิลำเนาอยู่ที่ ตำบลในเมือง อำเภอเมือง จังหวัดนราธิวาส สำเร็จการศึกษาระดับมัธยมปลายจากโรงเรียนบุญวัฒนา อ.เมือง จ.นราธิวาส เมื่อปี พ.ศ. 2543 ปัจจุบันเป็นนักศึกษาชั้นปีที่ 4 สาขาวิศวกรรมโทรคมนาคม สำนักวิชาชีวศึกกรรมศาสตร์ มหาวิทยาลัยเทคโนโลยีสุรนารี โทรศัพท์ 0-6726-8744

นายคราวุช ชูยิ่งสกุลพิพิธ เกิดเมื่อวันศุกร์ที่ 25 พฤษภาคม พ.ศ. 2526 ภูมิลำเนาอยู่ที่ ตำบลหัวไผ่ อำเภอเมือง จังหวัดอ่างทอง สำเร็จการศึกษาระดับมัธยมปลายจากโรงเรียนอ่างทองป้อม โกรนวิทยาคม อ.เมือง จ.อ่างทอง เมื่อปี พ.ศ 2544 ปัจจุบันเป็นนักศึกษาชั้นปีที่ 4 สาขาวิศวกรรมโทรคมนาคม สำนักวิชาชีวศึกกรรมศาสตร์ มหาวิทยาลัยเทคโนโลยีสุรนารี โทรศัพท์ 0-6069-7504

นางสาววิสาณा มหาใจดี เกิดเมื่อวันอาทิตย์ที่ 18 กันยายน พ.ศ 2526 ภูมิลำเนาอยู่ที่ ตำบลเมืองราย อำเภอพญาเมืองราย จังหวัดเชียงราย สำเร็จการศึกษาระดับมัธยมปลายจากโรงเรียนพญาเมืองราย อ.พญาเมืองราย จ.เชียงราย เมื่อปี พ.ศ 2544 ปัจจุบันเป็นนักศึกษาชั้นปีที่ 4 สาขาวิศวกรรมโทรคมนาคม สำนักวิชาชีวศึกกรรมศาสตร์ มหาวิทยาลัยเทคโนโลยีสุรนารี โทรศัพท์ 0-1075-0179

